

資料 1 - 2

泊発電所 3 号炉審査資料	
資料番号	DB04 r. 3. 19
提出年月日	令和5年6月5日

泊発電所 3 号炉

設置許可基準規則等への適合状況について (設計基準対象施設等)

第4条 地震による損傷の防止

令和 5 年 6 月
北海道電力株式会社



枠囲みの内容は機密情報に属しますので公開できません。

泊発電所 3号炉

施設の耐震評価に用いる地盤の液状化の評価方針

目 次

今回提出範囲

1. 液状化評価の基本方針
2. 液状化検討対象層の抽出
 2. 1 敷地の地質概況
 2. 2 埋戻土の分布
 2. 3 砂層の分布
 2. 4 液状化検討対象層の選定方針
 2. 5 液状化検討対象層の選定結果
3. 液状化検討対象施設の抽出
 3. 1 液状化検討対象施設の抽出方針
 3. 2 液状化検討対象施設の抽出及び解析手法選定の観点
4. 液状化強度試験の試料採取位置選定とその代表性
 4. 1 試料採取位置の選定及び代表性確認の方針
 4. 2 試料採取位置の選定
 4. 3 試料採取位置の代表性確認
 4. 3. 1 埋戻土の代表性確認
 4. 3. 2 砂層の代表性確認
 4. 3. 3 液状化強度試験 試料採取位置の代表性のまとめ
 4. 4 追加調査位置
 4. 4. 1 追加の液状化強度試験の必要性
 4. 4. 2 追加調査位置
5. 液状化強度試験結果と液状化強度特性の設定
 5. 1 液状化強度試験方法
 5. 2 液状化強度試験結果の分類に対する基本的考え方
 5. 3 液状化強度試験結果
 5. 3. 1 埋戻土の液状化強度試験結果
 5. 3. 2 砂層の液状化強度試験結果
 5. 4 基準地震動に対する液状化強度試験の妥当性確認
 5. 5 液状化強度特性の設定
6. 液状化影響の検討方針

添付資料 1 埋戻土・砂層のボーリング柱状図・コア写真及び液状化強度試験結果データ集

添付資料 2 液状化検討対象層の選定について(Ac 層)

添付資料 3 埋戻土・砂層の基本物性

添付資料 4 埋戻土の N 値について

添付資料 5 建設時における埋戻土の施工及び品質管理について

添付資料 6 液状化に関連する基本物性の補足

添付資料 7 1, 2 号埋戻土及び 3 号埋戻土の区分けについて

添付資料 8 粒度分布の代表性確認指標としての妥当性確認

1. 液状化評価の基本方針

本資料では、施設の耐震評価に用いる地盤の液状化影響の検討方針を示す。

耐震重要施設及び常設重大事故等対処施設においては、液状化、搖り込み沈下等の周辺地盤の変状を考慮した場合においても、当該施設の安全機能が損なわれるおそれがないように設計する。耐震重要施設及び常設重大事故等対処施設の設計においては、地下水排水設備の機能に期待する施設においては、その機能を考慮した設計地下水位を設定する。地下水排水設備の機能に期待しない施設においては、自然水位に基づき設定した水位又は地表面にて設計地下水位の影響を考慮する。

なお、各施設の設計地下水位は設計及び工事計画認可段階(以下、「設工認段階」という。)において設定するものとする。

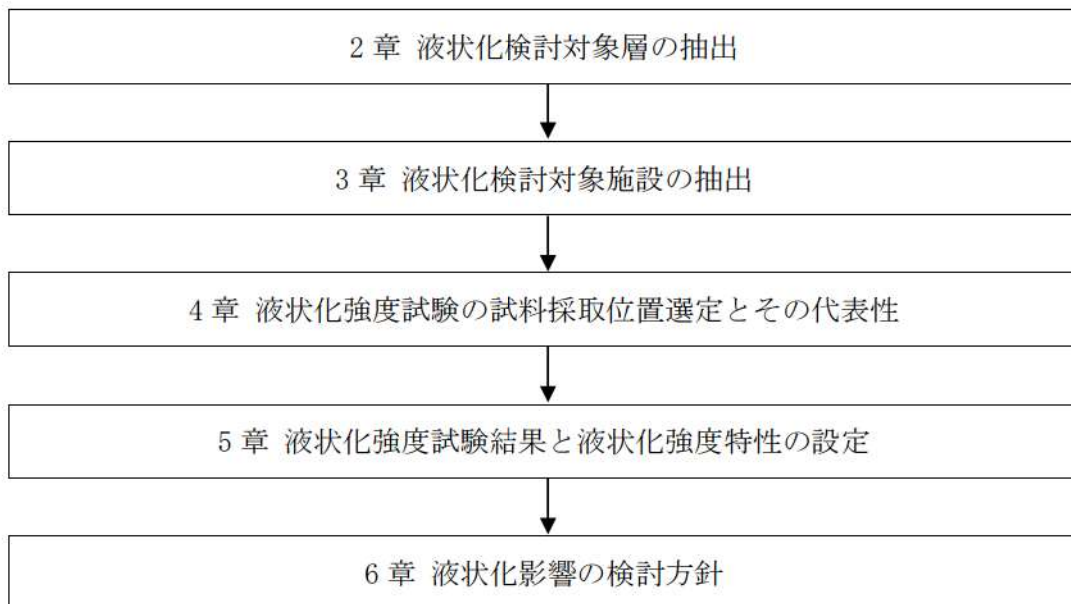
泊発電所における液状化影響評価のフローを第 1. 1-1 図に示す。

- ・液状化影響評価については、道路橋示方書・同解説V 耐震設計編(2002)(以下、「日本道路協会(2002, V 耐震設計編)」という)の評価方法を基本とするが、日本道路協会(2002, V 耐震設計編)においては対象外とされているG. L.-20m 以深の土層等についても液状化強度試験を実施し、すべての埋戻土及び砂層を液状化検討対象層として保守的な評価とする(2. 液状化検討対象層の抽出)。
- ・屋外の耐震重要施設(建物・構築物、屋外重要土木構造物、津波防護施設等)、常設重大事故等対処施設、可搬型重大事故等対処設備保管場所及びアクセスルートを対象に、液状化検討対象施設の抽出及び解析手法選定の方針を示す(3. 液状化検討対象施設の抽出)。
- ・液状化検討対象層として抽出した埋戻土及び砂層の液状化強度試験の試料採取位置について、その周辺で実施したボーリング調査位置の物理特性と比較し、その代表性を確認する(4. 液状化強度試験の試料採取位置選定とその代表性)。
- ・液状化強度試験の試料採取位置の代表性確認に当たっては、液状化検討対象施設の近傍及び埋戻しの施工時期が異なるエリアで試料採取をし、液状化強度試験を実施する(4. 液状化強度試験の試料採取位置選定とその代表性)。
- ・液状化検討対象施設近傍の液状化強度試験の試料採取ができないと判断される場合は、追加調査を計画する(4. 液状化強度試験の試料採取位置選定とその代表性)。
- ・液状化強度試験結果に基づいて、地震時の地盤の状態を「液状化」、「繰返し軟化」及び「非液状化」と分類し、液状化検討対象層が「液状化」とならないこと(支持力を喪失しない、又は急激な流動変位が発生しない地盤であること)を把握する。また、累積損傷度理論を適用し、基準地震動相当の地盤の状態を模擬して液状化強度試験が実施できていることを確認する(5. 液状化強度試験結果と液状化強度特性の設定)。
- ・設置許可段階における施設の有効応力解析に用いる液状化強度特性については、実施済の敷地全体の液状化強度試験から得られる液状化強度特性を保守的(下限値)に設定して評価する

(5. 液状化強度試験結果と液状化強度特性の設定)。

・設工認段階においては、追加調査結果を踏まえ、液状化対象施設近傍の試験結果から液状化強度特性を保守的に設定する(5. 液状化強度試験結果と液状化強度特性の設定)。

・液状化検討対象施設の解析手法は、施設の周辺状況による液状化の影響を踏まえて選定し、有効応力解析を選定する場合、全応力解析により液状化が発生しない場合の耐震評価を行う。また、全応力解析を選定する場合、有効応力解析により施設に液状化の影響が及ばないことを確認する(耐震評価の解析ケース選定の詳細な考え方については、設工認段階において説明する)(6. 液状化影響の検討方針)。



第 1.1-1 図 液状化影響評価フロー

2. 液状化検討対象層の抽出

2.1 敷地の地質概況

敷地の地質平面図を第 2.1-1 図に示す。敷地の基盤をなす地層は、新第三系上部中新統神恵内層であり、神恵内層を覆って第四紀中期更新世以前の海成堆積物、後期更新世の段丘堆積物及び崖錐 I 堆積物、完新世の崖錐 II 堆積物及び沖積層が分布する。敷地の基盤をなす地層である神恵内層は、岩相の特徴から凝灰質泥岩と火碎岩層に大別される。神恵内層の凝灰質泥岩層は、敷地北部の茶津川付近に分布し、火碎岩層は敷地全域に広く分布しており、3号原子炉建屋設置位置付近には安山岩が認められる。

発電所の埋立地盤については、敷地造成時に発生した掘削岩碎からなる埋立地盤が主体であり、施工時期、材料により 1, 2 号埋戻土、3 号埋戻土に区分される。1, 2 号埋戻土は、1, 2 号建設時の埋戻土で火碎岩主体の岩碎地盤であり、3 号埋戻土は、3 号建設時の埋戻土で安山岩主体の岩碎地盤である。

岸壁及び津波防護施設前面には、沖積層に相当する砂層(As1 層及び As2 層)、砂礫層(Ag 層)及び粘土・シルト層(Ac 層)が分布している。

道路橋示方書・同解説 IV 下部構造編(2012) (以下、「日本道路協会(2012, IV下部構造編)」といふ)では、「砂層、砂礫層は N 値が 30 程度以上あれば良質な支持層と考えてよい。」とされている(下記参照)。

また、地盤調査・土質試験結果の解釈と適用例では、N 値と相対密度の関係が示されており、30 未満は「中位の～非常に緩い」、30 以上は「密な～非常に密な」ものとされている(下記参照)。

以上に基づき、砂層については、N 値 < 30 を As1 層、N 値 ≥ 30 を As2 層と分類し、それぞれの解析用物性値を設定する。

【地盤調査・土質試験結果の解釈と適用例に一部加筆】

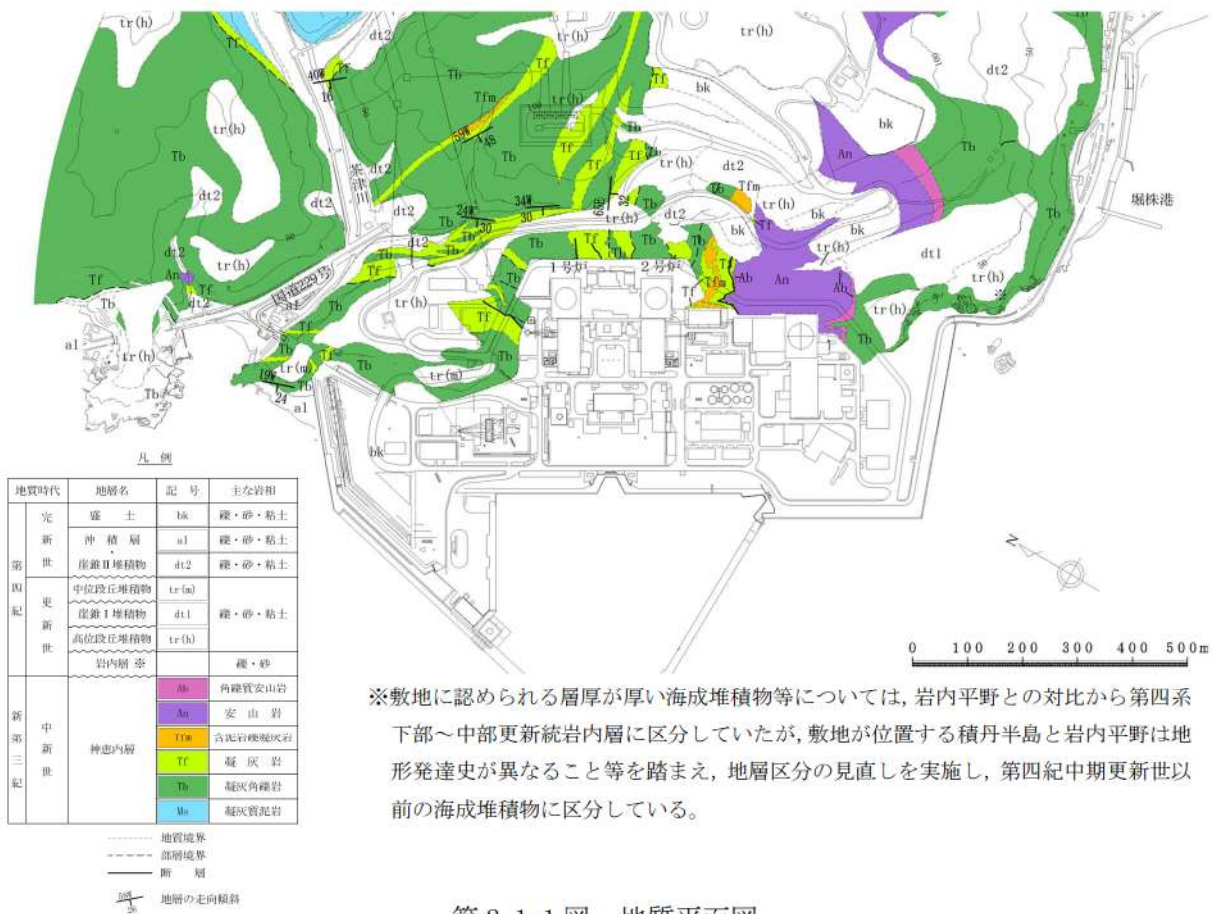
表-7.3 N 値と砂の相対密度の関係
(Terzaghi-Peck, 1948)

N 値	相 対 密 度
0～4	非常に緩い (very loose)
4～10	緩い (loose)
10～30	中位の (medium)
30～50	密な (dense)
50 以上	非常に密な (very dense)

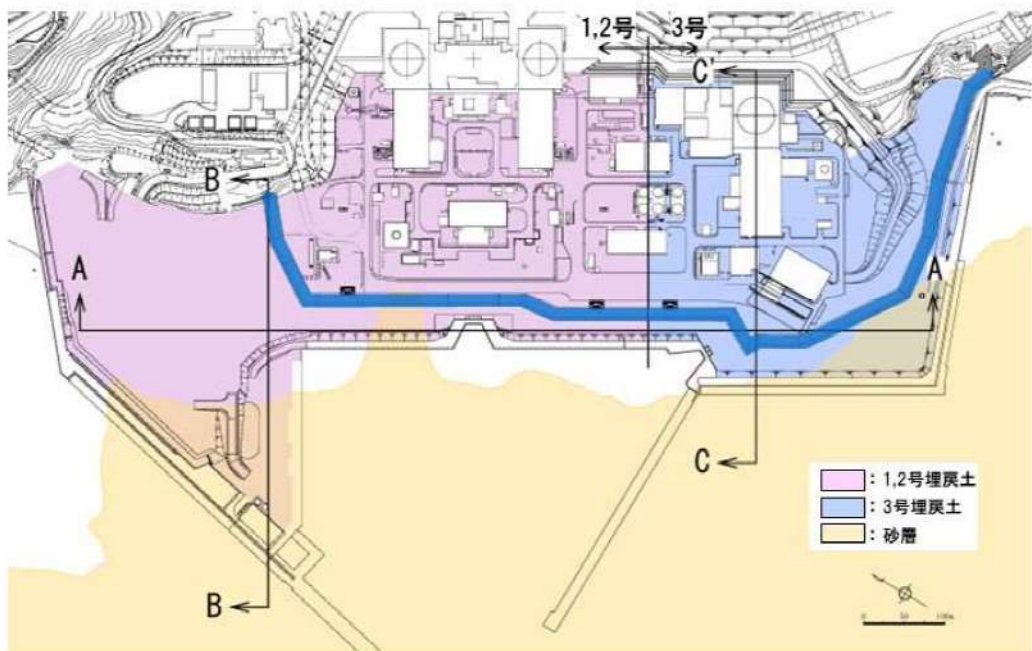
【日本道路協会(2012, IV下部構造編)に一部加筆】

ii) 砂層、砂れき層は N 値が 30 程度以上あれば良質な支持層と考えてよい。ただし、砂れき層ではれきをたたいて N 値が過大に出る傾向があるので、支持層の決定には十分な注意が必要である。

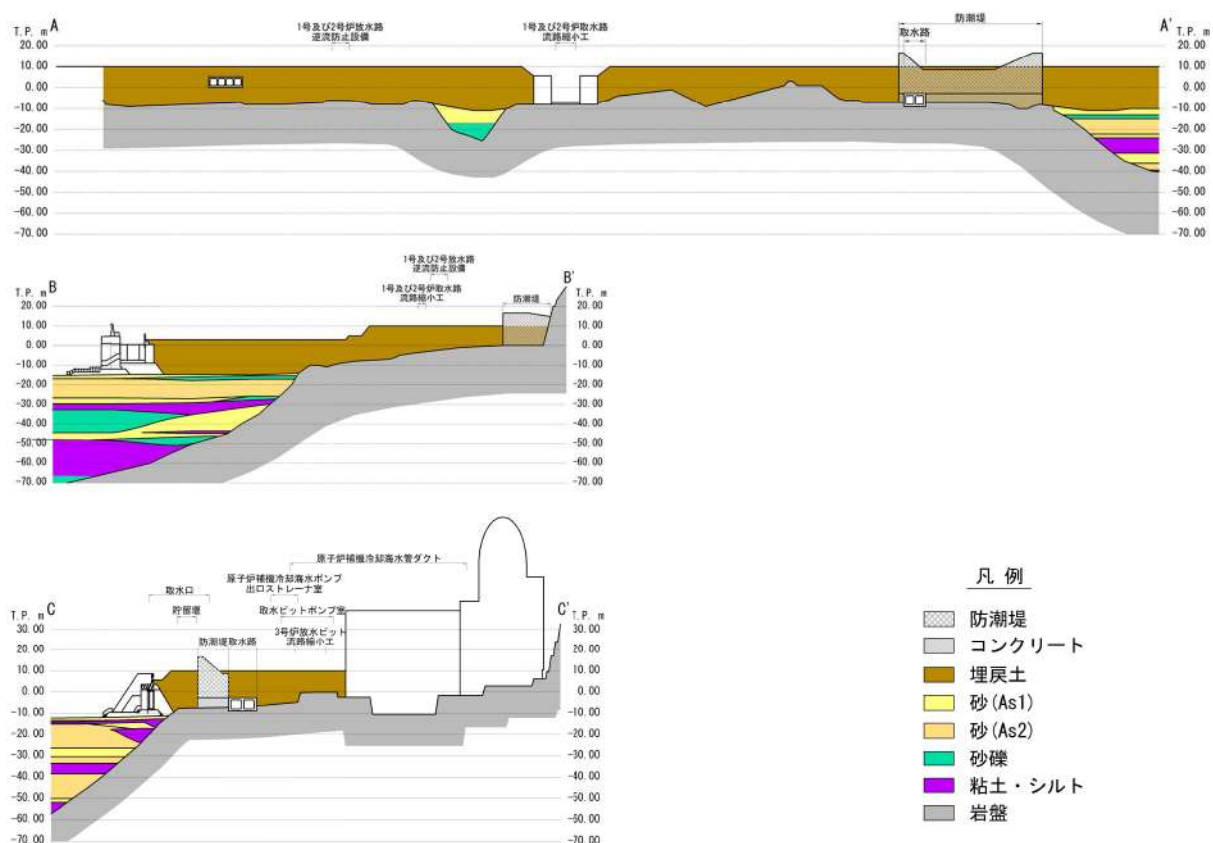
埋戻土の分布状況について平面図を第 2.1-2 図に、地質断面位置図を第 2.1-3 図に、埋戻土及び砂層のボーリング柱状図及びコア写真を添付資料 1 に示す。



第 2.1-1 図 地質平面図



第 2.1-2 図 埋戻土の分布範囲並びに地質断面位置図



第 2.1-3 図 地質断面図

2.2 埋戻土の分布

発電所の埋立地盤については、敷地造成時に発生した掘削岩碎からなる埋立地盤が主体である。

泊発電所の埋立地盤は、施工時期、材料により、1,2号埋戻土、3号埋戻土に区分される。

1,2号埋戻土は、1,2号建設時の埋戻土で火砕岩主体の岩碎地盤であり、3号埋戻土は、3号建設時の埋戻土で安山岩主体の岩碎地盤である。

2.3 砂層の分布

各断面位置における砂層の分布の特徴は以下のとおりである。

・A-A' 断面

防潮堤付近にわずかに砂層が分布している。埋戻土の下層に砂層が分布しており、その層厚は最大20m程度である。

・B-B' 断面

1,2号側の防潮堤外側に一部砂層が分布している。埋戻土の下層に砂層が分布しており、その層厚は最大23m程度である。

・C-C' 断面

3号側の防潮堤外側に砂層が分布しており、その層厚は最大33m程度である。

2.4 液状化検討対象層の選定方針

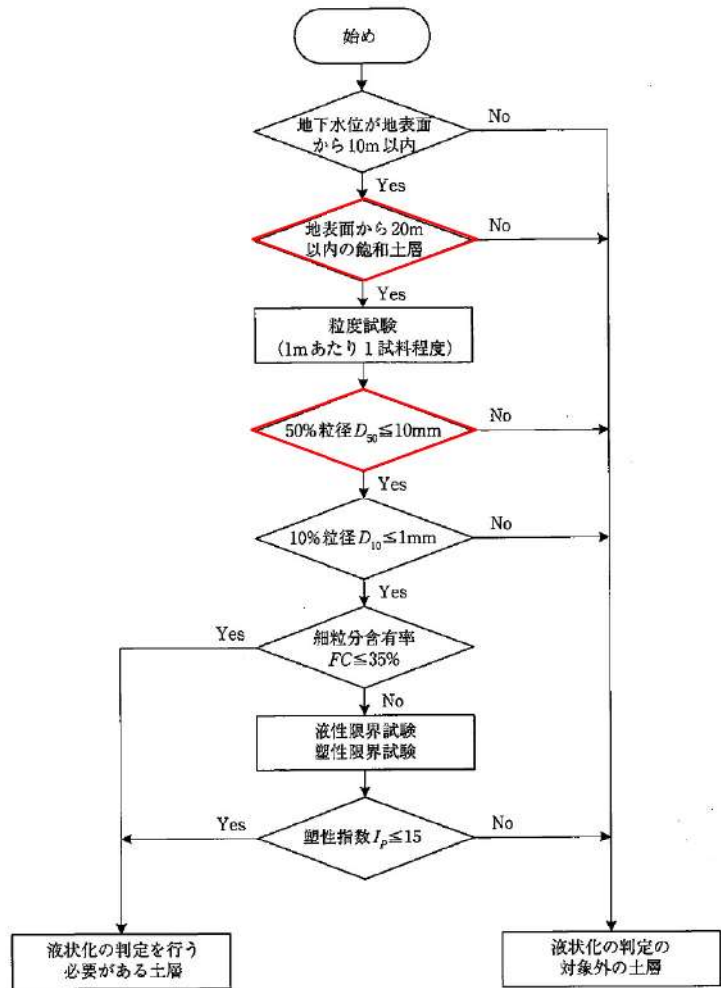
敷地の埋立地盤である埋戻土と砂層(As1層及びAs2層)、砂礫層(Ag層)、粘土・シルト層(Ac層)について、**日本道路協会(2002, V耐震設計偏)**に基づき、第2.4-1図に示す手順で液状化検討対象層を抽出する。

日本道路協会(2002, V耐震設計偏)では、地震時に影響を与える液状化が生じる可能性がある液状化検討対象層として、次の3つの条件すべてに該当する土層と定めている。

- ① 地下水位がG.L.-10m以内であり、かつG.L.-20m以内の飽和土層
- ② 細粒分含有率が35%以下、又は細粒分含有率が35%を超えて塑性指数が15以下の土層
- ③ 平均粒径が10mm以下で、かつ10%粒径が1mm以下の土層

液状化検討対象層の抽出は、**日本道路協会(2002, V耐震設計偏)**で対象としている地層を基本とし、比較的浅部の地盤等が液状化検討対象層となるが、以下の場合も含め液状化検討対象層として抽出する。

- ・G.L.-20m以深の飽和土層
- ・平均粒径が10mm以上の飽和土層



※本評価では、日本道路協会(2002,V耐震設計編)において対象外となる以下の土層も評価対象とする

- ・G. L. -20m以深の飽和土層
- ・平均粒径が10mm以上の飽和土層

第2.4-1図 液状化検討対象層の抽出フロー

(道路橋示方書・同解説 V耐震設計編(2012)に一部加筆)

2.5 液状化検討対象層の選定結果

液状化検討対象層の選定結果を第 2.5-1 表に示す。日本道路協会(2002, V耐震設計編)に基づき、液状化検討対象層として地下水位以深の 1, 2 号埋戻土、3 号埋戻土、砂層(As1 層及び As2 層)及び砂礫層(Ag 層)を選定した。粘土・シルト層(Ac 層)については、「細粒分含有率 $F_c > 35\%$ 、かつ塑性指数 $I_p > 15$ 」を満足しているため液状化検討の対象外とした。

また、粘土・シルト層(Ac 層)については、建築基礎構造設計指針及び鉄道構造物等設計標準・同解説 耐震設計(平成 24 年 9 月)に基づき、「粘土分含有率 $P_c > 10\%$ 」及び「粘土分含有率 $P_c > 15\%$ 」を満足し、液状化検討の対象外とした。

なお、液状化検討対象層の選定について(Ac 層)を添付資料 2 に示す。

第 2.5-1 表 液状化検討対象層の選定結果

地質名	層 相	道路橋示方書(2002) における 液状化検討対象層		泊サイトの 液状化検討 対象層	備 考
		深 度	粒度分布		
1, 2 号埋戻土	岩碎 (火碎岩類系)	○	○ (一部×)	○	・粒度分布により非液状化層と判定されるものもあるが、保守的に評価対象とする。
3 号埋戻土	岩碎 (安山岩系)	○	○ (一部×)	○	・粒度分布により非液状化層と判定されるものもあるが、保守的に評価対象とする。
As1	砂 (N 値 < 30)	×	○	○	・20m 以深に分布する範囲についても保守的に評価対象とする。
As2	砂 (30 ≤ N 値)	×	○	○	・20m 以深に分布する範囲についても保守的に評価対象とする。
Ag	砂礫	×	○ (一部×)	○	・20m 以深に分布する範囲についても保守的に評価対象とする。 ・粒度分布により非液状化層と判定されるものもあるが、保守的に評価対象とする。 ・解析用物性値は As2 層に準拠する。
Ac	粘土・シルト	×	×	×	・細粒分含有率 $F_c > 35\%$ かつ塑性指数 $I_p > 15$ より、評価対象外とする。 ・粘土分含有率 $P_c > 10\%$ 以下及び粘土分含有率 $P_c > 15\%$ 以下を満足することも確認し、評価対象外とする。

※○：液状化検討対象 ×：液状化検討対象外

3. 液状化検討対象施設の抽出

3.1 液状化検討対象施設の抽出方針

屋外の耐震重要施設、常設重大事故等対処施設等の設置状況及び地下水位を考慮し、液状化の影響を検討する必要がある液状化検討対象施設を抽出する。抽出に当たっては、すべての屋外の耐震重要施設(建物・構築物、屋外重要土木構造物、津波防護施設・浸水防止設備)、常設重大事故等対処施設(以下、「屋外重要土木構造物及び津波防護施設等」という)を対象に、網羅的に検討する。

液状化検討対象候補施設の一覧を第3.1-1表に、液状化検討対象候補施設、可搬型重大事故等対処設備保管場所及びアクセスルートの配置図を第3.1-1図に示す。また、屋外の耐震重要施設(建物・構築物、屋外重要土木構造物、津波防護施設等)について、液状化検討対象施設の選定及び解析手法選定フローを第3.1-2図に示す。

設工認段階で設定する設計地下水位に対する液状化検討対象施設の選定等に当たっては、第3.1-3図に示す例のような、防潮堤設置後における地下水排水設備が機能しない状態が継続した場合の定常的な地下水位分布を予測した三次元浸透流解析の結果を使用する。

なお、可搬型重大事故等対処設備による重大事故等への対応に必要なアクセスルートは、地震時の液状化に伴う地下構造物の浮き上がりの影響を受けることなく通行性を確保する設計とする。

ここでは、液状化検討対象施設の抽出の考え方を示し、設工認段階において、改めて設定した設計地下水位に基づき液状化検討対象施設の抽出を行う。

第3.1-1表 液状化検討対象候補施設一覧

施設分類	施設名称	基礎形式	支持層 ^{※2}	基礎下端高さ ^{※3} (T.P. m)	地下水位の設定方針
設計基準対象施設	原子炉建屋	直接基礎	岩盤	2.8	地下水排水設備の機能に期待して、設計地下水位を設定 (建屋基礎底面下に設計地下水位を設定)
	原子炉補助建屋	直接基礎	岩盤	0.3	
	ディーゼル発電機建屋	直接基礎	岩盤	4.2	
	A1, A2-燃料油貯油槽タンク室	直接基礎	岩盤	2.1	
	B1, B2-燃料油貯油槽タンク室	直接基礎	岩盤	2.0	地表面に設定
	取水口	直接基礎	岩盤	-11.5	T.P. 0.55m に設定 ^{※4}
	取水路	直接基礎	岩盤	-9.0	地表面に設定 ^{※5}
	取水ピットスクリーン室	直接基礎	岩盤	-10.0	地表面に設定
	取水ピットポンプ室	直接基礎	岩盤	-12.6	地表面に設定
	原子炉補機冷却海水ポンプ出口ストレーナ室	直接基礎	岩盤	-6.0	地表面に設定
津波防護施設・浸水防止設備 ^{※6}	原子炉補機冷却海水管ダクト	直接基礎	岩盤	-5.0	地表面に設定
	B1, B2-ディーゼル発電機燃料油貯油槽トレーンチ	直接基礎	岩盤	8.3	地表面に設定
	防潮堤	直接基礎	岩盤	追而	地表面に設定 ^{※5}
	3号炉取水ピットスクリーン室防水壁	直接基礎	岩盤	0.5	地表面に設定
	3号炉放水ピット流路縮小工	直接基礎	岩盤	-3.0	地表面に設定
	屋外排水路逆流防止設備	直接基礎	岩盤	3.1	地表面に設定 ^{※5}
	1号及び2号炉取水路流路縮小工	直接基礎	岩盤	追而	地表面に設定 ^{※5}
重大事故等対処施設	1号及び2号炉放水路逆流防止設備	直接基礎	岩盤	追而	地表面に設定 ^{※5}
	貯留堰	直接基礎	岩盤	-12.0	地表面に設定 ^{※5}
	緊急時対策所(指揮所, 待機所)	直接基礎	岩盤	37.7	自然水位 ^{※6} に基づき設定
	代替非常用発電機	直接基礎	岩盤	32.8	

※1 浸水防止設備については、屋外に設置される施設を対象に検討する

※2 MMR等を介して岩盤に支持される施設についても、岩盤に支持されているとする(構造物周辺の無筋コンクリートの定義は以下のとおりとする)。

- ・MMR: 構造物の基礎岩盤の代替として使用する人工岩盤であり、地盤として扱う。
- ・置換コンクリート: 土圧低減等を目的として構造物周辺に配置する無筋コンクリートであり、健全性を確認する。
- ・埋戻コンクリート: 対象構造物と岩盤又は隣接構造物の間を埋め戻す目的として配置する無筋コンクリートであり、地盤として扱う。

※3 各施設の代表的な基礎下端高さを示す

※4 防潮堤よりも海側の設計地下水位は、日本港湾協会(2007)の残留水位の設定方法に基づき
T.P.0.55mに設定し、防潮堤よりも山側の設計地下水位は、地表面に設定する。

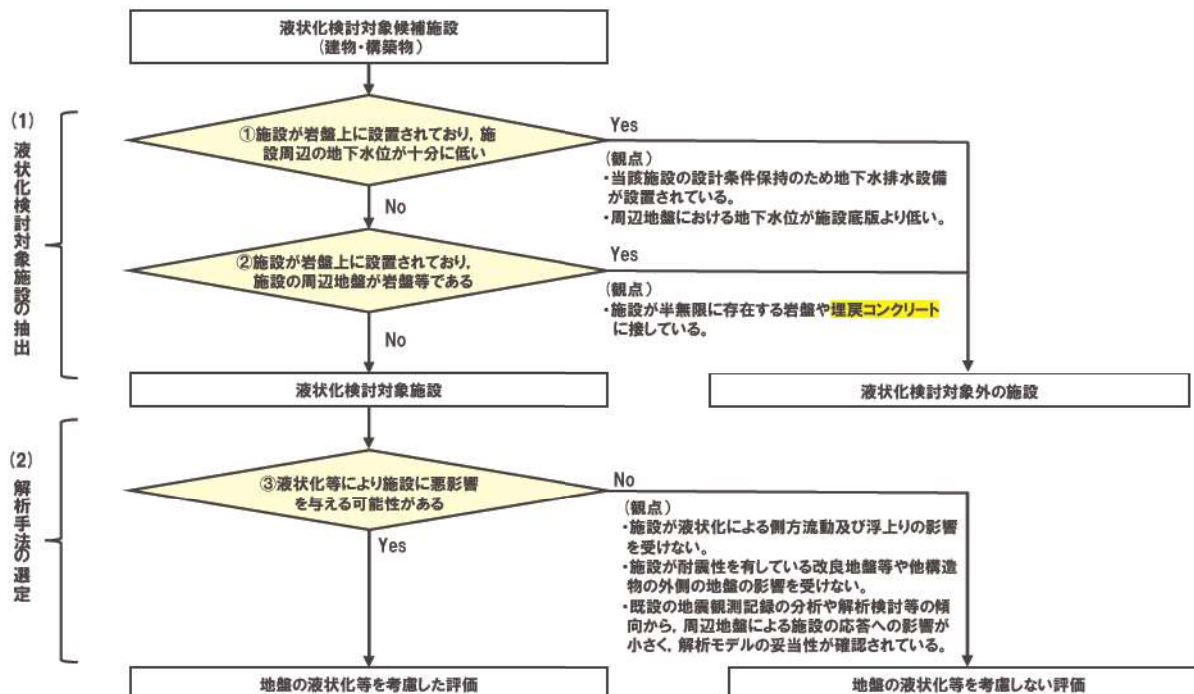
※5 防潮堤よりも海側の設計地下水位は、朔望平均満潮位 T.P.0.26mに設定し、防潮堤よりも山側の
設計地下水位は、地表面に設定する。

※6 解析条件を保守的に設定した三次元浸透流解析の予測解析水位

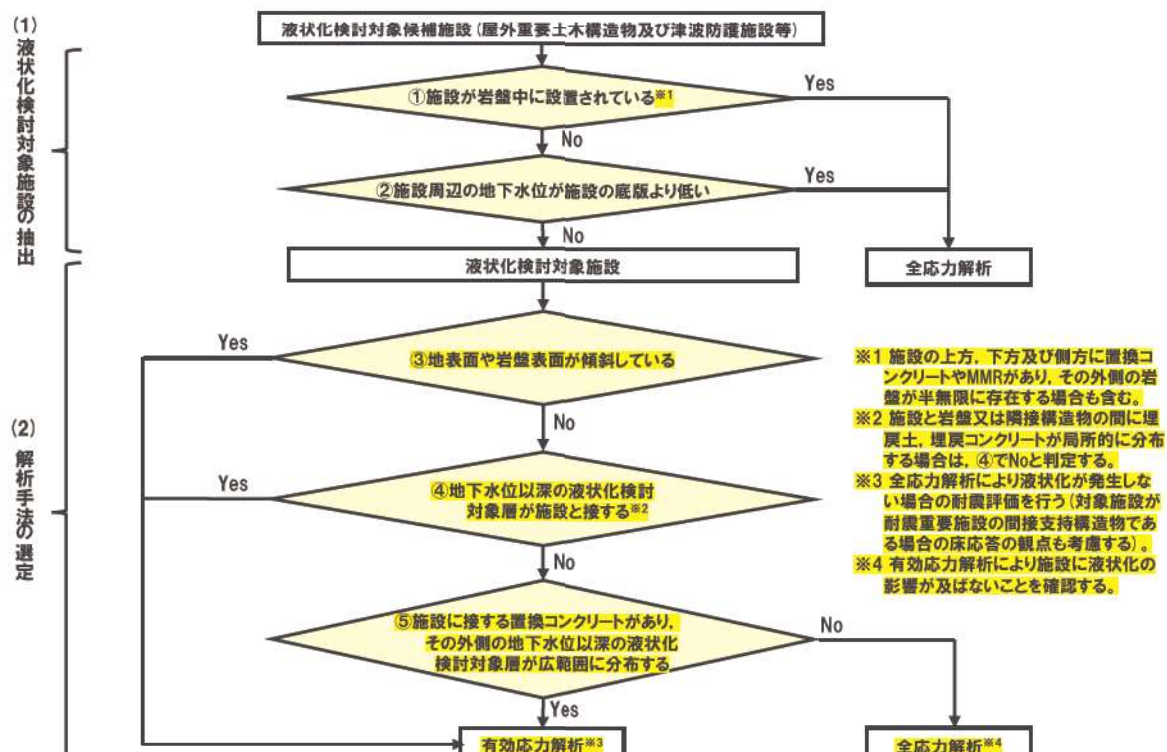


:枠囲みの内容は機密情報に属しますので公開できません。

第3.1-1図 液状化検討対象候補施設、可搬型重大事故等対処設備
保管場所及びアクセスルート 配置図

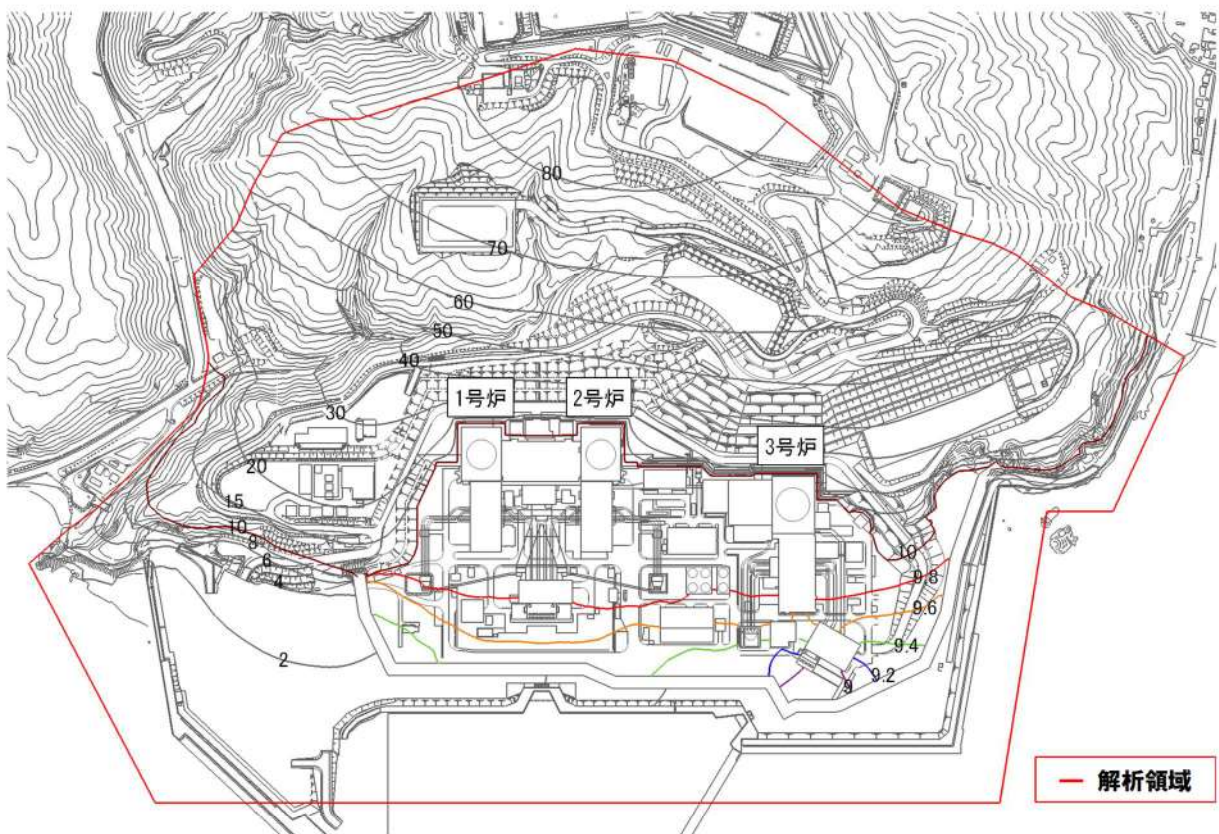


第3.1-2 図(1) 液状化検討対象施設の選定及び解析手法選定フロー(建物・構築物)



第3.1-2 図(2) 液状化検討対象施設の選定及び解析手法選定フロー

(屋外重要土木構造物及び津波防護施設等)



第3.1-3図 地下水排水設備の機能に期待せずに設定した定常的な地下水位分布算定結果(例)

3.2 液状化検討対象施設の抽出及び解析手法選定の観点

液状化検討対象施設の抽出及び解析手法選定における観点を以下に示す。

(1) 液状化検討対象施設の抽出

a. 屋外の耐震重要施設及び常設重大事故等対処施設(建物・構築物)

液状化検討対象施設は以下の項目で抽出する(第3.1-2図(1)の判定①, ②)。

- ・施設が岩盤上に設置されており、かつ、施設周辺の地下水位が十分に低いか
- ・施設が岩盤上に設置されており、施設の周辺地盤が岩盤等であるか

(観点) : 当該施設の設計条件保持のため地下水排水設備が設置されている。

周辺地盤における地下水位が施設底版より低い。

施設が半無限に存在する岩盤や埋戻コンクリートに接している。

b. 屋外の耐震重要施設及び常設重大事故等対処施設(屋外重要土木構造物及び津波防護施設等)

液状化検討対象施設は以下の項目で抽出する(第3.1-2図(2)の判定①, ②)。

- ・施設が岩盤中に設置されているか
- ・施設周辺の地下水位が施設の底版より低いか

(観点) : 施設の上方、下方及び側方が岩盤や耐震性を有する改良地盤に接している。

周辺地盤における地下水位が施設底版より低い。

(2) 液状化検討対象施設の解析手法の選定

a. 屋外の耐震重要施設及び常設重大事故等対処施設(建物・構築物)

上記(1)にて抽出された施設について、以下に示す観点より液状化等により施設に悪影響を与える恐れがあるか判断する(第3.1-2図(1)の判定③)。

(観点) : 施設が改良地盤等に囲まれており、液状化等の影響がない。

施設周辺の地形等から、側方流動の影響がない。

既設の地震観測記録の分析や解析検討等の傾向から、解析モデルの妥当性が確認されているか。

液状化等により施設に影響を与える可能性がある場合は、地盤の液状化等の影響を考慮した評価を行う。

また、対象施設が耐震重要施設の間接支持構造物である場合は、床応答の観点も考慮して解析手法を選定するものとする。

- b. 屋外の耐震重要施設及び常設重大事故等対処施設(屋外重要土木構造物及び津波防護施設等)
上記(1)にて抽出された施設について、以下の1)～3)に示す観点により、解析手法を選定する。

1) 地表面や岩盤表面が傾斜している(第3.1-2図(2)の判定③)。

施設周辺で液状化が発生した場合、地表面や岩盤表面の傾斜により側方流動が発生し、一方向に変位・荷重が作用することから、有効応力解析を選定する。

2) 地下水位以深の液状化検討対象層が施設と接する(第3.1-2図(2)の判定④)。

施設に接する地盤で液状化が発生すること、及び液状化により浮上りの影響を受ける可能性があることから、有効応力解析を選定する。

3) 施設に接する置換コンクリートがあり、その外側の地下水位以深の液状化検討対象層が広範囲に分布する(第3.1-2図(2)の判定⑤)。

施設に接する液状化検討対象層はないが、構造物側面の置換コンクリートの外側の地盤の液状化による影響を判断できないことから、有効応力解析を選定する。

上記の1)～3)においては、全応力解析により液状化が発生しない場合の耐震評価を行うものとする。

上記の1)～3)のいずれにも該当しない場合は、施設周辺の液状化検討対象層が局所的に分布する状況であり、施設に液状化の影響が及ばないことから全応力解析を選定する。また、有効応力解析により施設に液状化の影響が及ばないことを確認する。

また、対象施設が耐震重要施設の間接支持構造物である場合は、床応答の観点も考慮して解析手法を選定するものとする。

なお、上記の耐震評価における有効応力解析及び全応力解析の解析ケース選定の詳細な考え方については、設工認段階において説明する。

以上を踏まえ、設工認段階で設定する設計地下水位に対する液状化検討対象施設の抽出及び解析手法選定の考え方を確認する目的で、液状化検討対象施設を抽出した結果(例)を第3.2-1表に、抽出した液状化検討対象施設(例)の解析手法について検討した結果(例)を第3.2-2表に、各施設の設置状況を第3.2-1図～第3.2-19図に示す。設工認段階においては、すべての屋外の耐震重要施設(建物・構築物、屋外重要土木構造物及び津波防護施設等)を対象に、確定した設計地下水位を踏まえ、改めて網羅的に液状化検討対象施設を抽出し、その上で解析手法を選定する。

なお、第3.1-2図のフローにより抽出した液状化検討対象施設のうち、地下水位が施設底版より高く、施設と地下水が接する場合は、間隙水圧の上昇により浮き上がりの恐れがあることから、浮き上がりに対する安全性を確認する。

また、波及的影響評価において抽出される屋外下位クラス施設に対する検討方針は本資料に基づき整理を行う。

※液状化と繰返し軟化(サイクリックモビリティ含む)の区分については「5. 液状化強度試験結果と液状化強度特性の設定」にて後述する。

第3.2-1表(1) 液状化検討対象施設の選定結果の例

(第3.1-2図(1)の①, ②)

施設分類		施設名称	項目			液状化検討 対象施設 ○: 対象 ×: 対象外
設計 基準 対象 施設	建物・ 構築物		①施設が岩盤上に設置さ れており、施設周辺の 地下水位が十分に低い	②施設が岩盤上に設置されており、 施設の周辺地盤が岩盤等である	—	
	原子炉建屋	Yes	—	—	×	
	原子炉補助建屋	Yes	—	—	×	
	ディーゼル発電機建屋	Yes	—	—	×	
	A1, A2-燃料油貯油槽タンク室	Yes	—	—	×	
	B1, B2-燃料油貯油槽タンク室	No	Yes	施設に耐震性を有する改 良地盤が接している	×	

第3.2-1表(2) 液状化検討対象施設の選定結果の例

(第3.1-2図(2)の①, ②)

施設分類	施設名称	項目			液状化検討 対象施設 ○: 対象 ×: 対象外
		①施設が岩盤中に設置されている※2	②施設周辺の地下水位が施設の底版より低い		
屋外重要土木構造物 設計基準対象施設	取水口	No	No	T.P.0.55mに設計地下水位を設定する。※3	○
	取水路	No	No	地表面に設計地下水位を設定する。※4	○
	取水ピットスクリーン室	No	No	地表面に設計地下水位を設定する。	○
	取水ピットポンプ室	No	No	地表面に設計地下水位を設定する。	○
	原子炉補機冷却海水ポンプ出口ストレーナ室	No	No	地表面に設計地下水位を設定する。	○
	原子炉補機冷却海水管ダクト	No	No	地表面に設計地下水位を設定する。	○
	B1, B2-ディーゼル発電機燃料油貯油槽トレーナ	No	No	地表面に設計地下水位を設定する。	○
津波防護施設・浸水防止設備※1	防潮堤	No	No	地表面に設計地下水位を設定する。※4	○
	3号炉取水ピットスクリーン室防水壁	No	No	地表面に設計地下水位を設定する。	○
	3号炉放水ピット流路縮小工	No	No	地表面に設計地下水位を設定する。	○
	屋外排水路逆流防止設備	No	No	地表面に設計地下水位を設定する。※4	○
	1号及び2号炉取水路流路縮小工	No	No	地表面に設計地下水位を設定する。※4	○
	1号及び2号炉放水路逆流防止設備	No	No	地表面に設計地下水位を設定する。※4	○
	貯留堰	No	No	地表面に設計地下水位を設定する。※4	○
重大事故等対処施設	緊急時対策所(指揮所, 待機所)	No	Yes	周辺地盤における地下水位が施設底版より低い。	×
	代替非常用発電機	No	Yes	周辺地盤における地下水位が施設の設置地盤より低い。	×

※1 浸水防止設備については、屋外に設置される施設を対象に検討する。

※2 MMR等を介して岩盤に支持される施設についても、岩盤に支持されているとする。

※3 防潮堤よりも海側の設計地下水位は、日本港湾協会(2007)の残留水位の設定方法に基づき

T.P.0.55mに設定し、防潮堤よりも山側の設計地下水位は、地表面に設定する。

※4 防潮堤よりも海側の設計地下水位は、朔望平均満潮位 T.P.0.26mに設定し、防潮堤よりも山側の設計地下水位は、地表面に設定する。

第3.2-2表 液状化検討対象施設の解析手法選定結果の例

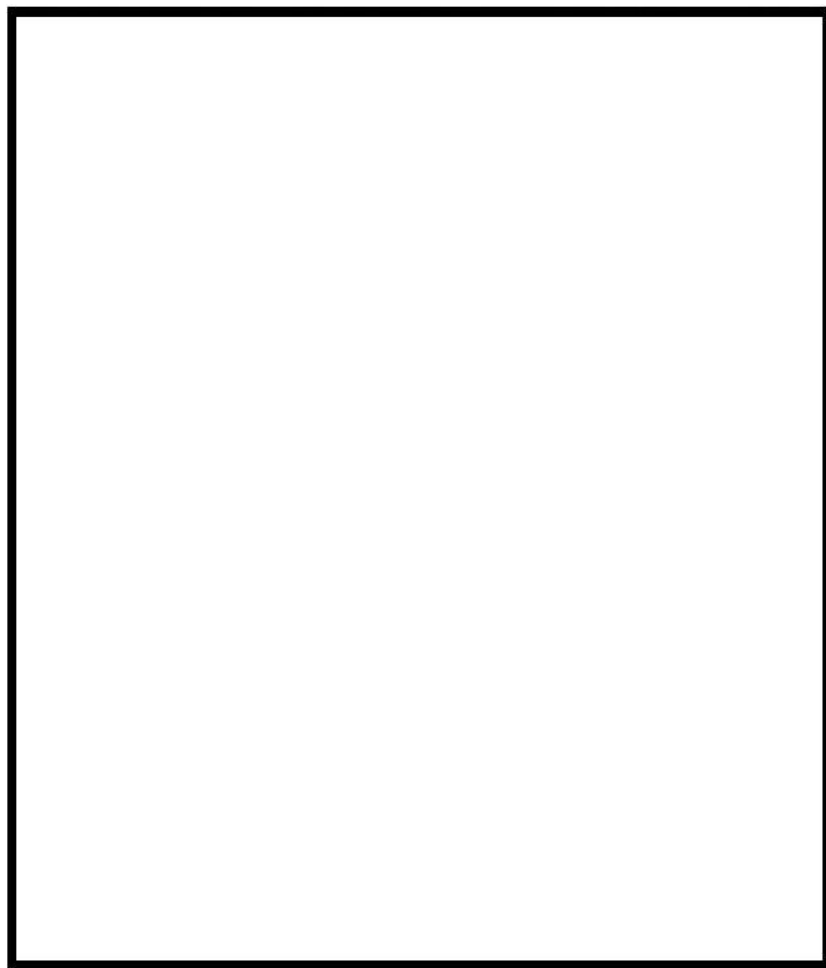
(屋外重要土木構造物及び津波防護施設等)

(第3.1-2図(2)の③, ④, ⑤)

施設分類	施設名称	項目			解析手法の選定結果 ^{※2}
		③地表面や岩盤表面が傾斜している	④地下水位以深の液状化検討対象層が施設と接するか	⑤施設に接する置換コンクリートがあり、その外側の地下水位以深の液状化検討対象層が広範囲に分布する	
屋外重要土木構造物	取水口	No	Yes	—	有効応力解析
	取水路	No	Yes	—	有効応力解析
	取水ピットスクリーン室	No	No	Yes	有効応力解析
	取水ピットポンプ室	No	Yes	—	有効応力解析
	原子炉補機冷却海水ポンプ出ロストレーナ室	No	Yes	—	有効応力解析
	原子炉補機冷却海水管ダクト	No	Yes	—	有効応力解析
	B1, B2-ディーゼル発電機燃料油貯油槽トレンチ	No	Yes	—	有効応力解析
	防潮堤	No	Yes	—	有効応力解析
津波防護施設・浸水防止設備	3号炉取水ピットスクリーン室防水壁	No	Yes	—	有効応力解析
	3号炉放水ピット流路縮小工	No	Yes	—	有効応力解析
	屋外排水路逆流防止設備	No	Yes	—	有効応力解析
	1号及び2号炉取水路流路縮小工	No	Yes	—	有効応力解析
	1号及び2号炉放水路逆流防止設備	No	Yes	—	有孔応力解析
	貯留堰	No	No	Yes	有孔応力解析

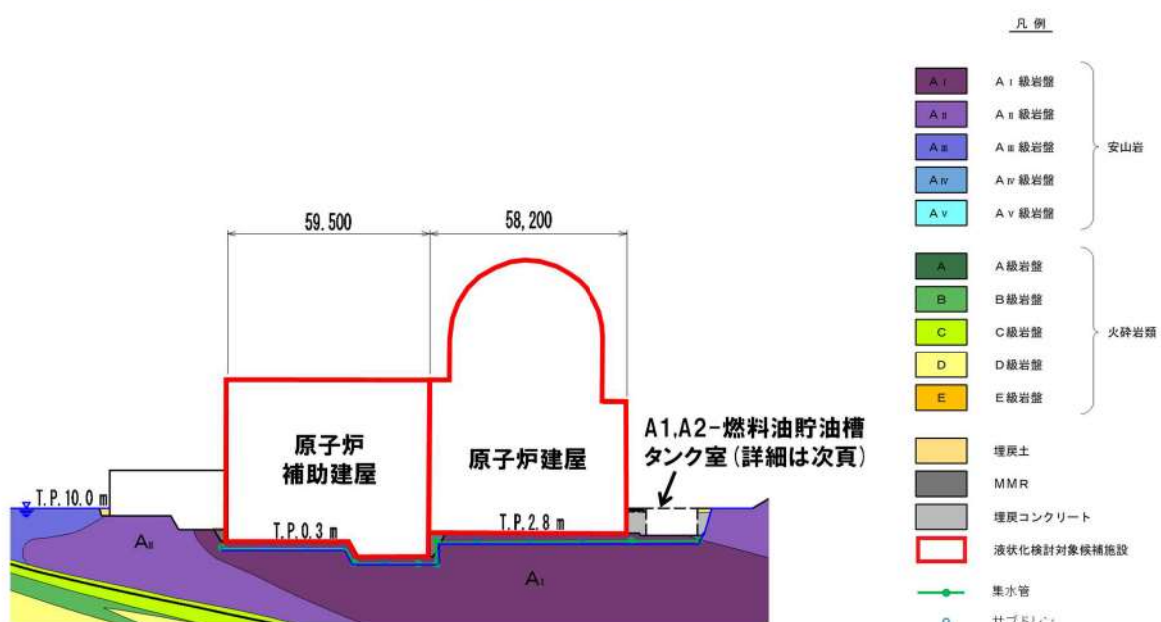
※1 施設と岩盤又は隣接構造物の間に埋戻土、埋戻コンクリートが局所的に分布する場合は、④でNoと判定する。

※2 有効応力解析が選定される場合、全応力解析により液状化しない場合の耐震評価を行うものとし、全応力解析が選定される場合、有効応力解析により施設に液状化の影響が及ばないことを確認する。

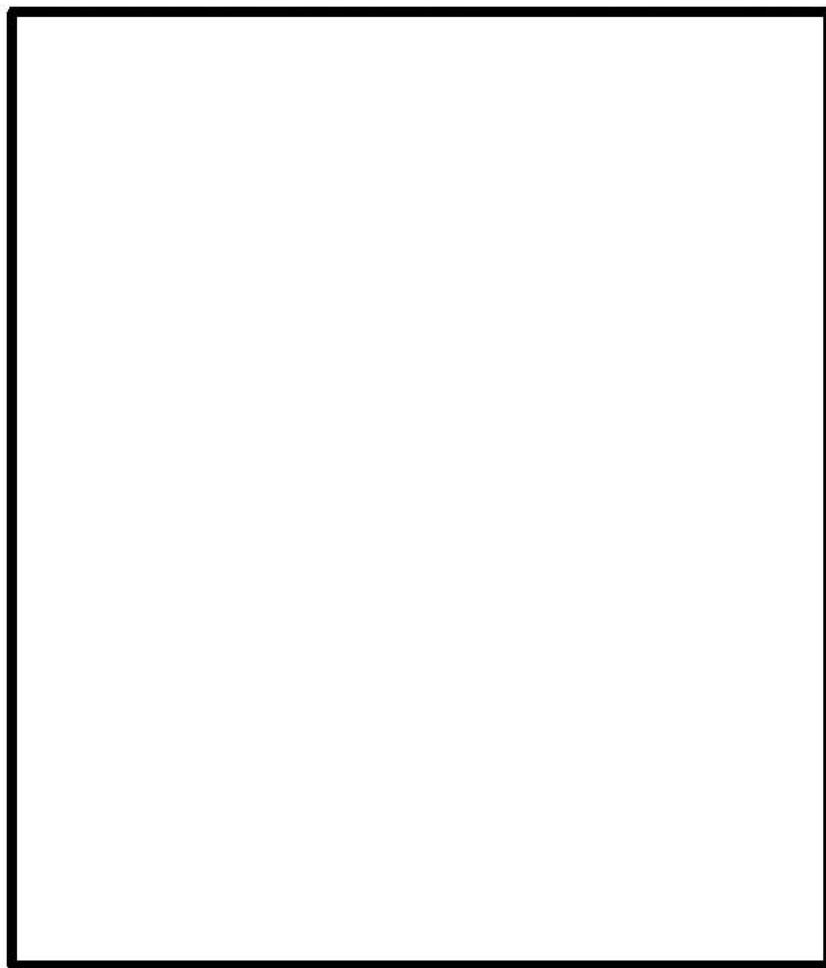


[] : 桁囲みの内容は機密情報に属しますので公開できません。

対象施設位置図

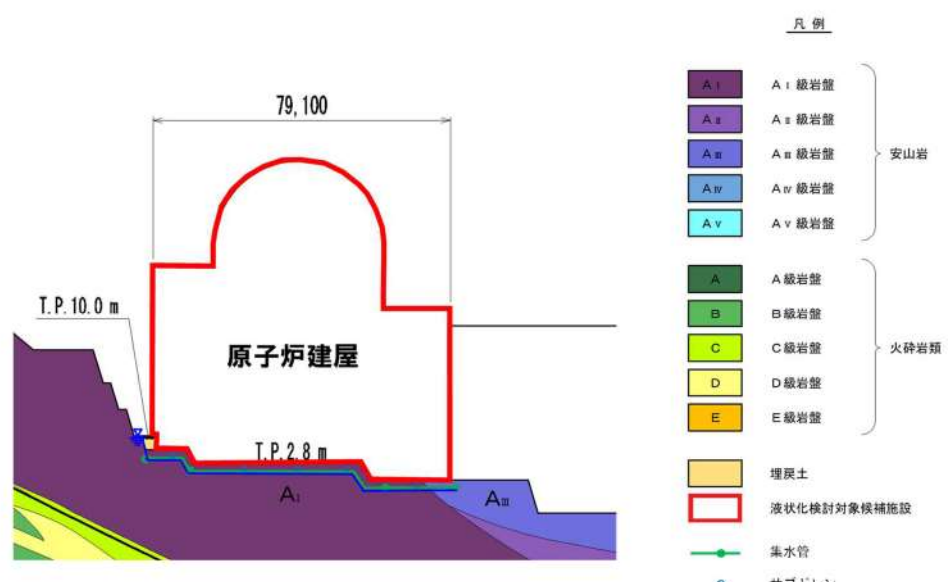


第 3.2-1 図 原子炉建屋, 原子炉補助建屋, A1, A2-燃料油貯油槽タンク室断面図(①-①')

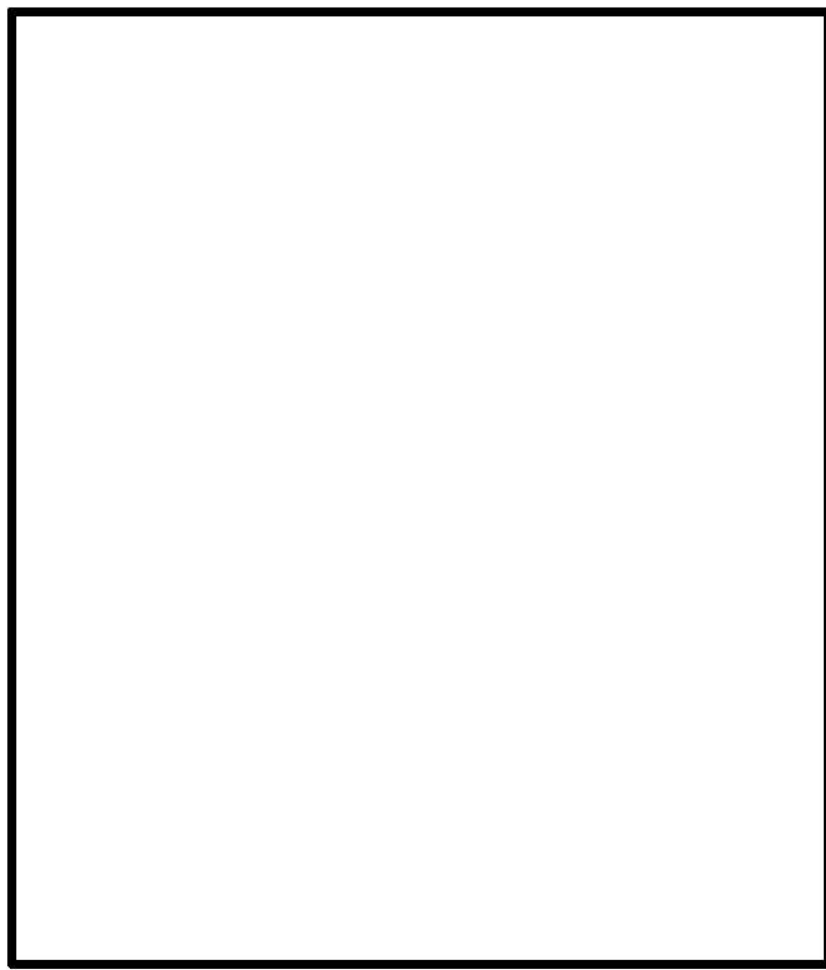


□:枠囲みの内容は機密情報に属しますので公開できません。

対象施設位置図

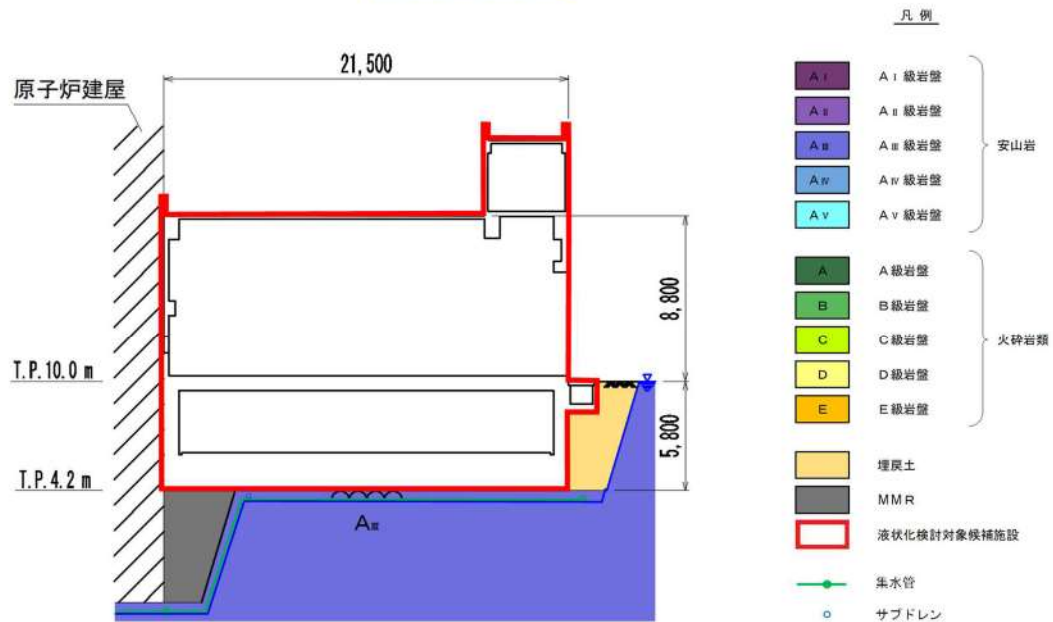


第3.2-2図 原子炉建屋断面図(②-②')

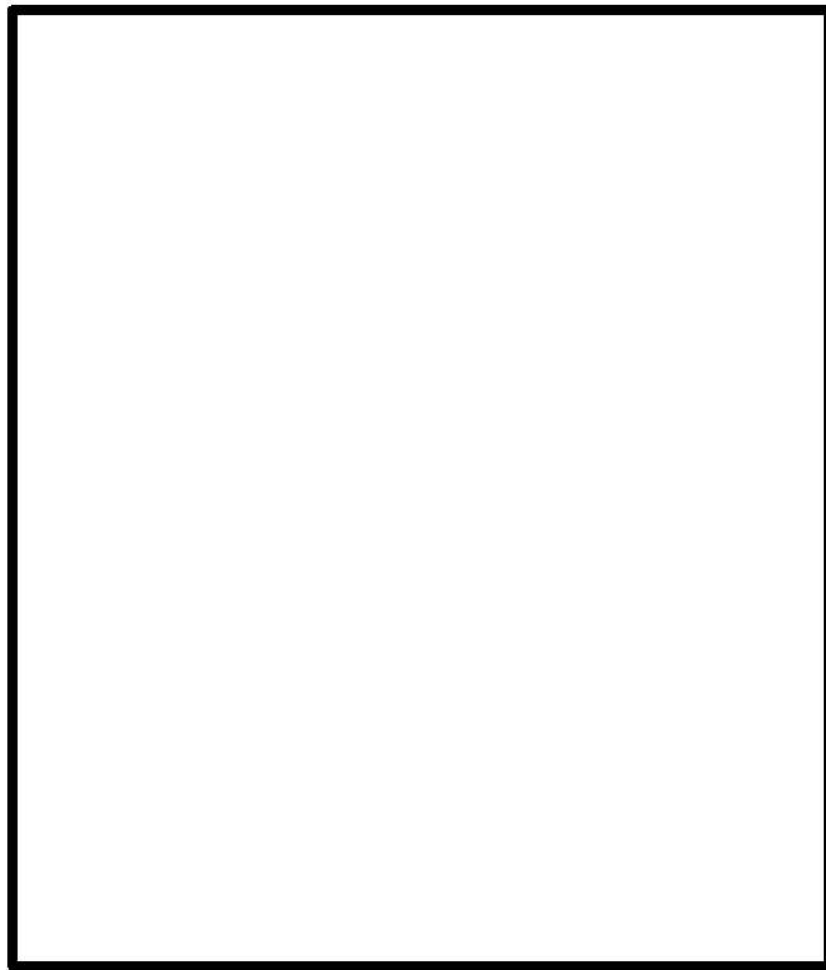


[] :枠囲みの内容は機密情報に属しますので公開できません。

対象施設位置図

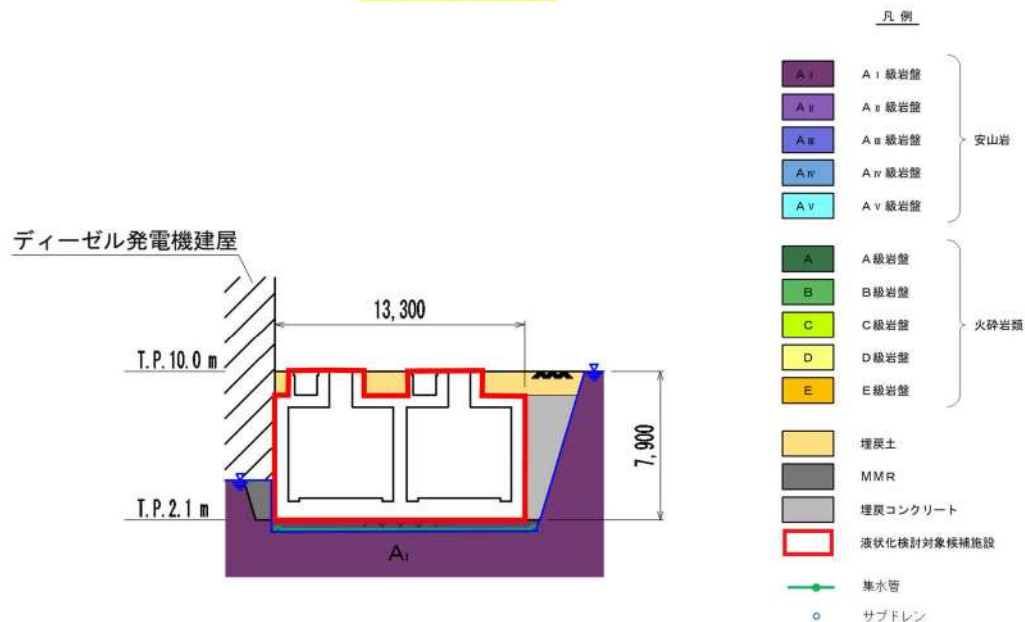


第3.2-3図 ディーゼル発電機建屋断面図

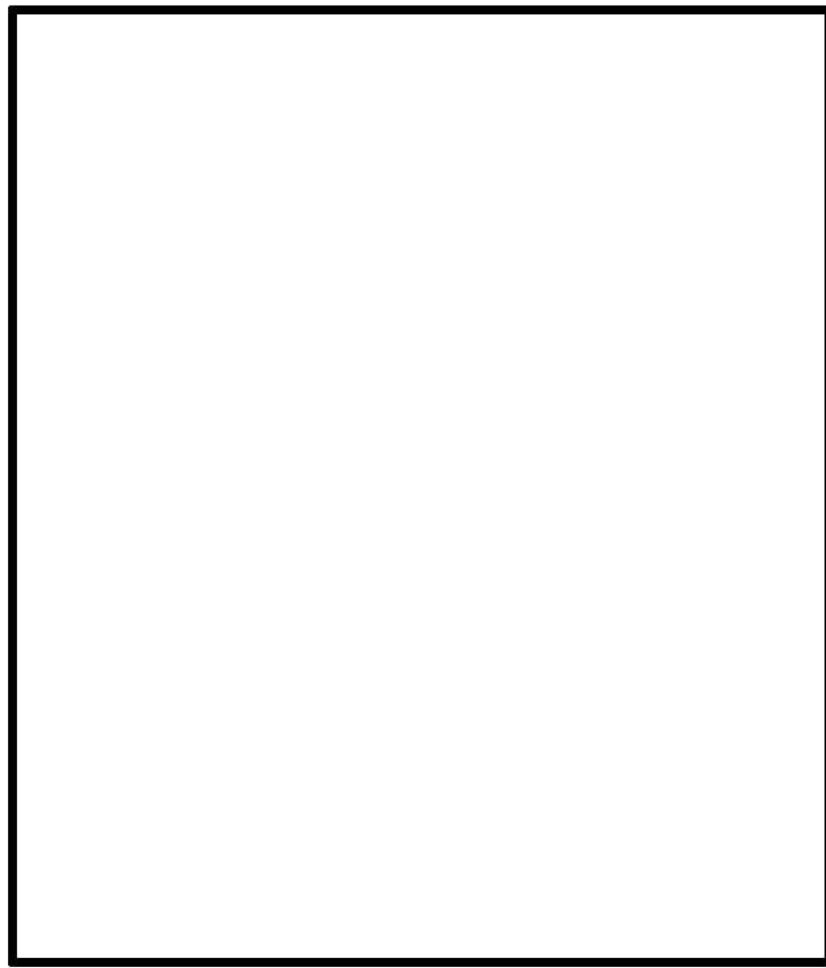


□:枠囲みの内容は機密情報に属しますので公開できません。

対象施設位置図

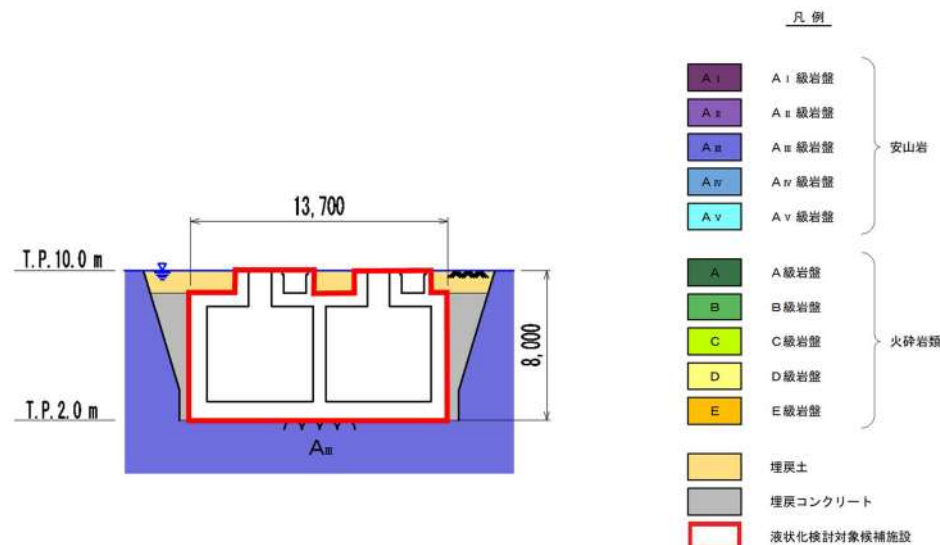


第3.2-4図 A1, A2-燃料油貯油槽タンク室断面図

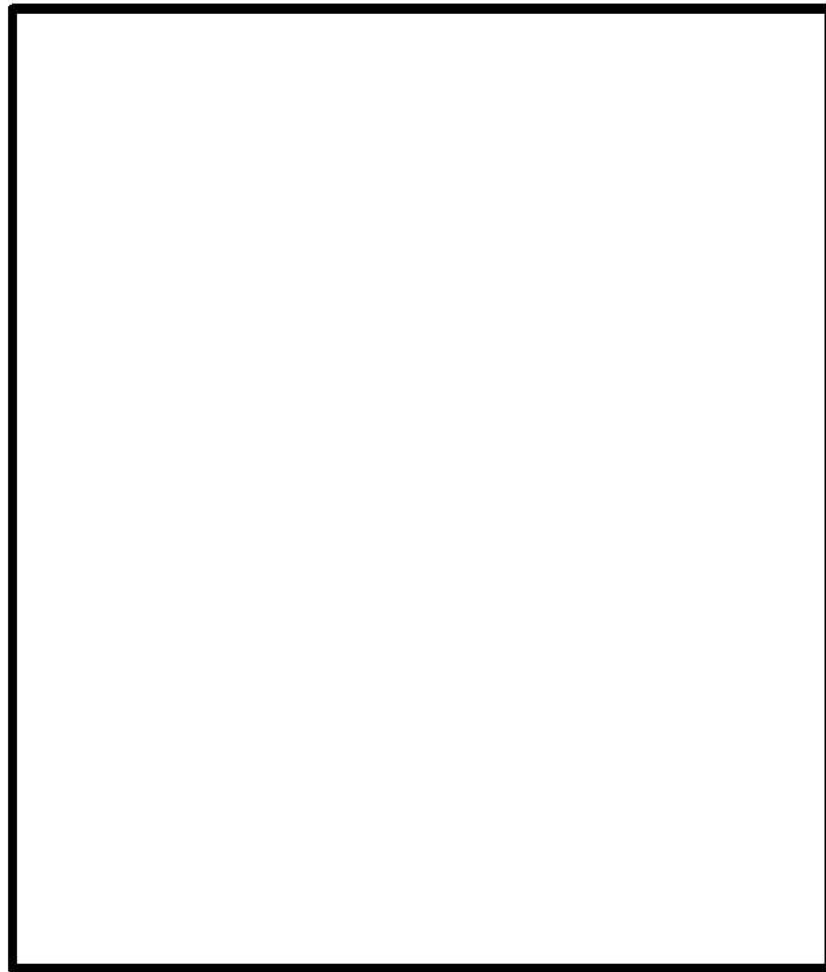


[] :枠囲みの内容は機密情報に属しますので公開できません。

対象施設位置図

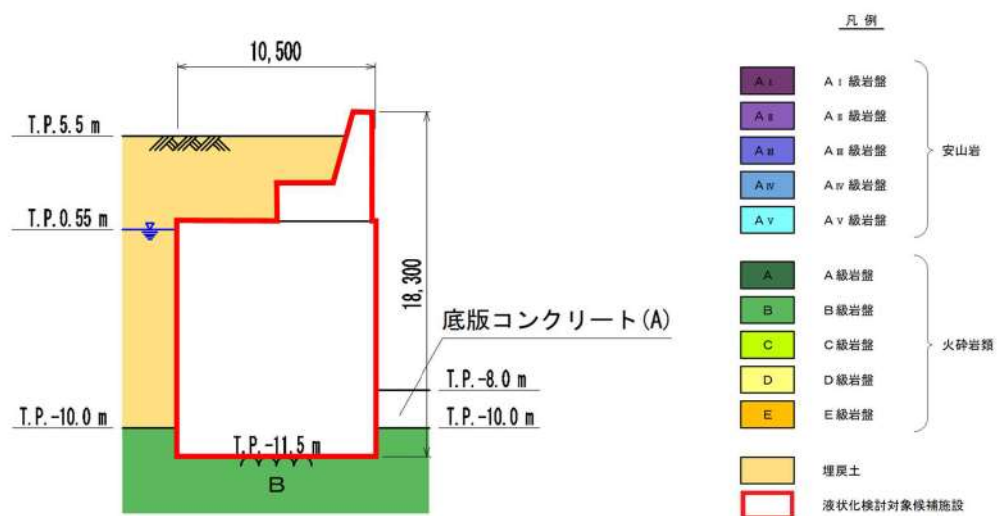


第 3.2-5 図 B1, B2-燃料油貯油槽タンク室断面図

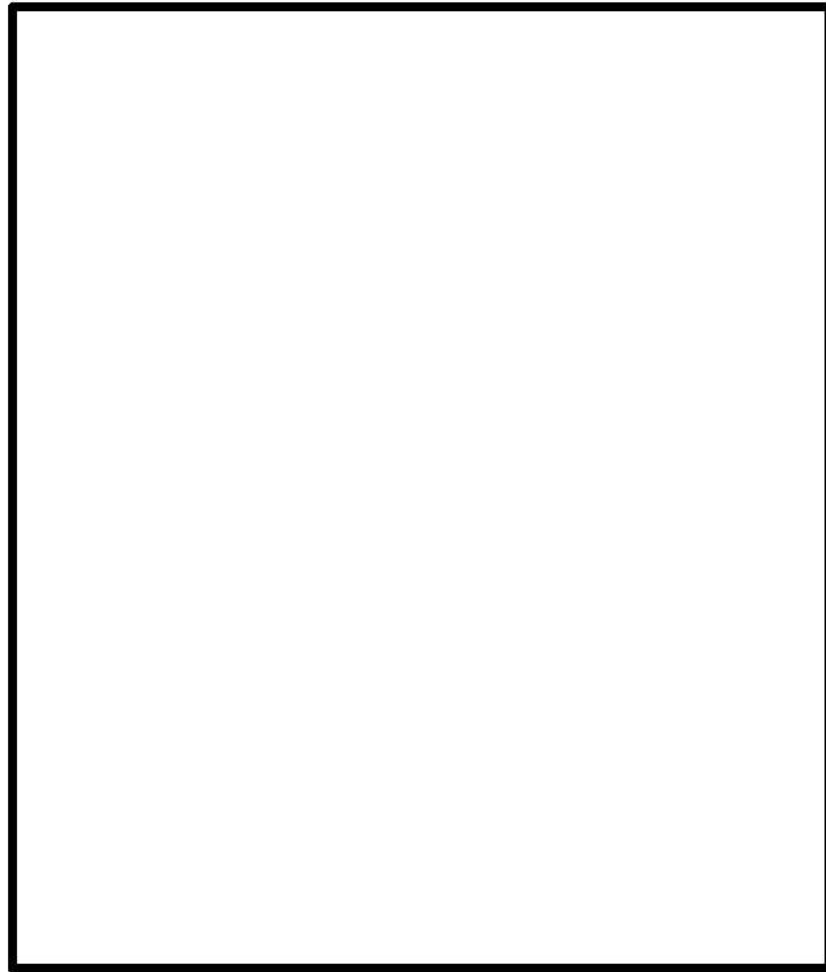


:枠囲みの内容は機密情報に属しますので公開できません。

対象施設位置図



第3.2-6図 取水口断面図

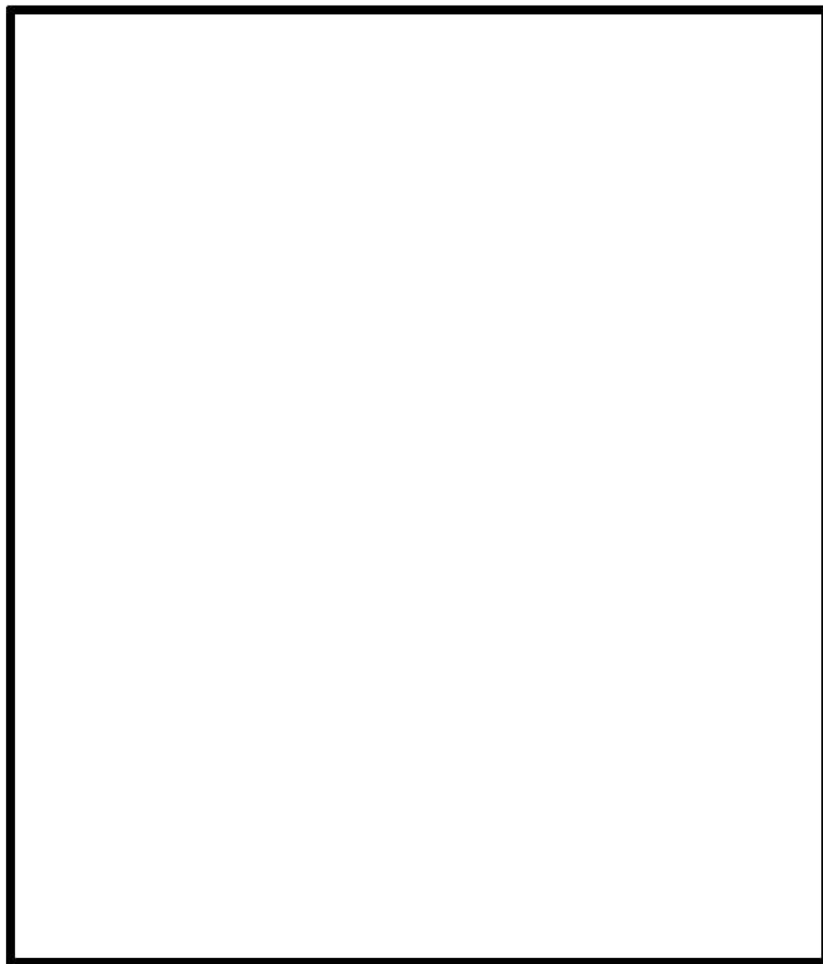


:枠囲みの内容は機密情報に属しますので公開できません。

対象施設位置図

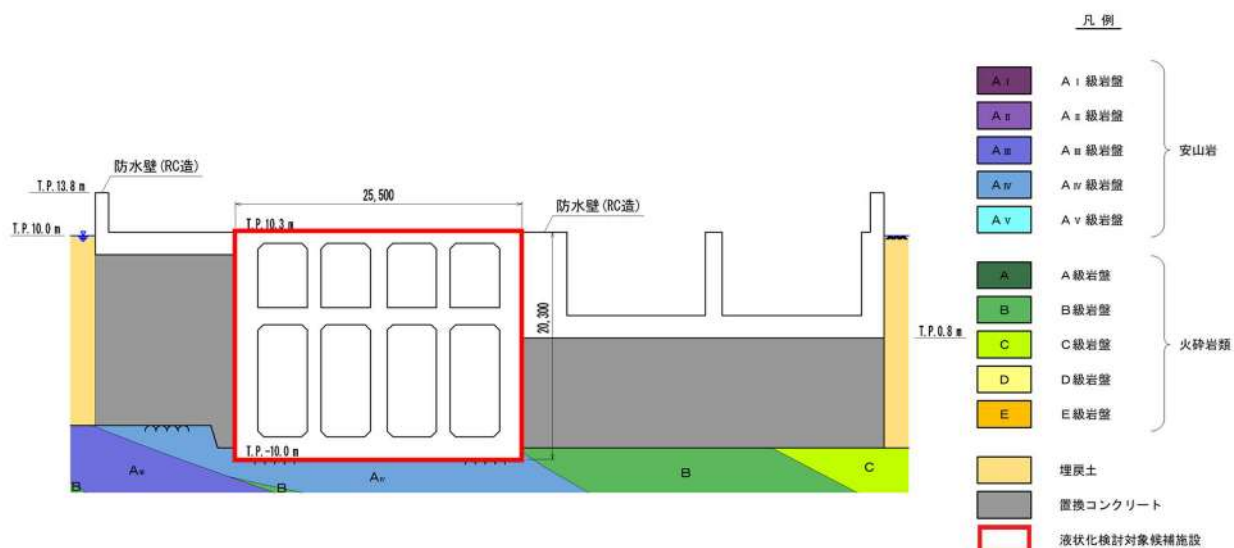


第3.2-7図 取水路断面図

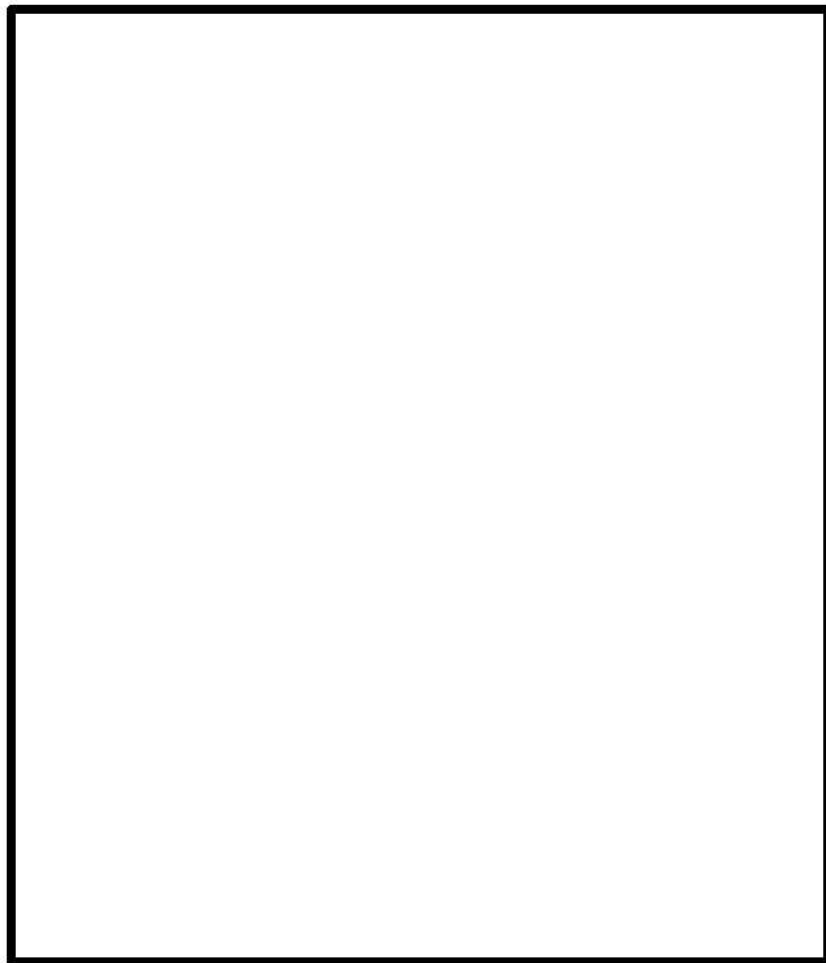


[] :枠囲みの内容は機密情報に属しますので公開できません。

対象施設位置図

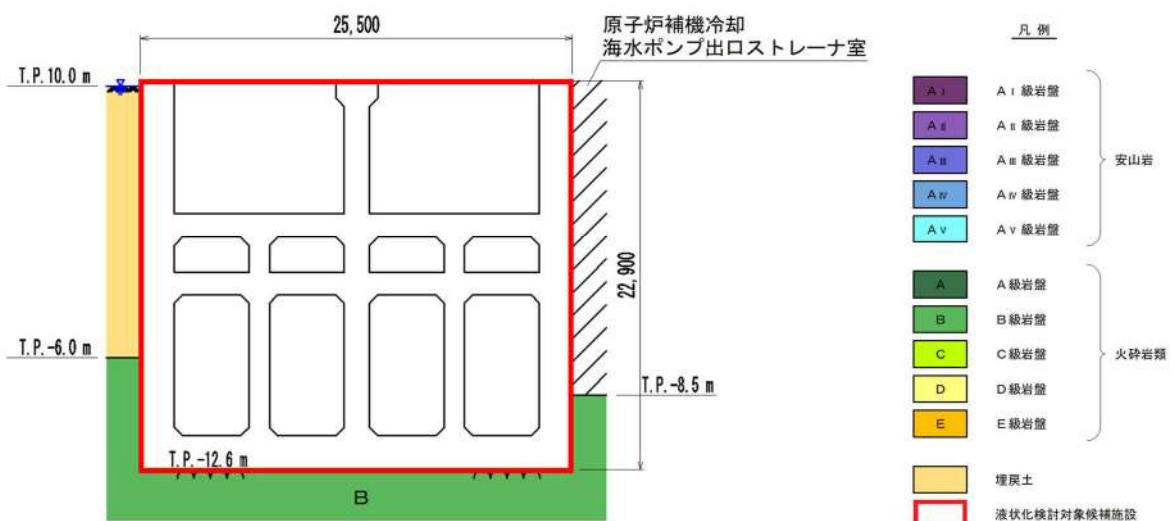


第3.2-8図 取水ピットスクリーン室断面図

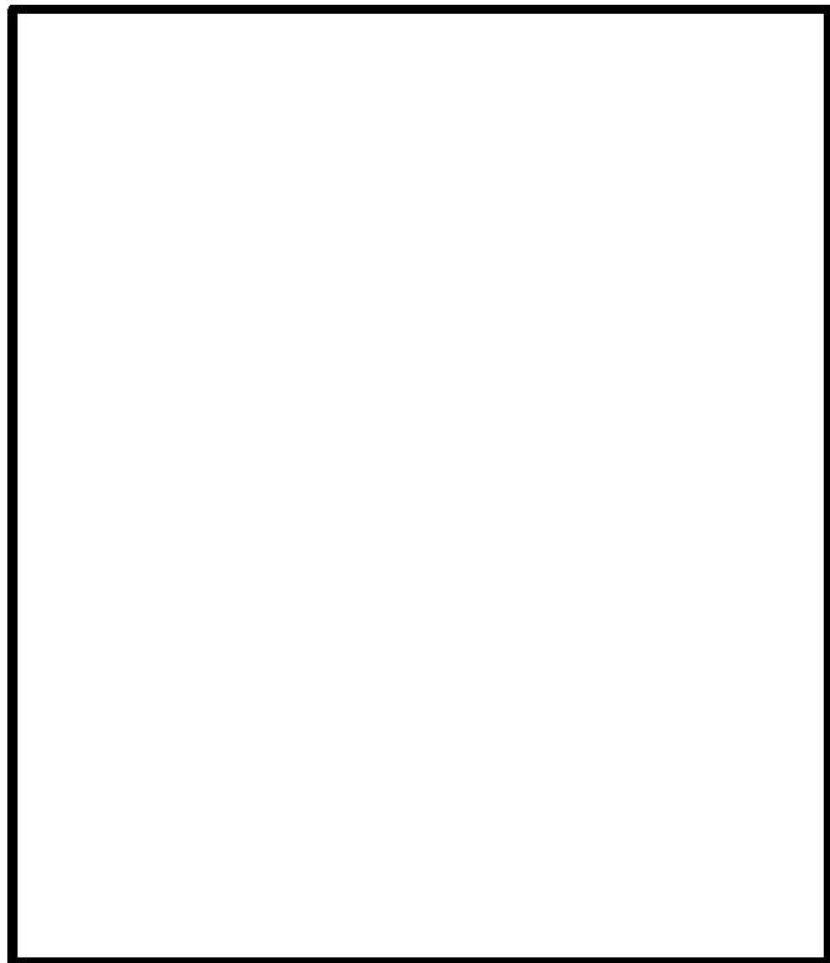


[]枠囲みの内容は機密情報に属しますので公開できません。

対象施設位置図

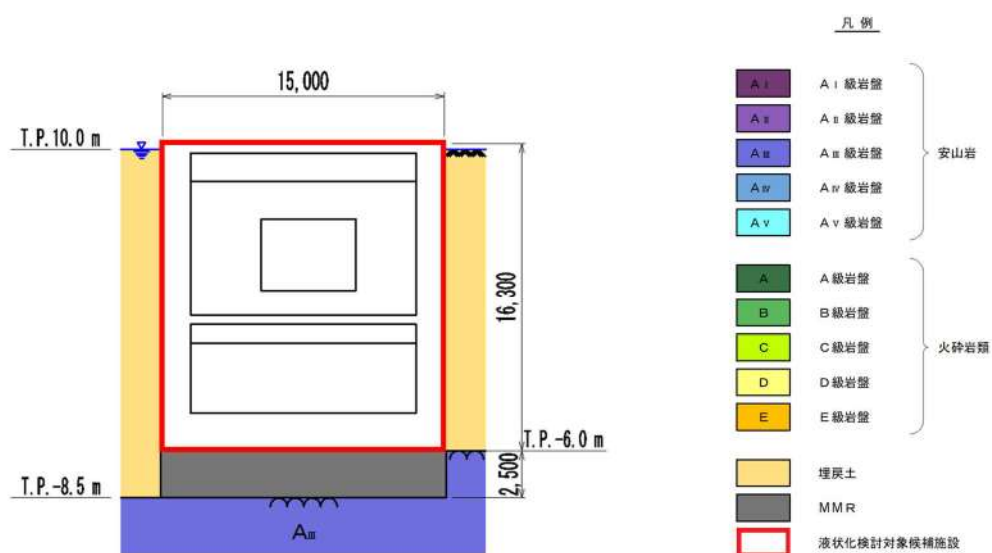


第3.2-9図 取水ピットポンプ室断面図

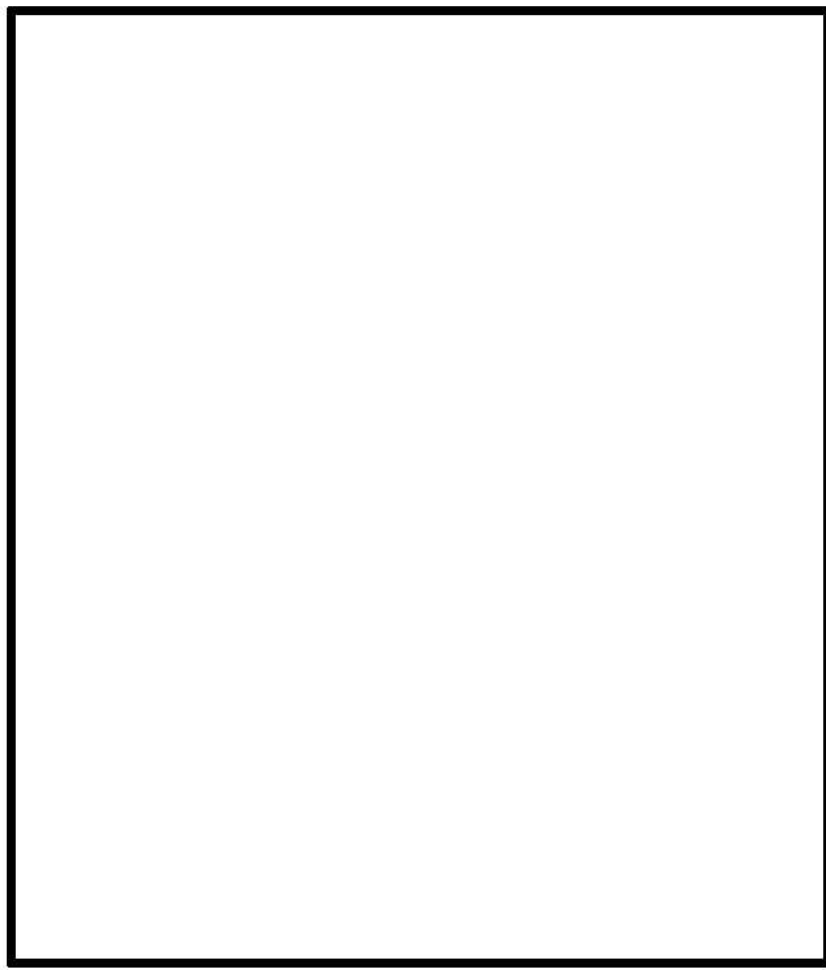


[] : 枠囲みの内容は機密情報に属しますので公開できません。

対象施設位置図

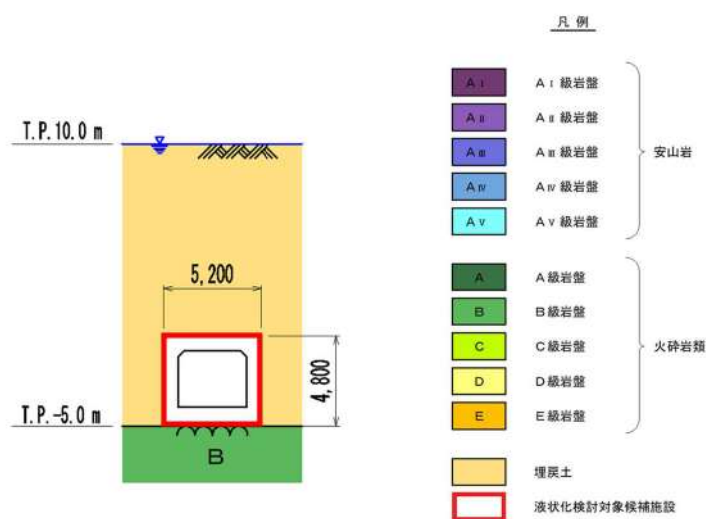


第 3.2-10 図 原子炉補機冷却海水ポンプ出口ストレーナ室断面図

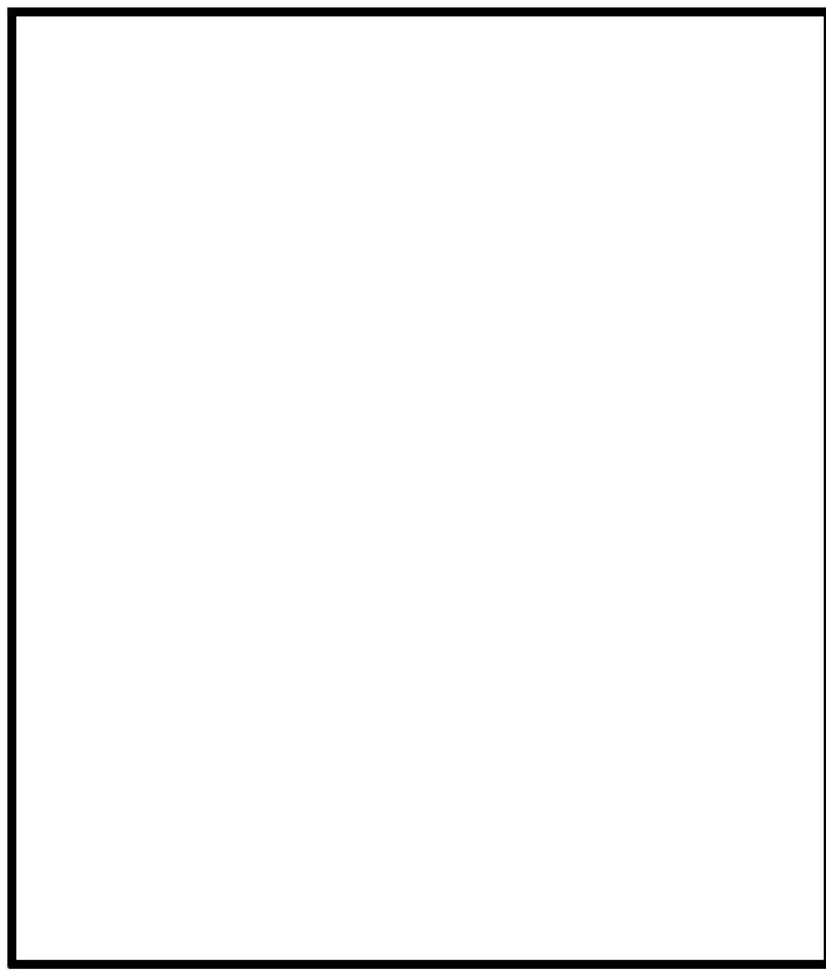


[] :枠囲みの内容は機密情報に属しますので公開できません。

対象施設位置図



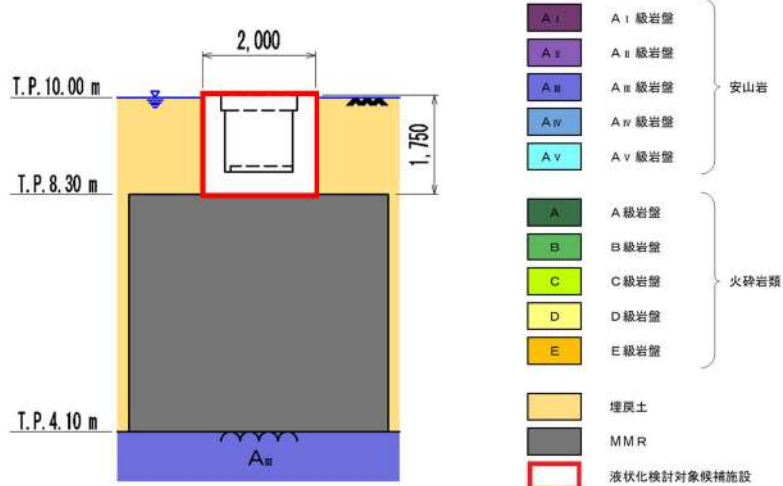
第 3.2-11 図 原子炉補機冷却海水管ダクト断面図



[] : 桁囲みの内容は機密情報に属しますので公開できません。

対象施設位置図

凡例

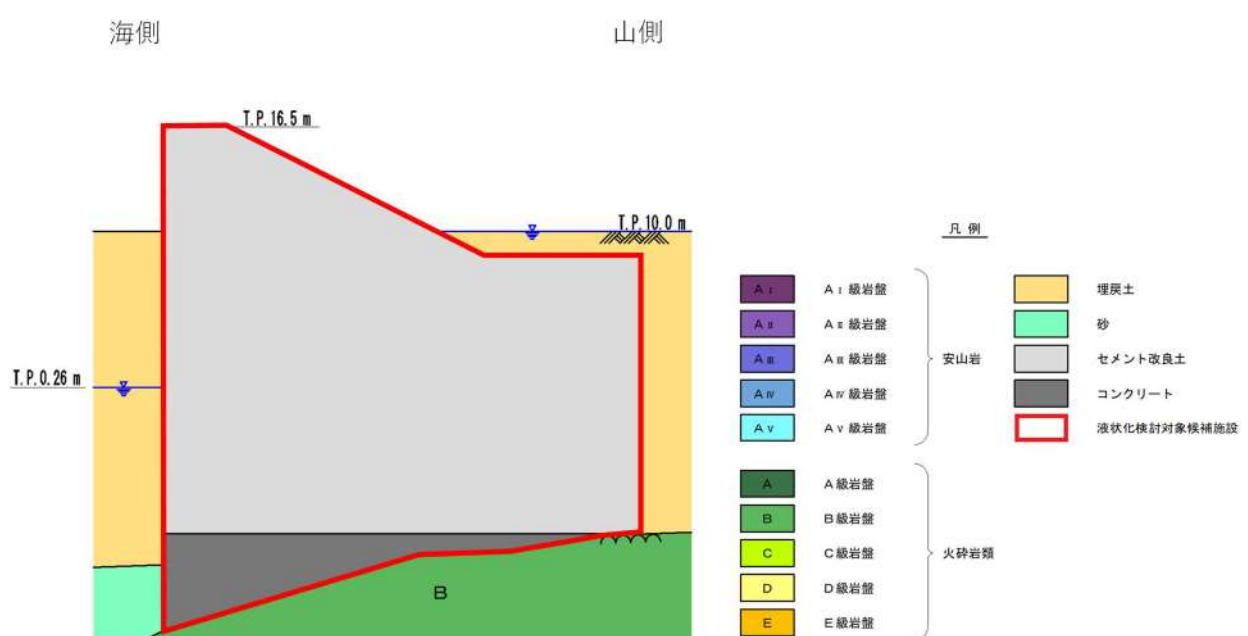


第 3.2-12 図 B1, B2-ディーゼル発電機燃料油貯油槽トレンチ断面図

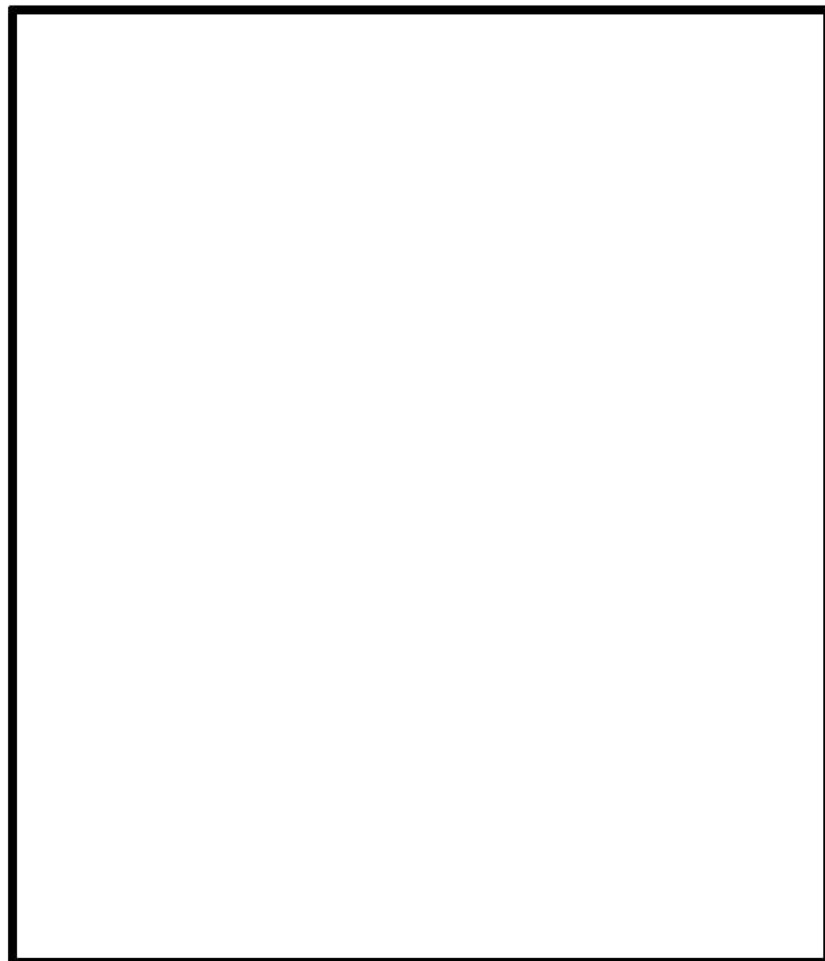


[] : 枠囲みの内容は機密情報に属しますので公開できません。

対象施設位置図

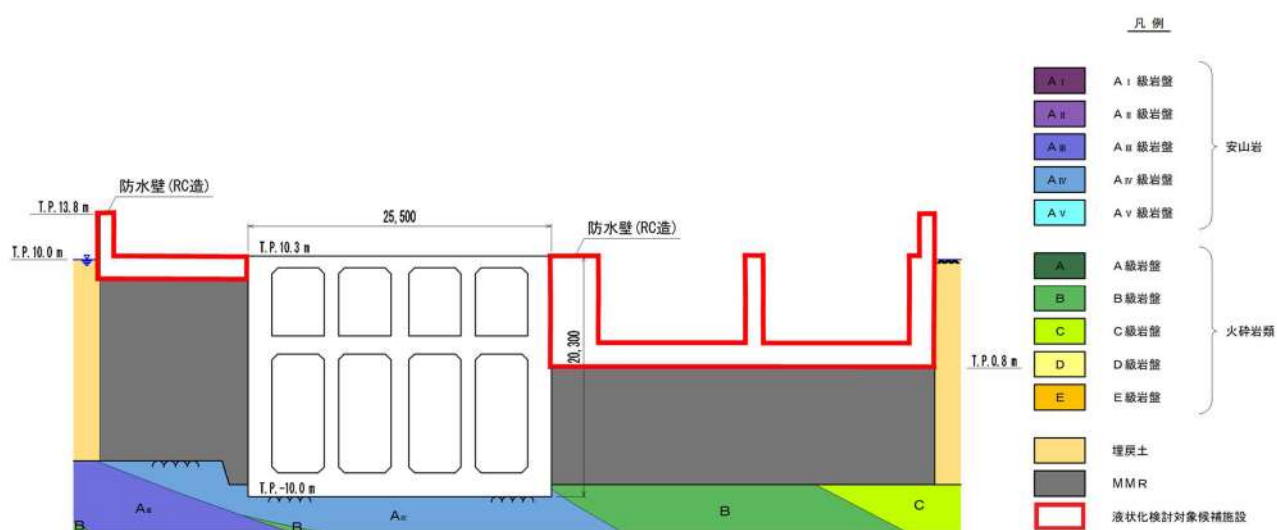


第 3.2-13 図 防潮堤断面図

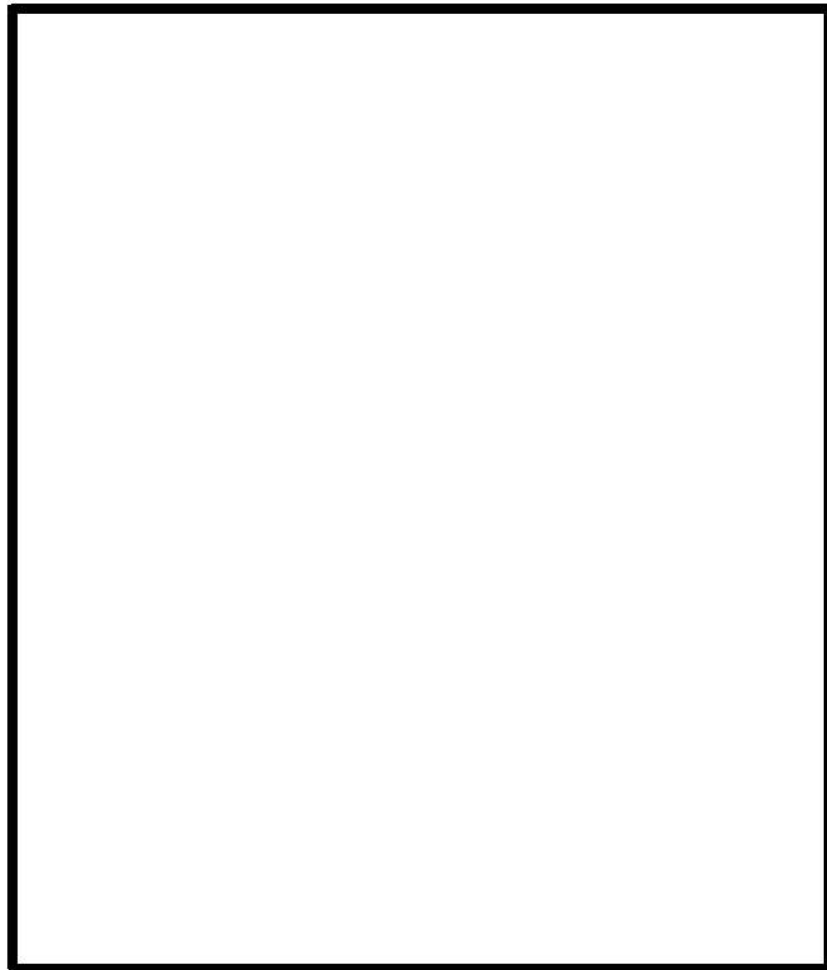


:枠囲みの内容は機密情報に属しますので公開できません。

対象施設位置図

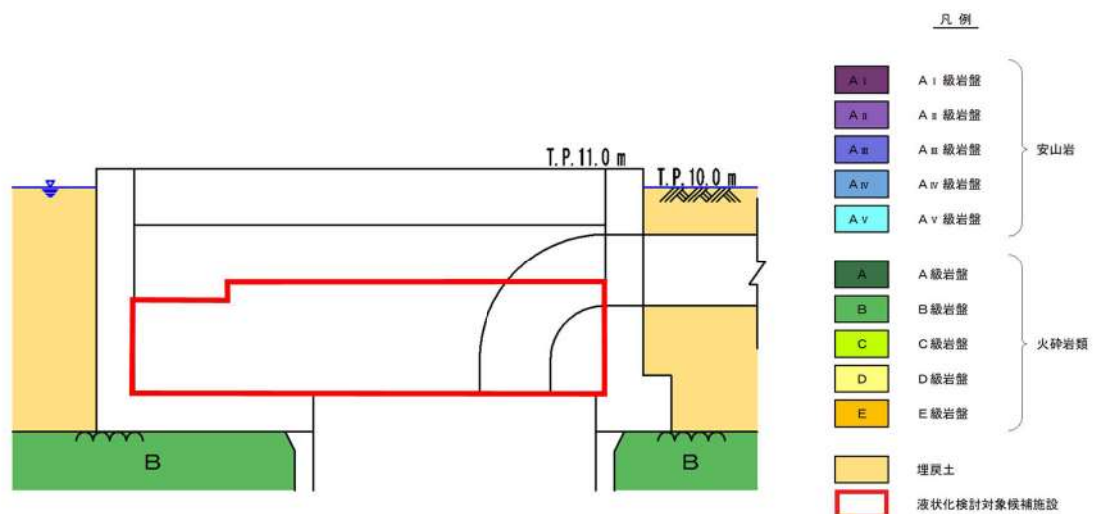


第3.2-14図 3号炉取水ピットスクリーン室防水壁断面図



[] : 枠囲みの内容は機密情報に属しますので公開できません。

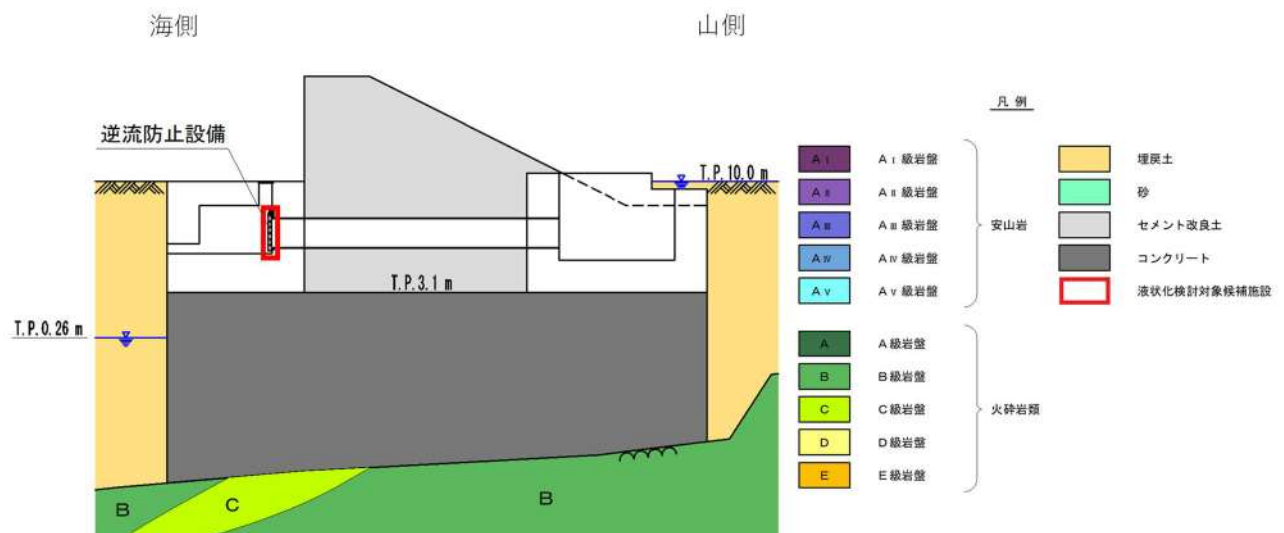
対象施設位置図



第 3.2-15 図 3 号炉放水ピット流路縮小工断面図

:枠囲みの内容は機密情報に属しますので公開できません。

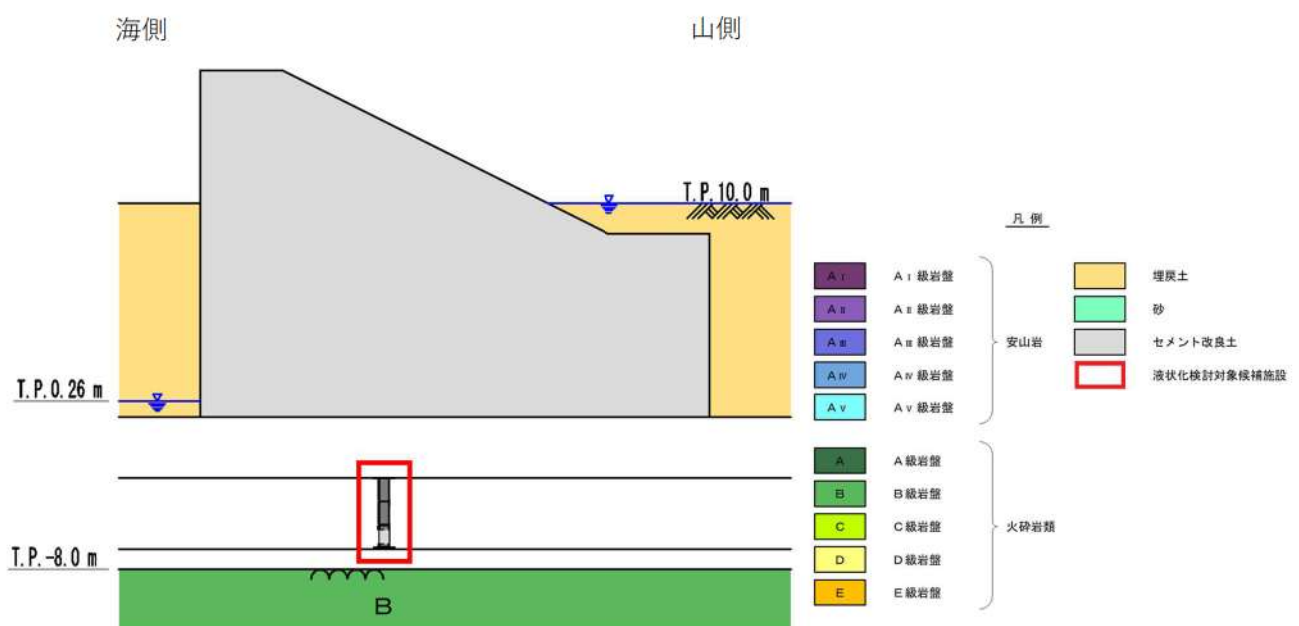
対象施設位置図



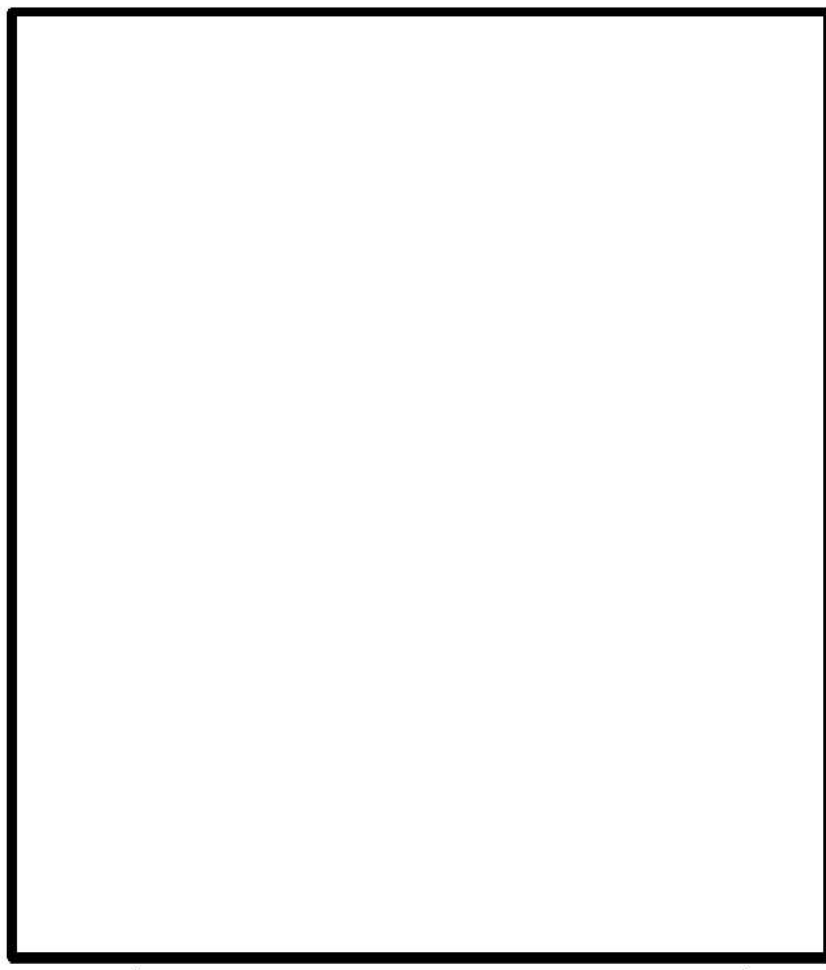
第 3.2-16 図 屋外排水路逆流防止設備断面図

 :枠囲みの内容は機密情報に属しますので公開できません。

対象施設位置図

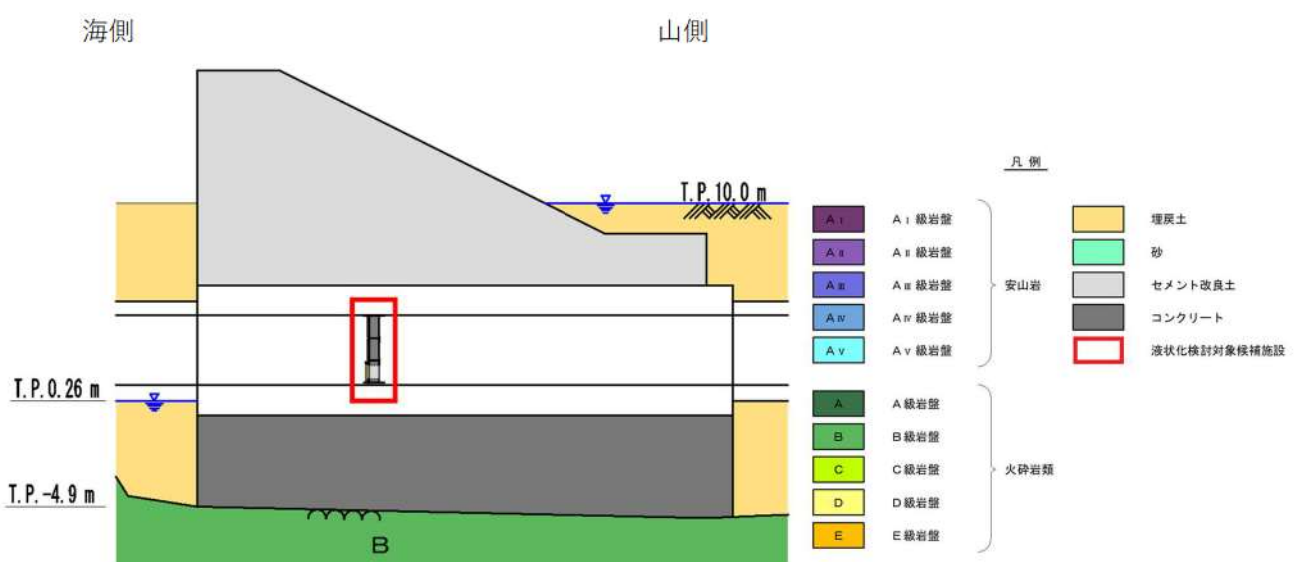


第 3.2-17 図 1号及び2号炉取水路流路縮小工断面図

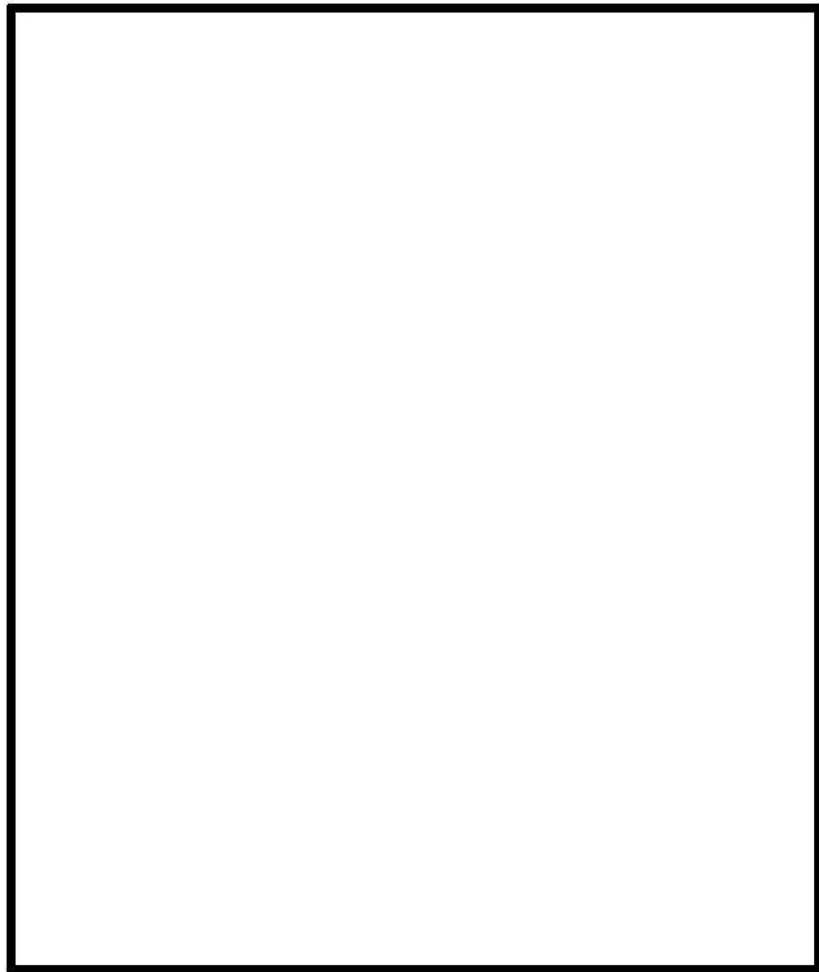


[] :枠囲みの内容は機密情報に属しますので公開できません。

対象施設位置図

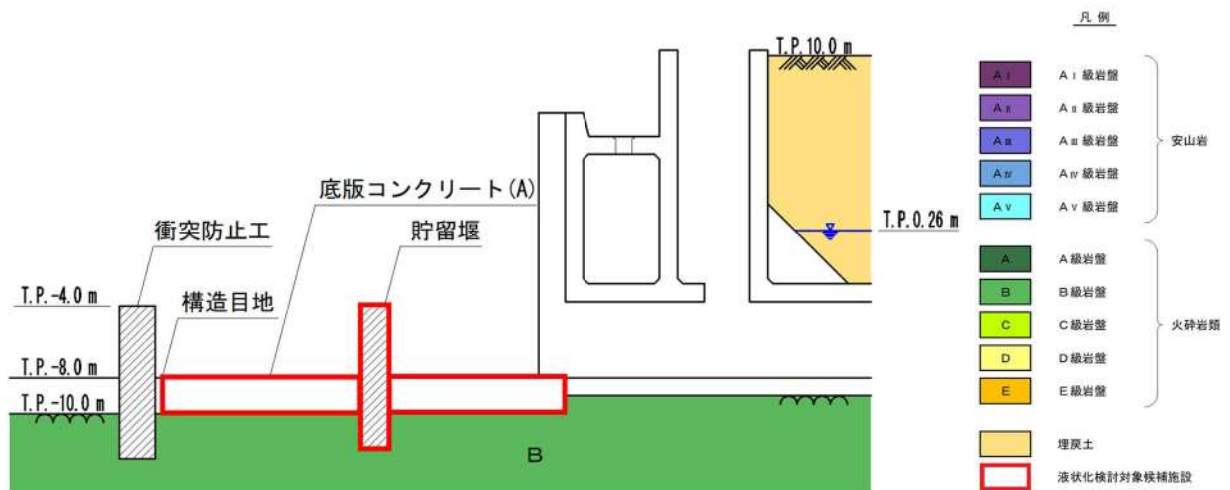


第3.2-18図 1号及び2号炉放水路逆流防止設備断面図



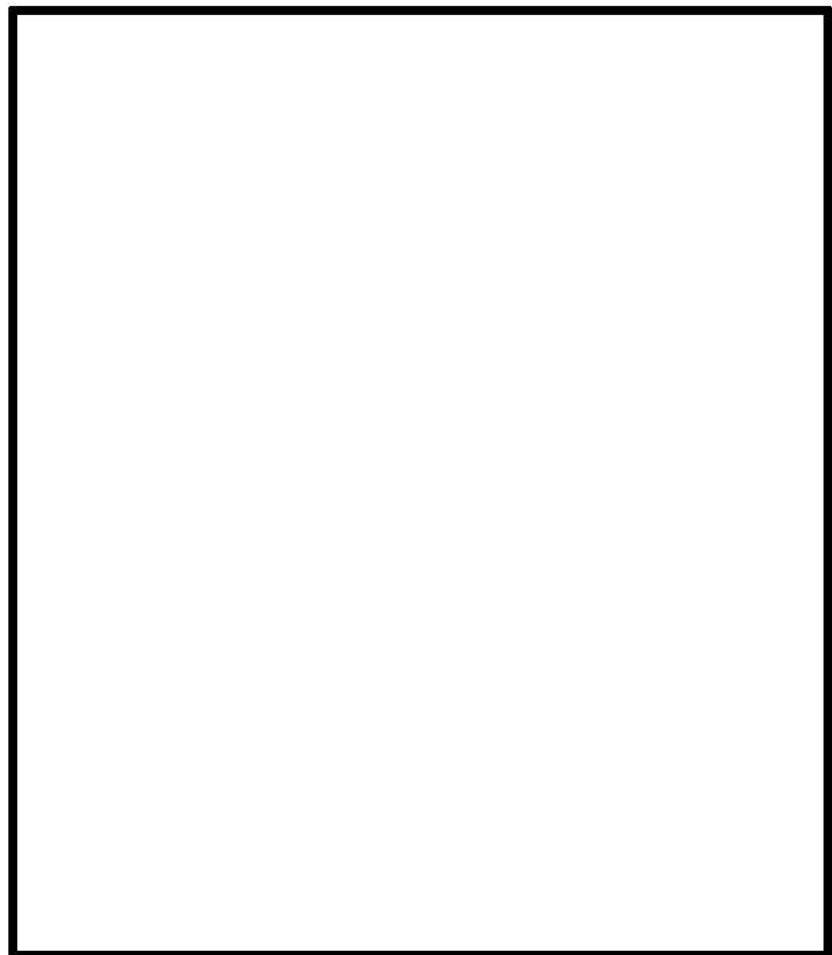
[] :枠囲みの内容は機密情報に属しますので公開できません。

対象施設位置図



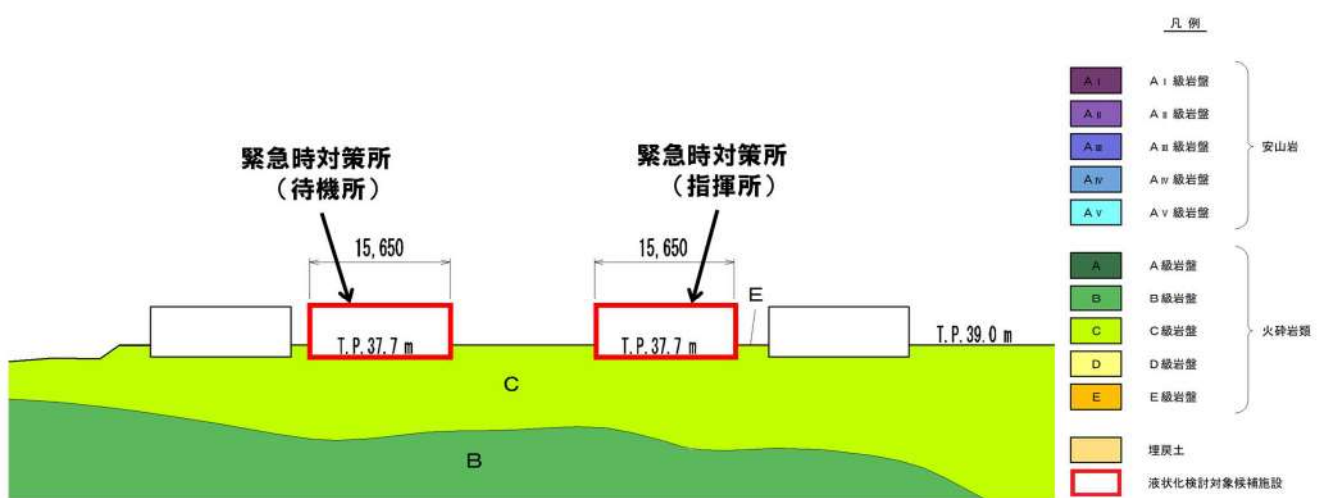
第3.2-19図 貯留堰部断面図

4条-別紙 9-37



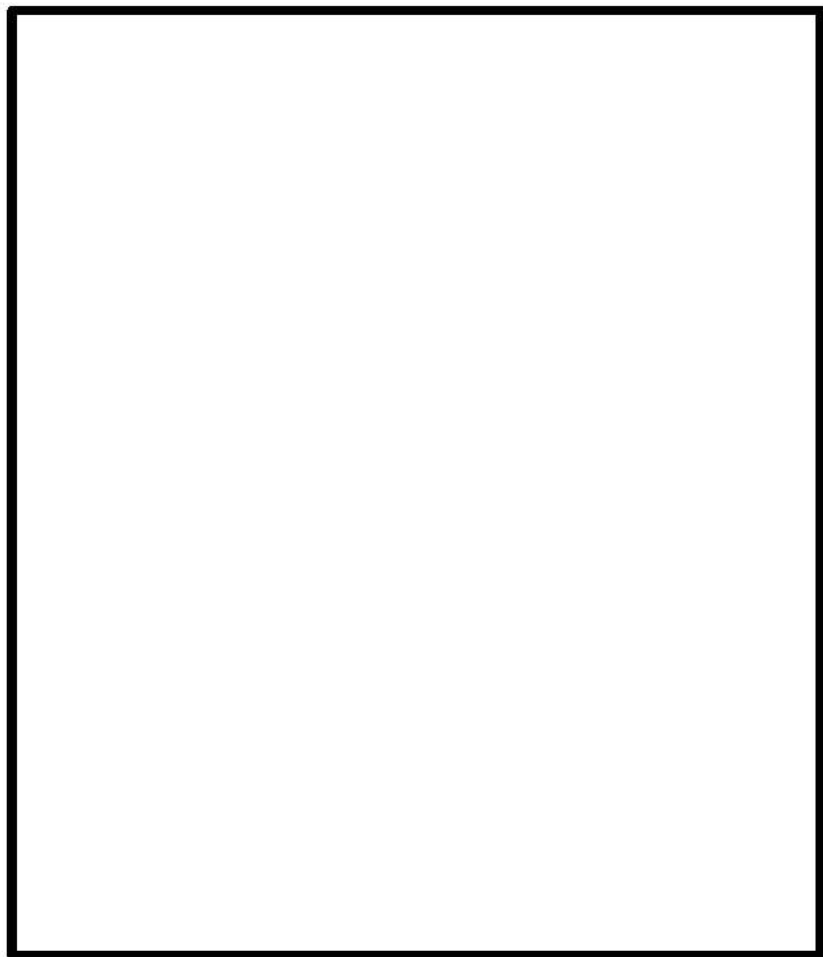
[] :枠囲みの内容は機密情報に属しますので公開できません。

対象施設位置図



③緊急時対策所(指揮所, 待機所)断面図(③-③')

第 3.2-20 図(1/2) 緊急時対策所断面図

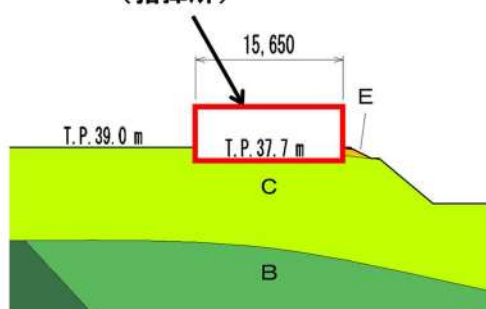


[]:枠囲みの内容は機密情報に属しますので公開できません。

対象施設位置図

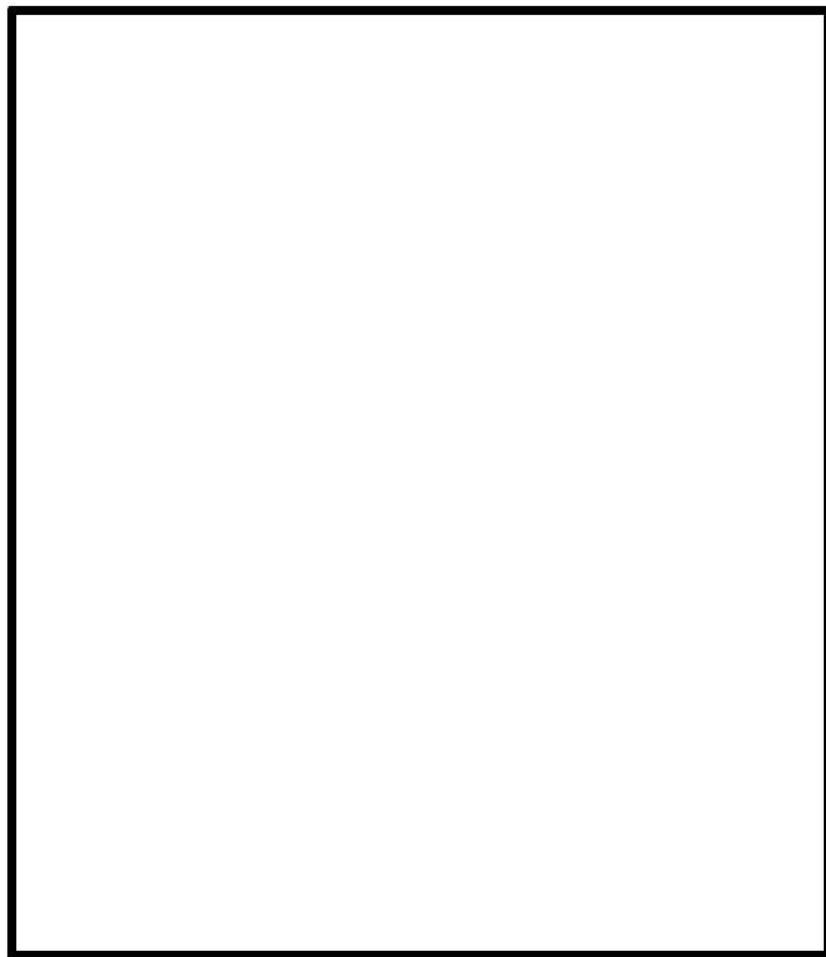
凡例

緊急時対策所
(指揮所)



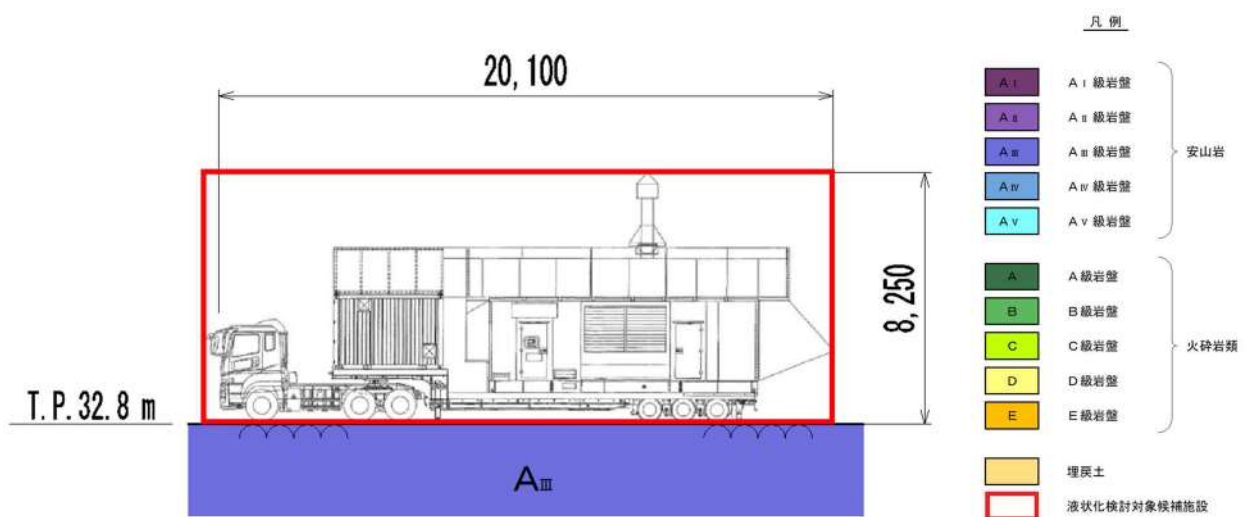
④緊急時対策所(指揮所)断面図(④-④')

第3.2-20 図(2/2) 緊急時対策所断面図



[] :枠囲みの内容は機密情報に属しますので公開できません。

対象施設位置図



第 3.2-21 図 代替非常用発電機設置位置断面図

4. 液状化強度試験の試料採取位置選定とその代表性

4.1 試料採取位置の選定及び代表性確認の方針

液状化強度試験位置の代表性については、以下の方針に基づいて確認する。

- ・液状化強度試験の試料採取位置とその周辺で実施したボーリング調査位置(以下「周辺調査位置」という)の物理特性の比較により代表性を確認する。
- ・代表性確認の対象土層は、液状化検討対象層である1,2号埋戻土、3号埋戻土並びにAs1層及びAs2層とする。
- ・液状化強度試験の試料採取位置の代表性確認に当たっては、液状化検討対象施設の近傍及び埋戻しの施工時期が異なるエリアで試料採取をし、液状化強度試験を実施する。
- ・施設近傍の液状化強度試験の試料採取ができていないと判断される場合は、追加調査を計画する。
- ・代表性確認に用いる評価指標は、液状化強度と相関が高い指標を設定する。

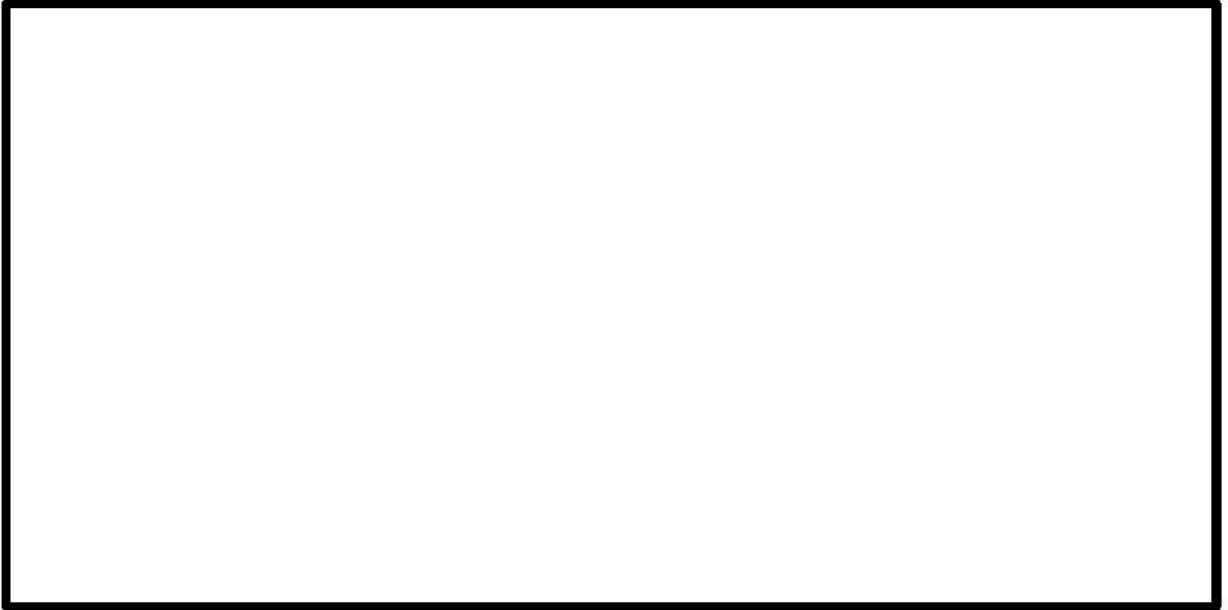
4.2 試料採取位置の選定

敷地内に残存する液状化検討対象層(埋戻土・砂層)について、採取可能な試料採取位置の選定を行った。

埋戻土の液状化強度試験に用いる試料採取位置は、第4.2-1図～第4.2-3図に示すとおり、「ボーリングが実施可能であること」、「試料採取が可能な位置及び深度であること」を条件に、飽和した埋戻土が分布する範囲を網羅する10地点(1,2号埋戻土)と7地点(3号埋戻土)を選定した。供試体は1,2号埋戻土及び3号埋戻土の地下水位前後からサンプリングしている。

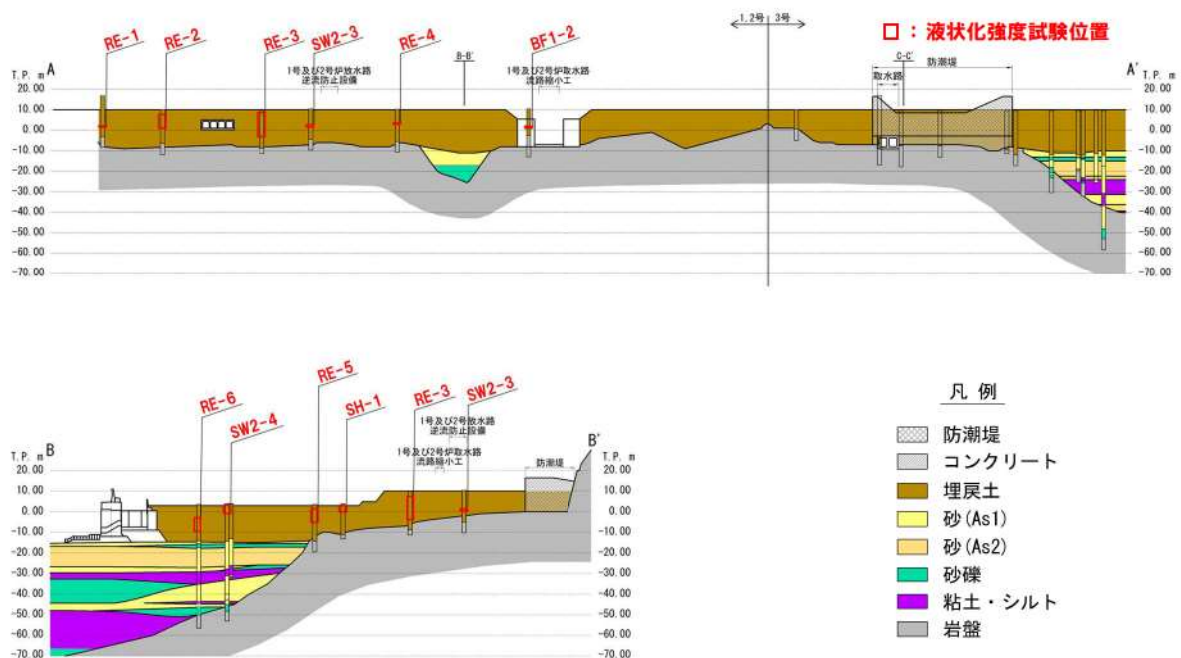
埋戻土及び砂層の周辺調査位置の物理特性に関する評価は添付資料3に示す。

砂層については、第4.2-4図及び第4.2-5図に示すとおり、「ボーリングが実施可能であること」、「試料採取が可能な位置及び深度であること」、「試料採取可能な層厚を有していること」を条件に、砂層が分布する範囲を網羅する7地点を選定した。

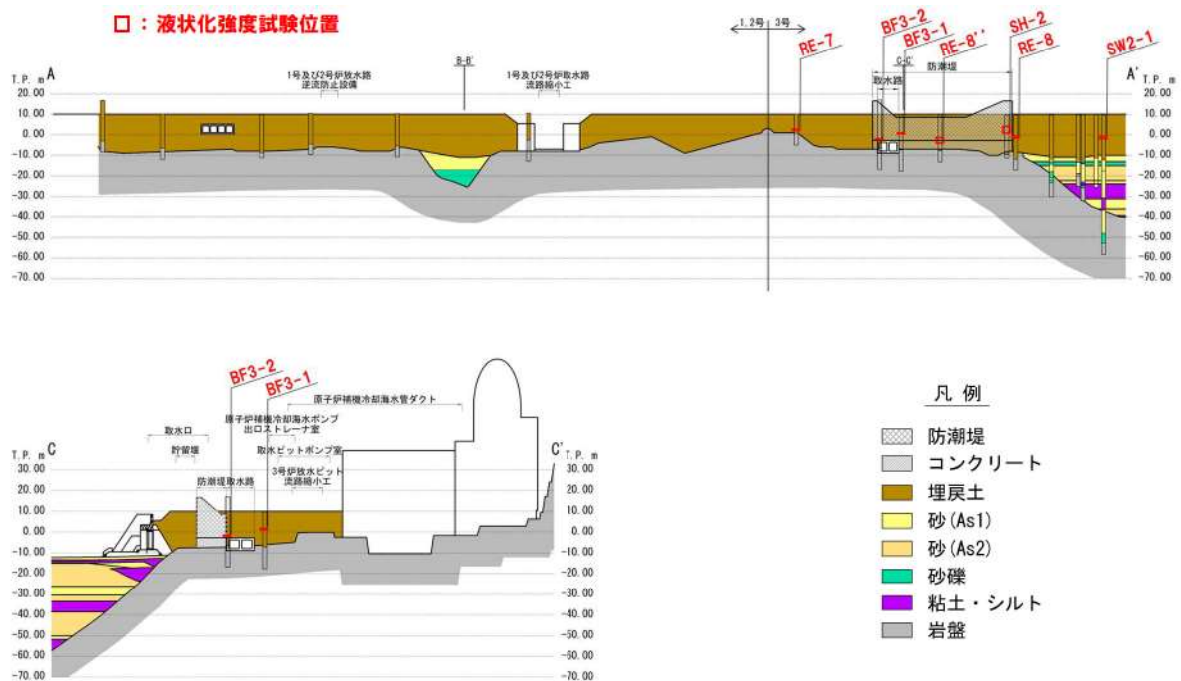


:枠囲みの内容は機密情報に属しますので公開できません。

第 4.2-1 図 液状化強度試験に用いる試料採取位置平面図(埋戻土)



第 4.2-2 図 液状化強度試験に用いる試料採取位置断面図(1, 2 号埋戻土)

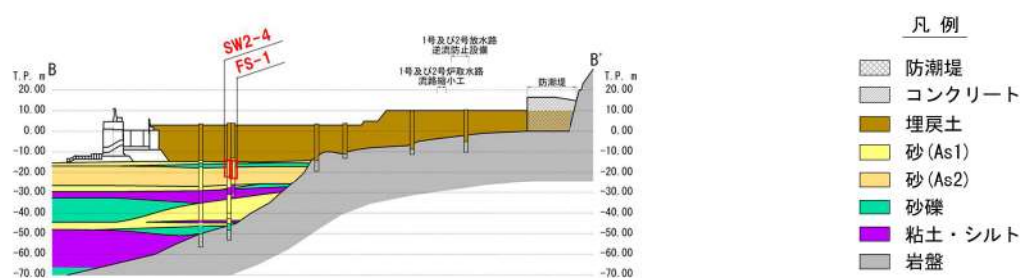
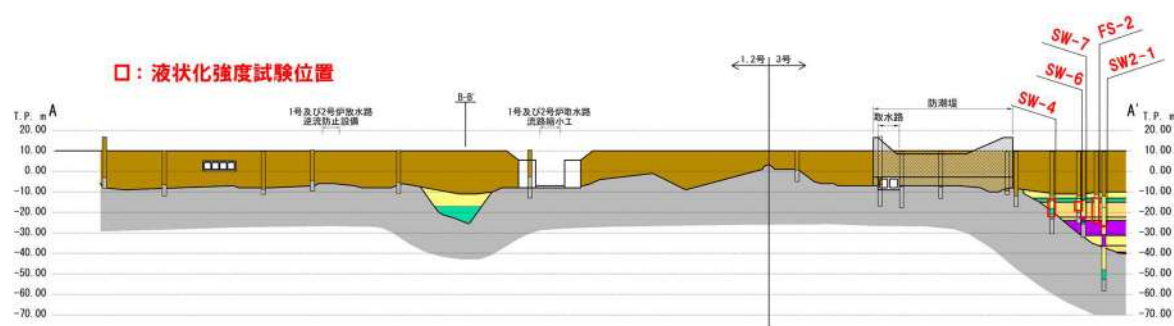


第 4.2-3 図 液状化強度試験に用いる試料採取位置断面図(3 号埋戻土)



[枠囲みの内容は機密情報に属しますので公開できません。]

第4.2-4図 液状化強度試験に用いる試料採取位置平面図(砂層)



第4.2-5図 液状化強度試験に用いる試料採取位置断面図(砂層)

4.3 試料採取位置の代表性確認

選定した埋戻土と砂層の液状化試験試料の採取位置が発電所敷地内の液状化強度を代表できることを示す。

埋戻土及び砂層について、液状化強度比 R_L と相関性のある指標を抽出の上、液状化強度試験位置と敷地全体における指標の比較を行うことにより、その妥当性を確認した。

4.3.1 埋戻土の代表性確認

埋戻土については、建設時に発生した岩碎が主体であり、締固め管理して施工した地盤である。

埋戻土の液状化強度試験位置の代表性を確認することを目的として、液状化強度試験位置と敷地全体における指標を比較し検討を行った。

代表性確認において比較する指標として、設置許可段階においては、液状化強度比 R_L と相関性のある(a)粒度分布、(b)細粒分含有率を選定した。

また、設工認段階においては、同じく液状化強度比 R_L と相関性のある(c)相対密度を代表性確認指標に追加して説明する。

なお、N値については、標準貫入試験用サンプラーの径を上回る礫が埋戻土に多く含まれているため、標準貫入試験では適正な評価が困難であることから、代表性確認指標に選定しない。(詳細は添付資料4に示す)。

また、せん断波速度は、泊発電所の埋戻土において液状化強度との明確な相関関係が認められないことから、代表性確認指標に選定しない。

各指標の選定理由を以下に示す。また、各基準類における液状化強度比 R_L と基本物性の相関性を第4.2-1表に示す。

(a)粒度分布

粒径加積曲線から求められる粒度分布は、基本的な土の物性値であり、各基準類における液状化判定に用いられており、液状化強度比の相関が高いことから選定した。

(b)細粒分含有率

細粒分含有率は、各基準類の液状化判定における液状化強度比 R_L の算定式において、液状化強度比 R_L を補正するパラメータとして用いられており、液状化強度比 R_L との相関が高いことから選定した。

(c)相対密度

ダイレイタンシー特性（繰返しせん断に伴う体積変化）に直接関連する指標であり、液状化強度比 R_L との相関が高いことから選定した。

第 4.3-1 表 各基準類における液状化強度比 R_L と基本物性の相関性

基準類名	液状化判定に用いる物性値	R_L 算定に用いる主物性	R_L 補正に用いる物性
道路橋示方書（V 耐震設計編）・同解説、（社）日本道路協会、平成 14 年 3 月	平均粒径 D_{50} 10%粒径 D_{10} 細粒分含有率 F_c		
港湾の施設の耐震設計に係る当面の措置（その 2）、（社）日本港湾協会、2007（部分改訂、2012）	粒度分布		
建築基礎構造設計指針、（社）日本建築学会、2001	細粒分含有率 F_c 粘土分含有率 P_c 塑性指数 I_p	N 値 (有効上載圧を考慮した補正を行う)	細粒分含有率 F_c
鉄道構造物等設計標準・同解説耐震設計、（財）鉄道総合技術研究所、2012	平均粒径 D_{50} 10%粒径 D_{10} 細粒分含有率 F_c 粘土分含有率 P_c		
港湾の施設の技術上の基準・同解説（国土交通省港湾局、2007 年版）	粒度分布		

(1) 1, 2 号埋戻土の代表性確認

1, 2 号埋戻土の液状化強度試験位置並びに周辺調査位置を第 4.3-1 図に示す。

1, 2 号埋戻土の液状化強度試験位置での各指標(粒度分布, 細粒分含有率)に対する代表性の確認結果は以下のとおりである(第 4.3-2 図)。

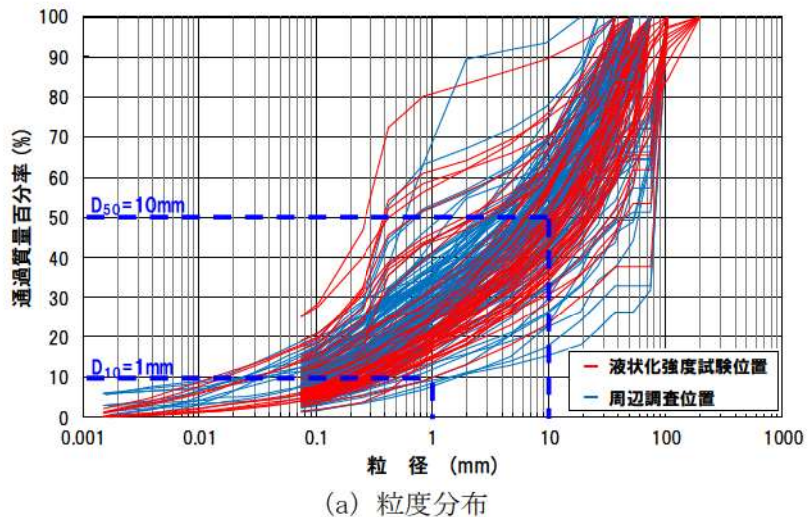
- ・液状化強度試験位置の粒度分布は、礫質土及び砂質土の特性が認められるが、液状化強度試験位置は礫質土及び砂質土ともに概ね粒度試験結果全体の範囲にある。
- ・液状化強度試験位置の細粒分含有率は、概ね周辺調査位置の範囲と同程度の範囲にある。

ただし、1, 2 号埋戻土の液状化強度試験の試料採取位置については、現状の試料採取位置では、液状化検討対象施設等の近傍で十分にデータが取得できていないため、追加調査が必要であると判断した。

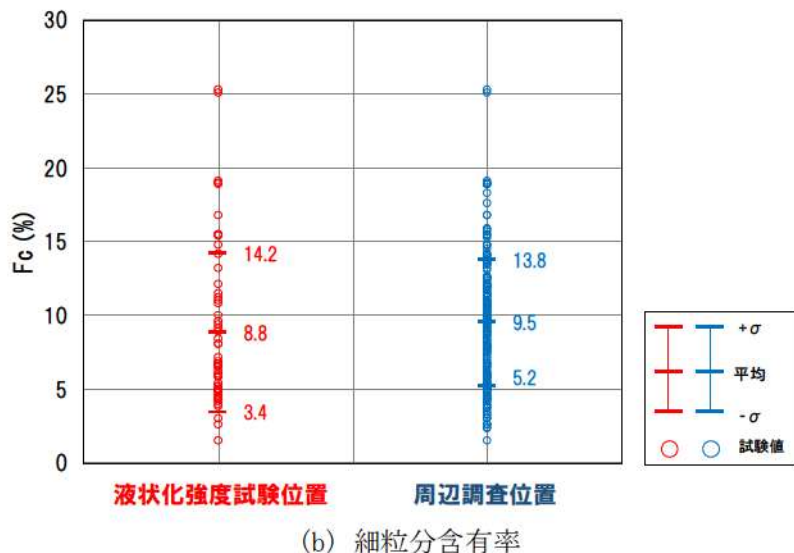


[] :枠囲みの内容は機密情報に属しますので公開できません。

第 4.3-1 図 液状化強度試験位置並びに周辺調査位置(1, 2 号埋戻土)



(a) 粒度分布



(b) 細粒分含有率

第 4.3-2 図 液状化強度試験位置の基本物性の比較(1, 2 号埋戻土)

(2) 3号埋戻土の代表性確認

3号埋戻土の液状化強度試験位置並びに周辺調査位置を第4.3-3図に示す。

3号埋戻土の液状化強度試験位置での各指標(粒度分布、細粒分含有率)に対する代表性の確認結果は以下のとおりである(第4.3-4図)。

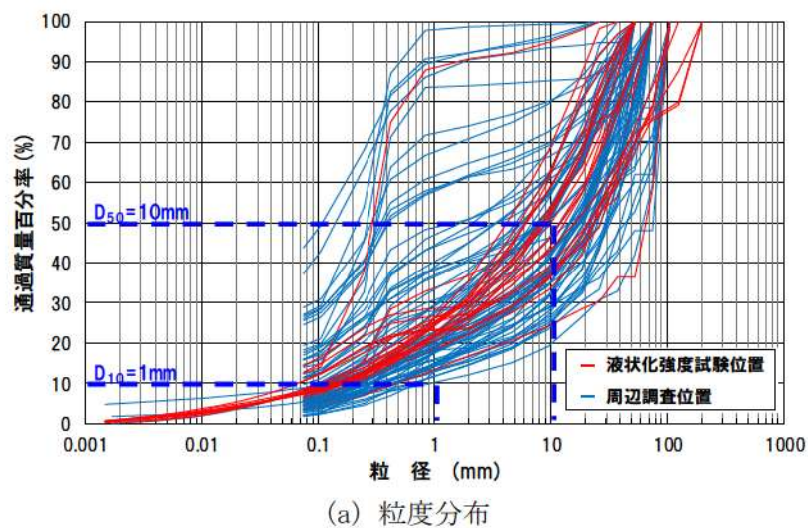
- ・液状化強度試験位置の粒度分布は、礫質土及び砂質土の特性が認められるが、液状化強度試験位置は礫質土及び砂質土とともに概ね粒度試験結果全体の範囲にある。
- ・液状化強度試験位置の細粒分含有率は、概ね周辺調査位置の範囲と同程度の範囲にある。

ただし、3号埋戻土の液状化強度試験の試料採取位置については、現状の試料採取位置では、液状化検討対象施設等の近傍で十分にデータが取得できていないため、追加調査が必要であると判断した。

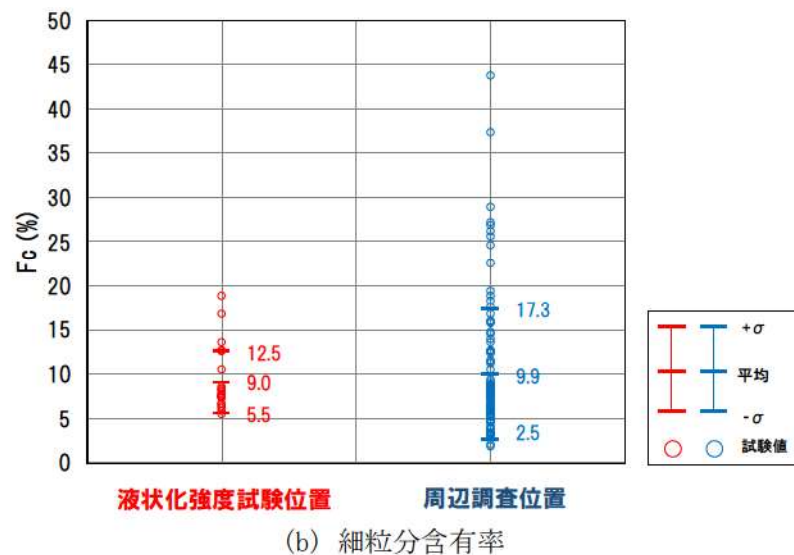


:枠囲みの内容は機密情報に属しますので公開できません。

第4.3-3図 液状化強度試験位置並びに周辺調査位置(3号埋戻土)



(a) 粒度分布



第 4.3-4 図 液状化強度試験位置の基本物性の比較(3号埋戻土)

4.3.2 砂層の代表性確認

砂層の液状化強度試験位置の代表性を確認することを目的として、液状化強度試験位置と敷地全体における指標を比較し検討を行った。

代表性確認において比較する指標として、(a)粒度分布、(b)細粒分含有率、(c)N値を選定した。

なお、各種試験は、JISに基づき実施した。

各指標の選定理由を以下に示す。

(a)粒度分布

粒径加積曲線から求められる粒度分布は、基本的な土の物性値であり、各基準類における液状化判定において平均粒径、10%粒径が用いられており、液状化強度比との相関が高いことから選定した。

(b)細粒分含有率

細粒分含有率は、各基準類の液状化判定における液状化強度比 R_L の算定式において、液状化強度比 R_L を補正するパラメータとして用いられており、液状化強度比 R_L との相関が高いことから選定した。

(c)N値

N値は、各基準類の液状化判定における液状化強度比 R_L の算定式がいずれも N 値をパラメータとした式であり、また、有効応力解析コード (FLIP) の簡易パラメータ設定法に N 値が用いられており、液状化強度比との相関が高いことから選定した。

砂層の液状化強度試験位置並びに周辺調査位置を第 4.3-5 図に示す。

砂層の液状化強度試験位置での各指標(粒度分布, 細粒分含有率及び N 値)に対する代表性の確認結果は以下のとおりである(第 4.3-6 図, 第 4.3-7 図)。

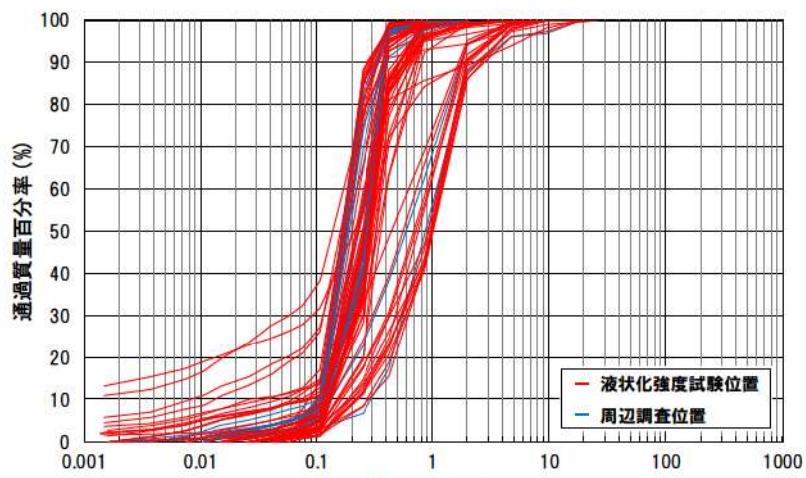
- ・液状化強度試験位置の粒度分布は, 概ね周辺調査位置の範囲と同程度の範囲にある。
- ・液状化強度試験位置の細粒分含有率は, 概ね周辺調査位置の範囲と同程度の範囲にある。
- ・液状化強度試験位置の N 値は, 概ね周辺調査位置の範囲と同程度の範囲にある。

上記の結果から, 砂層の液状化強度試験の試料採取位置は, 敷地に対して代表性を有していると評価した。

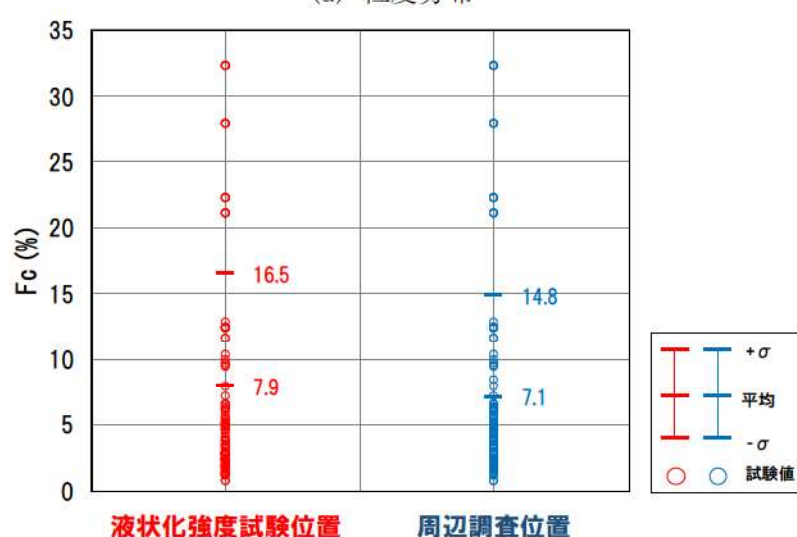


:枠囲みの内容は機密情報に属しますので公開できません。

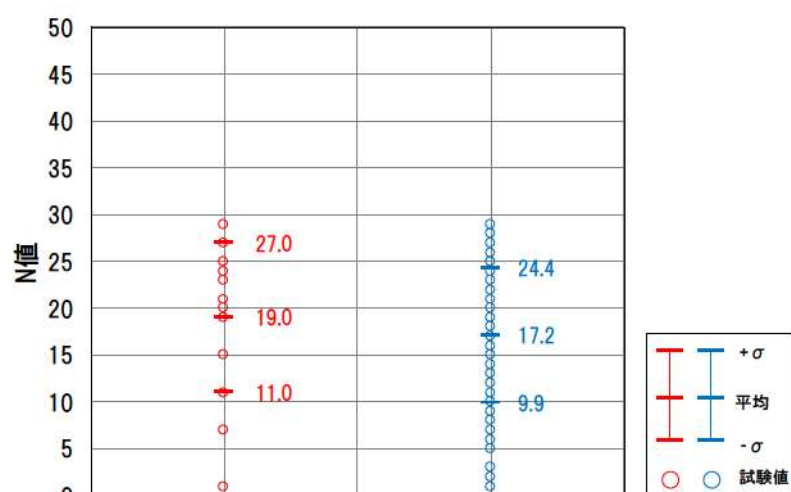
第 4.3-5 図 液状化強度試験位置並びに周辺調査位置(砂層)



(a) 粒度分布

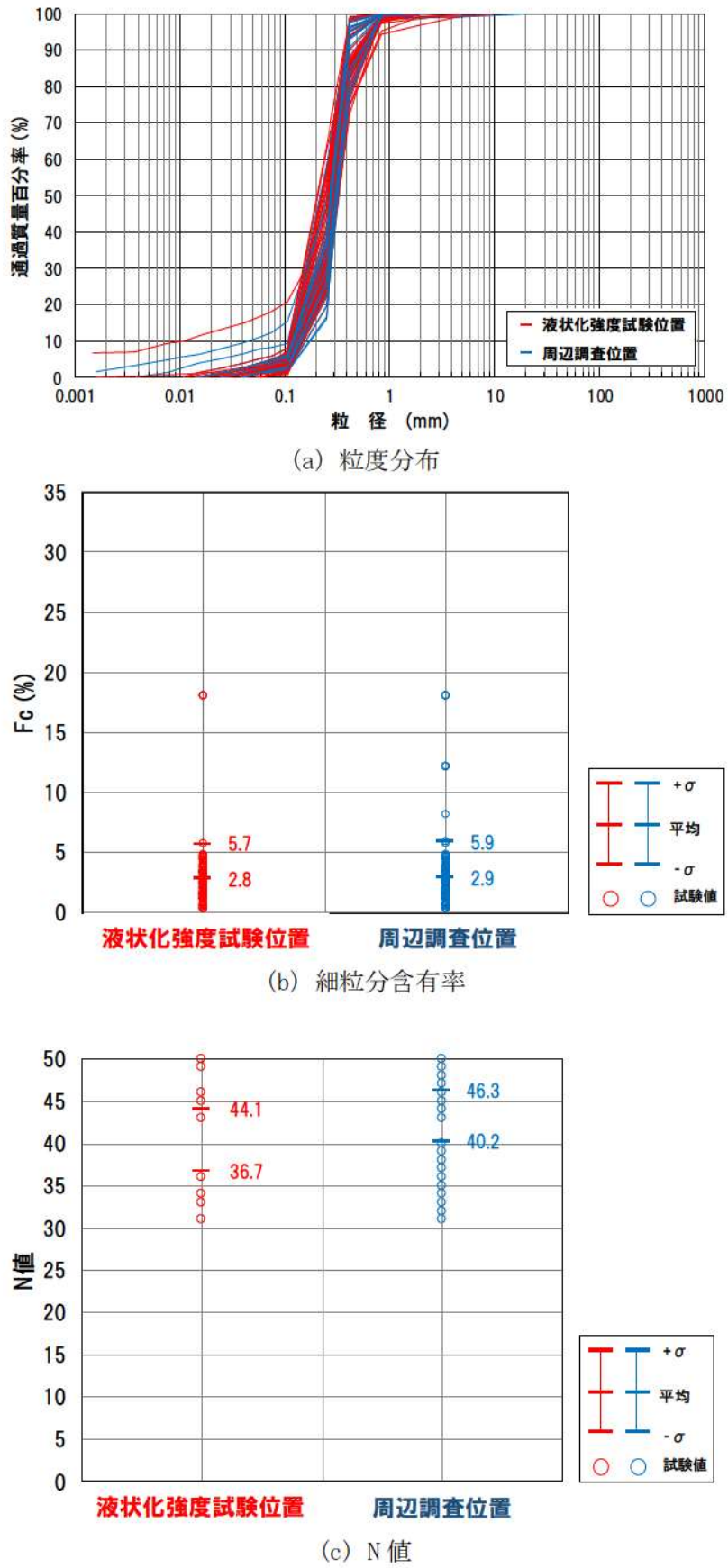


(b) 細粒分含有率



(c) N 値

第 4.3-6 図 液状化強度試験位置の基本物性の比較(As1 層)



第 4.3-7 図 液状化強度試験位置の基本物性の比較(As2 層)

4.3.3 試料採取位置の代表性のまとめ

埋戻土及び砂層の液状化強度試験の試料採取位置の代表性について確認を行った結果を以下に示す。

①埋戻土

【粒度分布】

液状化強度試験位置の粒度分布は、礫質土及び砂質土の特性が認められるが、液状化強度試験位置は礫質土及び砂質土ともに概ね粒度試験結果全体の範囲にある。

【細粒分含有率】

液状化強度試験位置の細粒分含有率は、概ね周辺調査位置の範囲と同程度の範囲にある。

②砂層

【粒度分布】

液状化強度試験位置の粒度分布は、概ね周辺調査位置の範囲と同程度の範囲にある。

【細粒分含有率】

液状化強度試験位置の細粒分含有率は、概ね周辺調査位置の範囲と同程度の範囲にある。

【N値】

液状化強度試験位置のN値は、概ね周辺調査位置の範囲と同程度の範囲にある。

ただし、埋戻土の液状化強度試験の試料採取位置については、現状の試料採取位置では、液状化検討対象施設等の近傍で十分にデータが取得できていないため、追加調査が必要であると判断した。

一方、砂層の液状化強度試験の試料採取位置は、敷地に対して代表性を有していると評価した。

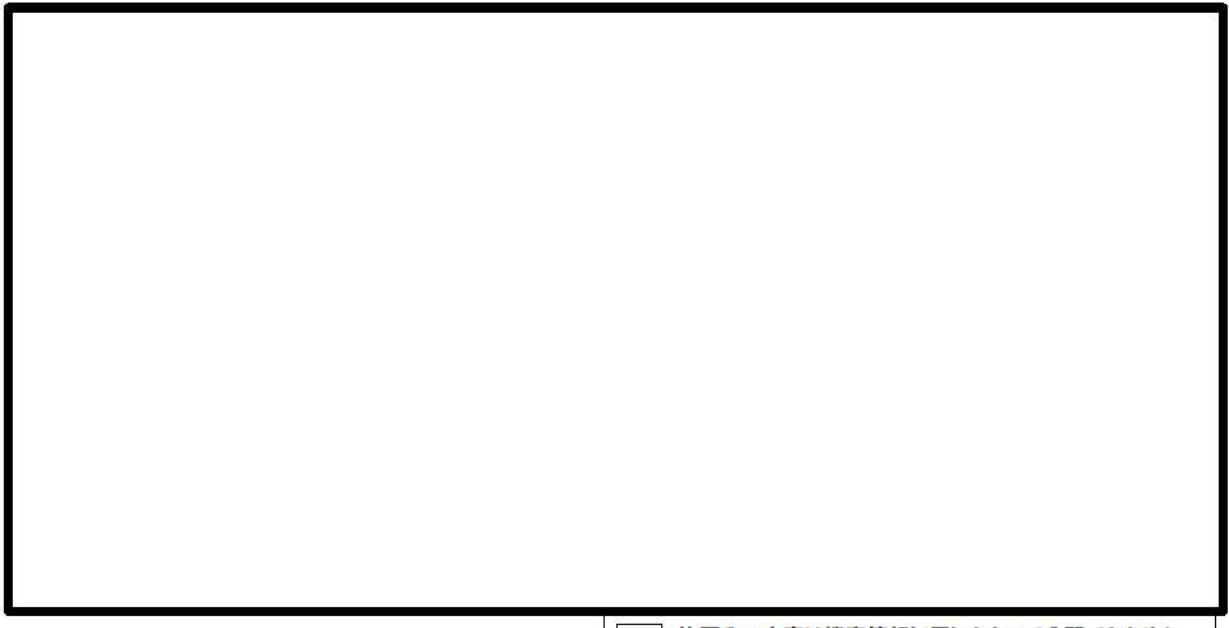
なお、埋戻土の液状化強度試験の試料採取位置については、設工認段階において、代表性確認指標として相対密度を用いた代表性確認を追加するとともに、設置許可段階における粒度分布と細粒分含有率による代表性確認結果の妥当性の確認を行う。

設工認段階における代表性確認に当たっては、相対密度や粒度分布により、敷地を同様の性状を示すエリアに分割し、各エリアに含まれる複数の試験結果を用いて説明する。

4.4 追加調査位置

液状化検討対象施設近傍の液状化強度試験の試料採取ができていないと判断される場合、追加調査を実施するものとし、追加調査の候補位置の選定では、液状化検討対象施設の配置や施工時期の違いを踏まえて調査位置を選定する。

既往の液状化強度試験の試料採取位置は第4.4-1図に示すとおりである。



□ :枠囲みの内容は機密情報に属しますので公開できません。

第4.4-1図 既往の液状化強度試験の試料採取位置及び液状化検討対象施設

4.4.1 追加の液状化強度試験の必要性

液状化検討対象施設近傍の液状化強度試験の実施状況を確認し、追加調査を実施する施設と追加調査候補位置を第4.4-1表に整理した。

現状で既に液状化強度試験を実施している施設は追加調査は不要とし、施設近傍で液状化強度試験が実施されていない施設及び防潮堤等で施設延長が長く埋戻施工の時期が異なる範囲が存在する施設についてはデータ拡充を目的とした追加調査が必要であると判断した。

液状化検討対象施設等の近傍において、データ拡充を目的として10地点を追加調査の候補位置として選定した。

第4.4-1表 液状化検討対象施設近傍の既往の試料採取位置と追加調査候補位置

施設名称	施設近傍の液状化強度試験	追加の液状化強度試験の必要性検討	追加調査候補位置
取水口	—	対象施設建設時(3号機建設時)の施工範囲において、データ拡充を目的とした追加が必要。	①
取水路	BF3-2	対象施設近傍で液状化強度試験を実施しているため不要。	—
取水ピットスクリーン室 3号炉取水ピットスクリーン室防水壁	BF3-1	対象施設近傍で液状化強度試験を実施しているため不要。	—
取水ピットポンプ室	—	対象施設建設時(3号機建設時)の施工範囲において、データ拡充を目的とした追加が必要。	②
原子炉補機冷却海水ポンプ出口ストレーナ室	—	対象施設建設時(3号機建設時)の施工範囲において、データ拡充を目的とした追加が必要。	②
原子炉補機冷却海水管ダクト	—	対象施設建設時(3号機建設時)の施工範囲において、データ拡充を目的とした追加が必要。	③, ④, ⑤
B1, B2-ディーゼル発電機燃料油貯油槽トレンチ	—	対象施設建設時(3号機建設時)の施工範囲において、データ拡充を目的とした追加が必要。	⑤
1, 2号埋戻土近傍の防潮堤	SW2-3, RE-4	対象施設近傍で液状化強度試験を実施しているが、1, 2号埋戻土の施工時期が異なる範囲において、データ拡充を目的とした追加が必要。	⑥, ⑦
3号埋戻土近傍の防潮堤	BF3-2, RE-8, RE-8", SH-2, RE-7, BF3-1	対象施設近傍で液状化強度試験を実施しているが、3号埋戻土の施工時期が異なる範囲において、データ拡充を目的とした追加が必要。	⑧
3号炉放水ピット流路縮小工	—	対象施設建設時(3号機建設時)の施工範囲において、データ拡充を目的とした追加が必要。	⑨
屋外排水路逆流防止設備	RE-4, RE-7	1号炉系統及び3号炉系統の近傍で液状化強度試験を実施しているが、2号炉系統近傍に対し、1, 2号埋戻土の施工時期が既に試験を実施している箇所と異なる範囲において、データ拡充を目的とした追加が必要。	⑦
1号及び2号炉取水路流路縮小工	—	対象施設建設時(1, 2号機建設時)の施工範囲において、データ拡充を目的とした追加が必要。	⑥
1号及び2号炉放水路逆流防止設備	SW2-3	対象施設近傍で液状化強度試験を実施しているため不要。	—
貯留堰	—	対象施設建設時(3号機建設時)の施工範囲において、データ拡充を目的とした追加が必要。	①
アクセスルートのうち盛土構造による道路部	—	対象施設直下において、データ拡充を目的とした追加が必要。	⑩

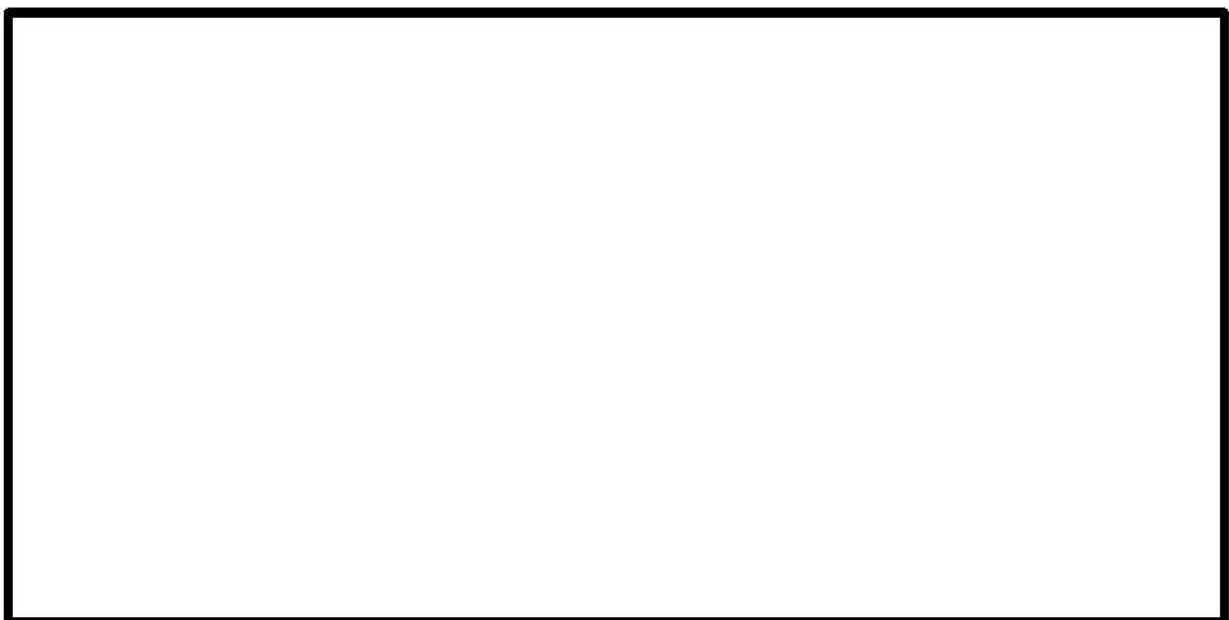
:追加の液状化強度試験を必要と判断した施設

4.4.2 追加調査位置

追加調査を実施する液状化検討対象施設及び追加調査候補位置を第4.4-2図に示す。

なお、追加調査候補位置として選定した10地点の試料採取位置は、液状化検討対象施設の近傍、かつ採取可能な箇所を基本としている。

また、埋戻土の相対密度を用いた代表性確認を行うため、相対密度の追加調査を実施する。



:枠囲みの内容は機密情報に属しますので公開できません。

第4.4-2図 追加調査候補位置

5. 液状化強度試験結果と液状化強度特性の設定

5.1 液状化強度試験方法

埋戻土及び砂層に対し、地盤工学会が定める「土の繰返し非排水三軸試験方法(JGS0541)」及び「土の変形特性を求めるための中空ねじりせん断試験方法(JGS0543)」に基づき試験を実施する。試料採取は、試料の乱れを抑制するためにゲルプッシュ・サンプリングやトリプルチューブサンプリング、凍結サンプリングにより実施した。

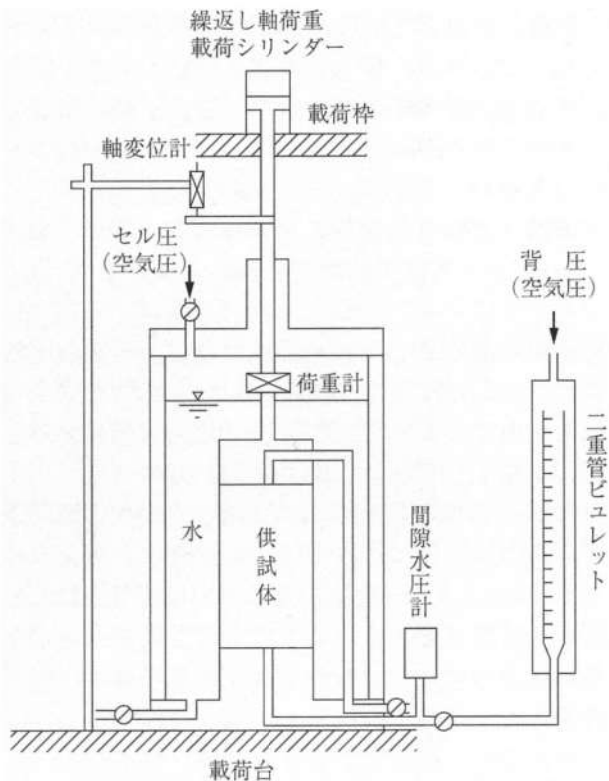
繰返し非排水三軸試験装置及び中空ねじりせん断試験装置の概要を第 5.1-1 図、第 5.1-2 図に示す。

【埋戻土】

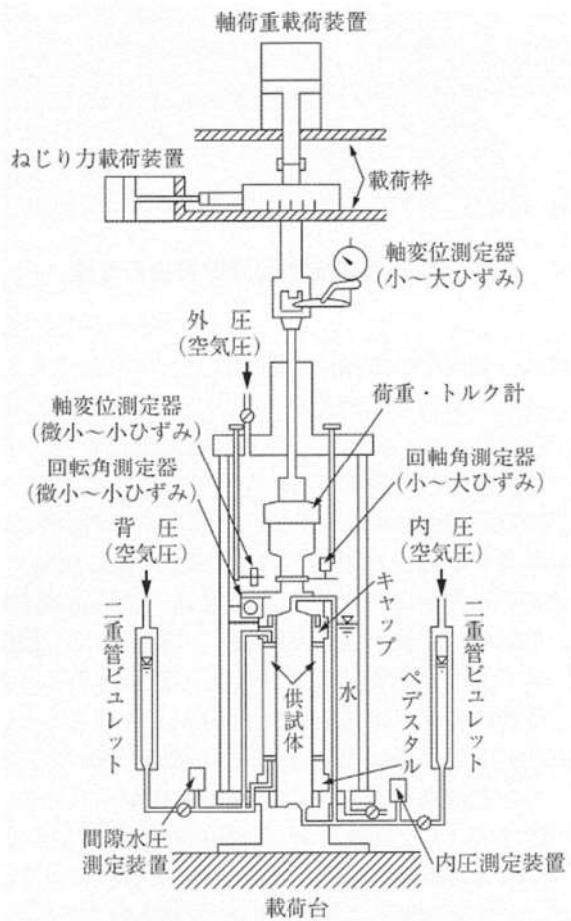
- ・液状化強度試験方法：繰返し非排水三軸試験
- ・試料採取方法：GP サンプリング
- ・供試体寸法：①直径 100mm、高さ 200mm ②直径 300mm、高さ 600mm
- ・載荷波形：正弦波(0.1Hz)
- ・圧密応力：**200kPa**(供試体は地下水位前後からサンプリングしていることから、埋戻土の層厚約 10m(地表面(T.P. 10m), 地下水位(T.P. 0.26m))と、埋戻土の単位体積重量約 20kN/m³(1,2 号埋戻土(17.6520kN/m³), 3 号埋戻土(23.0456kN/m³))から一律に設定。)
- ・その他：「地盤材料試験の方法と解説」に基づき、繰返し回数 200 回を上限として、両振幅軸ひずみ 10%に達するまで試験を実施。せん断応力比を 0.200～0.908 の間で設定。

【砂層】

- ・液状化強度試験方法：繰返し非排水三軸試験、中空円筒供試体による繰返しねじりせん断試験
- ・試料採取方法：GP サンプリング、トリプルチューブサンプリング、凍結サンプリング
- ・供試体寸法：(三軸) 直径 50mm、高さ 100mm(ねじり) 外径 70mm、内径 30mm、高さ 100mm
- ・載荷波形：正弦波(0.1Hz, 0.2Hz)
- ・圧密応力：**190～450kPa**(液状化試験毎に供試体採取平均深度の有効上載圧を考慮して設定)
- ・その他：「地盤材料試験の方法と解説」に基づき、繰返し回数 200 回を上限として、両振幅軸ひずみ 10%(ねじりせん断試験は両振幅せん断ひずみ 15%)に達するまで試験を実施。せん断応力比を 0.152～0.686 の間で設定。



第 5.1-1 図 繰返し非排水三軸試験装置の概要



第 5.1-2 図 中空ねじりせん断試験装置の概要

5.2 液状化強度試験結果の分類に対する基本的考え方

泊発電所の敷地地盤は掘削岩碎を埋め戻して造成しており、液状化に対する抵抗性が比較的高いと考えられる。

また、砂層のうち特に As2 層については N 値が 30 以上と比較的大きい。

以上から泊発電所の液状化検討対象層は液状化によってせん断振幅が急増し、地盤全体が泥水状態となり噴砂や噴水を伴う「ゆるい砂」や「埋立地盤」とは異なり、ひずみの増大に伴って体積膨張を起こし、ある程度の剛性と強度を回復する「ねばり」をもった挙動をすると考えられる。

そこで、泊発電所の液状化検討対象層が地震時にどのような挙動をするかを把握する目的で、液状化強度試験結果を「液状化」、「繰返し軟化(サイクリックモビリティを含む)」、「非液状化」に分類した。

液状化強度試験結果は、「①間隙水圧が上昇・蓄積する。(過剰間隙水圧比 95%を超える。)」、「②有効応力がゼロまで低下する。」、「③液体状となり流動する。(ひずみが急増する。)」、「④正のダイレイタンシー特性によりせん断抵抗が作用する。(有効応力が回復する。)」の 4 項目に該当するかどうかを判定し、第 5.2-1 表に基づいて分類する。

第 5.2-1 表 液状化強度試験結果の判定項目と分類

○：該当する
×：該当しない

判定項目 ^{※1}	液状化	繰返し軟化		非液状化
		サイクリック モビリティ		
① 間隙水圧が上昇・蓄積する。 (過剰間隙水圧比 95% を超える。)	○	○	○	×
② 有効応力がゼロまで低下する。	○	×	○	×
③ 液体状となり流動する。 (ひずみが急増する。)	○	×	×	×
④ 正のダイレイタンシー特性により せん断抵抗が作用する。 (有効応力が回復する。)	×	○	○	○ or × ^{※2}

※1 土木学会地震工学委員会の定義に基づき判定項目を策定したが、液状化強度試験の結果に対して判定できるよう、括弧内の判断項目を補足した。

※2 項目の判定はするものの、「非液状化」の分類に影響は及ぼさない。

なお、液状化強度試験結果は以下に示すとおり、土木学会地震工学委員会「レベル2地震動による液状化研究小委員会」活動成果報告書を参考に分類した。

【土木学会地震工学委員会(2003)の報告書より】

(狭義の)液状化

地震の繰返しせん断力等によって、飽和した砂や砂礫等の緩い非粘性土からなる地盤内で間隙水圧が上昇・蓄積し、有効応力がゼロまで低下し液体状となり、その後地盤の「流動」をともなう現象、又は「流動ポテンシャル」をもった地盤となる現象。

広義の液状化

緩い砂地盤や砂礫地盤に限定せず、密な砂地盤や密な砂礫地盤さらに粘性土地盤でも地震等を含む種々の外力によって有効応力が低下し、地盤の強度又は剛性の低下により有害な沈下や変形等が起こる現象。一般に飽和地盤が多いが、不飽和地盤においても起こる類似の現象(ただし、そのメカニズムは必ずしも解明されていない)も含むものとする。

繰返し軟化

繰返し載荷による間隙水圧上昇と剛性低下によりせん断ひずみが発生し、それが繰返し回数とともに徐々に増大するが、土のもつダイレイタンシー特性や粘性のためにひずみは有限の大きさにとどまり、大きなひずみ範囲にいたるまでの流動は起きない。

サイクリック・モビリティ

繰返し載荷において土が「繰返し軟化」する過程で、限られたひずみ範囲ではせん断抵抗が小さくなってしまっても、ひずみが大きく成長しようとすると、正のダイレイタンシー特性のためにせん断抵抗が急激に作用し、せん断ひずみの成長に歯止めがかかる現象。主に、密な砂や礫質土、過圧密粘土のように正のダイレイタンシー特性が著しい土において顕著に現れる。



第5.2-1図 液状化に関連する言葉の定義

(土木学会地震工学委員会(2003)の報告書より引用)

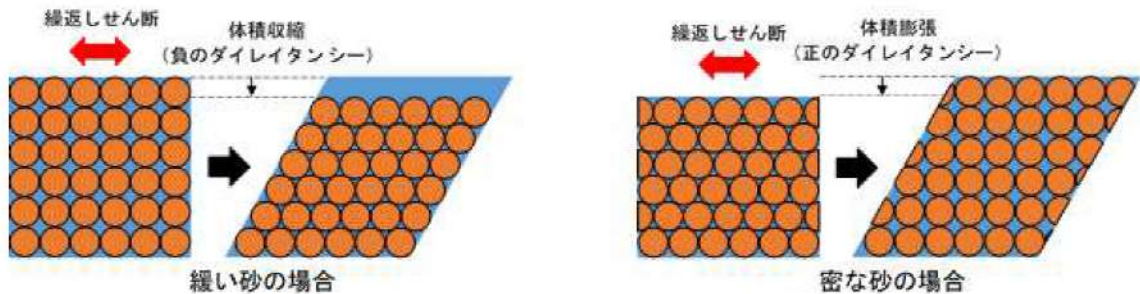
4条-別紙9-62

既往文献による液状化に関する記述を第 5.2-2 表に示す。

第 5.2-2 表 既往文献による液状化に関する記述

文献	液状化に関する記載内容(抜粋)
土質工学用語辞典 (1985)	間隙水圧が上昇して有効応力が減少する結果、飽和砂質土がせん断強さを失うことを液状化という。
地盤工学会(2006)	砂などの繰返し載荷において、有効拘束圧がゼロに近づいてから、載荷時にせん断剛性の回復、除荷時に有効応力の減少を繰り返していくが、ひずみは有限の大きさにとどまる現象をサイクリックモビリティといい、液状化とは区別して用いられることがある。
安田(1991)	密詰めの砂の場合には大ひずみは生じない。一時的に有効拘束圧が0になってしまっても、その後にせん断力を加えると負の過剰間隙水圧が発生して有効拘束圧が増加(回復)し、有限の小さなひずみ振幅しか発生しない。この現象を“サイクリックモビリティ”と呼んで液状化と区別することもある。
石原(2017)	間隙水圧は徐々に上昇しているが、最終的にこれが初期の拘束圧力 $\sigma' 0$ に等しくなっている時点が厳密な意味で液状化の発生ということになる。 砂質土は、その密度や細粒分の含有率によって同じ振幅の繰返し軸荷重を加えても、間隙水圧の上昇そして軸ひずみ発生の模様が多少変わってくる。 細粒分が多い場合、軸ひずみは増大しても間隙水圧は100%上昇しないことが多い。 しかし、土は著しく軟化し、繰返し強度が低下しているので、実用上この場合も液状化とみなすことが多い。本来は“繰返し軟化”というべき。
井合(2008)	密な砂地盤が繰返しせん断を受け、過剰間隙水圧の増加に伴って、せん断ひずみ振幅が徐々に増大する現象である。 地盤の液状化は、ゆるい砂地盤が繰返しせん断を受け、せん断振幅が急増し、地盤全体が泥水状態となり、噴砂や噴水を伴うことが多いので、現象的にサイクリックモビリティとは異なる。
吉見(1991)	ゆるい砂の液状化と異なる点は、密な砂では、せん断ひずみがある限度を超えると、せん断によって体積が膨張しようとする傾向(正のダイレイタンシー)が現れるので、非排水条件のもとでは、せん断ひずみが大きくなると間隙水圧が減少し、したがって有効応力が回復することである。 有効応力がゼロになるのは、せん断応力がゼロになる瞬間だけであり、せん断応力が作用している間は有効応力が存在するので、間隙水圧比が100%に達した後でも、繰返しせん断に対して相当な剛性を保持する。 密な砂では、ゆるい砂でみられるような破局的なクイックサンドは起こらず、有限なひずみ振幅を持つせん断変形が繰り返されるにすぎない。

なお、地盤のダイレイタンシー特性の概要を第 5.2-2 図に示す。



第 5.2-2 図 地盤のダイレイタンシー特性の概要

液状化となる試験結果の例を第 5.2-3 図に、繰返し軟化(サイクリックモビリティ)となる試験結果の例を第 5.2-4 図に示す。

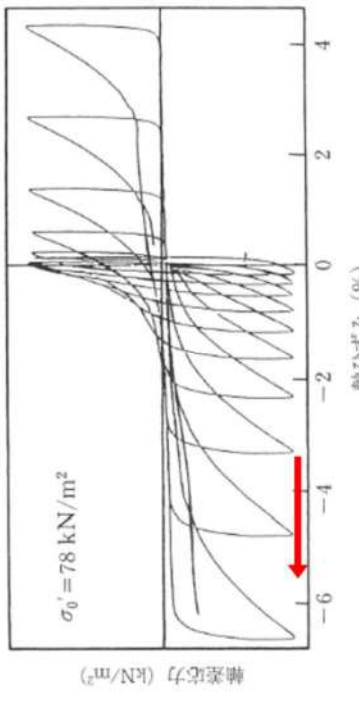
液状化に分類される事例

試験結果		液状化の判断
① 間隙水圧が上昇・蓄積する。 (過剰間隙水圧比95%を超える。)	○	
② 有効応力がゼロまで低下する。	○	
③ 液体状となり流動する。 (ひずみが急増する。)	○	液状化
④ 正のダイレイテンシー特性により せん断抵抗が作用する。 (有効応力が回復する。)	×	

※1 地盤工学会(2009)：地盤材料試験の方法と解説

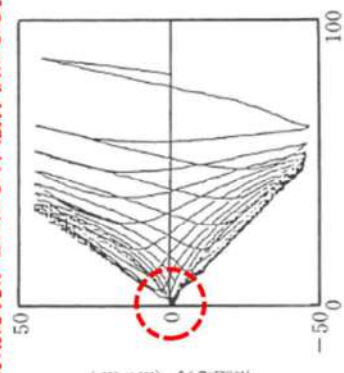
※2 井合(2008)：サイクリックモビリティ、地盤工学会誌

ひずみが急に増大し、脆性的な破壊が生じる。



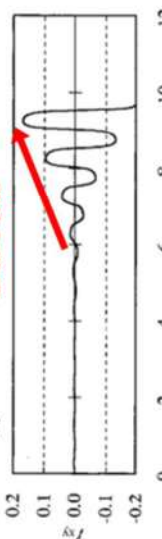
③④ 軸差応力-軸ひずみ関係※1

ひずみがゼロになり、液体状になる。

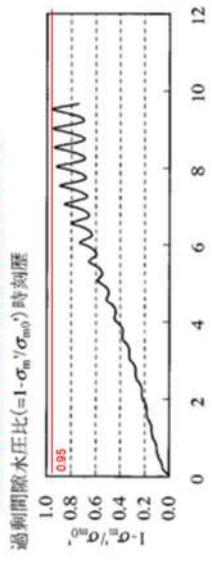


② 有効応力経路

過剰間隙水圧比の
95%超過に伴い、
せん断ひずみ γ_y 時刻歴図



過剰間隙水圧比は95%を超過する。



① 過剰間隙水圧比-繰返し回数関係※2

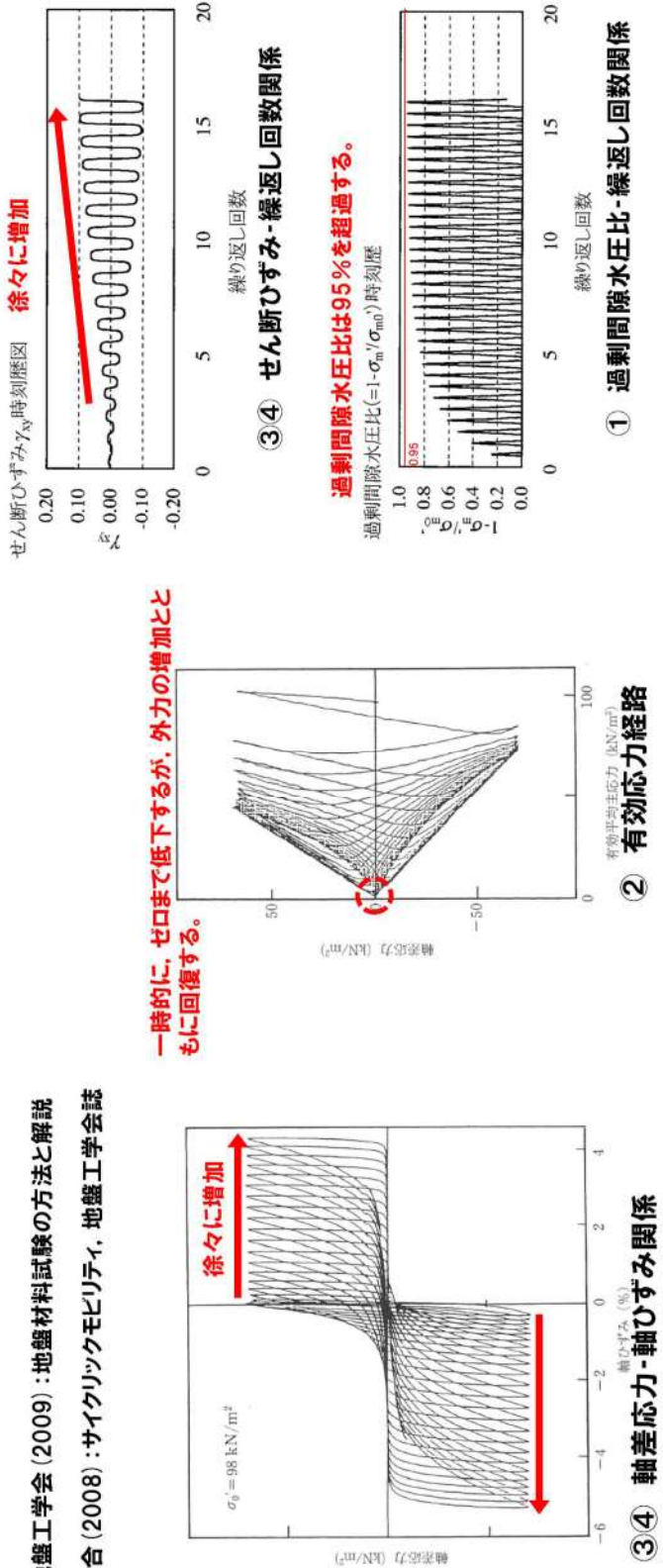
第5.2-3 図 液状化に分類される事例

繰返し軟化(サイクリックモビリティ)に分類される事例

試験結果	液状化の判断
① 間隙水圧が上昇・蓄積する。 (過剰間隙水圧比95%を超える。)	○
② 有効応力がゼロまで低下する。	○
③ 液体状となり流動する。 (ひずみが急増する。)	×
④ 正のダイレイタンシー特性により せん断抵抗が作用する。 (有効応力が回復する。)	○

※1 地盤工学会(2009)：地盤材料試験の方法と解説

※2 井合(2008)：サイクリックモビリティ、地盤工学会誌



第5.2-4 図 繰返し軟化(サイクリックモビリティ)に分類される事例

5.3 液状化強度試験結果

埋戻土及び砂層の液状化強度試験箇所平面図を第 5.3-1 図、第 5.3-2 図に示す。



:枠囲みの内容は機密情報に属しますので公開できません。

第 5.3-1 図 液状化強度試験箇所平面図(埋戻土)



:枠囲みの内容は機密情報に属しますので公開できません。

第 5.3-2 図 液状化強度試験箇所平面図(砂層)

5.3.1 埋戻土の液状化強度試験結果

1, 2 号埋戻土及び 3 号埋戻土に対する液状化強度試験の試験ケース、試験結果を第 5.3-1 表、第 5.3-2 表に示す。

なお、各試験ケースの個別データについては、添付資料 1 液状化強度試験結果データ集に示す。埋戻土の液状化強度試験の結果は、すべての試験ケース(81 ケース)において、有効応力がゼロとなり液体状になるケースは無かった。また、繰返し載荷に伴い、ひずみは徐々に大きくなるが、急には増大せず、脆性的な破壊は生じなかった。繰返し載荷に伴い過剰間隙水圧が蓄積する傾向は見られたものの、せん断応力の作用によって有効応力は回復した。また、過剰間隙水圧比は、95%を超過しないケースと超過するケースが確認された。

埋戻土に対する液状化強度試験の結果は、多くのケースが「繰返し軟化」に分類されることから、液体状となり支持力を完全に喪失するような事象は発生せず、ひずみが漸増するねばり強い挙動を示すことを確認した。

埋戻土の液状化強度試験結果の代表例として、RE-3(2) 試料の供試体 No. 7 及び RE-7 試料の供試体 No. 21 の試験結果を第 5.3-3 図、第 5.3-4 図に示す。

RE-3(2) 試料の No. 7 供試体は、有効応力がゼロになることはなく、地盤が支持力を失い液状化するような事象は発生しなかった。繰返し荷重により、ひずみは漸増するものの、急に増大することではなく、脆性的な破壊は生じていないと考えられる。また、過剰間隙水圧は 95%を超過せず、せん断応力作用時には正のダイレイタンシーの効果により、過剰間隙水圧は低下し、有効応力が回復していることから非液状化と判断される。

RE-7 試料の No. 21 供試体は、有効応力がゼロになることはなく、地盤が支持力を失い液状化するような事象は発生しなかった。繰返し荷重により、ひずみは漸増するものの、急に増大することではなく、脆性的な破壊は生じていないと考えられる。また、過剰間隙水圧は 95%を超過するものの、頭打ちとなり 100%に達しない。せん断応力作用時には正のダイレイタンシーの効果により、過剰間隙水圧は低下し、有効応力が回復していることから繰返し軟化と判断される。

埋戻土の液状化強度試験結果に基づく繰返し応力振幅比と繰返し載荷回数の関係を第 5.3-5 図に示す。

第 5.3-1 表(1/2) 液状化強度試験結果(1, 2 号埋戻土)

試料番号	SW2-3 (φ100)				SW2-4 (φ100)				BF1-2 (φ100)			
サンプリング方法	GPサンプリング				GPサンプリング				GPサンプリング			
地表からの深度(m)	9.90~11.15				3.03~4.45				10.45~11.25			
有効上載圧(kN/m ²)	207				74				210			
標高 T.P.(m)	0.5~0.75				0.87~0.55				-0.05~-0.85			
供試体No.	16	17	18	19	5	7	8	25	26	27	28	
地盤材料の工学的分類	礫質土	礫質土	礫質土	礫質土	礫質土	礫質土	礫質土	礫質土	礫質土	礫質土	礫質土	礫質土
土粒子の密度 ρ_s (g/cm ³)	2.681				2.741				2.706			
圧密応力 σ'_c (kN/m ²)	200				200				200			
繰返し応力振幅比 $\sigma_d/2\sigma'_c$	0.608	0.836	0.727	0.501	0.759	0.615	0.823	0.726	0.508	0.618	0.574	
繰返し載荷回数	DA = 1%	12.9	0.4	0.9	6.0	2.0	9.0	0.7	1.5	19.8	2.0	3.5
	DA = 2%	27.7	0.9	2.5	13.8	12.9	28.8	3.0	5.0	39.4	4.5	8.0
	DA = 5%	42.6	3.5	9.0	38.1	32.6	55.2	12.9	12.7	77.1	9.5	16.8
	DA = 10%	—	7.5	18.9	98.7	33.8	67.7	26.0	20.6	98.9	12.8	23.6
	過剰間隙水圧比95% N_{95}	11.0	2.0	2.0	6.0	6.0	6.0	2.0	3.0	23.0	3.0	6.0

試料番号	RE-1 (φ100)	RE-2 (1) (φ100)	RE-2 (2) (φ100)	RE-2 (3) (φ100)
サンプリング方法	GPサンプリング		GPサンプリング	GPサンプリング
地表からの深度(m)	17.35~17.55		4.80~5.00	8.73~10.73
有効上載圧(kN/m ²)	353		98	195
標高 T.P.(m)	-0.65~-0.85		5.30~5.10	1.37~-0.63
供試体No.	25	6	9 13 14	15 16 17 18
地盤材料の工学的分類	礫質土	砂質土	礫質土 硫質土 硫質土	礫質土 硫質土 硫質土 硫質土
土粒子の密度 ρ_s (g/cm ³)	2.652	2.781	2.704 2.667	2.717 2.725 2.740 2.738
圧密応力 σ'_c (kN/m ²)	200	200	200	200
繰返し応力振幅比 $\sigma_d/2\sigma'_c$	0.333	0.252	0.501 0.602	0.554 0.704 0.555 0.481
繰返し載荷回数	DA = 1%	17.6	9.5 68.9 1.5	0.9 0.5 0.9 2.5
	DA = 2%	30.5	13.8 99.3 5.0	3.5 0.9 3.0 7.5
	DA = 5%	45.7	19.1 123.9 13.5	10.9 3.0 10.0 23.9
	DA = 10%	—	23.7 — — —	— — — —
	過剰間隙水圧比95% N_{95}	22.0	19.0 38.0 4.0	2.0 3.0 6.0 5.0

試料番号	RE-3 (1) (φ100)				RE-3 (2) (φ100)				RE-3 (3) (φ100)			
サンプリング方法	GPサンプリング				GPサンプリング				GPサンプリング			
地表からの深度(m)	2.80~4.23				4.40~5.70				7.45~15.56			
有効上載圧(kN/m ²)	71				101				210			
標高 T.P.(m)	7.00~5.57				5.40~4.10				2.35~5.76			
供試体No.	3	5	1'	2'	6	7	8	9	11	14	18	
地盤材料の工学的分類	礫質土	礫質土	礫質土	礫質土	礫質土	礫質土	礫質土	礫質土	礫質土	礫質土	礫質土	礫質土
土粒子の密度 ρ_s (g/cm ³)	2.706	2.688	2.708	2.698	2.703	2.765	2.756	2.750	2.709	2.717	2.728	
圧密応力 σ'_c (kN/m ²)	200				200				200			
繰返し応力振幅比 $\sigma_d/2\sigma'_c$	0.503	0.428	0.401	0.383	0.401	0.502	0.451	0.413	0.502	0.381	0.352	
繰返し載荷回数	DA = 1%	1.0	0.9	4.0	2.0	18.7	1.0	1.5	2.0	0.7	0.8	3.5
	DA = 2%	3.0	2.5	10.0	4.5	45.5	4.0	3.5	5.0	1.5	2.0	7.5
	DA = 5%	5.5	5.5	26.4	8.5	75.9	11.1	9.5	14.7	3.5	4.5	18.7
	DA = 10%	—	—	—	—	—	—	—	—	—	—	—
	過剰間隙水圧比95% N_{95}	4.0	2.0	10.0	4.0	—	—	—	—	—	5.0	6.0

□: 試験結果を例示したケース

第 5.3-1 表(2/2) 液状化強度試験結果(1, 2 号埋戻土)

試料番号	RE-4 (φ100)	RE-5 (1) (φ100)	RE-5 (2) (φ100)				RE-5 (3) (φ100)					
サンプリング方法	GPサンプリング	GPサンプリング	GPサンプリング				GPサンプリング					
地表からの深度(m)	9.75~9.95	3.03~3.43	3.43~10.05				4.15~6.60					
有効上載圧(kN/m ²)	197	65	100				86					
標高 T.P.(m)	0.55~0.35	0.47~0.07	0.07~6.55				-0.65~-3.1					
供試体No.	17	6	7	8	9	18	20	10	13	16	17	
地盤材料の工学的分類	礫質土	礫質土	礫質土	礫質土	礫質土	礫質土	礫質土	礫質土	礫質土	礫質土	礫質土	
土粒子の密度 ρ_s (g/cm ³)	2.691	2.787	2.791	2.665	2.670	2.728	2.748	2.663	2.677	2.792	2.785	
圧密応力 σ'_c (kN/m ²)	200	200	200	200	200	200	200	200	200	200	200	
繰返応力振幅比 $\sigma_d/2\sigma'_c$	0.705	0.702	0.908	0.349	0.503	0.653	0.756	0.402	0.553	0.450	0.433	
繰返し載荷回数 両振幅 ひずみの DA = 1% DA = 2% DA = 5% DA = 10%	DA = 1%	1.5	11.8	0.5	25.7	9.5	0.9	0.2	10.5	0.8	2.0	
	DA = 2%	7.5	49.8	1.5	39.8	27.7	4.0	0.4	27.2	2.5	5.0	
	DA = 5%	19.8	99.0	5.5	56.7	53.6	18.6	1.0	67.1	8.5	12.8	
	DA = 10%	—	—	—	—	—	—	—	—	—	—	
	過剰間隙水圧比95% N ₆₉₅	5.0	—	2.0	35.0	48.0	1.0	1.0	15.0	3.0	4.0	
試料番号	RE-6 (φ100)				SH-1 (1) (φ300)				SH-1 (2) (φ300)			
サンプリング方法	GPサンプリング				GPサンプリング				GPサンプリング			
地表からの深度(m)	7.50~14.15				1.55~2.15				2.90~3.55			
有効上載圧(kN/m ²)	141				37				65			
標高 T.P.(m)	-4.00~-10.65				2.25~1.65				0.90~0.25			
供試体No.	16	17	18	20	1-1	1-4	1-5	1-6	2-2	2-3	2-4	2-6
地盤材料の工学的分類	礫質土	礫質土	礫質土	礫質土	砂質土	砂質土	砂質土	礫質土	礫質土	礫質土	礫質土	礫質土
土粒子の密度 ρ_s (g/cm ³)	2.751	2.639	2.618	2.724	2.745	2.761	2.760	2.736	2.725	2.711	2.716	2.712
圧密応力 σ'_c (kN/m ²)	200	200	200	200	200	200	200	200	200	200	200	200
繰返応力振幅比 $\sigma_d/2\sigma'_c$	0.404	0.503	0.374	0.361	0.311	0.235	0.200	0.212	0.311	0.359	0.440	0.328
繰返し載荷回数 両振幅 ひずみの DA = 1% DA = 2% DA = 5% DA = 10%	DA = 1%	3.5	0.5	2.5	2.0	2.0	9.0	61.9	45.9	8.0	15.9	6.0
	DA = 2%	10.0	1.5	5.5	5.0	3.5	11.0	69.7	52.7	11.6	22.8	11.6
	DA = 5%	26.2	4.5	12.6	14.0	5.5	14.0	76.0	59.2	16.6	28.9	16.8
	DA = 10%	45.0	9.5	20.6	24.6	6.5	16.8	80.9	64.9	19.8	—	—
	過剰間隙水圧比95% N ₆₉₅	10.0	2.0	5.0	6.0	—	—	64.0	55.0	15.0	22.0	—
試料番号	SH-1 (3) (φ300)											
サンプリング方法	GPサンプリング											
地表からの深度(m)	4.40~5.00											
有効上載圧(kN/m ²)	82											
標高 T.P.(m)	-0.6~-1.2											
供試体No.	3-2	3-3	3-4	3-5	3-6	3-7	3-8	3-9	3-10	3-11	3-12	
地盤材料の工学的分類	礫質土	礫質土	礫質土	礫質土	砂質土	砂質土	砂質土	礫質土	礫質土	礫質土	礫質土	
土粒子の密度 ρ_s (g/cm ³)	2.750	2.757	2.744	2.774	2.750	2.757	2.744	2.774	2.750	2.757	2.744	
圧密応力 σ'_c (kN/m ²)	200	200	200	200	200	200	200	200	200	200	200	
繰返応力振幅比 $\sigma_d/2\sigma'_c$	0.358	0.423	0.490	0.328	0.358	0.423	0.490	0.328	0.358	0.423	0.490	
繰返し載荷回数 両振幅 ひずみの DA = 1% DA = 2% DA = 5% DA = 10%	DA = 1%	10.9	4.0	1.5	14.9	10.9	4.0	1.5	14.9	10.9	4.0	
	DA = 2%	21.1	10.0	5.5	24.5	21.1	10.0	5.5	24.5	21.1	10.0	
	DA = 5%	40.1	21.7	15.3	39.6	40.1	21.7	15.3	39.6	40.1	21.7	
	DA = 10%	60.7	—	27.9	61.8	60.7	—	27.9	61.8	60.7	—	
	過剰間隙水圧比95% N ₆₉₅	19.0	12.0	—	23.0	19.0	12.0	—	23.0	19.0	12.0	

第 5.3-2 表 液状化強度試験結果(3号埋戻土)

試料番号	SW2-1 (φ100)				BF3-1 (φ100)		BF3-2 (φ100)		RE-7 (φ100)		RE-8 (φ100)		
サンプリング方法	GPサンプリング				GPサンプリング		GPサンプリング		GPサンプリング		GPサンプリング		
地表からの深度 (m)	10.05~11.30				8.60~8.80		18.65~19.05		8.05~8.25		9.78~10.48		
有効上載圧 (kN/m ²)	201				174		367		163		196		
標高 T.P. (m)	-0.35~-1.60				1.20~1.00		-1.95~-2.35		2.05~1.85		-0.08~-0.78		
供試体No.	12	13	14	15	11	21	22	21	19'	20'	21'		
地盤材料の工学的分類	礫質土	礫質土	礫質土	礫質土	礫質土	礫質土	礫質土	砂質土	礫質土	礫質土	礫質土		
土粒子の密度 ρ_s (g/cm ³)	2.761				2.779		2.688		2.947		2.681	2.659	2.700
圧密応力 $\sigma'c$ (kN/m ²)	200				200		200		200		200		
繰返応力振幅比 $\sigma_d/2\sigma'_0$	0.757	0.651	0.542	0.435	0.785	0.670	0.651	0.336	0.500	0.399	0.376		
繰返し載荷回数 両振幅	DA = 1%	1.0	0.9	3.5	48.8	0.4	1.5	4.5	5.5	0.9	3.0	4.0	
	DA = 2%	5.5	4.0	8.5	65.7	0.9	9.5	14.8	10.7	3.0	7.5	9.0	
	DA = 5%	15.0	14.6	22.7	104.9	6.5	19.2	32.8	17.3	8.0	19.6	20.7	
	DA = 10%	28.7	42.8	44.8	—	13.7	25.4	55.5	21.8	—	—	—	
	過剰間隙水圧比95% N_{u95}	4.0	9.0	8.0	67.0	2.0	17.0	30.0	11.0	5.0	5.0	9.0	

試料番号	RE-8 ** (1) (φ100)				RE-8 ** (2) (φ100)				SH-2 (φ300)					
サンプリング方法	GPサンプリング				GPサンプリング				GPサンプリング					
地表からの深度 (m)	11.12~11.80				12.25~13.45				4.77~8.40					
有効上載圧 (kN/m ²)	210				224				132					
標高 T.P. (m)	-1.32~-2.00				-2.45~-3.65				4.98~1.30					
供試体No.	3	4	1'	3'	5	6	4'	5'	1-5	1-6	3-1	3-4		
地盤材料の工学的分類	礫質土	礫質土	礫質土	礫質土	礫質土	礫質土	礫質土	礫質土	礫質土	礫質土	礫質土	礫質土		
土粒子の密度 ρ_s (g/cm ³)	2.633	2.651	2.628	2.626	2.633	2.654	2.622	2.655	2.738	2.751	2.683	2.675		
圧密応力 $\sigma'c$ (kN/m ²)	200				200				200					
繰返応力振幅比 $\sigma_d/2\sigma'_0$	0.401	0.351	0.374	0.454	0.400	0.502	0.602	0.706	0.438	0.485	0.526	0.359		
繰返し載荷回数 両振幅	DA = 1%	1.5	2.0	3.5	1.5	9.5	2.0	0.8	0.7	11.8	13.7	0.6	49.6	
	DA = 2%	5.0	10.0	8.5	6.5	42.8	10.5	3.0	2.0	16.6	17.7	2.0	57.0	
	DA = 5%	12.8	49.6	17.9	27.5	150.4	39.2	15.1	8.5	21.0	21.9	6.0	67.0	
	DA = 10%	22.0	82.8	33.2	50.8	—	74.9	36.9	—	—	24.9	—	—	
	過剰間隙水圧比95% N_{u95}	8.0	5.0	8.0	7.0	18.0	6.0	3.0	2.0	22.0	20.0	—	52.0	

□: 試験結果を例示したケース

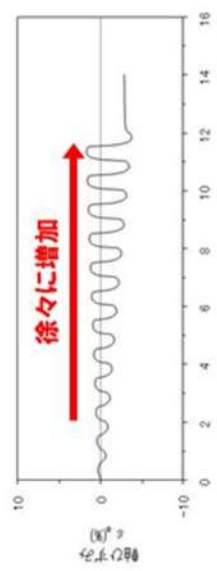
液状化強度試験結果(1,2号埋戻土の非液状化の例)

試験条件	
供試体	No.7
地表からの深度(m)	4.40~5.70
有効上載圧(kN/m ²)	101
圧密応力 σ'_c (kN/m ²)	200
繰返し応力振幅比 $\sigma_d/2\sigma'_0$	0.502
試験結果	
液状化の判断	
間隙水圧が上昇・蓄積する。 (過剰間隙水圧比95%を超える。)	×
有効応力がゼロまで低下する。	×
液体状となり流動する。 (ひずみが急増する。)	×
正のダイレイシシ特性により せん断抵抗が作用する。 (有効応力が回復する。)	○

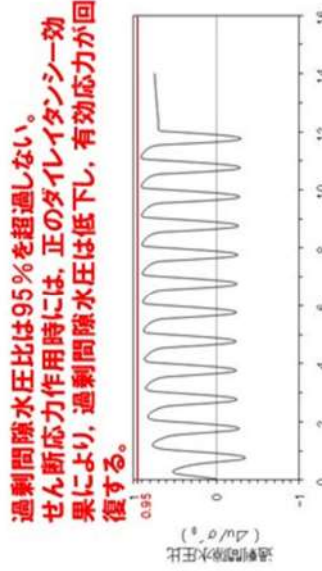


試験後の供試体

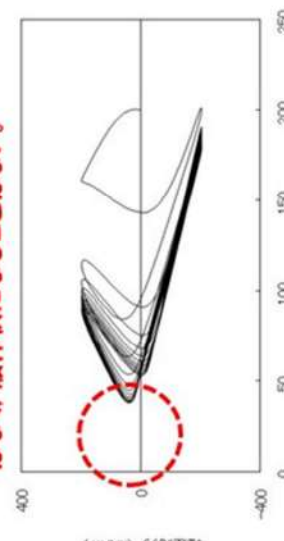
軸差応力-繰返し回数関係



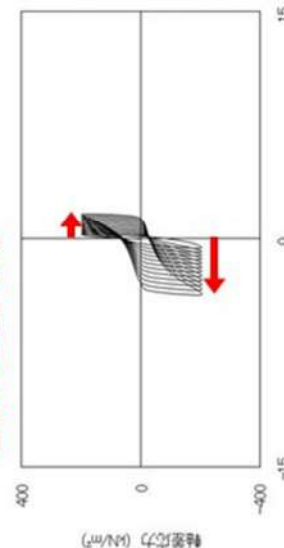
③④ 軸ひずみ-繰返し回数関係



① 過剰間隙水圧比-繰返し回数関係



② 有効応力経路



せん断剛性が保持され、ひずみが急激に進行することがない。
せん断抵抗力が回復することはない。

過剰間隙水圧比は95%を超えない。
せん断応力作用時には、正のダイレイシシ特性により、過剰間隙水圧は低下し、有効応力が回復する。

第5.3-3図 1,2号埋戻土の液状化強度試験結果(RE-3 (2) 試料, 供試体No.7)

液状化強度試験結果(3号埋戻土の繰返し軟化の例)

試験条件	
供試体	No.21
地表からの深度(m)	8.05~8.25
有効上載圧(kN/m ²)	163
圧密応力 σ'_c (kN/m ²)	200
繰返し応力振幅比 $\sigma_d/2\sigma'_0$	0.336

試験結果	液状化の判断
間隙水圧が上昇・蓄積する。 (過剰間隙水圧比95%を超える。)	○
有効応力がゼロまで低下する。	×
液体状となり流動する。 (ひずみが急増する。)	×
正のダイレイシンシ-特性により せん断抵抗が作用する。 (有効応力が回復する。)	○



試験後の供試体

軸差応力-繰返し回数関係

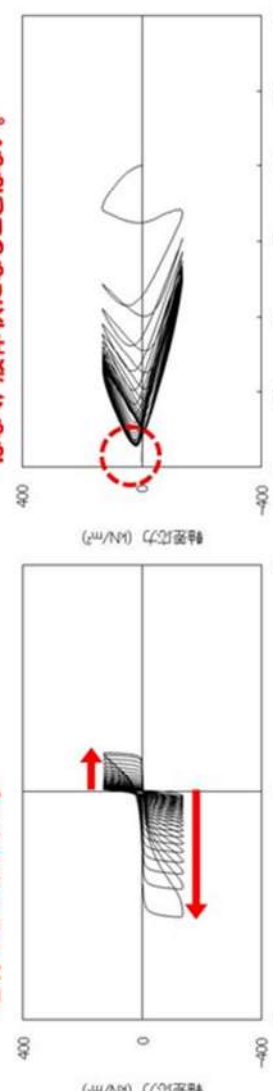


軸ひずみ-繰返し回数関係

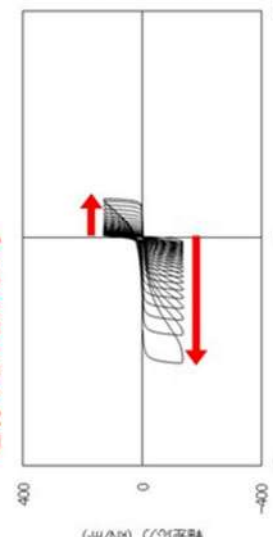


① 過剰間隙水圧比-繰返し回数関係

第 5.3-4 図 3号埋戻土の液状化強度試験結果(RE-7 試料, 供試体 No. 21)



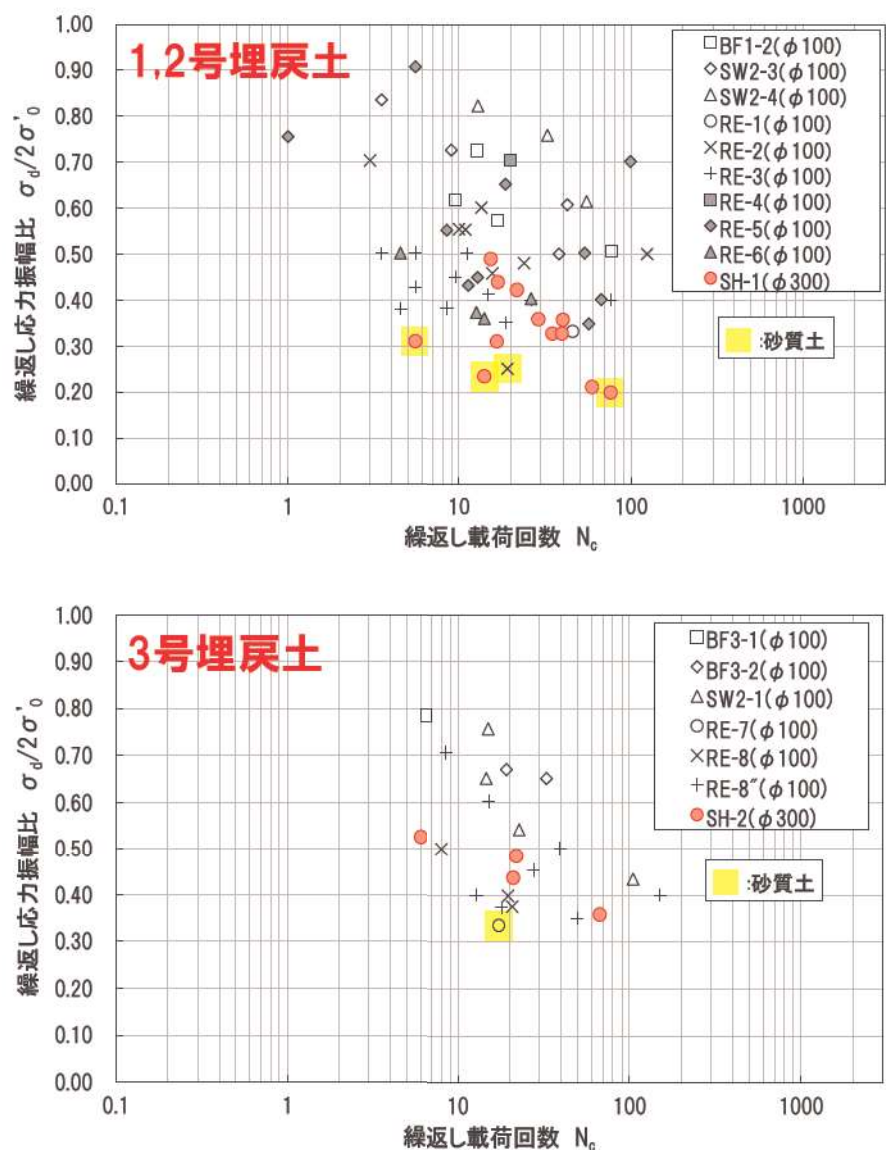
② 有効応力経路



③④ 軸差応力-軸ひずみ関係



せん断剛性が保持され、ひずみが急激に進行することがない。
せん断剛性になることはない。



第 5.3-5 図 埋戻土の液状化強度試験結果

5.3.2 砂層の液状化強度試験結果

砂層に対する液状化強度試験の試験ケース、試験結果を第 5.3-3 表、第 5.3-4 表に示す。

なお、各試験ケースの個別データについては、添付資料 1 液状化強度試験結果データ集に示す。

砂層の液状化強度試験の結果は、すべての試験ケース(203 ケース)のうち、有効応力がゼロとなり液体状になるケースはほとんど無かった。また、繰返し載荷に伴い、ひずみは徐々に大きくなるが、急には増大せず、脆性的な破壊は生じなかった。繰返し載荷に伴い過剰間隙水圧が蓄積する傾向は見られたものの、せん断応力の作用によって有効応力は回復した。また、過剰間隙水圧比は、95%を超過しないケースと超過するケースが確認された。

砂層に対する液状化強度試験の結果は、一部が「液状化」に分類されるものの大部分が「繰返し軟化」に分類されることから、全体としては液体状となり支持力を完全に喪失するような事象は発生せず、ひずみが漸増するねばり強い挙動を示すことを確認した。

砂層の液状化強度試験結果の代表例として、FS-1-④ (A-2) 三軸試料の供試体 No. 1-38-7 図、第 5.3-8 図に示す。

FS-1-④ (A-2) 三軸試料の No. 1-38 供試体は、有効応力がゼロになることはなく、地盤が支持力を失い液状化するような事象は発生しなかった。繰返し荷重により、ひずみは漸増するものの、急に増大することなく、脆性的な破壊は生じていないと考えられる。また、過剰間隙水圧は 95% を超過せず、せん断応力作用時には正のダイレイタンシーの効果により、過剰間隙水圧は低下し、有効応力が回復していることから非液状化と判断される。

SW2-4' (1) 試料の No. 21 供試体は、有効応力がゼロになることはなく、地盤が支持力を失い液状化するような事象は発生しなかった。繰返し荷重により、ひずみは漸増するものの、急に増大することなく、脆性的な破壊は生じていないと考えられる。また、過剰間隙水圧は 95% を超過するものの、頭打ちとなり 100% に達しない。せん断応力作用時には正のダイレイタンシーの効果により、過剰間隙水圧は低下し、有効応力が回復していることから繰返し軟化と判断される。

SW-7-10 試料の No. 4 供試体は、過剰間隙水圧が 95% を超え、有効応力がほぼゼロとなり、繰返し荷重によりひずみが急に増大していることから液状化と判断される。

砂層の液状化強度試験結果に基づく繰返し応力振幅比と繰返し載荷回数の関係を第 5.3-9 図に示す。

第 5.3-3 表(1/3) 液状化強度試験結果(As1 層)

試料番号	SW-4-1 (φ50)		SW-4-7 (φ50)		SW-4-10 (φ50)				SW-6-5 (φ50)			
サンプリング方法	トリプルチューブサンプリング				トリプルチューブサンプリング				トリプルチューブサンプリング			
地表からの深度 (m)	21.90~22.80		27.65~28.65		30.65~31.65				25.70~26.70			
有効上載圧 (kN/m ²)	311		373		400				354			
標高 T.P.(m)	-12.20~-13.10		-17.95~-18.95		-20.95~-21.95				-16.00~-17.00			
供試体No.	2	4	3	4	1	2	3	4	1	2	3	4
土粒子の密度 ρ_s (g/cm ³)	2.719		2.754		2.789				2.749			
圧密応力 σ_c (kN/m ²)	310		370		400				350			
繰返応力振幅比 $\sigma_d/2\sigma_c$	0.292	0.243	0.188	0.233	0.250	0.226	0.182	0.202	0.257	0.213	0.192	0.171
繰返し載荷回数	1 DA = 1%	2 DA = 2%	3 DA = 5%	4 DA = 10%	1 DA = 1%	2 DA = 2%	3 DA = 5%	4 DA = 10%	1 DA = 1%	2 DA = 2%	3 DA = 5%	4 DA = 10%
過剰間隙水圧比95% N_{95}	5.0	37.0	49.0	4.0	6.0	4.0	52.0	33.0	5.0	17.0	24.0	73.0

試料番号	SW-6-6 (φ50)				SW-6-7 (φ50)			
サンプリング方法	トリプルチューブサンプリング				トリプルチューブサンプリング			
地表からの深度 (m)	26.70~27.70				27.70~28.70			
有効上載圧 (kN/m ²)	363				372			
標高 T.P.(m)	-17.00~-18.00				-18.00~-19.00			
供試体No.	1	2	3	4	1	2	3	4
土粒子の密度 ρ_s (g/cm ³)	2.743				2.744			
圧密応力 σ_c (kN/m ²)	360				370			
繰返応力振幅比 $\sigma_d/2\sigma_c$	0.256	0.213	0.160	0.182	0.255	0.212	0.160	0.187
繰返し載荷回数	1 DA = 1%	2 DA = 2%	3 DA = 5%	4 DA = 10%	1 DA = 1%	2 DA = 2%	3 DA = 5%	4 DA = 10%
過剰間隙水圧比95% N_{95}	5.0	7.0	135.0	27.0	3.0	10.0	55.0	31.0

試料番号	SW-7-10 (φ50)				SW2-4(2) (φ50)				SW2-4(4) (φ50)			
サンプリング方法	トリプルチューブサンプリング				GPサンプリング				GPサンプリング			
地表からの深度 (m)	32.00~33.00				22.15~22.55				26.63~26.73			
有効上載圧 (kN/m ²)	412				259				298			
標高 T.P.(m)	-22.20~-23.20				-18.25~-18.65				-22.73~-22.83			
供試体No.	1	2	3	4	37	38	39	40	55			
土粒子の密度 ρ_s (g/cm ³)	2.718				2.704				2.738			
圧密応力 σ_c (kN/m ²)	410				260				300			
繰返応力振幅比 $\sigma_d/2\sigma_c$	0.236	0.196	0.218	0.171	0.295	0.264	0.232	0.250	0.220			
繰返し載荷回数	1 DA = 1%	2 DA = 2%	3 DA = 5%	4 DA = 10%	1 DA = 1%	2 DA = 2%	3 DA = 5%	4 DA = 10%				
過剰間隙水圧比95% N_{95}	3.0	19.0	7.0	157.0	6.0	9.0	64.0	27.0	14.0			

□: 試験結果を例示したケース

第 5.3-3 表(3/3) 液状化強度試験結果(As1 層)

試料番号		FS-1-4 (1) 中空 ($\phi 70$)				FS-1-4 (2) 中空 ($\phi 70$)				FS-1-4 (3) 中空 ($\phi 70$)				
サンプリング方法		凍結サンプリング				凍結サンプリング				凍結サンプリング				
地表からの深度 (m)		26.06~26.36				26.21~26.51				26.44~26.68				
有効上載圧 (kN/m^2)		255				255				255				
標高 T.P. (m)		-22.26~-22.56				-22.41~-22.71				-22.64~-22.88				
供試体No.		2-36	1-34	4-37	3-36	2-37	1-35	4-38	3-37	1-36	4-39	3-38	2-38	
土粒子の密度 ρ_s (g/cm^3)		2.647	2.706	2.724	2.680	2.674	2.684	2.695	2.730	2.678	2.706	2.719	2.696	
圧密応力 σ_c (kN/m^2)		250				250				250				
繰返し載荷回数		繰返し応力振幅比 $\sigma_d/2\sigma_c$				0.301	0.390	0.346	0.323	0.354	0.428	0.392	0.369	
繰返し載荷回数	軸両振幅のみ	DA = 1%	117.0	1.0	4.0	4.5	46.0	0.2	3.0	4.0	4.0	0.2	10.0	272.0
	DA = 2%	132.0	2.5	6.5	7.0	62.0	0.6	5.0	7.0	5.0	0.4	13.0	279.0	
	DA = 5%	151.0	4.0	10.0	12.0	92.0	1.5	8.0	15.0	7.0	1.0	15.0	284.0	
	DA = 10%	175.0	6.5	15.0	20.0	136.0	3.5	12.0	33.0	9.0	2.0	18.0	288.0	
過剰間隙水圧比95% N_{95}		147.0	5.0	11.0	12.0	87.0	3.0	10.0	16.0	8.0	—	15.0	282.0	
試料番号		FS-2-3 (1) 三輪 ($\phi 50$)				FS-2-3 (2) 三輪 ($\phi 50$)				FS-2-3 (3) 三輪 ($\phi 50$)				
サンプリング方法		凍結サンプリング				凍結サンプリング				凍結サンプリング				
地表からの深度 (m)		22.19~22.46				22.39~22.70				22.59~22.90				
有効上載圧 (kN/m^2)		326				326				326				
標高 T.P. (m)		-12.39~-12.66				-12.59~-12.90				-12.79~-13.10				
供試体No.		1-7	2-5	3-5	4-8	1-8	2-6	4-9	3-6	1-9	2-7	4-10	3-7	
土粒子の密度 ρ_s (g/cm^3)		2.710	2.723	2.711	2.702	2.675	2.689	2.675	2.695	2.682	2.688	2.702	2.694	
圧密応力 σ_c (kN/m^2)		330				330				330				
繰返し応力振幅比 $\sigma_d/2\sigma_c$		0.301	0.252	0.197	0.227	0.251	0.153	0.202	0.223	0.250	0.202	0.152	0.177	
繰返し載荷回数	軸両振幅のみ	DA = 1%	0.5	10.0	35.0	8.0	2.0	1062.0	15.0	14.0	2.0	10.0	87.0	37.0
	DA = 2%	1.0	13.0	38.0	11.0	3.0	1071.0	18.0	17.0	2.5	12.0	90.0	40.0	
	DA = 5%	4.0	18.0	44.0	15.0	7.0	1088.0	24.0	23.0	4.0	15.0	94.0	44.0	
	DA = 10%	8.0	23.0	53.0	21.0	14.0	1104.0	30.0	27.0	7.0	18.0	101.0	53.0	
過剰間隙水圧比95% N_{95}		4.0	15.0	39.0	12.0	6.0	1073.0	20.0	20.0	4.0	13.0	90.0	41.0	
試料番号		FS-2-3 (1) 中空 ($\phi 70$)				FS-2-5 (1) 中空 ($\phi 70$)				FS-2-5 (2) 中空 ($\phi 70$)				
サンプリング方法		凍結サンプリング				凍結サンプリング				凍結サンプリング				
地表からの深度 (m)		24.42~24.95				27.98~28.23				28.13~28.48				
有効上載圧 (kN/m^2)		345				379				379				
標高 T.P. (m)		-14.62~-15.15				-18.18~-18.43				-18.33~-18.68				
供試体No.		1-16	1-15	4-16	3-13	4-32	3-30	2-31	1-32	4-33	3-31	1-33	2-33	
土粒子の密度 ρ_s (g/cm^3)		2.749	2.735	2.720	2.755	2.698	2.741	2.719	2.737	2.750	2.695	2.737	2.736	
圧密応力 σ_c (kN/m^2)		330				380				380				
繰返し応力振幅比 $\sigma_d/2\sigma_c$		0.351	0.301	0.254	0.277	0.300	0.251	0.278	0.402	0.257	0.354	0.303	0.274	
繰返し載荷回数	軸両振幅のみ	DA = 1%	6.0	8.0	25.0	58.0	6.5	42.0	44.0	0.6	79.0	2.5	2.0	43.0
	DA = 2%	8.5	11.0	29.0	68.0	8.5	52.0	50.0	1.5	84.0	4.0	3.0	45.0	
	DA = 5%	14.0	17.0	35.0	84.0	13.0	73.0	59.0	3.0	89.0	8.0	5.0	48.0	
	DA = 10%	26.0	30.0	44.0	116.0	18.0	118.0	68.0	5.0	94.0	18.0	6.5	50.0	
過剰間隙水圧比95% N_{95}		16.0	17.0	34.0	80.0	14.0	66.0	58.0	4.0	90.0	10.0	6.0	49.0	

第5.3-4表(2/3) 液状化強度試験結果(As2層)

試料番号	FS-1-③(1) 中空(Φ70)				FS-1-③(2) 中空(Φ70)				FS-1-③(3) 中空(Φ70)				
サンプリング方法	凍結サンプリング				凍結サンプリング				凍結サンプリング				
地表からの深度(m)	23.06~23.36				23.29~23.81				23.70~23.96				
有効上載圧(kN/m ²)	231				231				231				
標高 T.P.(m)	-19.36~-19.66				-19.59~-20.11				-20.00~-20.26				
供試体No.	4-22	2-21	3-21	2-20	3-23	2-22	3-22	2-24	4-23	1-21	3-25	2-25	
土粒子の密度 ρ_s (g/cm ³)	2.751	2.715	2.716	2.718	2.737	2.746	2.724	2.737	2.742	2.750	2.741	2.730	
圧密応力 σ'_c (kN/m ²)	220				220				220				
繰返し載荷回数	繰返し載荷回数				$\sigma_d/2\sigma'_c$				繰返し載荷回数				
軸両振幅のみ	DA = 1%	3.0	0.7	4.0	60.0	0.6	81.0	4.0	1.5	8.5	0.6	2.0	0.2
DA = 2%	8.0	2.0	8.5	75.0	2.0	97.0	8.0	4.0	23.0	1.5	8.0	0.6	
DA = 5%	21.0	8.5	22.0	97.0	13.0	123.0	17.0	10.0	60.0	17.0	48.0	2.0	
DA = 10%	52.0	24.0	48.0	130.0	99.0	199.0	32.0	26.0	—	91.0	142.0	4.5	
過剰間隙水圧比95% N _{d95}	26.0	16.0	22.0	95.0	23.0	120.0	18.0	13.0	61.0	30.0	56.0	4.0	

試料番号	FS-2-④(1) 三軸(Φ50)	FS-2-④(2) 三軸(Φ50)	FS-2-④(3) 三軸(Φ50)	
サンプリング方法	凍結サンプリング	凍結サンプリング	凍結サンプリング	
地表からの深度(m)	26.53~26.75	26.65~26.90	26.98~27.13	
有効上載圧(kN/m ²)	366	366	369	
標高 T.P.(m)	-16.73~-16.95	-16.85~-17.10	-17.18~-17.33	
供試体No.	1-23	3-21	1-24	
土粒子の密度 ρ_s (g/cm ³)	2.728	2.733	2.790	
圧密応力 σ'_c (kN/m ²)	360			
繰返し載荷回数	繰返し載荷回数			
軸両振幅のみ	DA = 1%	147.0	0.4	0.4
DA = 2%	154.0	0.8	0.8	0.7
DA = 5%	164.0	9.5	6.0	8.5
DA = 10%	168.0	11.0	12.0	17.0
過剰間隙水圧比95% N _{d95}	161.0	—	12.0	12.0

試料番号	FS-2-⑥(1) 三軸(Φ50)	FS-2-⑥(2) 三軸(Φ50)	FS-2-⑥(3) 三軸(Φ50)	
サンプリング方法	凍結サンプリング	凍結サンプリング	凍結サンプリング	
地表からの深度(m)	30.43~30.60	30.58~30.90	30.73~31.05	
有効上載圧(kN/m ²)	403	403	403	
標高 T.P.(m)	-20.63~-20.80	-20.78~-21.10	-20.93~-21.25	
供試体No.	1-47	3-43	1-48	
土粒子の密度 ρ_s (g/cm ³)	2.813	2.750	2.836	
圧密応力 σ'_c (kN/m ²)	400			
繰返し載荷回数	繰返し載荷回数			
軸両振幅のみ	DA = 1%	8.5	0.6	0.6
DA = 2%	40.0	2.5	3.5	0.6
DA = 5%	170.0	18.0	30.0	4.5
DA = 10%	—	20.0	36.0	11.0
過剰間隙水圧比95% N _{d95}	108.0	—	9.5	—

試料番号	FS-2-④(A-1) 三軸(Φ50)	FS-2-⑤(A-1) 三軸(Φ50)	FS-2-⑥(A-1) 三軸(Φ50)	
サンプリング方法	凍結サンプリング	凍結サンプリング	凍結サンプリング	
地表からの深度(m)	26.98~27.23	28.83~29.13	31.35~31.62	
有効上載圧(kN/m ²)	369	385	409	
標高 T.P.(m)	-17.18~-17.43	-19.03~19.33	-21.55~21.82	
供試体No.	1-26	3-24	2-25	
土粒子の密度 ρ_s (g/cm ³)	2.826	2.793	2.739	
圧密応力 σ'_c (kN/m ²)	360			
繰返し載荷回数	繰返し載荷回数			
軸両振幅のみ	DA = 1%	0.4	0.8	0.5
DA = 2%	0.9	12.0	3.0	3.0
DA = 5%	7.0	29.0	21.0	15.0
DA = 10%	—	—	—	—
過剰間隙水圧比95% N _{d95}	—	—	15.0	—

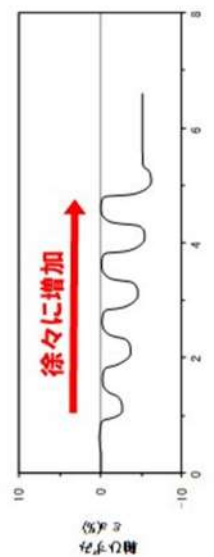
液状化強度試験結果(As1層の非液状化の例)

試験条件	
供試体	No.1-38
地表からの深度(m)	26.85~27.11
有効上載圧(kN/m ²)	260
圧密応力 σ'_{c} (kN/m ²)	250
繰返し応力振幅比 $\sigma_d/2\sigma'_{\text{c}}$	0.375
試験結果	
間隙水圧が上昇・蓄積する。 (過剰間隙水圧比95%を超える。)	×
有効応力がせき口まで低下する。	×
液体状となり流動する。 (ひずみが急増する。)	×
正のダイレイシシ特性により せん断抵抗が作用する。 (有効応力が回復する。)	○
液状化の判断	
非液状化	



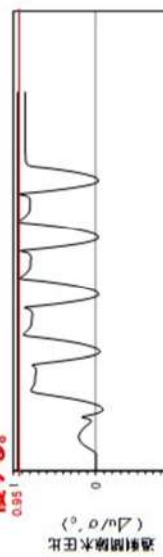
試験後の供試体

軸差応力-繰返し回数関係

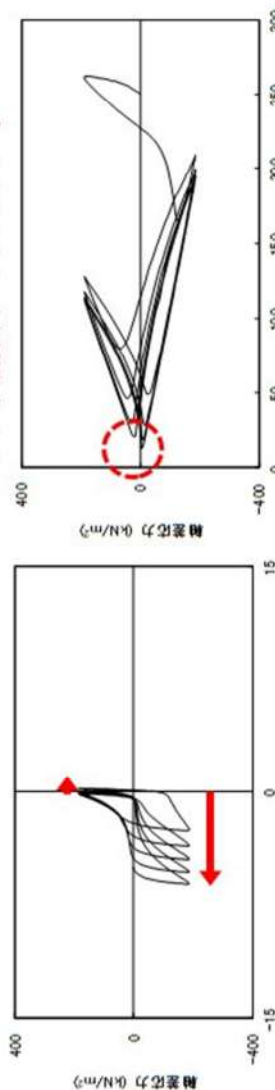


③④ 軸ひずみ-繰返し回数関係

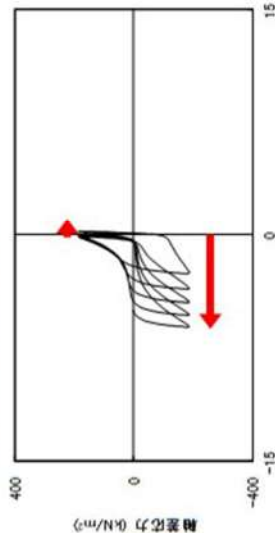
過剰間隙水圧比は95%を超えない。
せん断応力作用時には、正のダイレイシシ特性により、過剰間隙水圧は低下し、有効応力が回復する。



② 有効応力経路



③④ 軸差応力-軸ひずみ関係



① 過剰間隙水圧比-繰返し回数関係

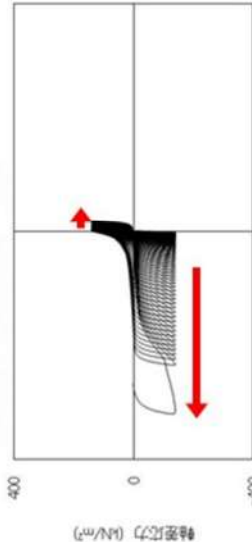
第5.3-6図 As1層の液状化強度試験結果(FS-1-④ (A-2) 三軸試料, 供試体No. 1-38)

液状化強度試験結果(As1層の液状化の例)

試験条件	
供試体	No.4
地表からの深度(m)	32.00~33.00
有効上載圧(kN/m ²)	412
圧密応力 σ'_c (kN/m ²)	410
繰返し応力振幅比 $\sigma_d/2\sigma'_0$	0.171
試験結果	液状化の判断
間隙水圧が上昇・蓄積する。 (過剰間隙水圧比95%を超える。)	○
有効応力がゼロまで低下する。	×
液体状となり流動する。 (ひずみが急増する。)	○
正のダイレイシナー特性によりせん断抵抗が作用する。 (有効応力が回復する。)	×

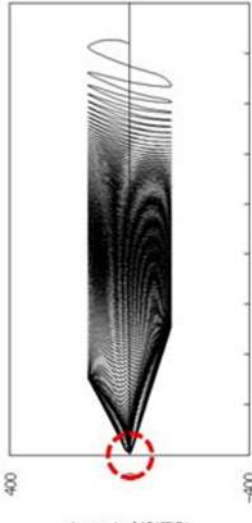
※有効応力がゼロまで低下していないが保守的に液状化に区分した。

ひずみが急激に進行する。



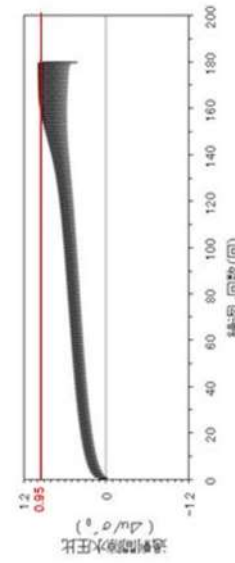
④ 軸差応力-軸ひずみ関係

有効応力がほぼゼロになると。



② 有効応力経路

過剰間隙水圧比は95%を超過する。



① 過剰間隙水圧比-繰返し回数関係

第5.3-7図 As1層の液状化強度試験結果(SW7-10, 供試体No.4)

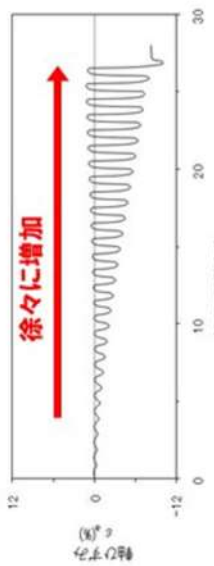
液状化強度試験結果(As2層の繰返し軟化の例)

試験条件	
供試体	No.21
地表からの深度(m)	18.15~18.35
有効上載圧(kN/m ²)	223
圧密応力 σ'_{c} (kN/m ²)	220
繰返し応力振幅比 $\sigma_d/2\sigma'$	0.277
試験結果	
間隙水圧が上昇・蓄積する。 (過剰間隙水圧比95%を超える。)	○
有効応力がゼロまで低下する。	×
液体状となり流動する。 (ひずみが急増する。)	×
正のダイレイテンシー特性により せん断抵抗が作用する。 (有効応力が回復する。)	○
液状化の判断	
繰返し軟化	



試験後の供試体

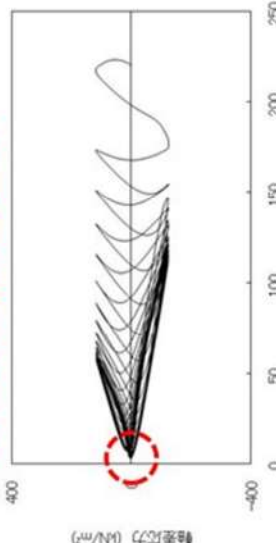
軸差応力-繰返し回数関係



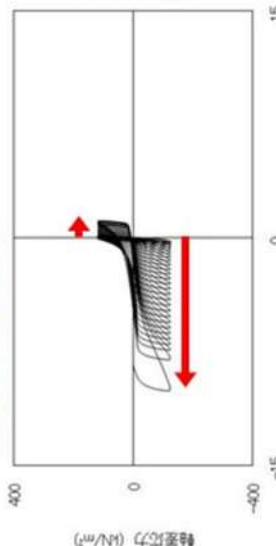
③(4) 軸ひずみ-繰返し回数関係



① 過剰間隙水圧比-繰返し回数関係

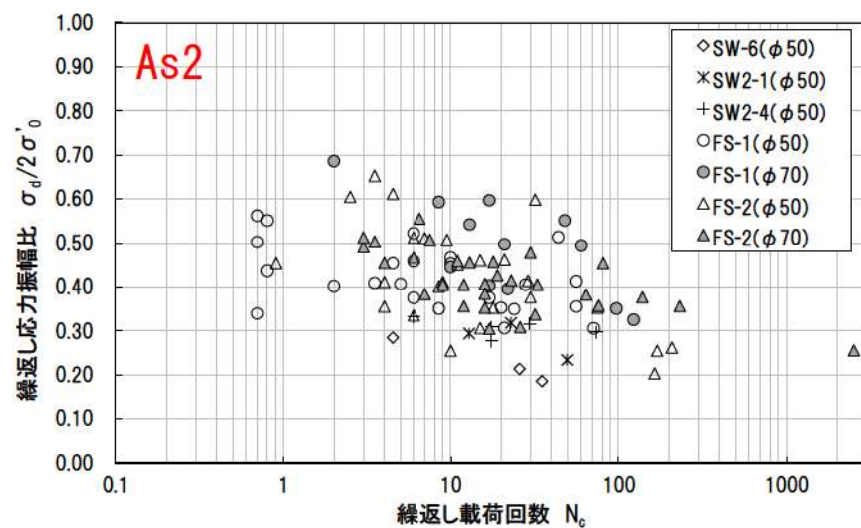
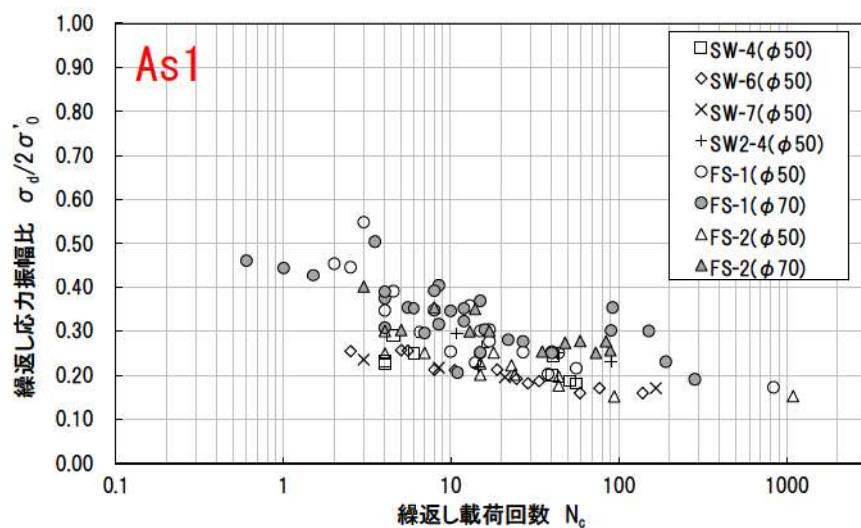


② 有効応力経路



③(4) 軸差応力-軸ひずみ関係

第5.3-8図 As1層の液状化強度試験結果(SW2-4) (1)試料, 供試体No.21)



第 5.3-9 図 砂層の液状化強度試験結果

5.4 基準地震動に対する液状化強度試験の妥当性確認

追而

(基準地震動の審査を踏まえて記載する)

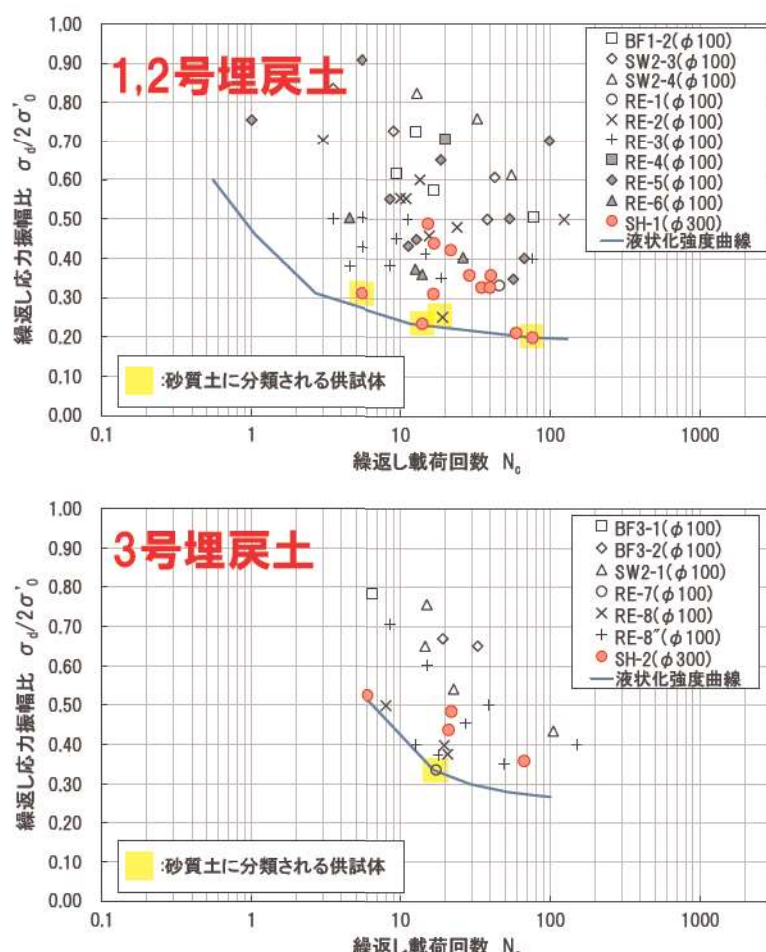
5.5 液状化強度特性の設定

液状化強度試験結果に基づく繰返し応力振幅比と繰返し載荷回数の関係を第 5.5-1 図、第 5.5-2 図に示す。

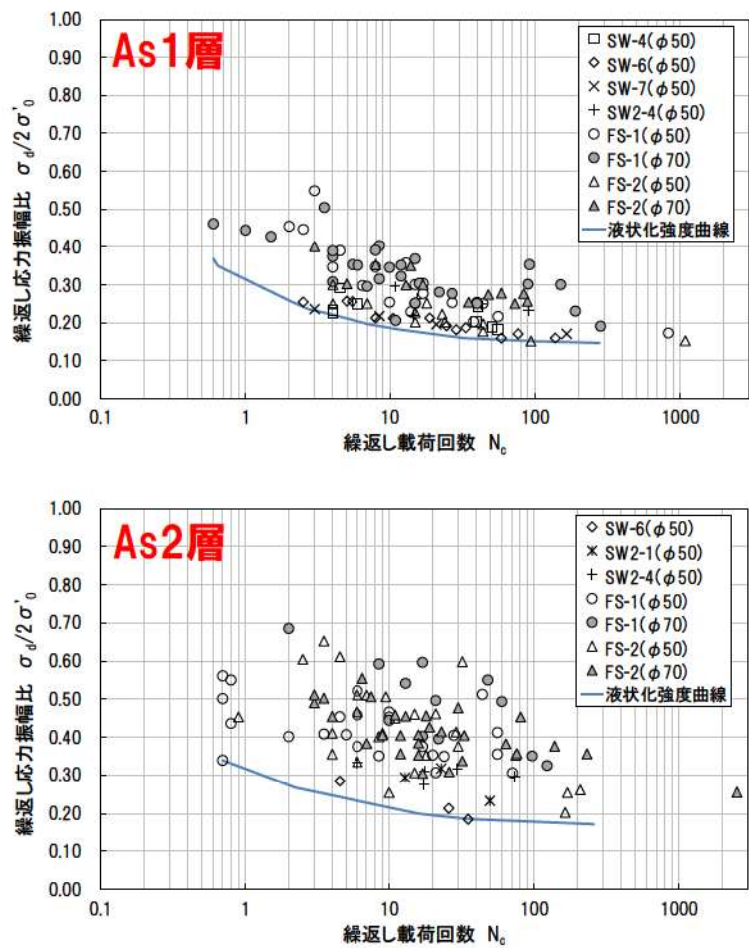
液状化強度試験結果の特徴として、埋戻土では第 5.5-1 図に示すとおり、供試体径 $\phi 100\text{mm}$ の試験結果はばらつきが大きく、 $\phi 300\text{mm}$ の試験結果はばらつきが小さい結果となっている。これは、径の小さい供試体($\phi 100\text{mm}$)は礫の占める比率が大きくなりやすく、液状化強度に与える影響も大きくなるため、 $\phi 100\text{mm}$ の試験は $\phi 300\text{mm}$ の試験と比較して礫の入り方のばらつきによる影響が大きいことが要因であると考えられる。また、砂質土に分類される埋戻土の液状化強度特性は低く、礫質土に分類される埋戻土の液状化強度は砂質土より高い値を示す傾向がある。

砂層については、対象施設に近い陸側で試料採取しているものの採取可能範囲が限定的である。

以上より、埋戻土において供試体径や粒度分布の違いに対して液状化強度にばらつきがあること、砂層において試料採取範囲が限定的であることを踏まえて、各土層の液状化強度特性は保守的(下限値)に設定することを基本とし、設置許可段階では 1, 2 号埋戻土、3 号埋戻土及び砂層(As1 層及び As2 層)の各層の下限値を設定する。



第 5.5-1 図 液状化強度試験結果に基づく埋戻土の液状化強度曲線(下限値設定)



第 5.5-2 図 液状化強度試験結果に基づく砂層の液状化強度曲線(下限値設定)

6. 液状化影響の検討方針

泊発電所における施設の耐震評価においては、下記事項に基づき液状化影響を評価する。

- ・液状化影響評価については、道路橋示方書の評価方法を基本とするが、道路橋示方書においては対象外とされている G. L. -20m 以深の土層等についても液状化強度試験を実施し、すべての埋戻土、砂層を液状化検討対象層として保守的な構造物の評価を実施する。
- ・埋戻土の代表性確認指標は粒度分布及び細粒分含有率を用いる。
- ・砂層の代表性確認指標は N 値、粒度分布及び細粒分含有率を用いる。
- ・すべての液状化検討対象施設近傍と施工時期の異なるエリアにおけるデータ取得を目的として液状化強度試験等の追加調査を計画する。
- ・液状化検討対象施設の解析手法は、施設の周辺状況に伴う液状化による影響を踏まえて選定する。
- ・有効応力解析を選定する場合、全応力解析により液状化が発生しない場合の耐震評価を行うものとし、全応力解析を選定する場合、有効応力解析により施設に液状化の影響が及ばないことを確認する。
- ・設置許可段階における施設の有効応力解析に用いる液状化強度特性については、実施済の敷地全体の液状化強度試験から得られる液状化強度特性を保守的(下限値)に設定し、1, 2 号埋戻土、3 号埋戻土及び砂層(As1 層及び As2 層)の各層の下限値を設定する。
- ・有効応力解析においては、解析コード「FLIP」を用いることとし、解析に用いる液状化パラメータは保守的に設定した液状化強度を満足するように設定する。

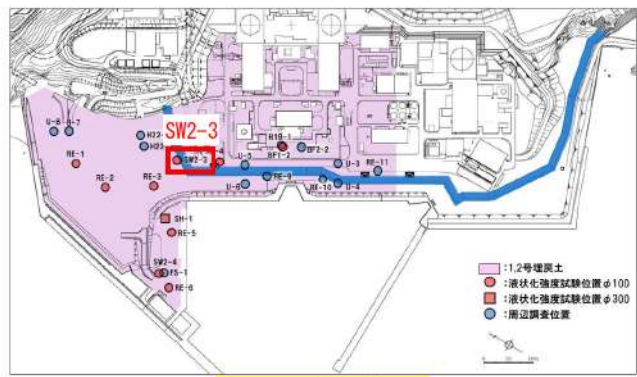
なお、設工認段階においては以下の検討結果に基づく液状化影響の評価を実施する。

- ・液状化検討対象施設の選定に用いる設計地下水位は、防潮堤設置後における地下水排水設備が機能しない状態が継続した場合の定常的な地下水位分布を予測した三次元浸透流解析の予測解析結果に基づく地下水位を使用する。
- ・埋戻土の液状化強度試験の試料採取位置について、代表性確認指標として相対密度を用いた代表性確認を行うとともに、設置許可段階における粒度分布と細粒分含有率による代表性確認結果の妥当性を確認する。
- ・代表性確認に当たっては、追加調査結果を踏まえて、相対密度や粒度分布により、敷地を同様の性状を示すエリアに分割し、各エリアに含まれる液状化検討対象施設等の近傍で実施した複数の試験結果を用いて説明する。
- ・有効応力解析に用いる液状化強度特性は、代表性を確認したエリアごとに設定することを基本とする。

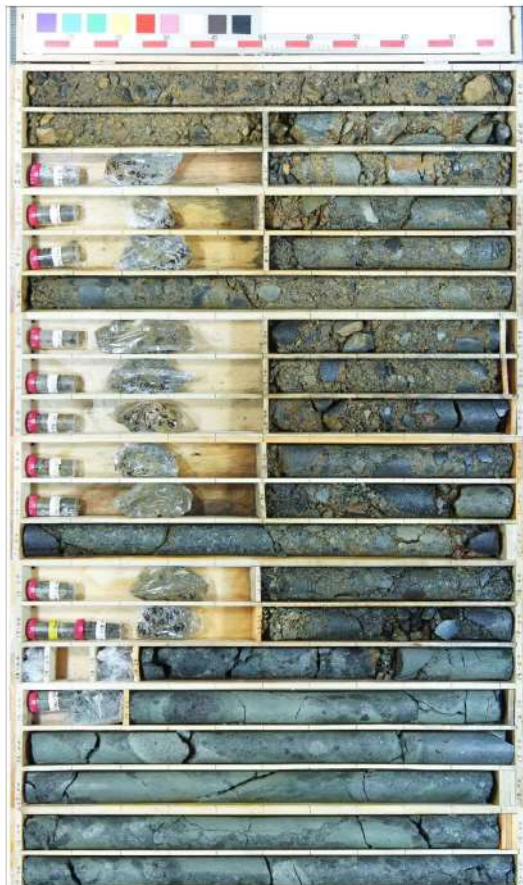
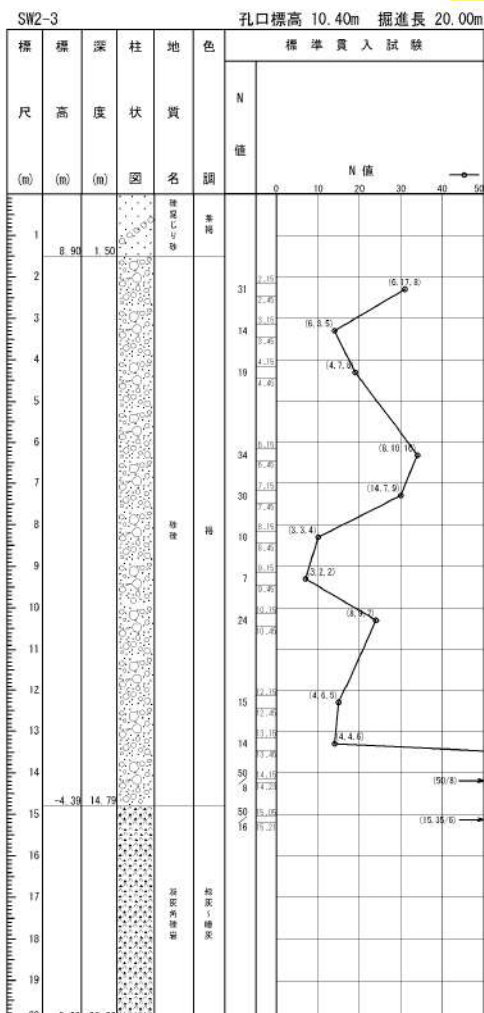
- ・なお、設定した液状化強度特性が設置許可段階における下限値と同程度の場合や、敷地を明確に同様の性状を示すエリアに分割できない場合は、敷地全体の液状化強度試験から得られる液状化強度特性を保守的(下限値)に設定する。
- ・「液状化検討対象施設の選定及び解析手法選定フロー」にしたがって、耐震評価に用いる解析手法を選定し、各解析手法に適用する解析ケースを選定する。

添付資料1. 埋戻土・砂層のボーリング柱状図・
コア写真及び液状化強度試験結果データ集

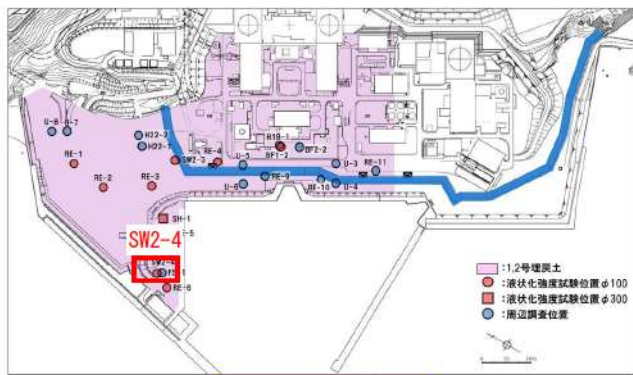
1. 埋戻土・砂層のボーリング柱状図・コア写真
(1) 1, 2号埋戻土のボーリング柱状図・コア写真



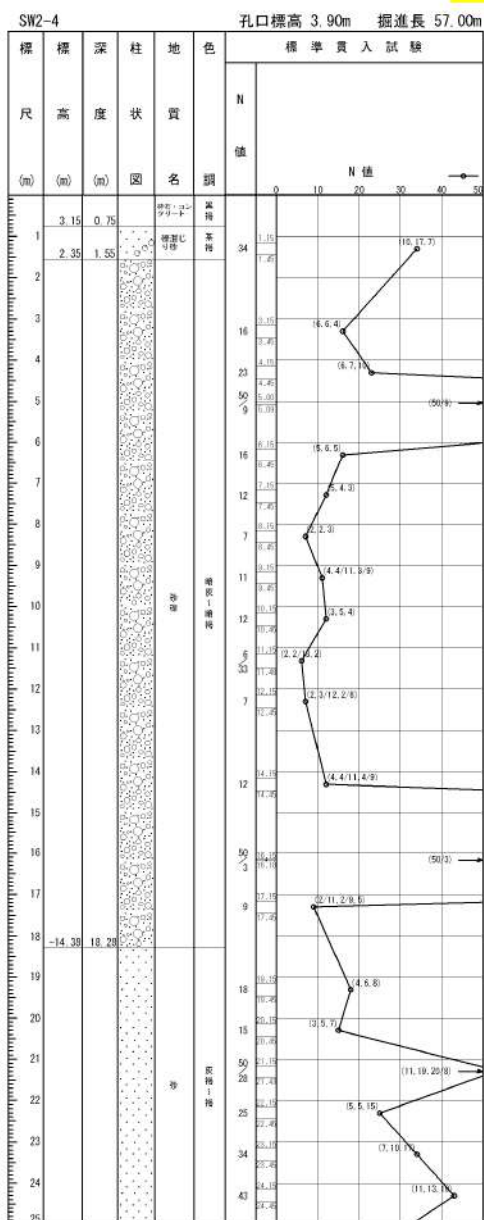
ボーリング平面位置図



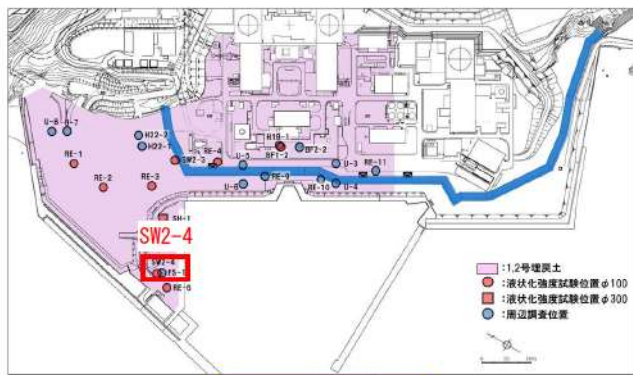
添付 1-1 図 ボーリング柱状図・コア写真 (SW2-3)



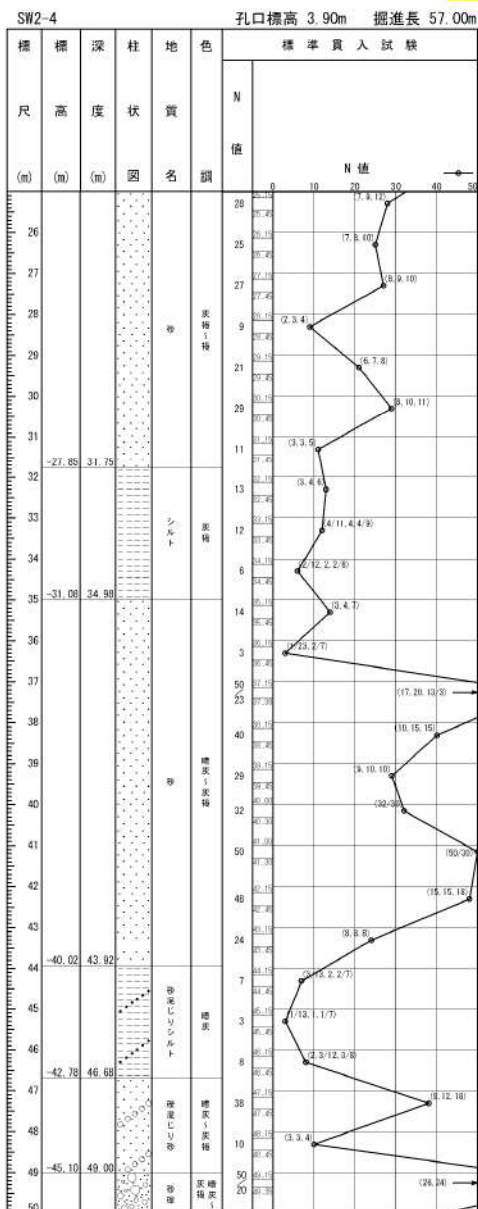
ボーリング平面位置図



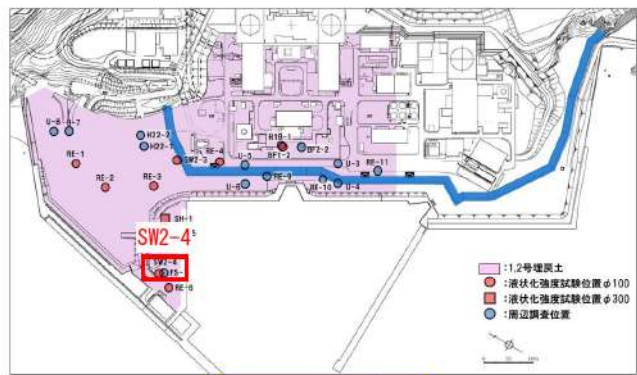
添付 1-2 図(1/3) ボーリング柱状図・コア写真 (SW2-4)



ボーリング平面位置図



添付 1-2 図(2/3) ボーリング柱状図・コア写真 (SW2-4)

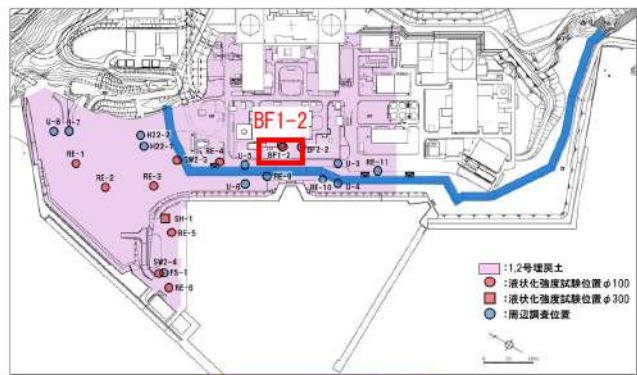


ボーリング平面位置図

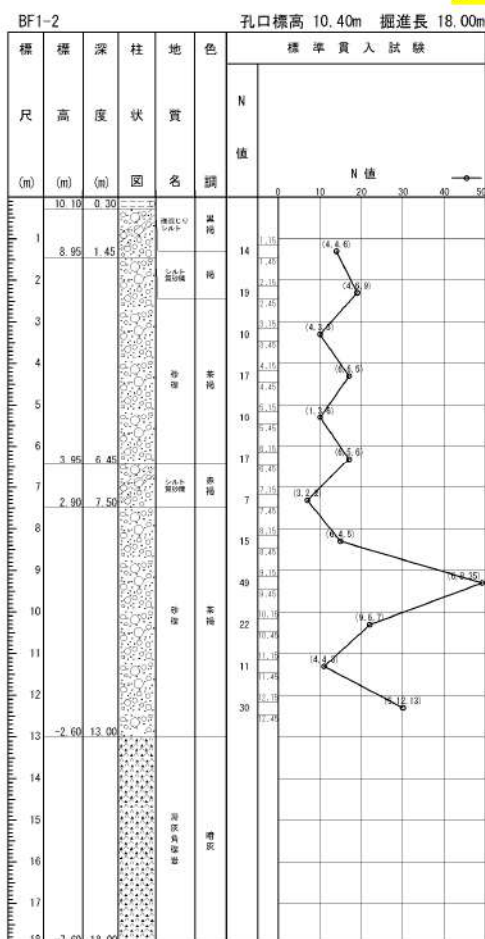
SW2-4						孔口標高 3.90m	掘進長 57.00m
標 尺	標 高 (m)	深 度 (m)	柱 状 圖	地 質 名	色 調	標準貫入試験	
					N 値		
51							
52	-48.31	52.21		砂 層			
53	-49.10	53.00		粘 土 層			
54	-50.85	54.75		砂 層			
55							
56							
57	-53.10	57.00		粘 土 層			



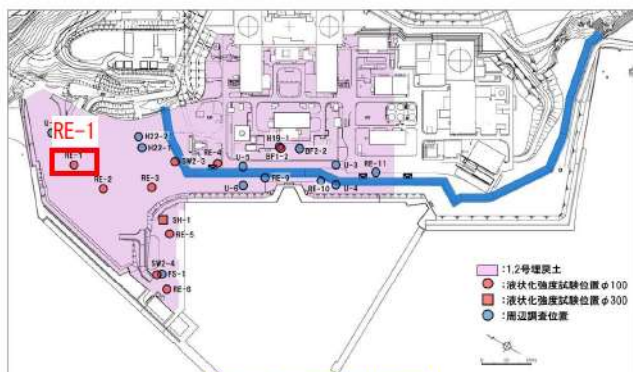
添付 1-2 図(3/3) ボーリング柱状図・コア写真 (SW2-4)



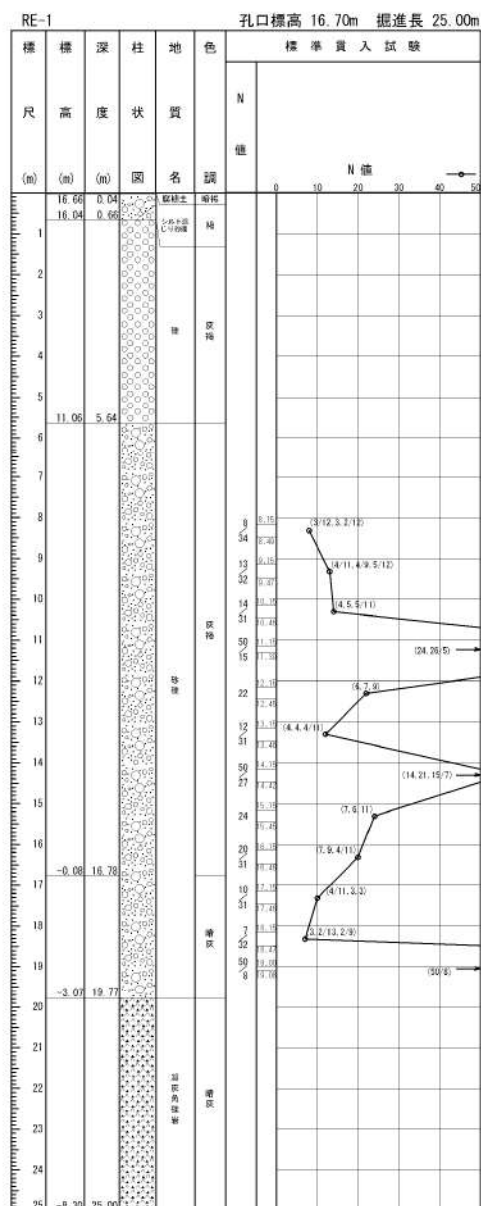
ボーリング平面位置図



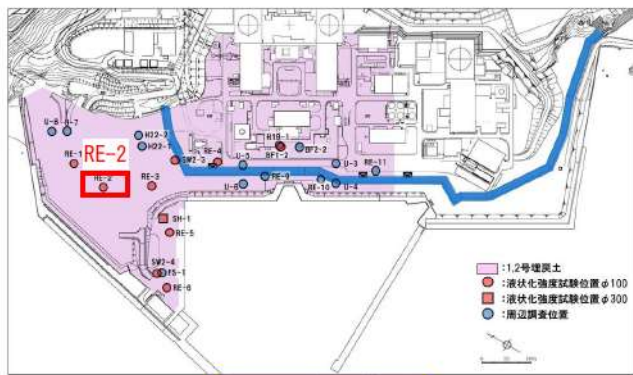
添付 1-3 図 ボーリング柱状図・コア写真 (BF1-2)



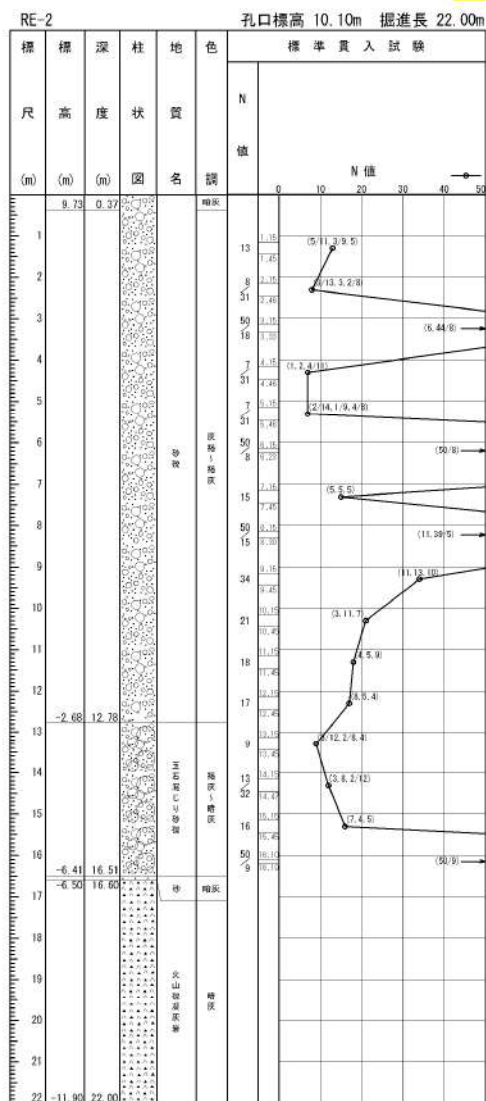
ボーリング平面位置図



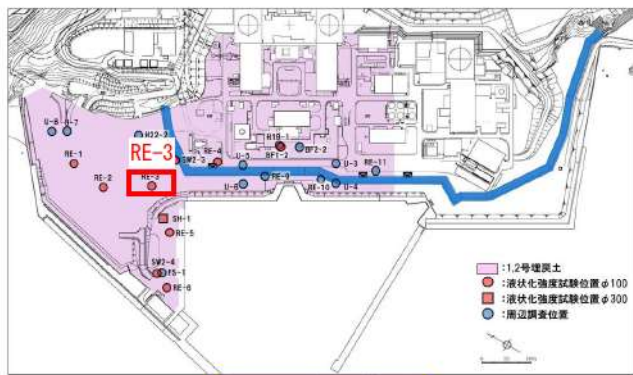
添付 1-4 図 ボーリング柱状図・コア写真 (RE-1)



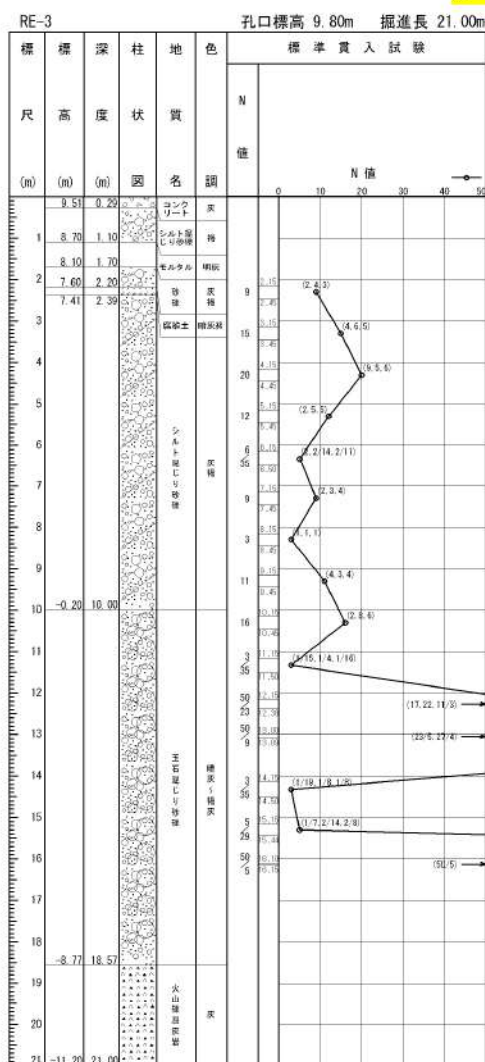
ボーリング平面位置図



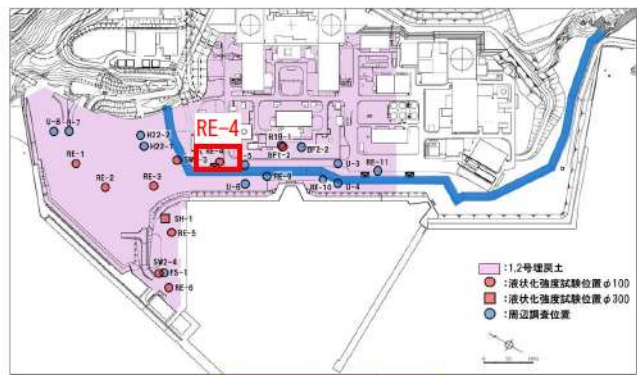
添付 1-5 図 ボーリング柱状図・コア写真 (RE-2)



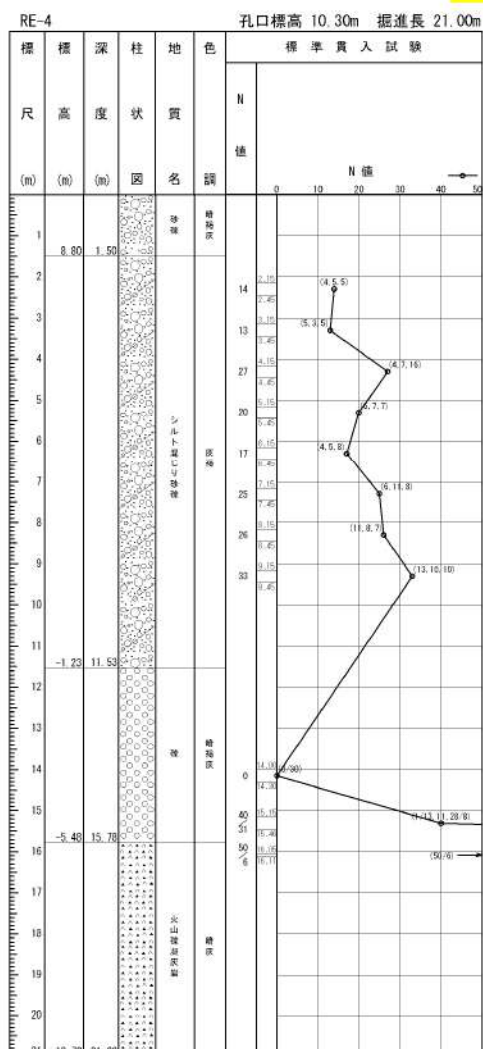
ボーリング平面位置図



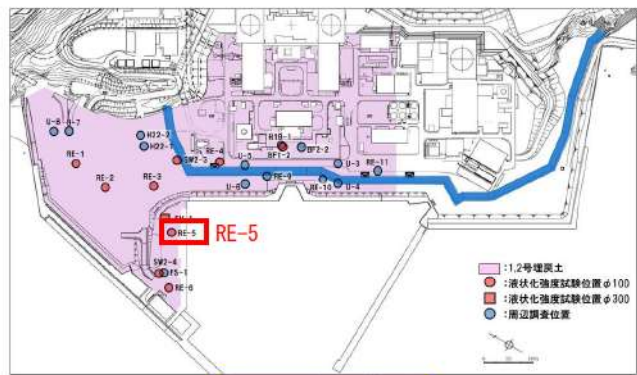
添付 1-6 図 ボーリング柱状図・コア写真 (RE-3)



ボーリング平面位置図

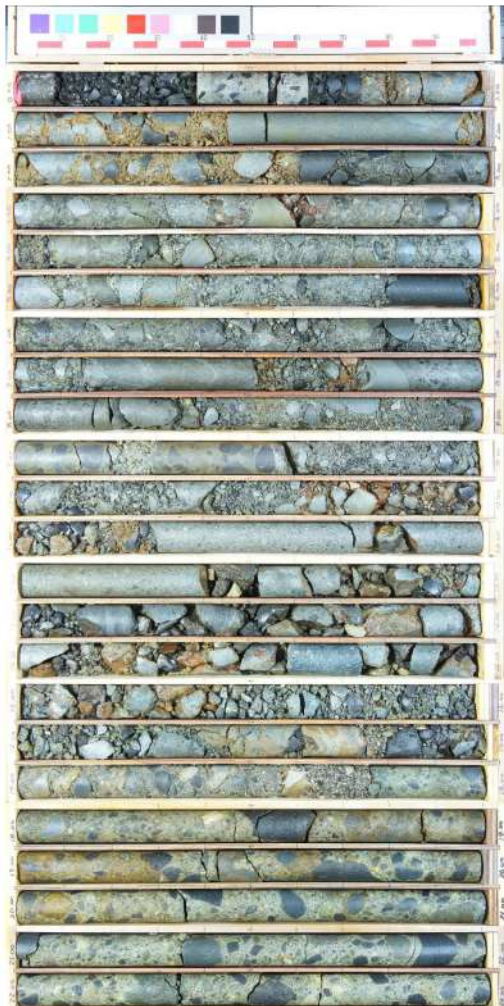


添付 1-7 図 ボーリング柱状図・コア写真 (RE-4)

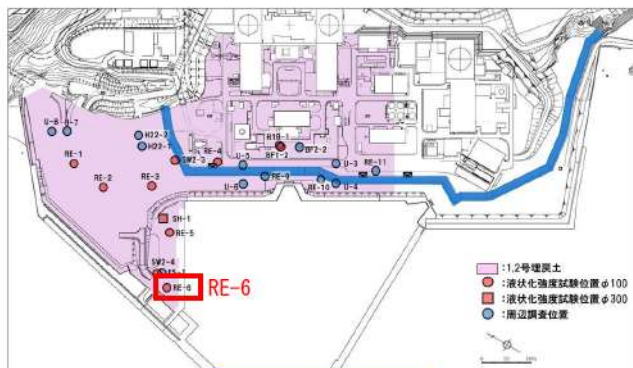


ボーリング平面位置図

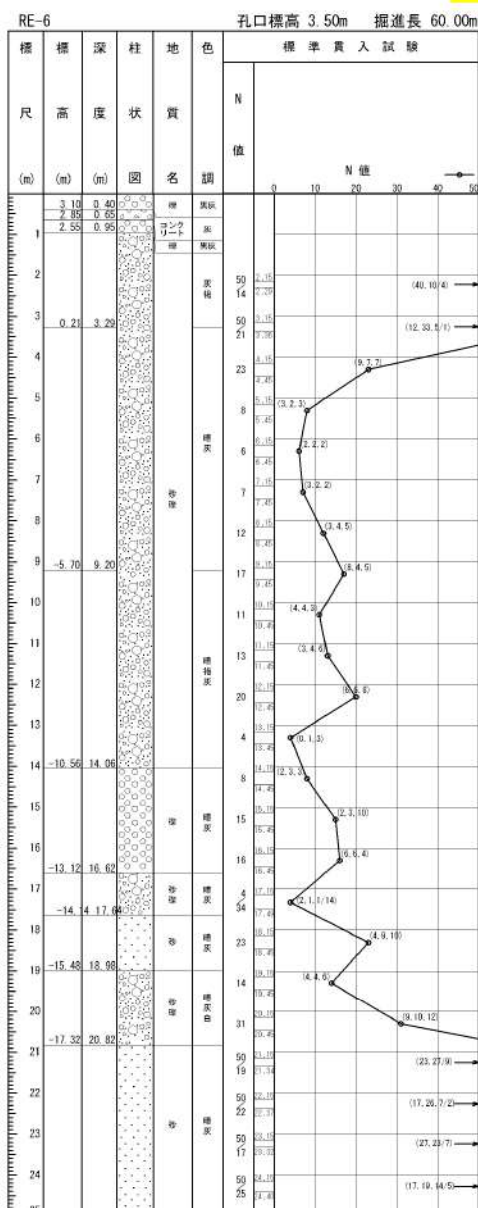
標 尺 (m)	標 高 (m)	度 深 (m)	状 柱 (m)	地 地 質 名 調 査 図	標準貫入試験	
					N 値 N 値	N 値 N 値
1	2.80	0.70	2.80	表土	50 1.15 24 1.38 23 1.15 50 1.15 24 1.30 11 1.15 13 1.15 32 1.15 10 1.15 32 1.15 50 1.15 28 1.15 50 1.15 9 1.15 11 1.15 8 1.15 3 1.15 6 1.15 5 1.15 12 1.15 17 1.15 14 1.15 15 1.15 16 1.15 17 1.15 18 1.15 19 1.15 20 1.15 21 1.15 22 1.15 23 1.15	17, 22, 11/4 (10, 3, 6) (28, 15, 5/4) (5, 4, 6/12) (5/11, 8/9, 7/11) (5, 10, 10/8) (5/6, 9/7) (4/12, 3/8, 3) (2, 2, 4) (7/15, 1/9, 1/6) (2/2, 2, 2) (2, 1/8, 1/2) (5, 4/12, 3) (2, 3, 3/12) (19, 8, 9) (5/6, 4)
2	0.89	2.80	2.80	砂礫		
3				礁岩		
4				礁岩		
5				礁岩		
6				礁岩		
7				礁岩		
8				礁岩		
9				礁岩		
10	-7.10	10.60	10.60	礁岩		
11	-7.79	11.29	11.29	礁岩		
12				礁岩		
13				礁岩		
14				礁岩		
15				礁岩		
16				礁岩		
17	-13.50	17.00	17.00	礁岩		
18	-14.26	17.76	17.76	礁岩		
19				礁岩		
20	-16.80	20.30	20.30	礁岩		
21				礁岩		
22				礁岩		
23	-19.50	23.00	23.00	礁岩		



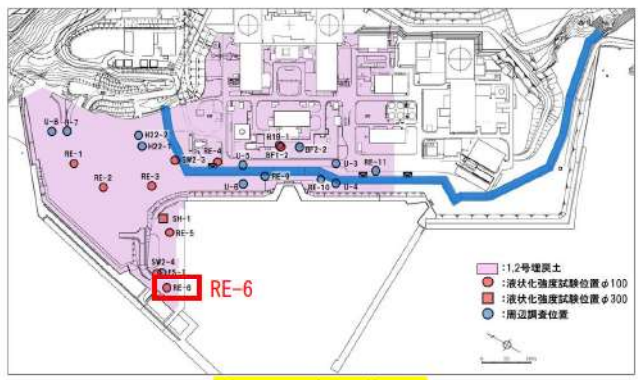
添付 1-8 図 ボーリング柱状図・コア写真 (RE-5)



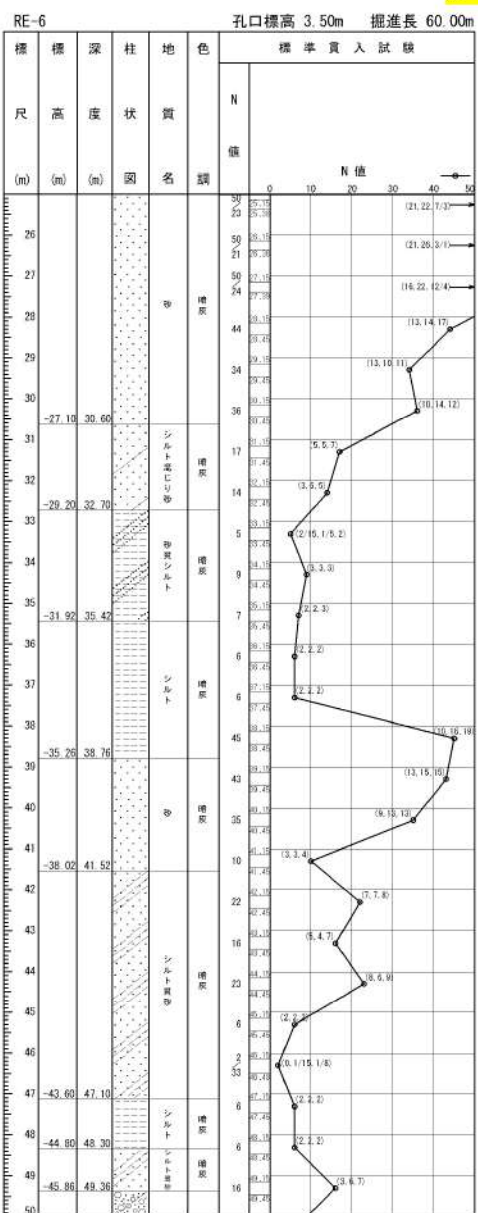
ボーリング平面位置図



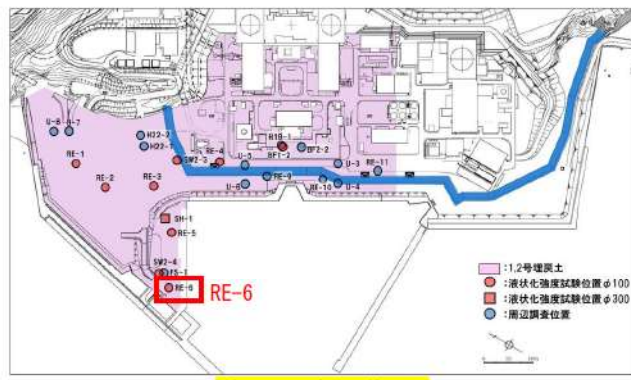
添付 1-9 図(1/3) ボーリング柱状図・コア写真 (RE-6)



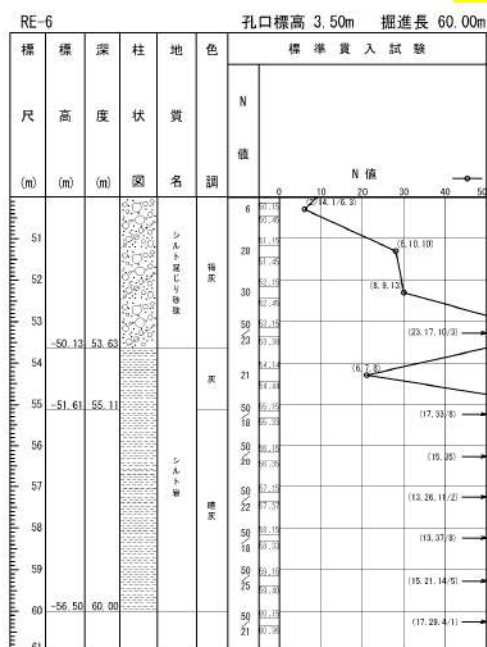
ボーリング平面位置図



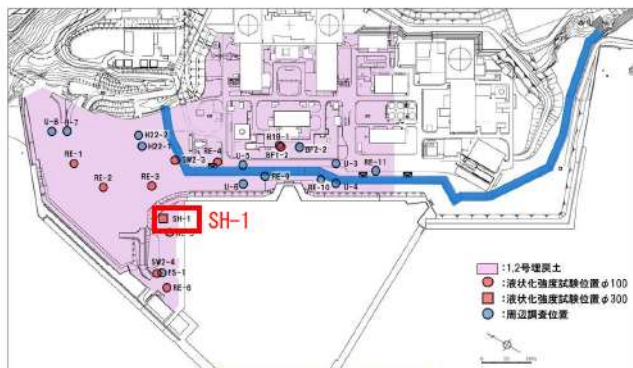
添付 1-9 図(2/3) ボーリング柱状図・コア写真 (RE-6)



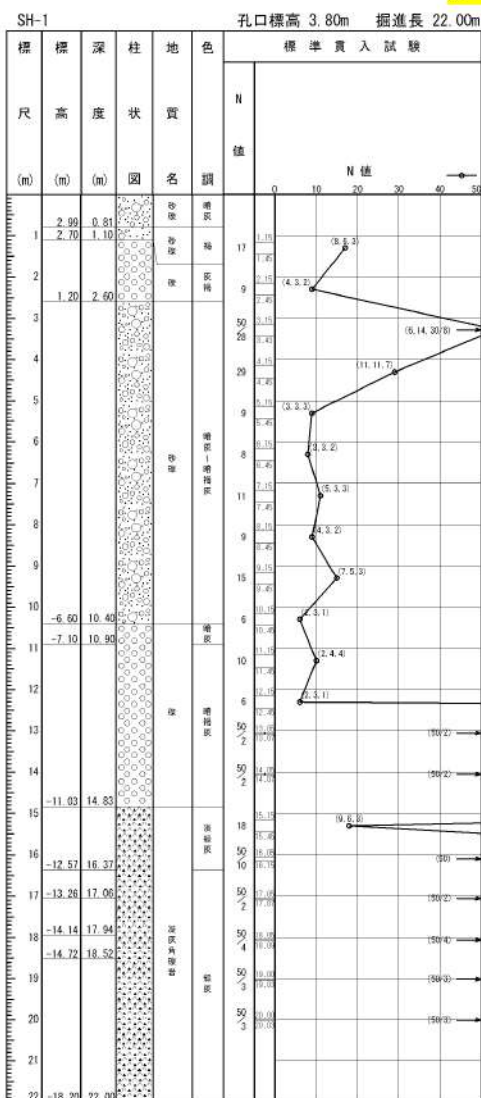
ボーリング平面位置図



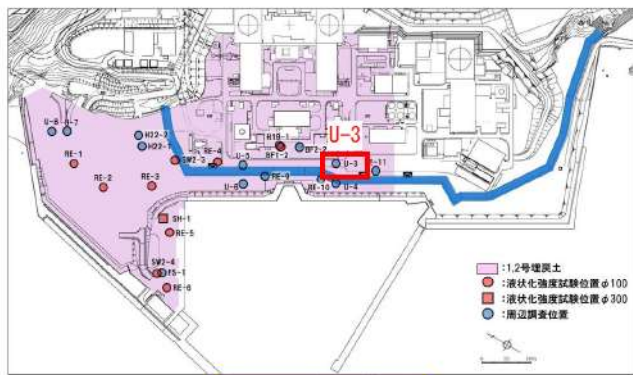
添付 1-9 図(3/3) ボーリング柱状図・コア写真 (RE-6)



ボーリング平面位置図

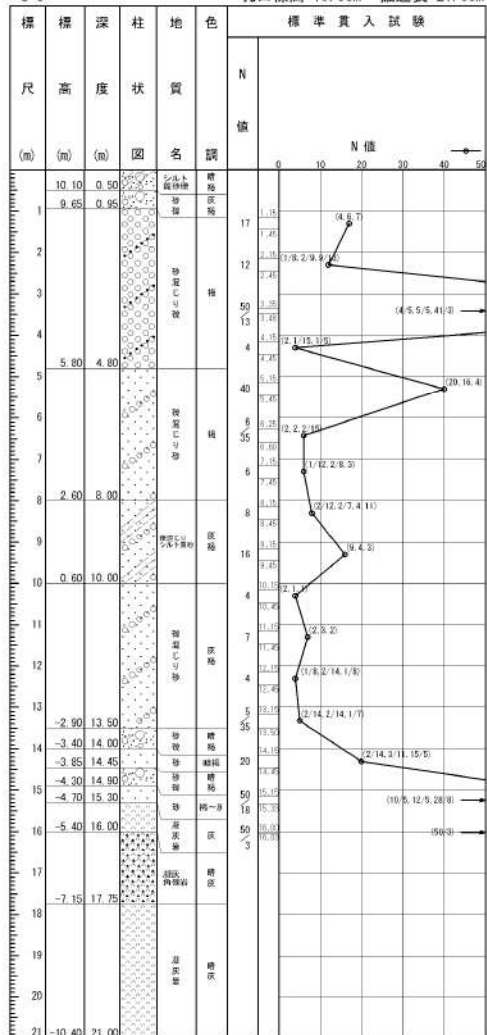


添付 1-10 図 ボーリング柱状図・コア写真 (SH-1)

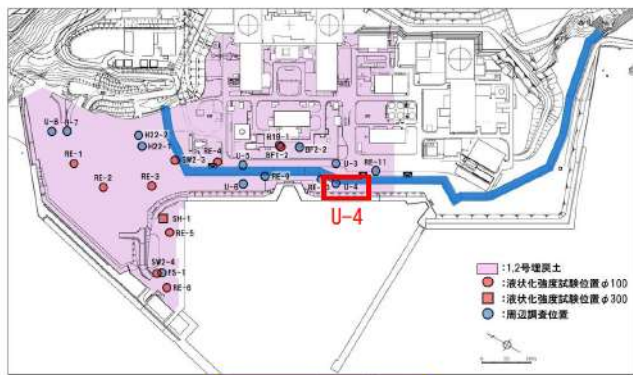


ボーリング平面位置図

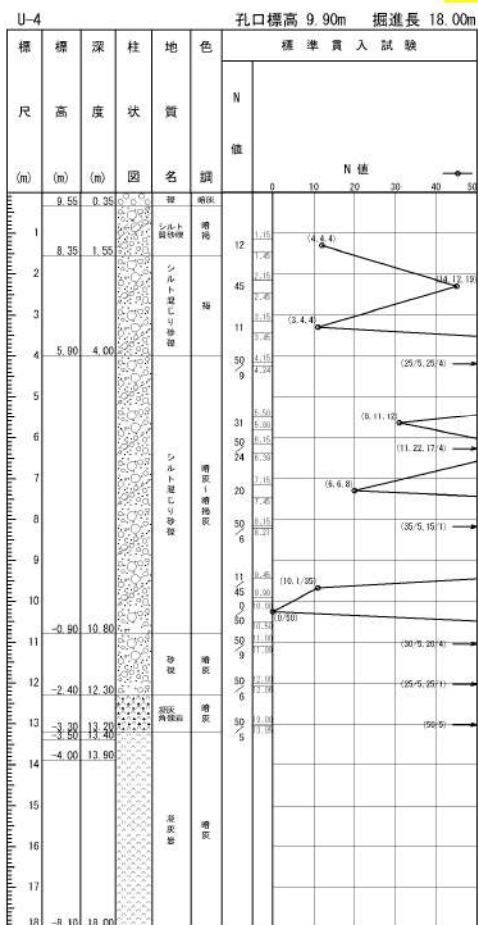
U-3 孔口標高 10.60m 振進長 21.00m



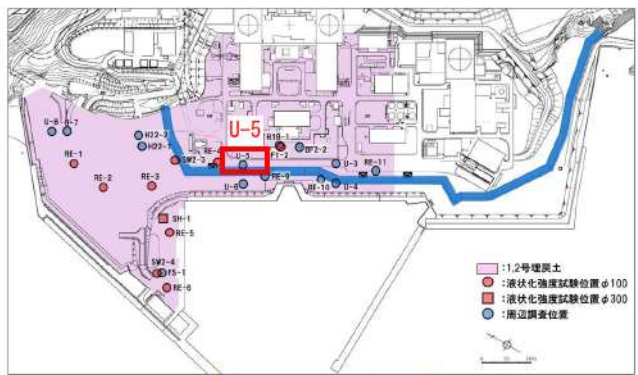
添付 1-11 図 ボーリング柱状図・コア写真 (U-3)



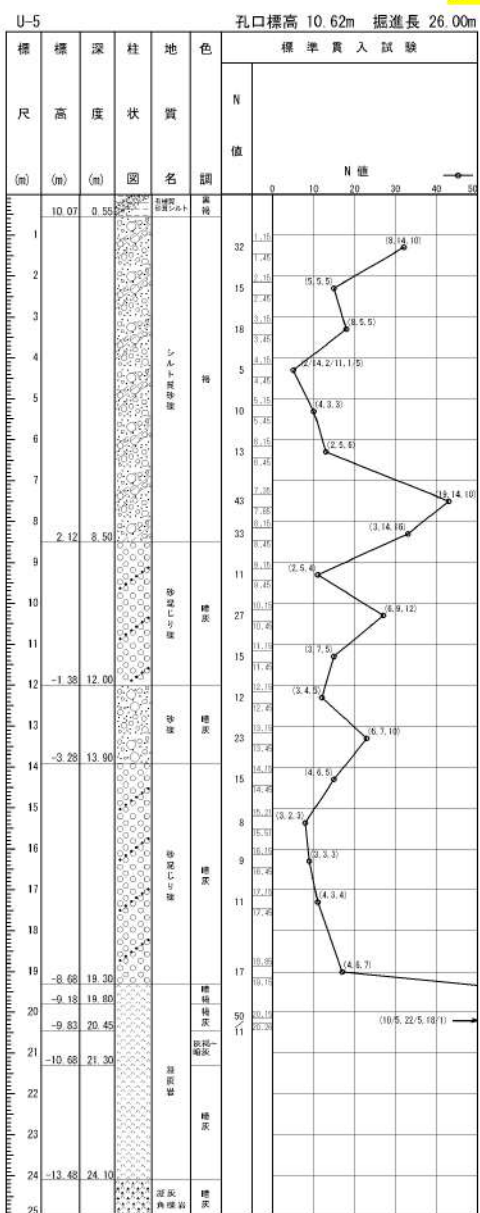
ボーリング平面位置図



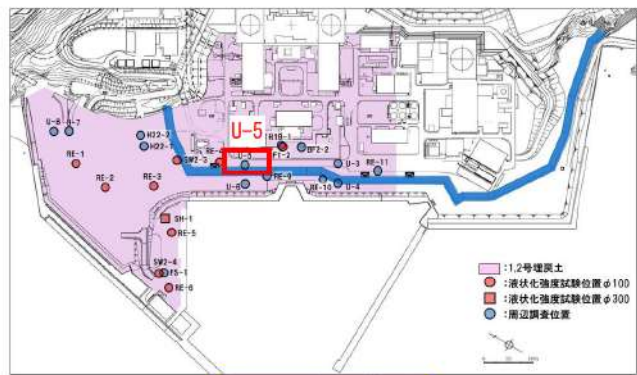
添付 1-12 図 ボーリング柱状図・コア写真 (U-4)



ボーリング平面位置図



添付 1-13 図(1/2) ボーリング柱状図・コア写真 (U-5)

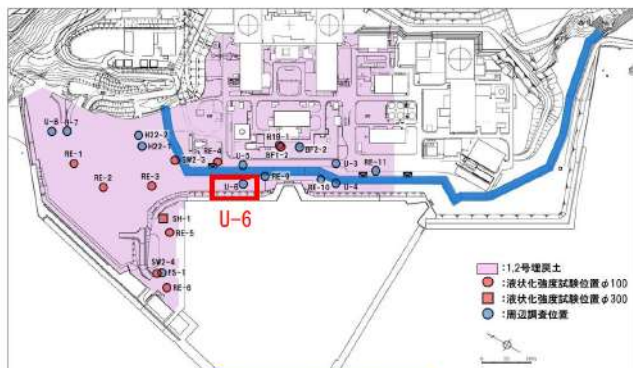


ボーリング平面位置図

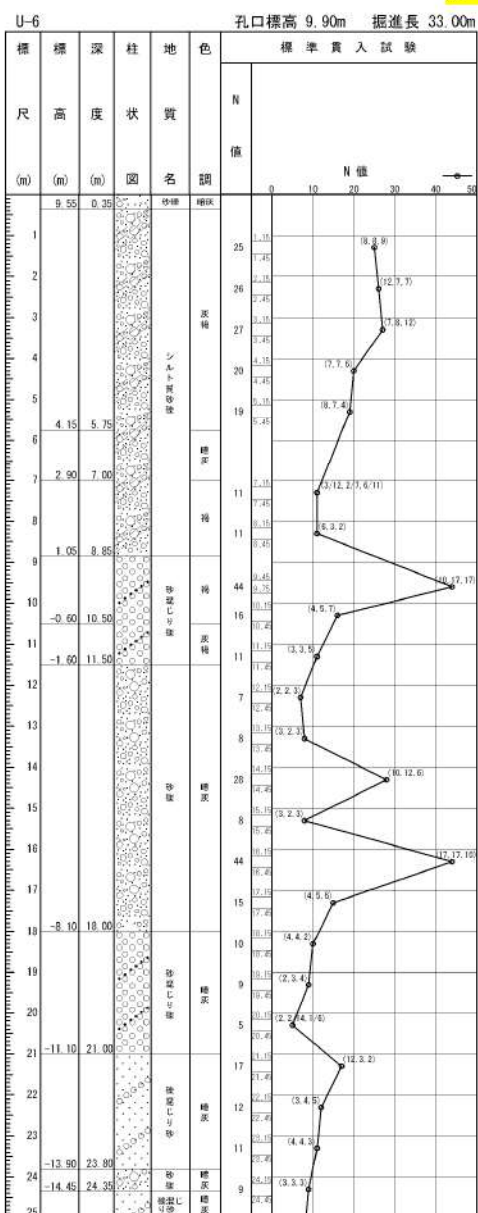
U-5						孔口標高 10.62m 挖進長 26.00m					
標 尺	標 高	深 度	柱 状 圖	地 質 名	色 調	標準貫入試験					
(m)	(m)	(m)				N 値	N 値				
26	-15.38	26.00	[dotted pattern]	泥灰 角礫岩	褐色		0	10	20	30	40 → 50



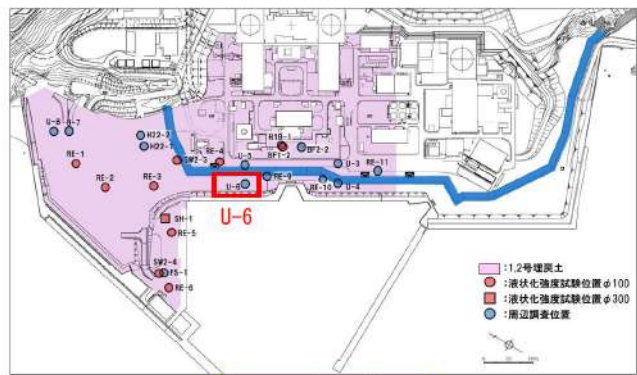
添付 1-13 図(2/2) ボーリング柱状図・コア写真 (U-5)



ボーリング平面位置図



添付 1-14 図(1/2) ボーリング柱状図・コア写真 (U-6)

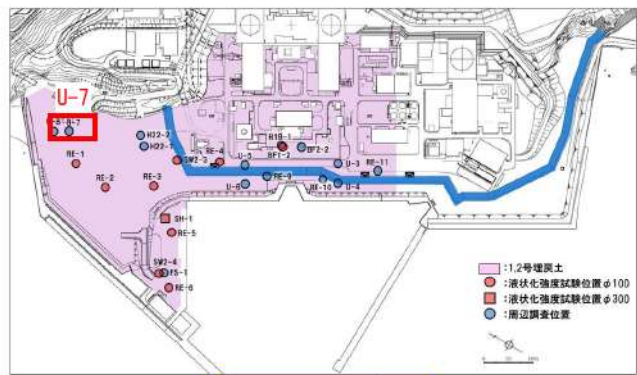


ボーリング平面位置図

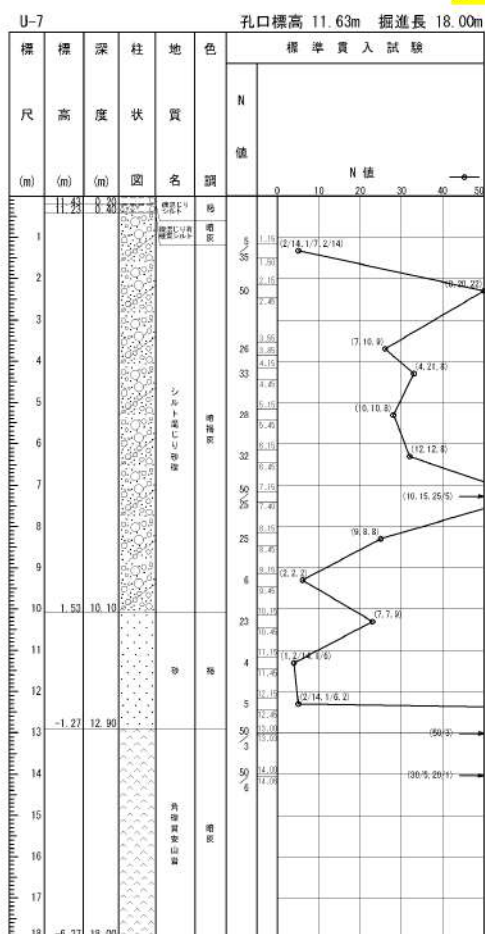
U-6					
標	標	深	柱	地	色
尺	高	度	状	質	調
(m)	(m)	(m)	圖	名	調
26	-15.85	25.75	●	標準柱	標準
27	-17.70	27.60	●	基底盤	標準
28					
29					
30					
31	-21.00	30.90	●		
32	-21.30	31.20	●		
33	-23.10	33.00	●		



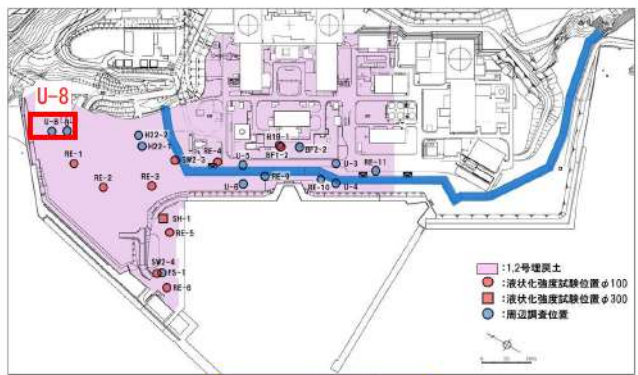
添付 1-14 図(2/2) ボーリング柱状図・コア写真 (U-6)



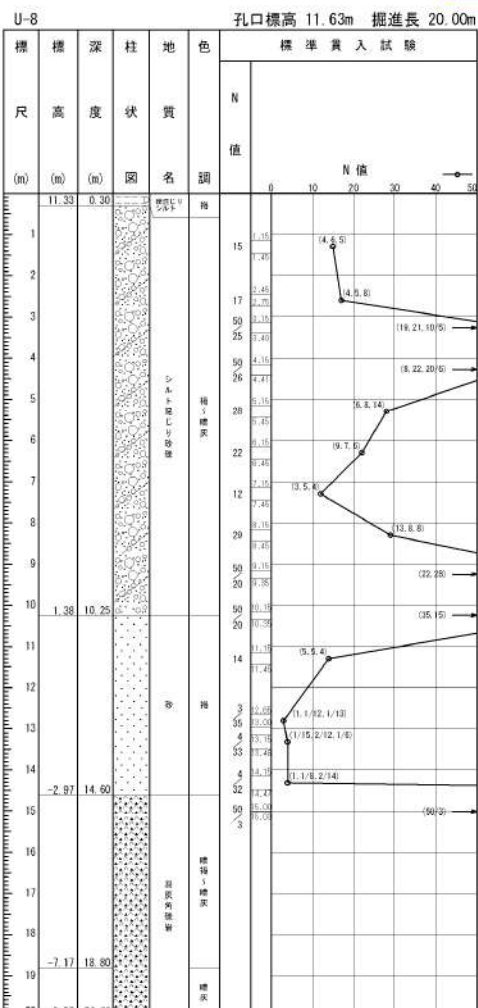
ボーリング平面位置図



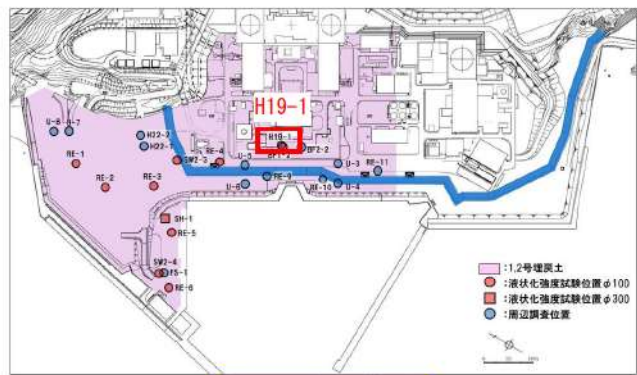
添付 1-15 図 ボーリング柱状図・コア写真 (U-7)



ボーリング平面位置図



添付 1-16 図 ボーリング柱状図・コア写真 (U-8)

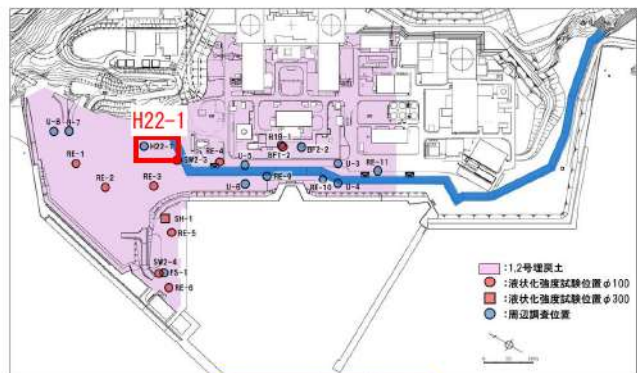


ボーリング平面位置図

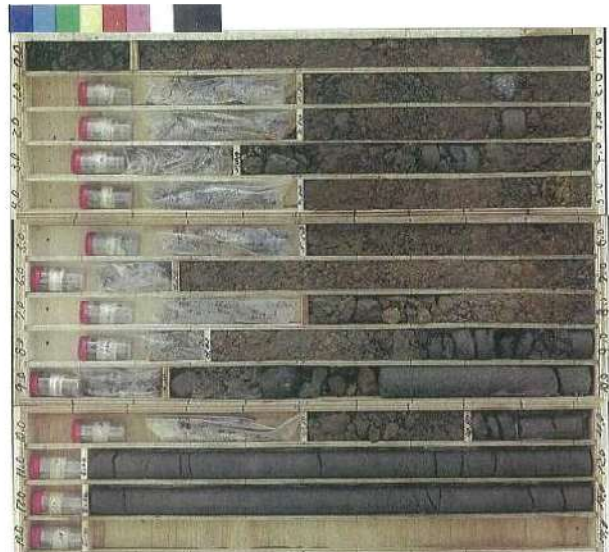
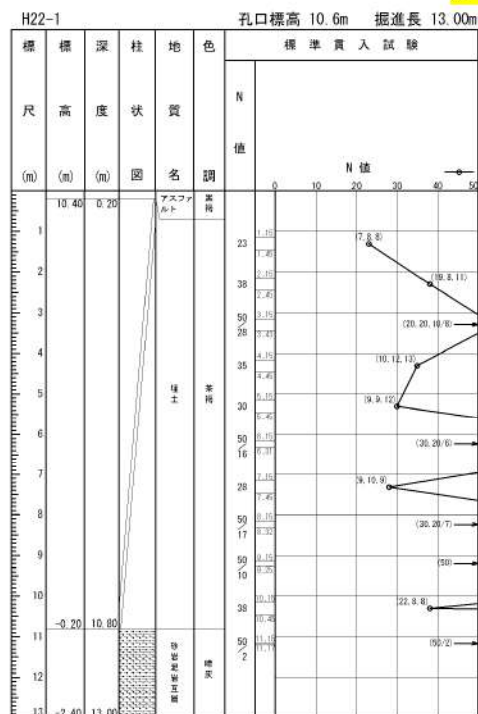
H19-1						
標 尺 (m)	標 高 (m)	深 度 (m)	柱 状 図	地 質 名	標準貫入試験	
					N 値	N 値
1						
2						
3						
4						
5						
6						
7						
8						
9						
10						
11						
-2.59	11.50					
12						
13	-4.09	13.00		砂質 泥質 岩盤		



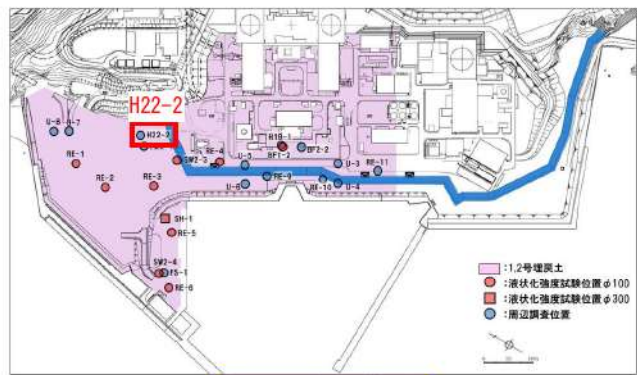
添付 1-17 図 ボーリング柱状図・コア写真 (H19-1)



ボーリング平面位置図

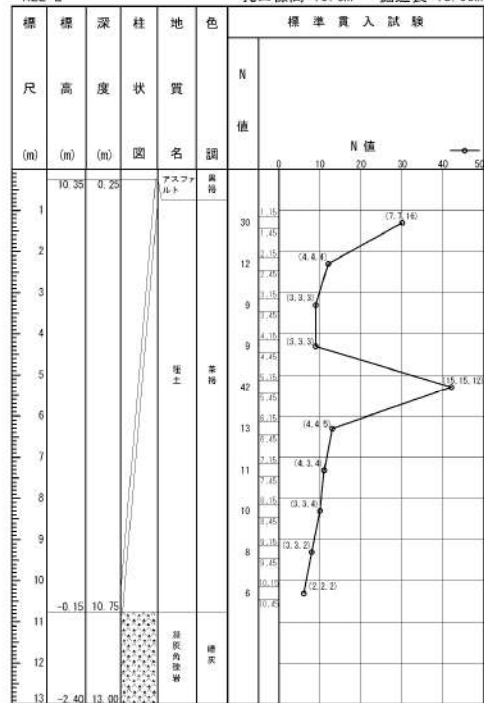


添付 1-18 図 ボーリング柱状図・コア写真 (H22-1)

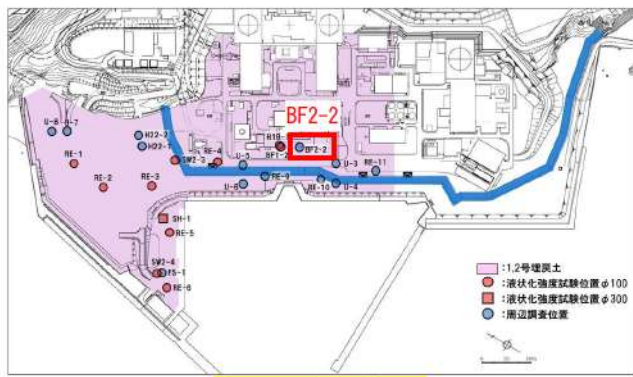


ボーリング平面位置図

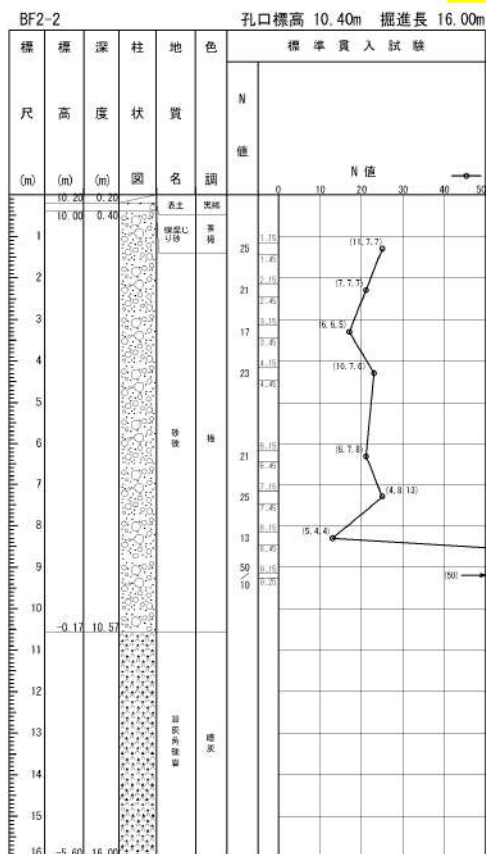
H22-2 孔口標高 10.6m 堀進長 13.00m



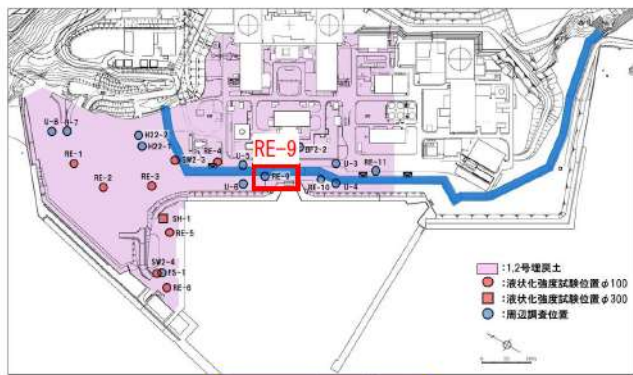
添付 1-19 図 ボーリング柱状図・コア写真 (H22-2)



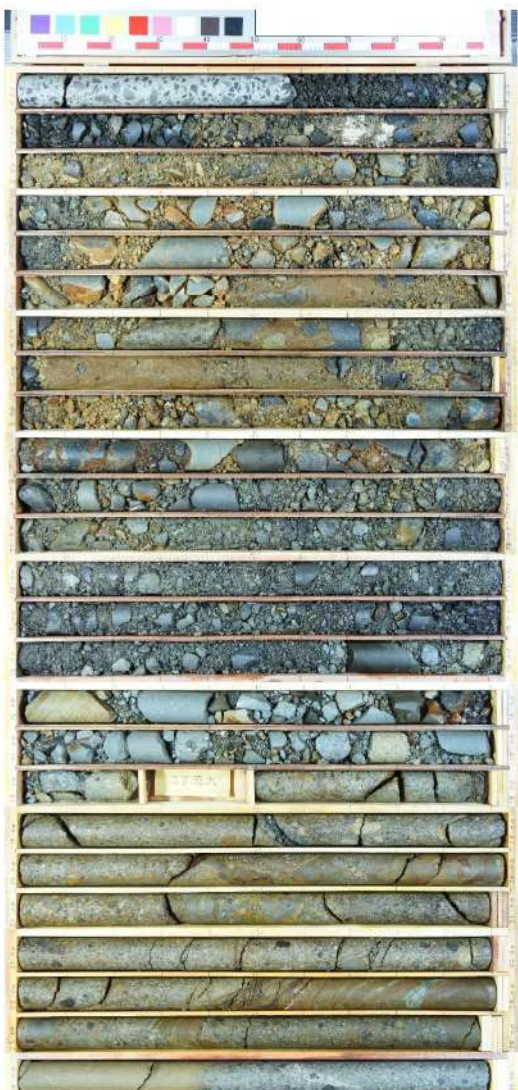
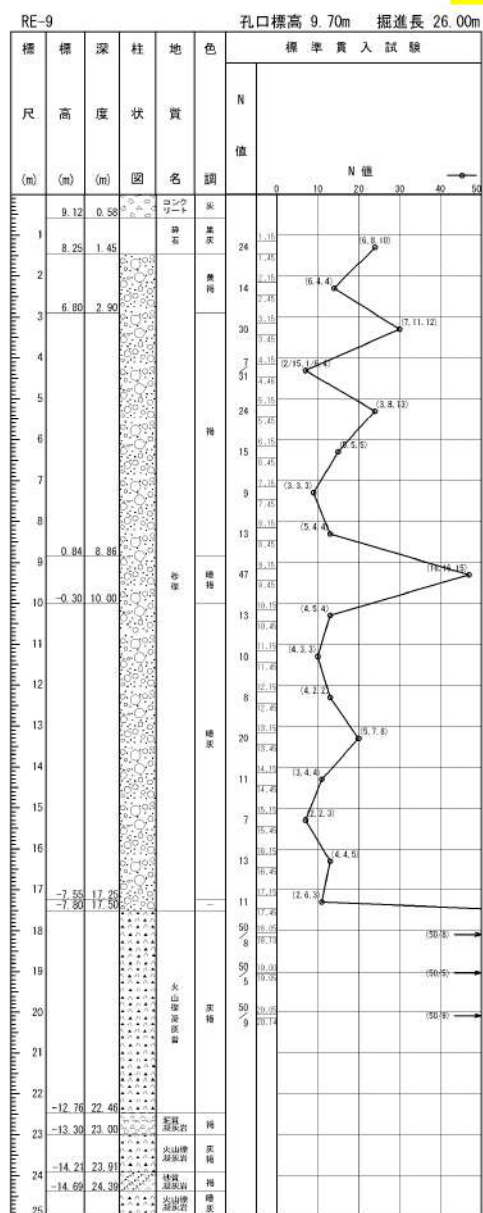
ボーリング平面位置図



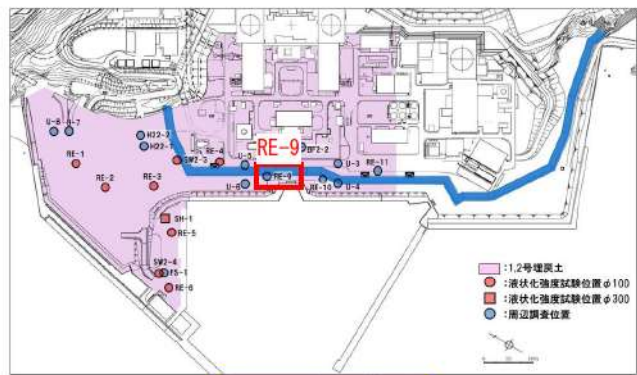
添付 1-20 図 ボーリング柱状図・コア写真 (BF2-2)



ボーリング平面位置図



添付 1-21 図(1/2) ボーリング柱状図・コア写真 (RE-9)

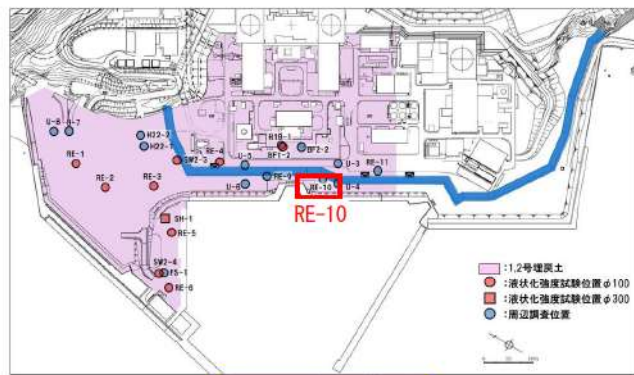


ボーリング平面位置図

RE-9						孔口標高 9.70m 挖進長 26.00m	
標 尺	標 高	深 度	柱 状 圖	地 質 調 査	色	標準貫入試験	
(m)	(m)	(m)					
26 -16.30	26.00	25.56 -15.85	尖山層 冲積層 砂質 泥炭層	雨 天 水 面 地 下 水 位 高 度	N 値	0	10 20 30 40 50



添付 1-21 図(2/2) ボーリング柱状図・コア写真 (RE-9)

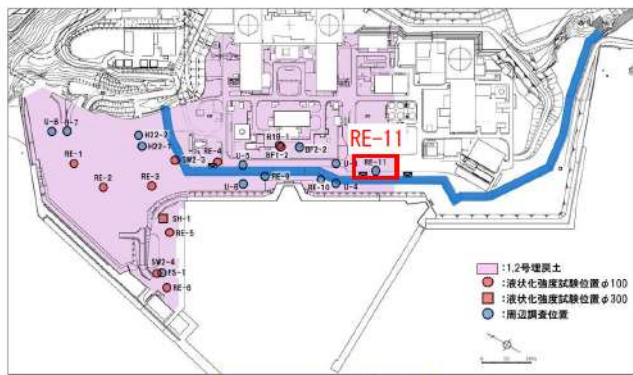


ボーリング平面位置図

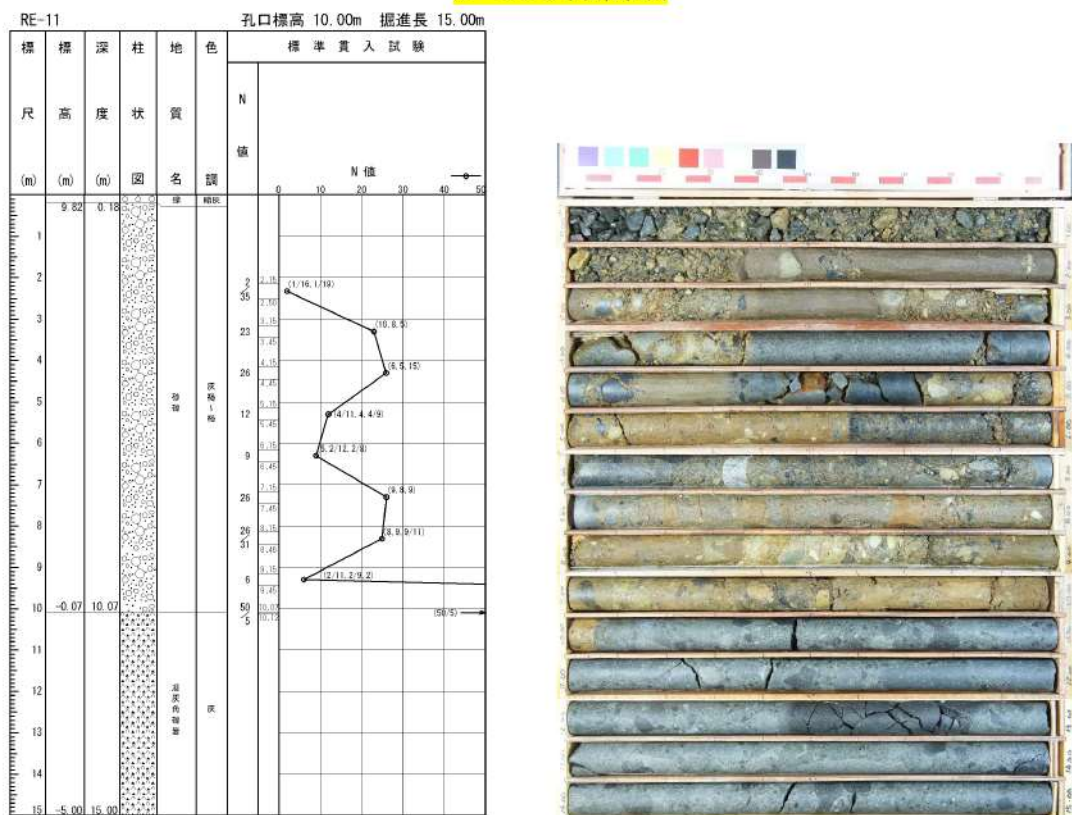
RE-10						
標 尺	標 高 (m)	深 度 (m)	柱 状 圖	地 質 調 査	標準貫入試験	
					N 値	N 値
1	9.11	0.58	ヨシクト 河床 砂石			
	8.90	0.80				
2						
3						
4						
5						
6	3.57	6.13				
7						
8						
9						
10	-0.57	10.27				
11	-1.46	11.16	玄山砂 泥灰岩			
12						
13						
14	-4.07	13.77	砂質 泥灰岩			
15	-5.30	15.00	玄山砂 泥灰岩			



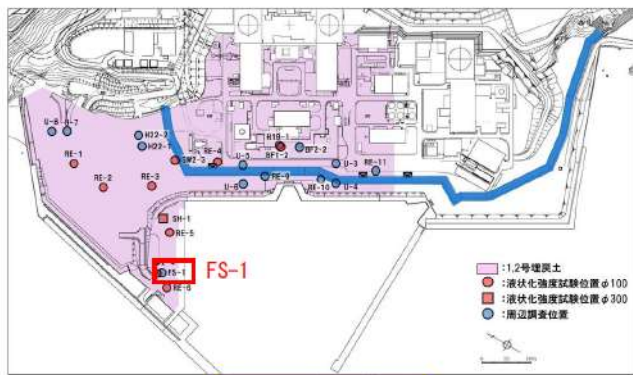
添付 1-22 図 ボーリング柱状図・コア写真 (RE-10)



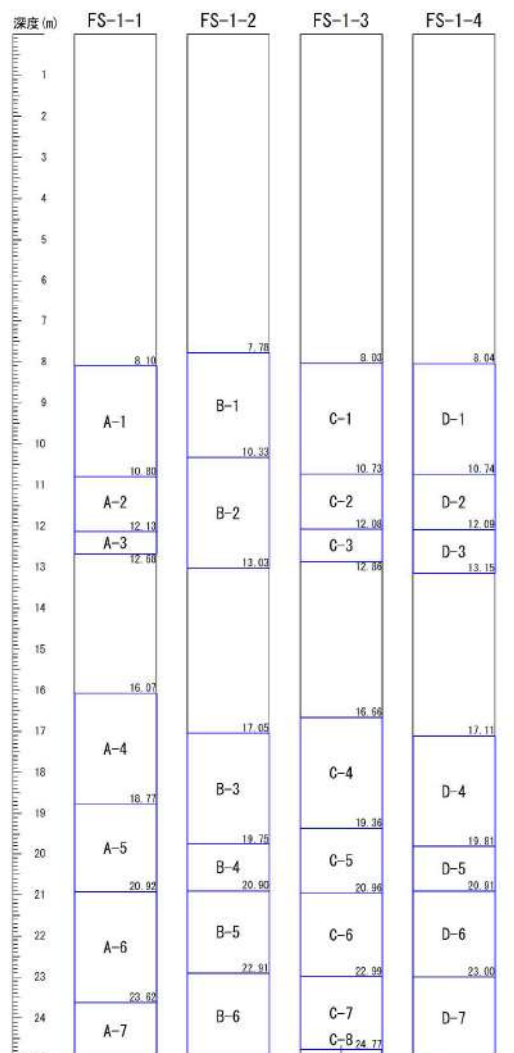
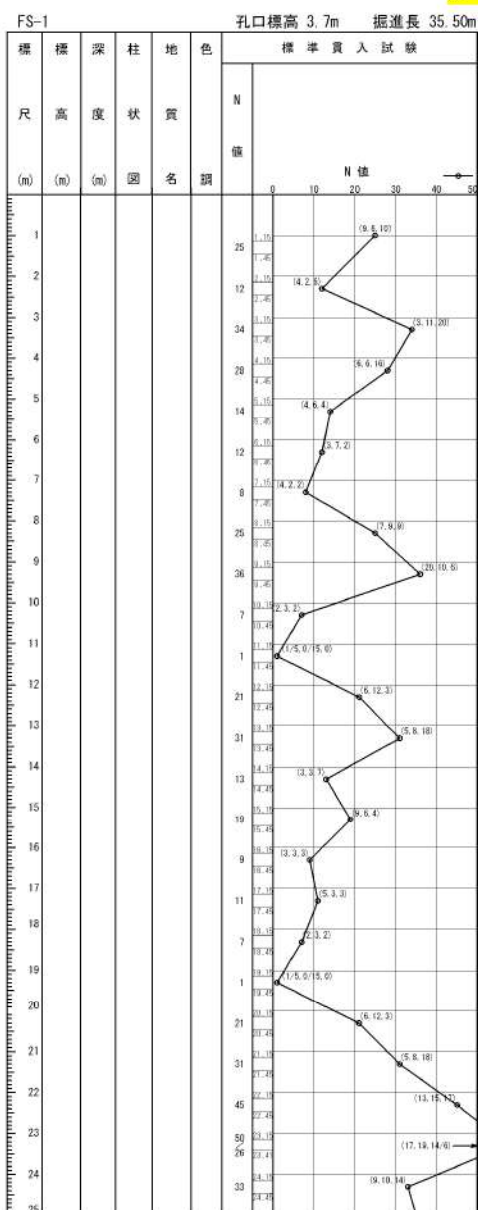
ボーリング平面位置図



添付 1-23 図 ボーリング柱状図・コア写真 (RE-11)

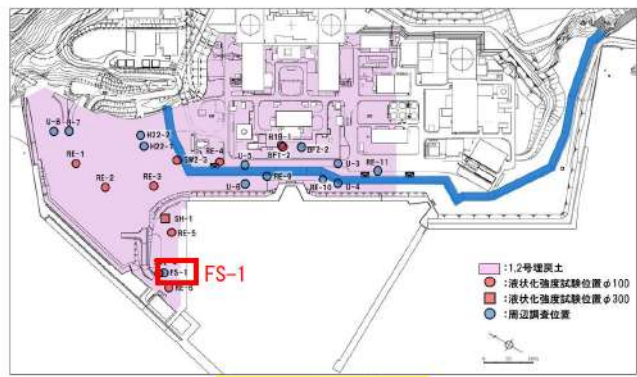


ボーリング平面位置図

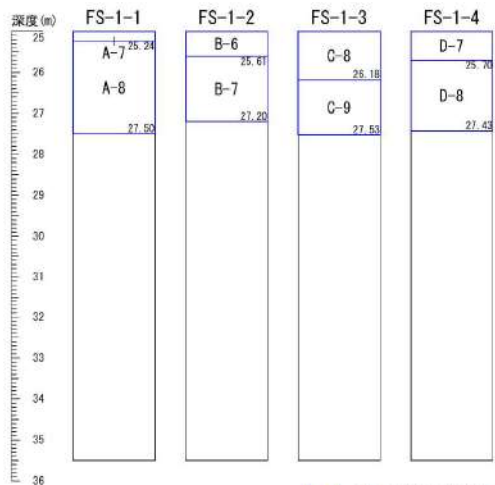
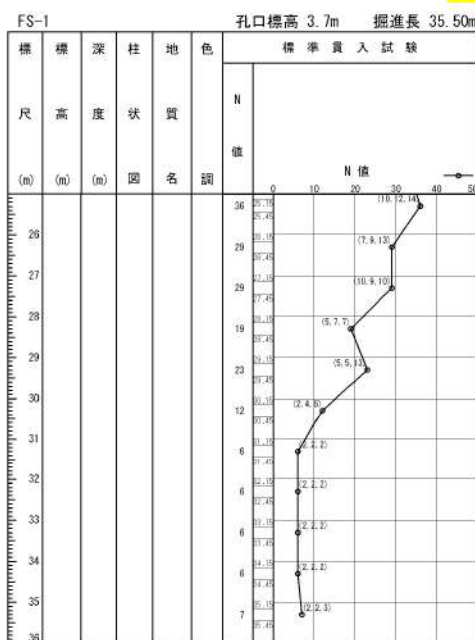


※FS-1 は標準貫入試験のみ実施

添付 1-24 図(1/10) ボーリング柱状図・コア写真 (FS-1)

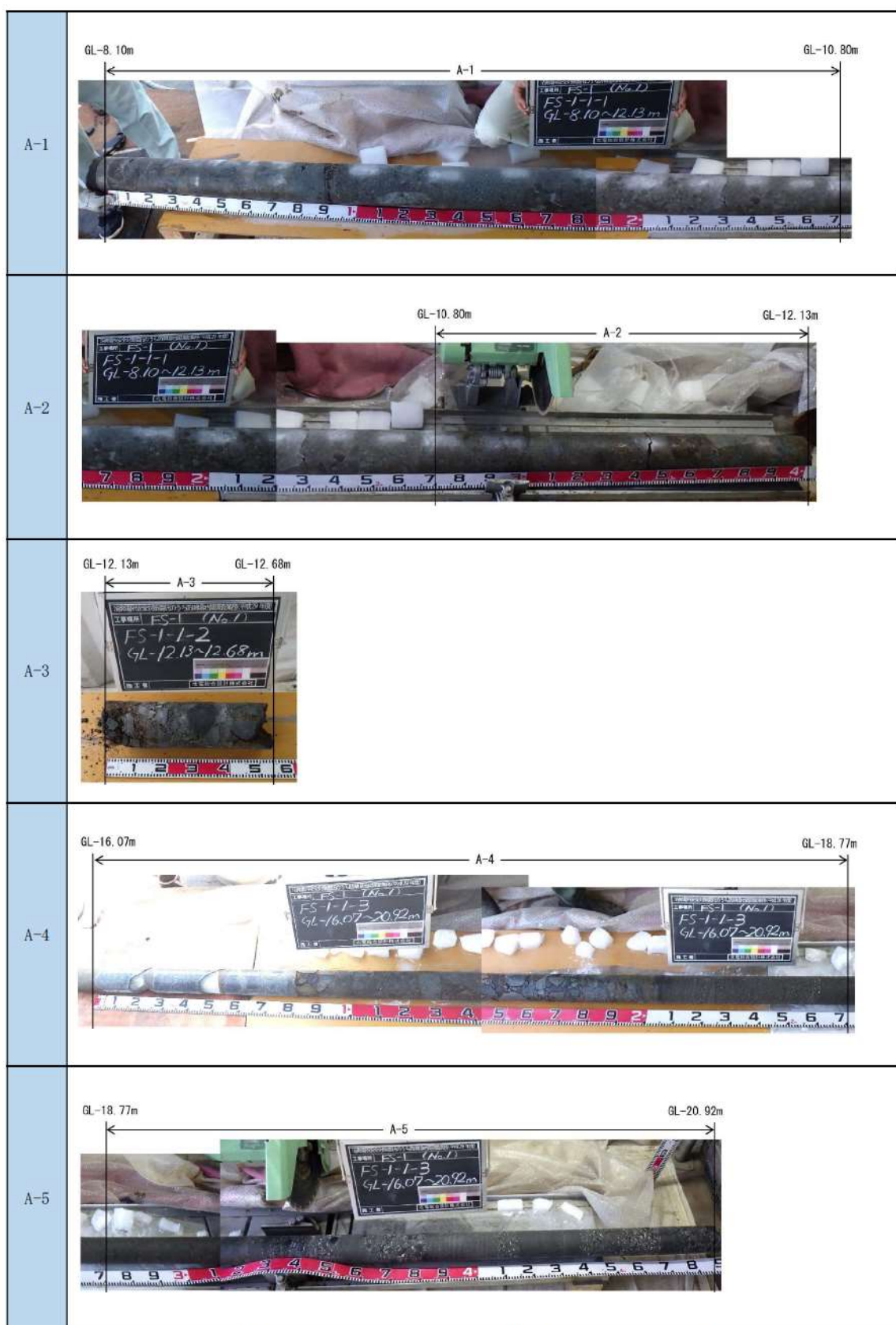


ボーリング平面位置図



※FS-1 は標準貫入試験のみ実施

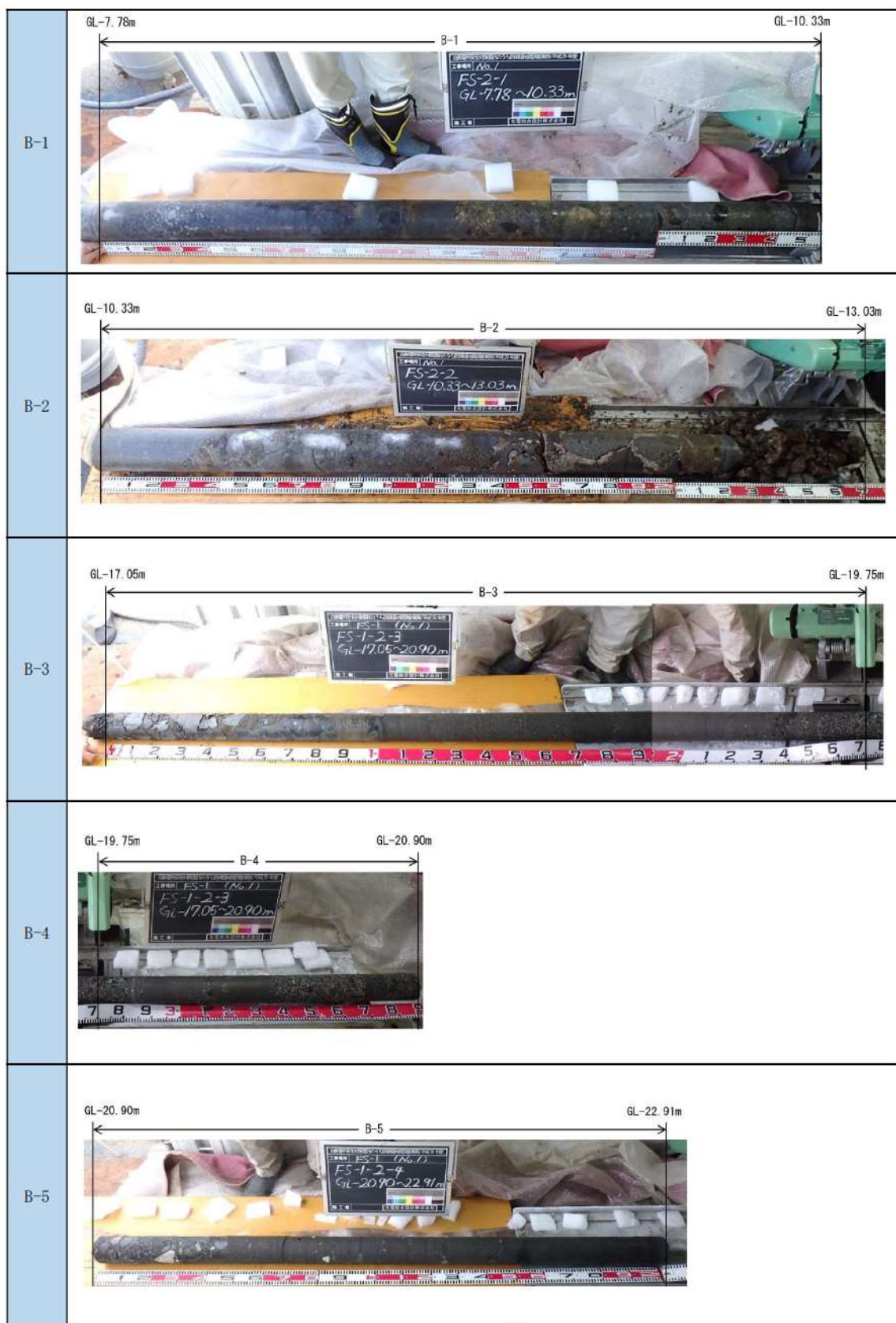
添付 1-24 図(2/10) ボーリング柱状図・コア写真 (FS-1)



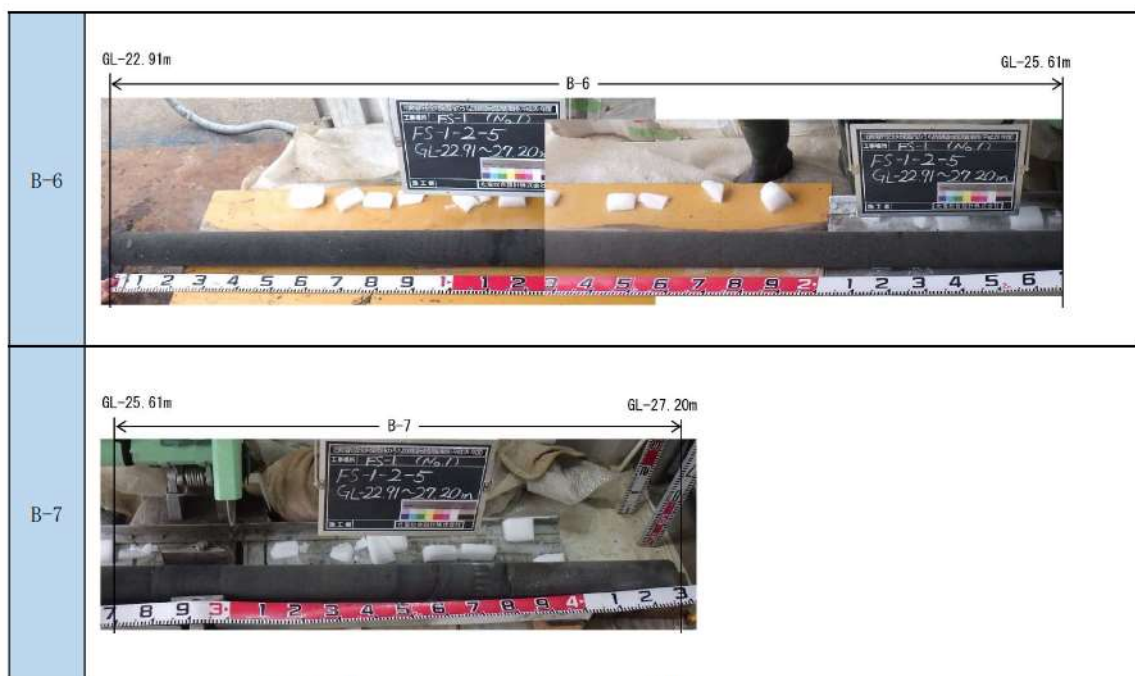
添付 1-24 図(3/10) ポーリング柱状図・コア写真 (FS-1)



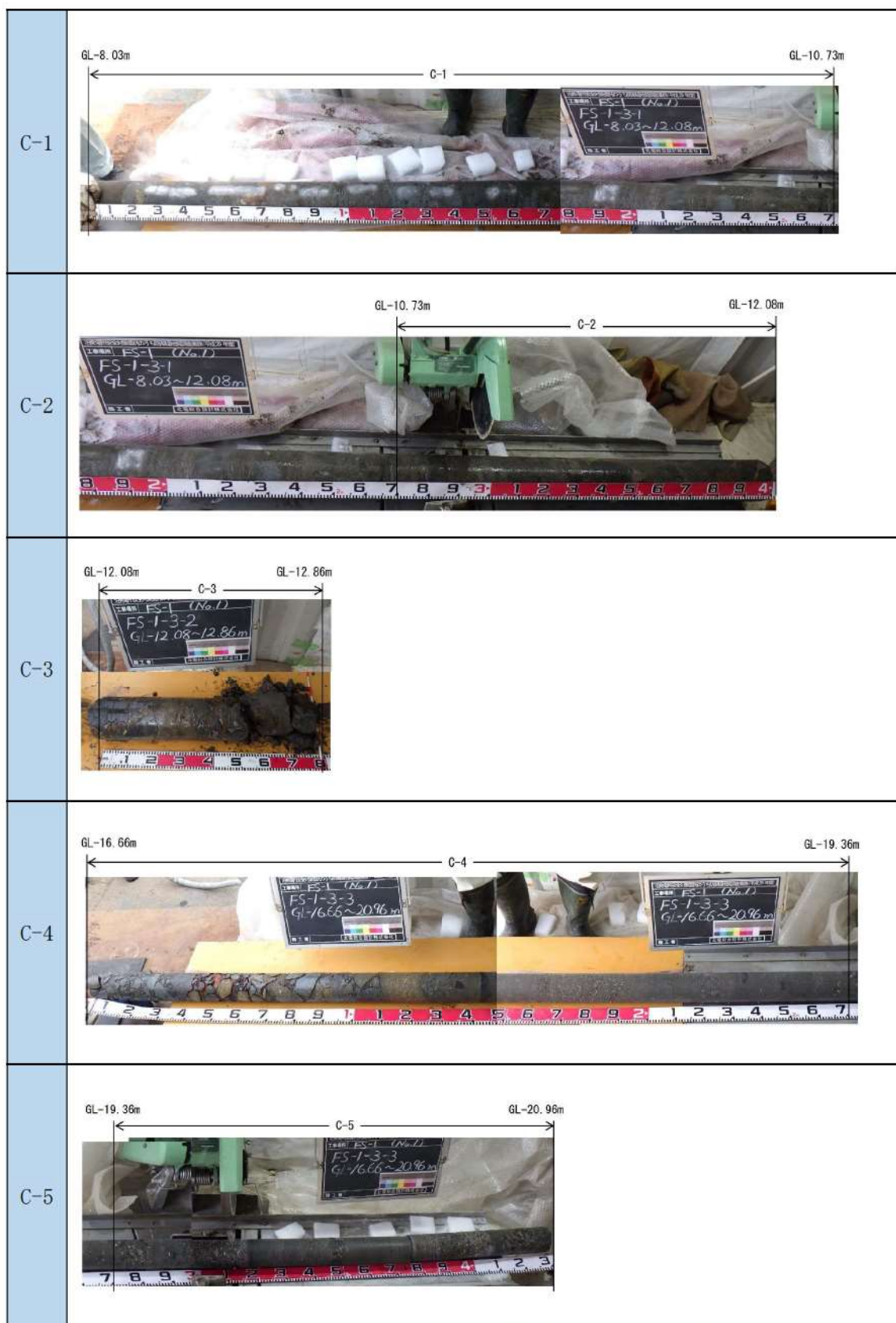
添付 1-24 図(4/10) ポーリング柱状図・コア写真 (FS-1)



添付 1-24 図(5/10) ポーリング柱状図・コア写真 (FS-1)



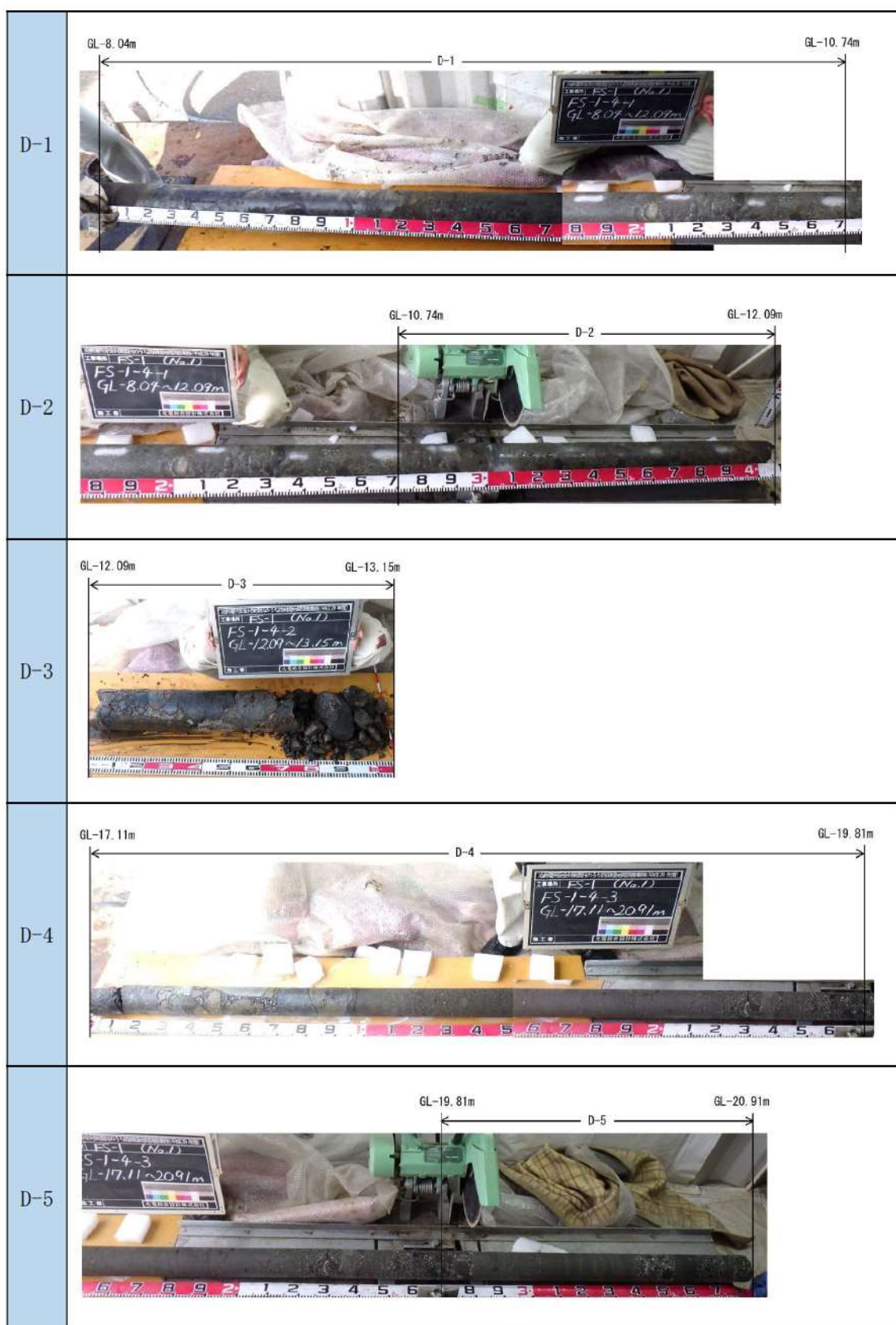
添付 1-24 図(6/10) ポーリング柱状図・コア写真 (FS-1)



添付 1-24 図(7/10) ポーリング柱状図・コア写真 (FS-1)

C-6	<p>GL-20.96m C-6 GL-22.99m</p> 
C-7	<p>GL-22.99m C-7 GL-24.77m</p> 
C-8	<p>GL-24.77m C-8 GL-26.18m</p> 
C-9	<p>GL-26.18m C-9 GL-27.53m</p> 

添付 1-24 図(8/10) ボーリング柱状図・コア写真 (FS-1)



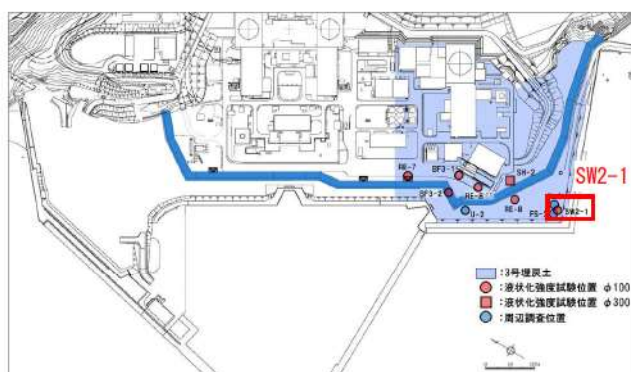
添付 1-24 図(9/10) ポーリング柱状図・コア写真 (FS-1)

D-6	<p>GL-20.91m ← D-6 → GL-23.00m</p>
D-7	<p>GL-23.00m ← D-7 → GL-25.70m</p>
D-8	<p>GL-25.70m ← D-8 → GL-27.43m</p>

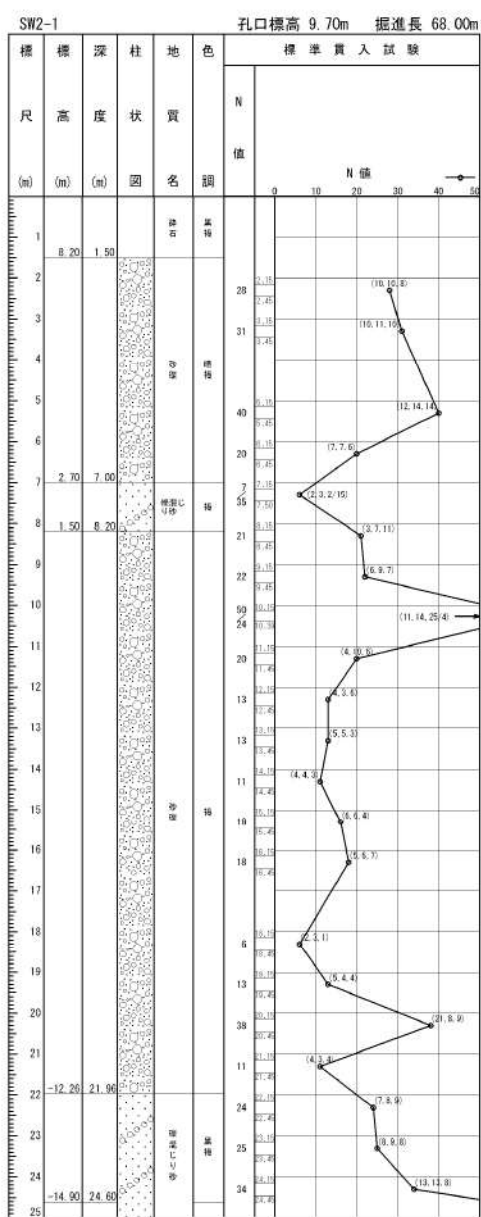
添付 1-24 図(10/10) ポーリング柱状図・コア写真 (FS-1)

1. 埋戻土・砂層のボーリング柱状図・コア写真

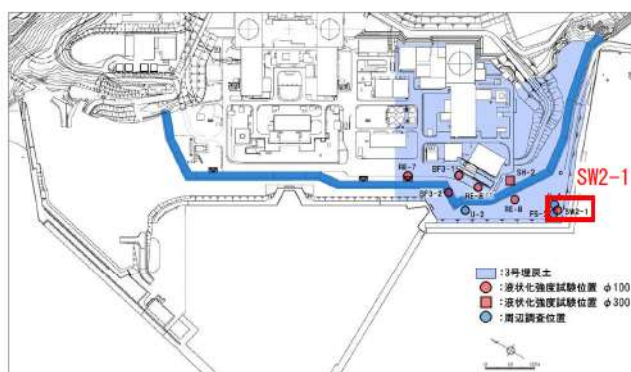
(2) 3号埋戻土のボーリング柱状図・コア写真



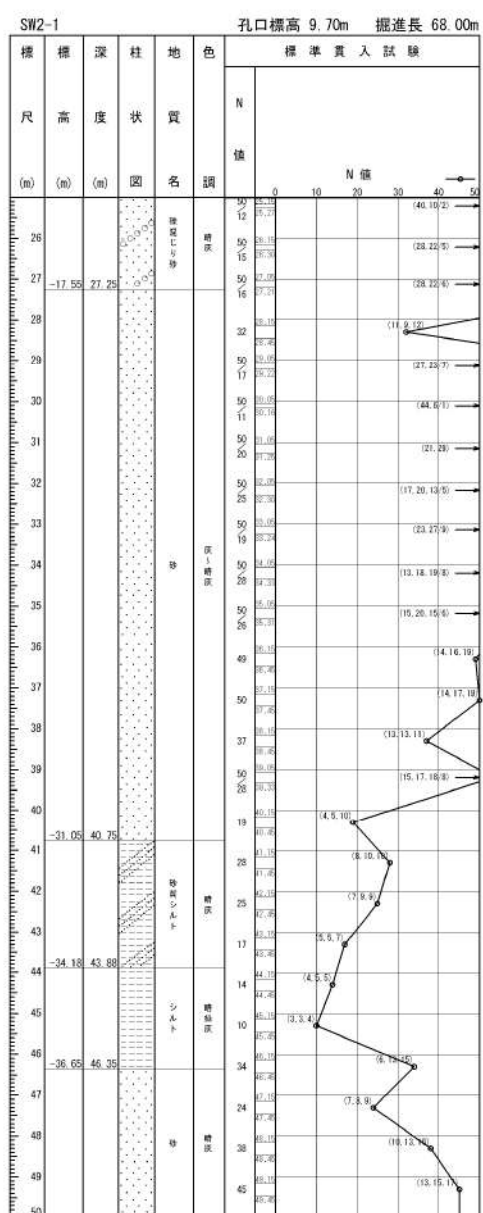
ボーリング平面位置図



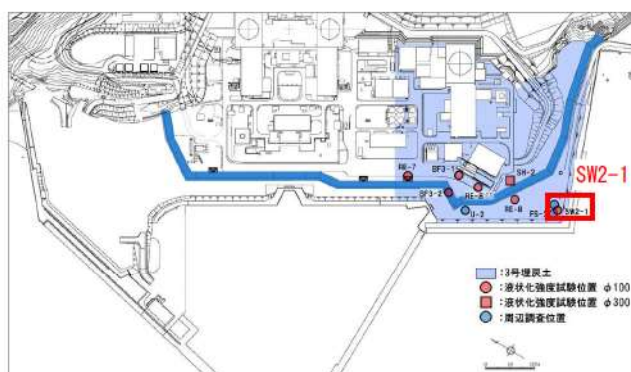
添付 1-25 図(1/3) ボーリング柱状図・コア写真 (SW2-1)



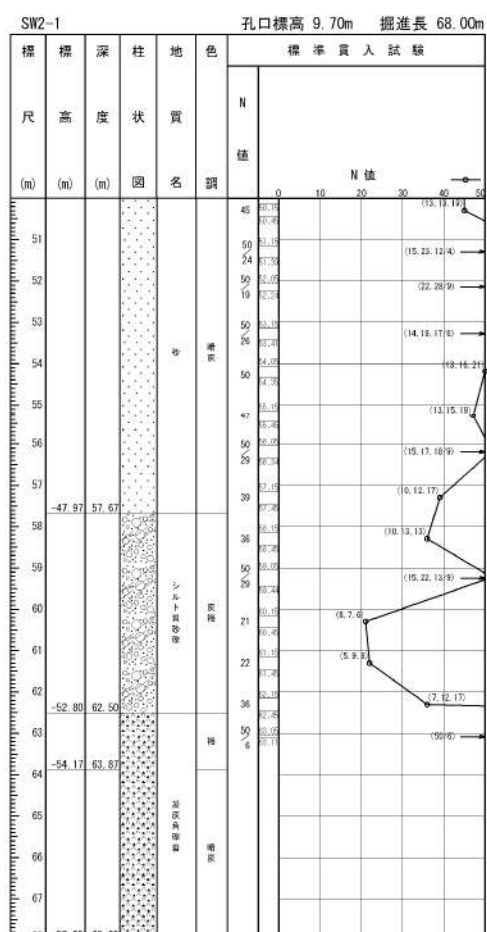
ボーリング平面位置図



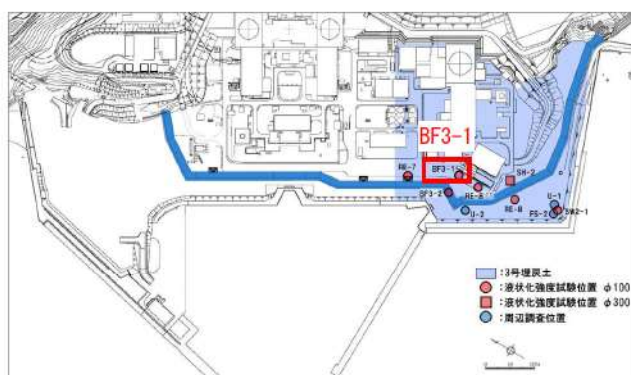
添付 1-25 図(2/3) ボーリング柱状図・コア写真 (SW2-1)



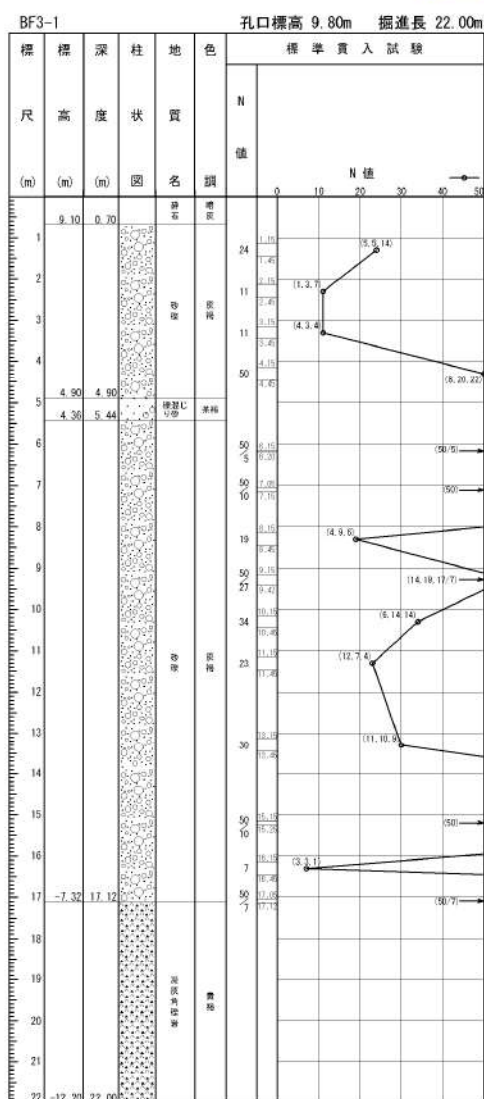
ボーリング平面位置図



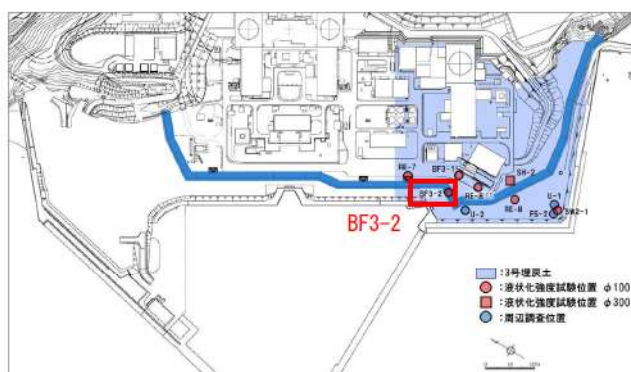
添付 1-25 図(3/3) ボーリング柱状図・コア写真 (SW2-1)



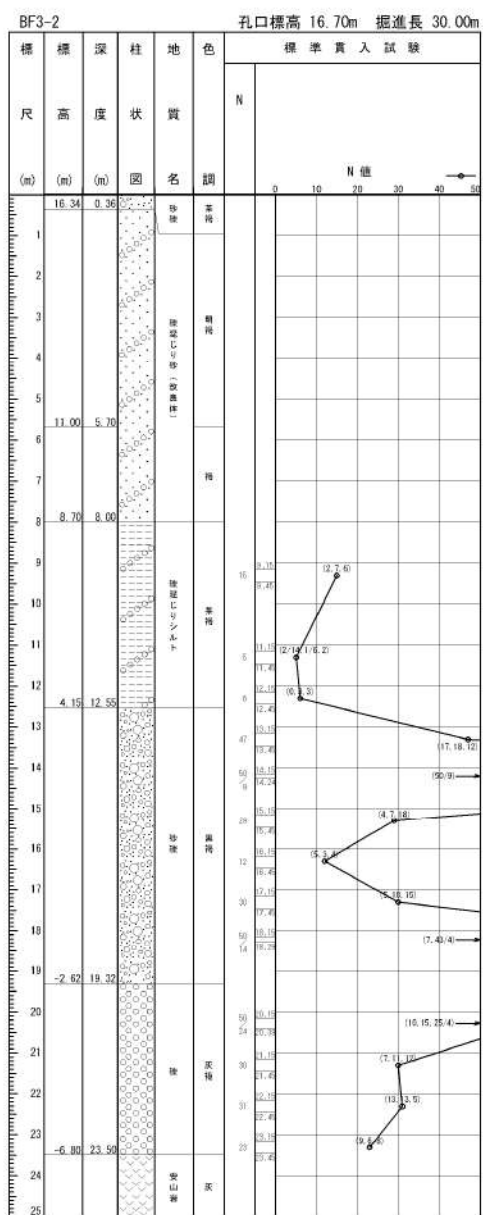
ボーリング平面位置図



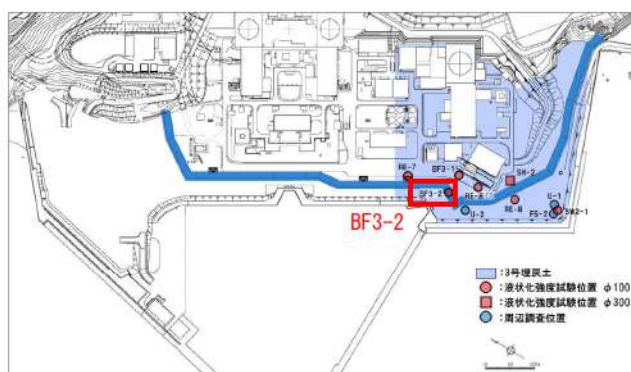
添付 1-26 図 ボーリング柱状図・コア写真 (BF3-1)



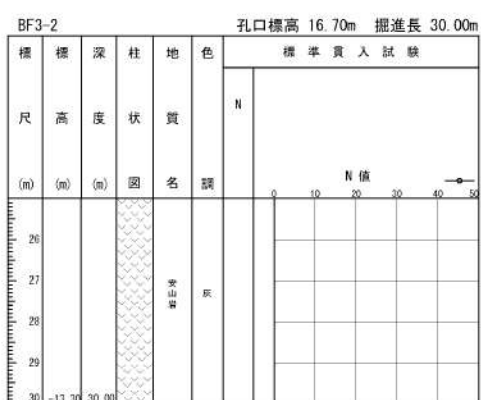
ボーリング平面位置図



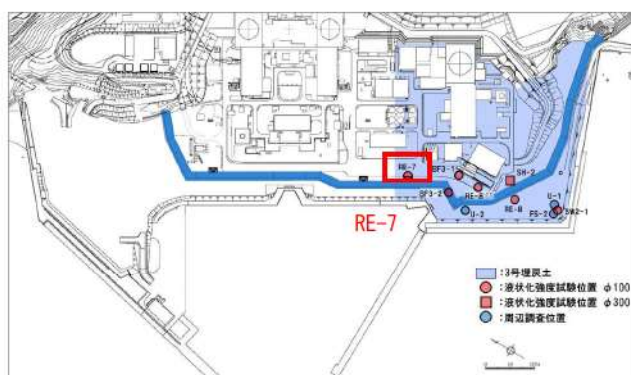
添付 1-27 図(1/2) ボーリング柱状図・コア写真 (BF3-2)



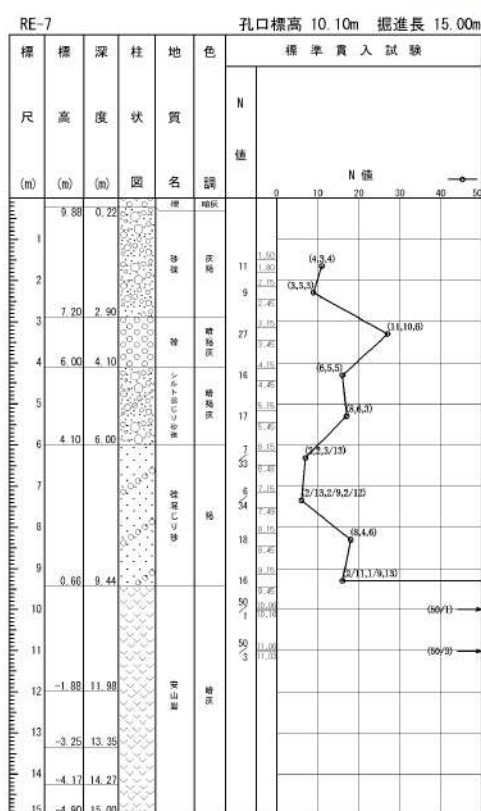
ボーリング平面位置図



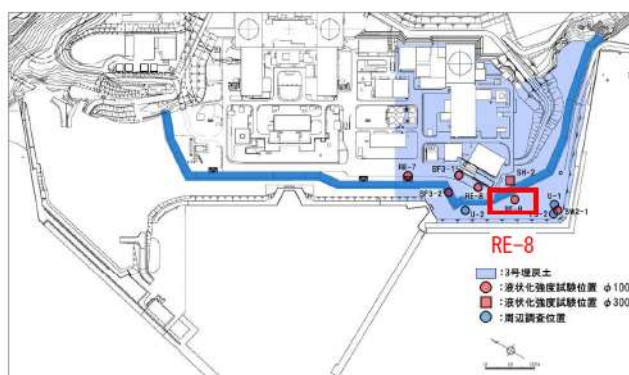
添付 1-27 図(2/2) ボーリング柱状図・コア写真 (BF3-2)



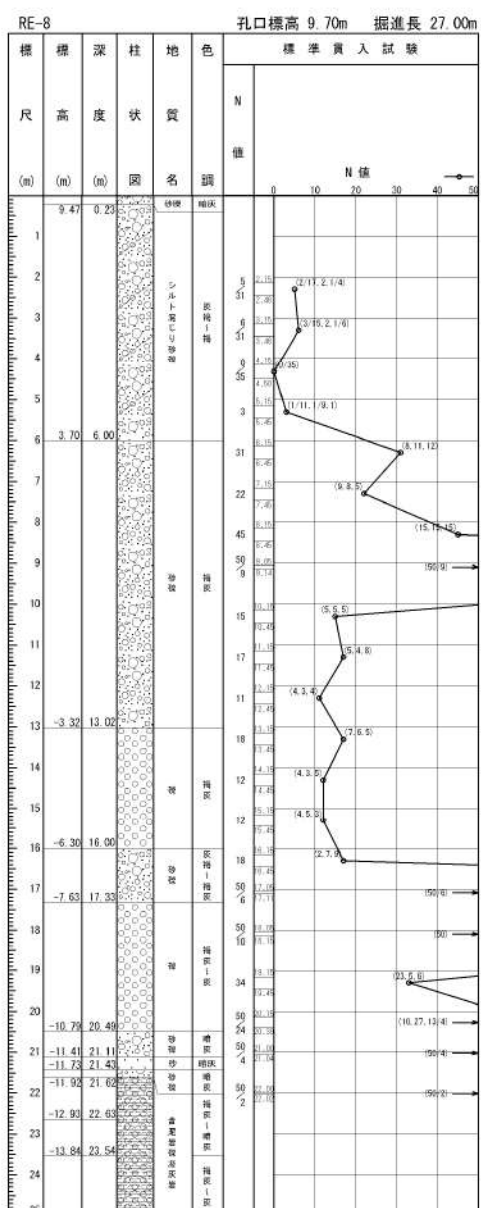
ボーリング平面位置図



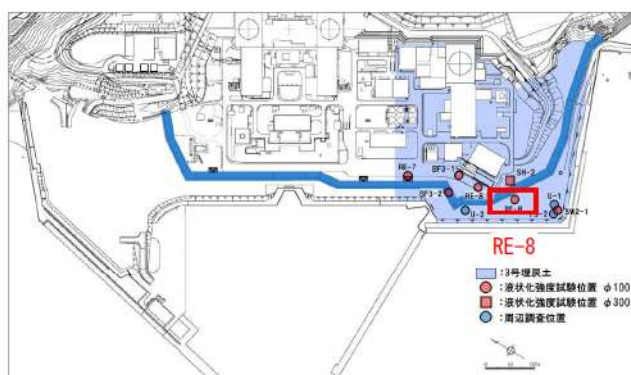
添付 1-28 図 ボーリング柱状図・コア写真 (RE-7)



ボーリング平面位置図



添付 1-29 図(1/2) ボーリング柱状図・コア写真 (RE-8)

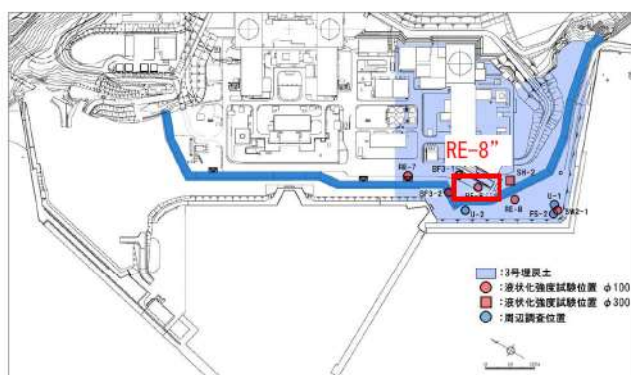


ボーリング平面位置図

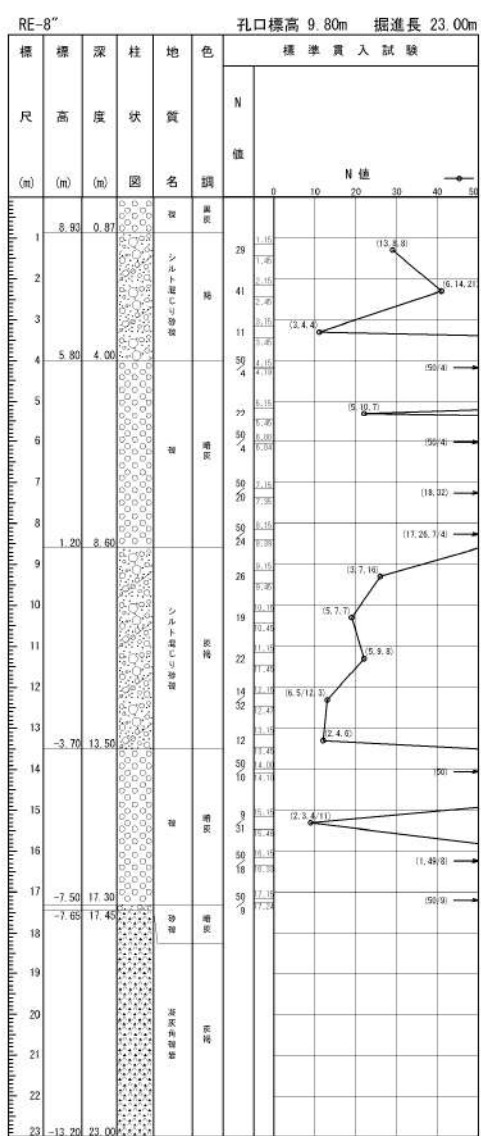
RE-8							孔口標高 9.70m 堀進長 27.00m						
標 尺	標 高	深 度	柱 状 圖	地 質	色 調	名 稱	標準貫入試験						
							N 值	N 値					
(m)	(m)	(m)						0	10	20	30	40	50
26			含 泥 粉 質 泥 質 土 質	褐 灰 土 質									
27	-17.30	27.00											



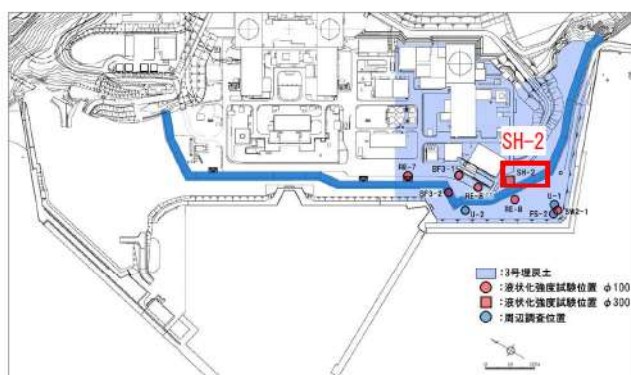
添付 1-29 図(2/2) ボーリング柱状図・コア写真 (RE-8)



ボーリング平面位置図



添付 1-30 図 ボーリング柱状図・コア写真 (RE-8")

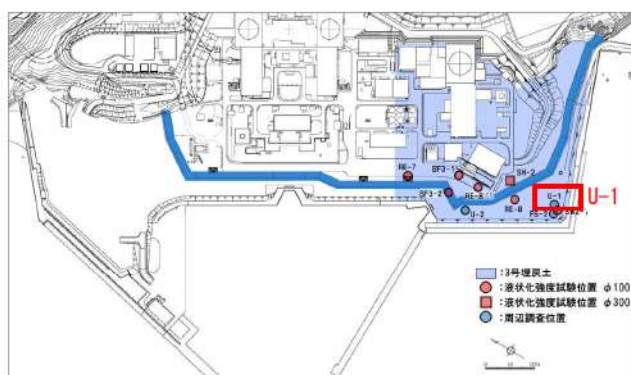


ボーリング平面位置図

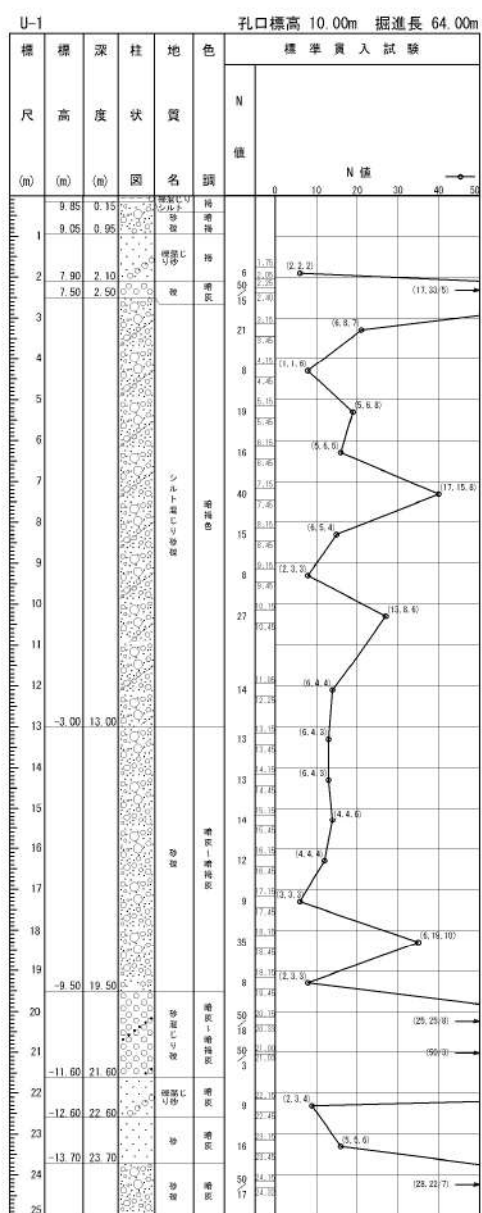
標 尺	標 高	度	柱 状 圖	地 質	色	標準貫入試験	
						N 値	N 値
1	9.70	0.30	砂 質 粘土	灰 色	■	0	10
	9.44	0.50	砂 質 粘土	灰 色	■	16	20
2	8.44	1.50	砂 質 粘土	灰 色	■	47	50
3	6.90	3.10	砂 質 粘土	灰 色	■	50	50
4	5.70	4.30	砂 質 粘土	灰 色	■	9	10
5			砂 質 粘土	灰 色	■	41	45
6			砂 質 粘土	灰 色	■	50	50
7			砂 質 粘土	灰 色	■	21	25
8			砂 質 粘土	灰 色	■	19	25
9			砂 質 粘土	灰 色	■	35	40
10			砂 質 粘土	灰 色	■	50	50
11	-1.50	11.50	砂 質 粘土	灰 色	■	16	20
12			砂 質 粘土	灰 色	■	18	25
13	-3.12	13.12	砂 質 粘土	灰 色	■	12	15
14			砂 質 粘土	灰 色	■	10	15
15			砂 質 粘土	灰 色	■	10	15
16			砂 質 粘土	灰 色	■	51	55
17	-6.80	10.80	砂 質 粘土	灰 色	■	21	25
18			砂 質 粘土	灰 色	■	13	15
19	-9.20	19.20	砂 質 粘土	灰 色	■	13	15
	-9.30	19.30	砂 質 粘土	灰 色	■	50	55
20			砂 質 粘土	灰 色	■	8	10
21			砂 質 粘土	灰 色	■		
22			砂 質 粘土	灰 色	■		
23			砂 質 粘土	灰 色	■		
24			砂 質 粘土	灰 色	■		
25	-14.72	24.72	砂 質 粘土	灰 色	■		
	-15.00	25.00	砂 質 粘土	灰 色	■		



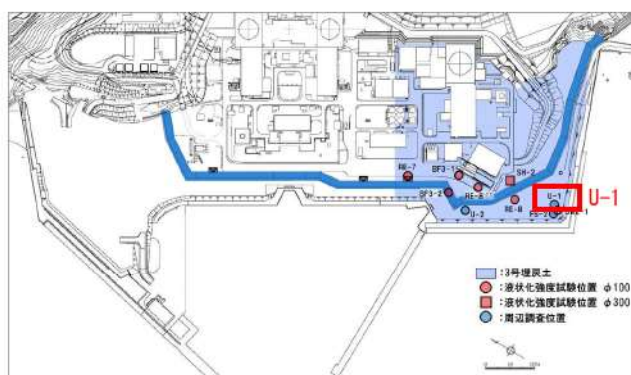
添付 1-31 図 ボーリング柱状図・コア写真 (SH-2)



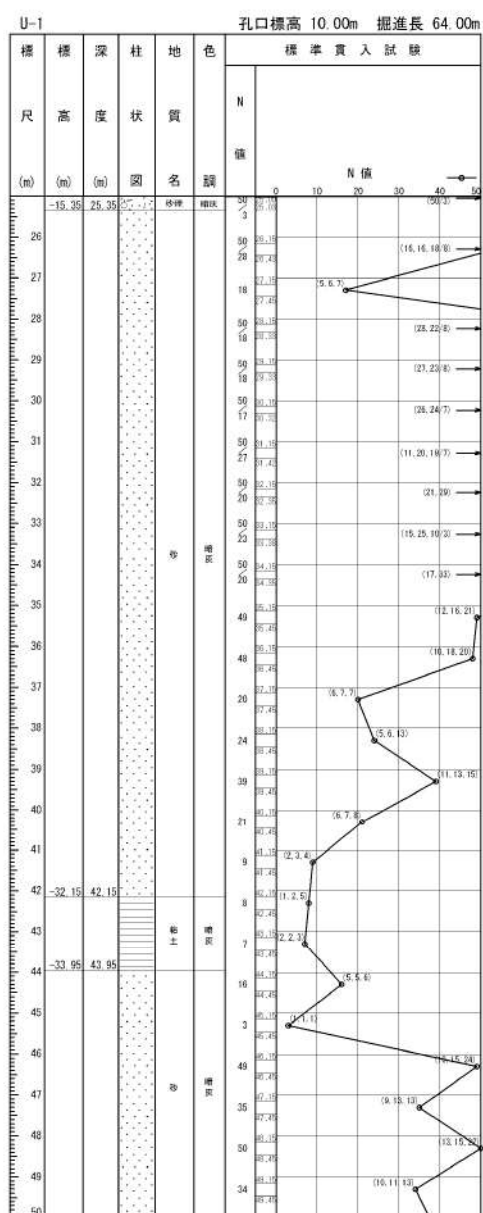
ボーリング平面位置図



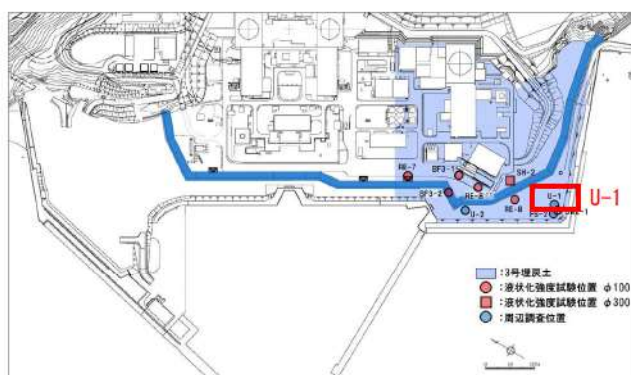
添付 1-32 図(1/3) ボーリング柱状図・コア写真 (U-1)



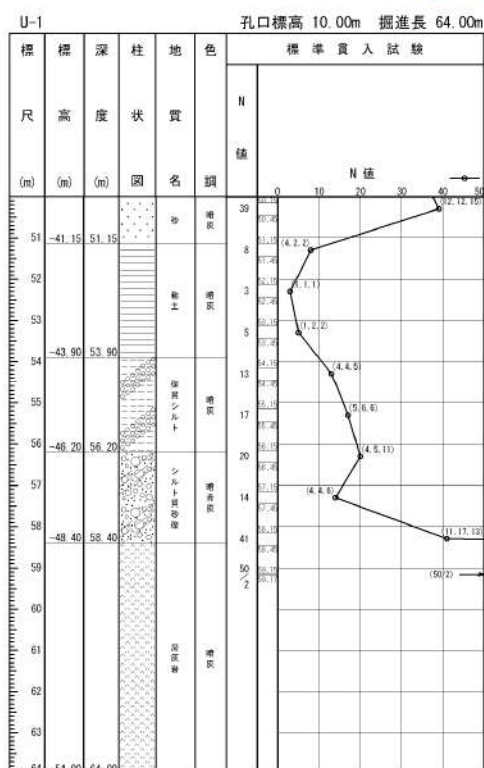
ボーリング平面位置図



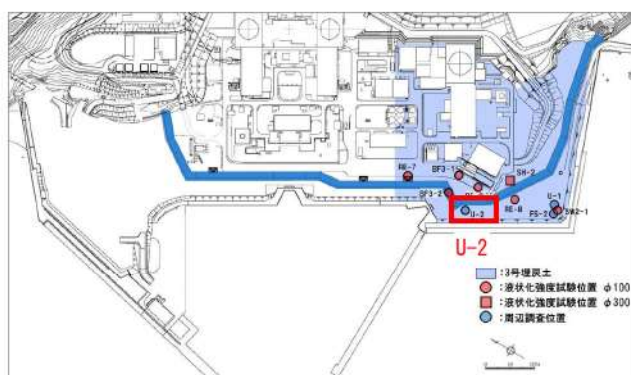
添付 1-32 図(2/3) ボーリング柱状図・コア写真 (U-1)



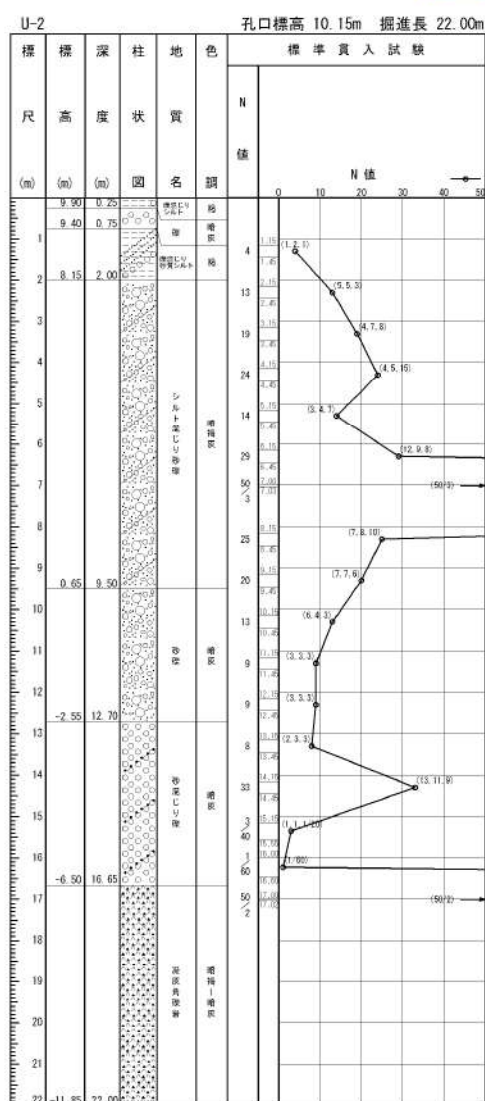
ボーリング平面位置図



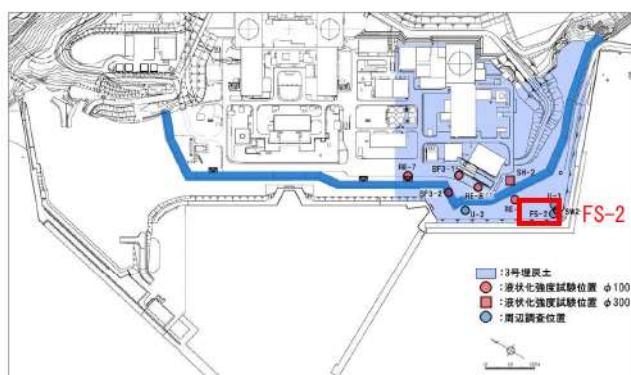
添付 1-32 図(3/3) ボーリング柱状図・コア写真 (U-1)



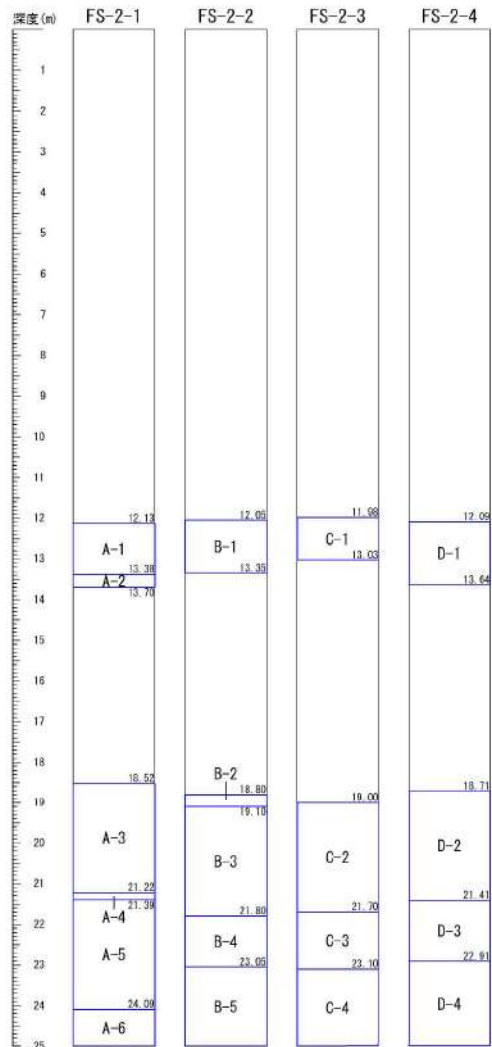
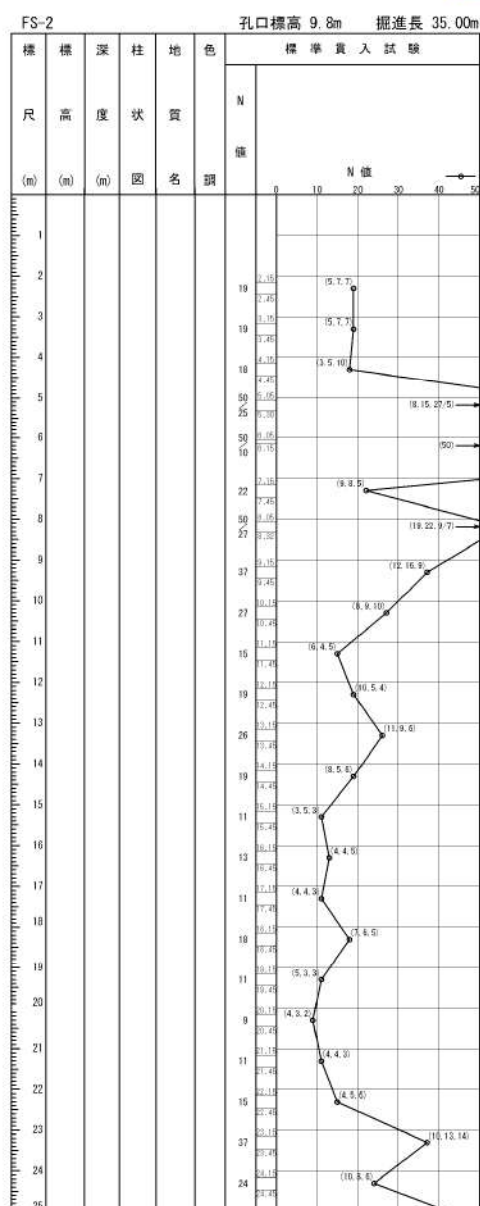
ボーリング平面位置図



添付 1-33 図 ボーリング柱状図・コア写真 (U-2)

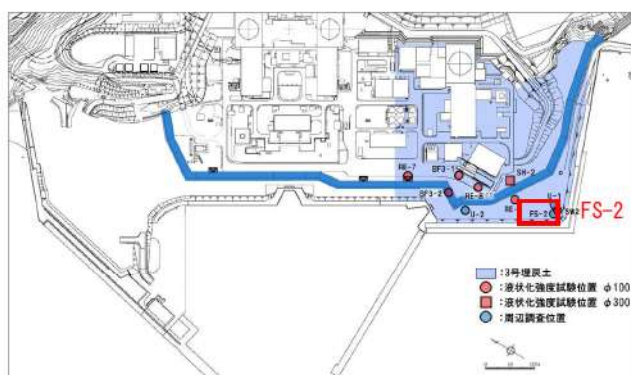


ボーリング平面位置図

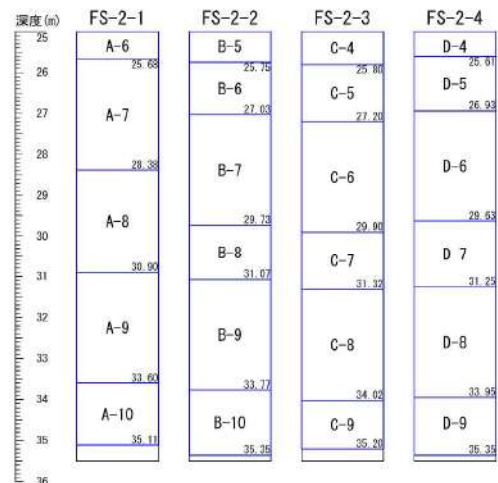
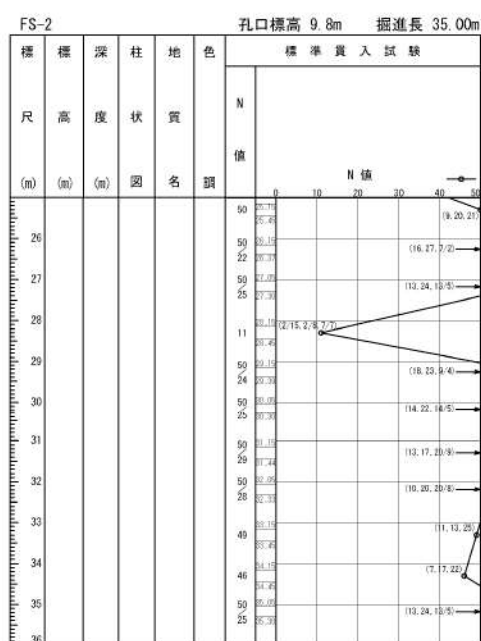


※FS-2 は標準貫入試験のみ実施

添付 1-34 図(1/10) ボーリング柱状図・コア写真 (FS-2)



ボーリング平面位置図



※FS-2 は標準貫入試験のみ実施

□ : サンプリング位置

添付 1-34 図(2/10) ボーリング柱状図・コア写真 (FS-2)

A-1	<p>GL-12.13m A-1 GL-13.38m</p>
A-2	<p>GL-13.38m A-2 GL-13.70m</p>
A-3	<p>GL-18.52m A-3 GL-21.22m</p>
A-4	<p>GL-21.22m A-4 GL-21.39m</p>
A-5	<p>GL-21.39m A-5 GL-24.09m</p>

添付 1-34 図(3/10) ボーリング柱状図・コア写真 (FS-2)

A-6	<p>GL-24.09m GL-25.68m A-6</p>
A-7	<p>GL-25.68m GL-28.38m A-7</p>
A-8	<p>GL-28.38m GL-30.90m A-8</p>
A-9	<p>GL-30.90m GL-33.60m A-9</p>
A-10	<p>GL-33.60m GL-35.11m A-10</p>

添付 1-34 図(4/10) ボーリング柱状図・コア写真 (FS-2)

B-1	<p>GL-12.05m GL-13.35m B-1</p> <p>FS 2-2-1 GL-12.05~13.35m</p>
B-2	<p>GL-18.80m GL-19.10m B-2</p> <p>FS 2-2 GL-18.80~19.10m</p>
B-3	<p>GL-19.10m GL-21.80m B-3</p> <p>FS 2-2-3 GL-19.10~21.80m</p>
B-4	<p>GL-21.80m GL-23.05m B-4</p> <p>FS 2-2-3 GL-21.80~23.05m</p>
B-5	<p>GL-23.05m GL-25.75m B-5</p> <p>FS 2-2-4 GL-23.05~25.75m</p>

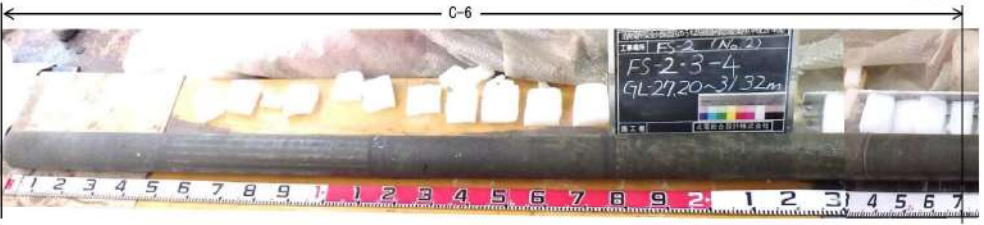
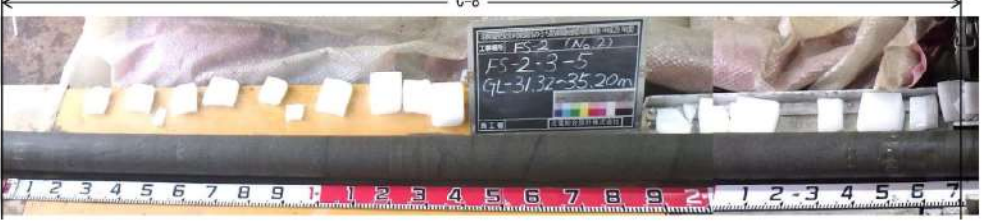
添付 1-34 図(5/10) ボーリング柱状図・コア写真 (FS-2)

B-6	 GL-25.75m GL-27.03m B-6
B-7	 GL-27.03m GL-29.73m B-7
B-8	 GL-29.73m GL-31.07m B-8
B-9	 GL-31.07m GL-33.77m B-9
B-10	 GL-33.77m GL-35.35m B-10

添付 1-34 図(6/10) ポーリング柱状図・コア写真 (FS-2)

C-1	GL-11. 98m C-1 	GL-13. 03m
C-2	GL-19. 00m C-2 	GL-21. 70m
C-3	GL-21. 70m C-3 	GL-23. 10m
C-4	GL-23. 10m C-4 	GL-25. 80m
C-5	GL-25. 80m C-5 	GL-27. 20m

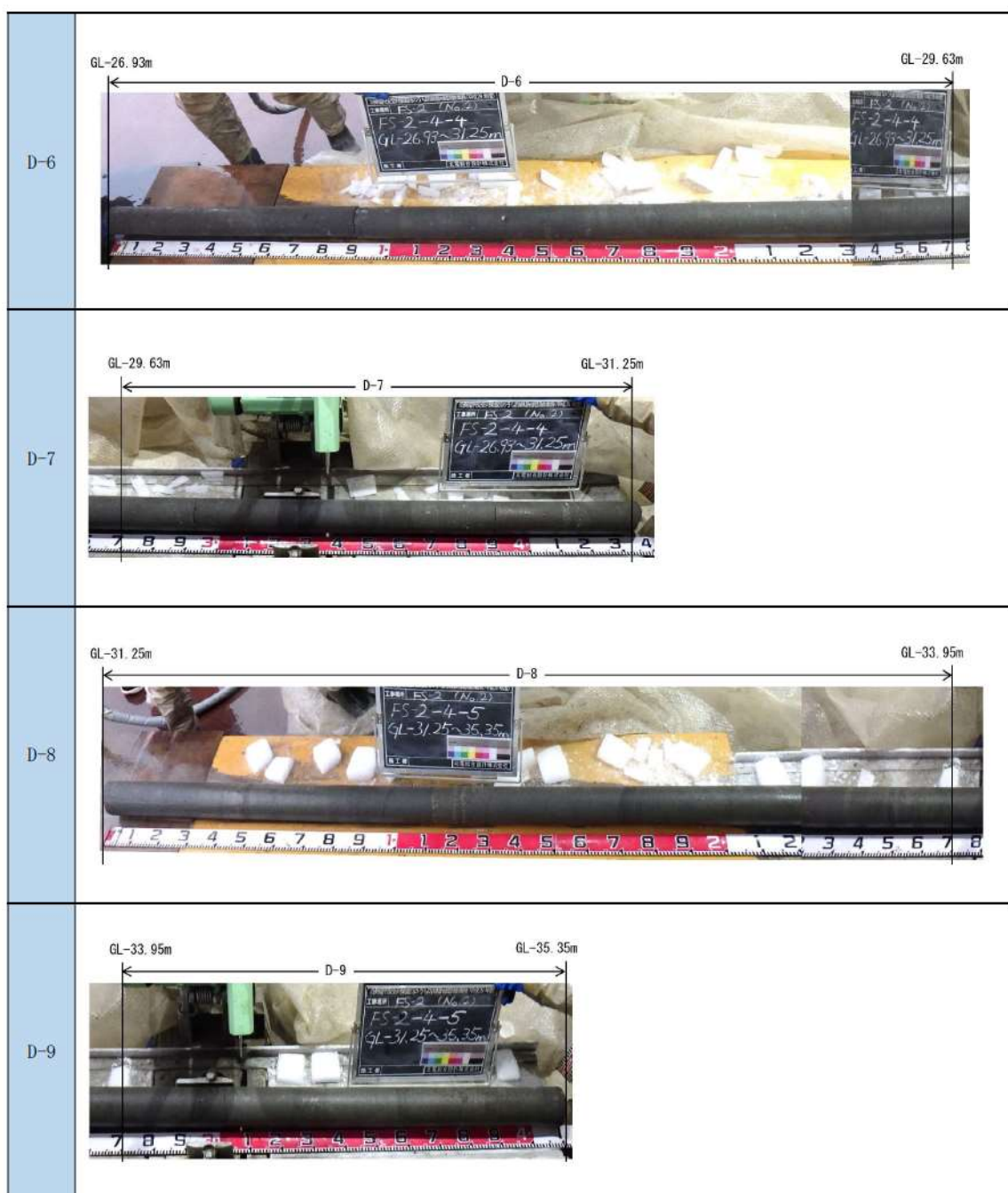
添付 1-34 図(7/10) ボーリング柱状図・コア写真 (FS-2)

C-6	GL-27.20m C-6 	GL-29.90m
C-7	GL-29.90m C-7 	GL-31.32m
C-8	GL-31.32m C-8 	GL-34.02m
C-9	GL-34.02m C-9 	GL-35.20m

添付 1-34 図(8/10) ポーリング柱状図・コア写真 (FS-2)

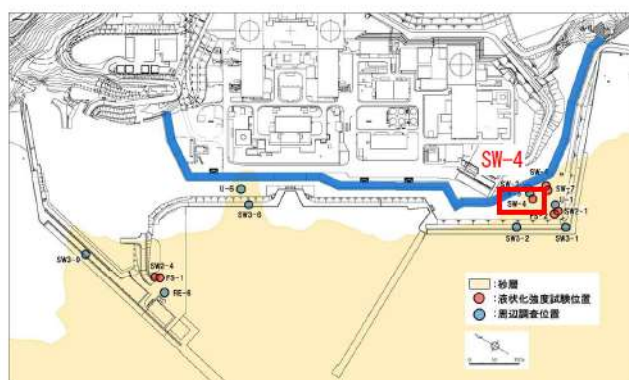
D-1	<p>GL-12.09m D-1 GL-13.64m</p>
D-2	<p>GL-18.71m D-2 GL-21.41m</p>
D-3	<p>GL-21.41m D-3 GL-22.91m</p>
D-4	<p>GL-22.91m D-4 GL-25.61m</p>
D-5	<p>GL-25.61m D-5 GL-26.93m</p>

添付 1-34 図(9/10) ボーリング柱状図・コア写真 (FS-2)

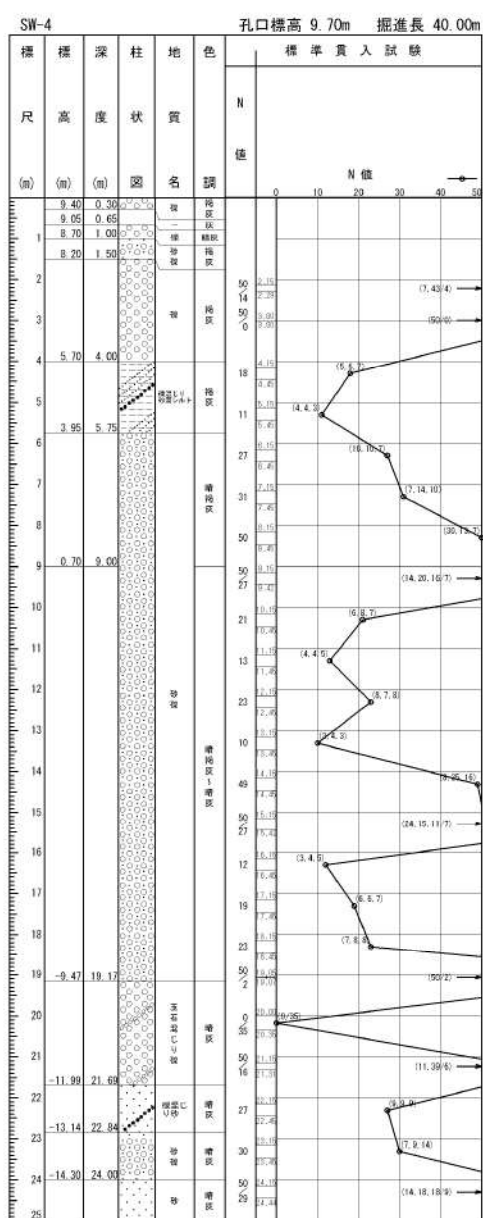


添付 1-34 図(10/10) ポーリング柱状図・コア写真 (FS-2)

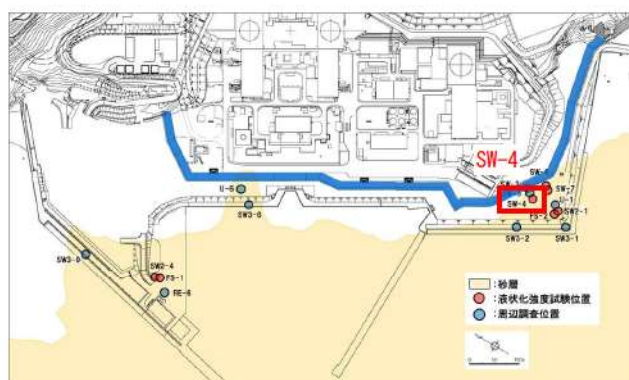
1. 埋戻土・砂層のボーリング柱状図・コア写真
(3) As1 層のボーリング柱状図・コア写真



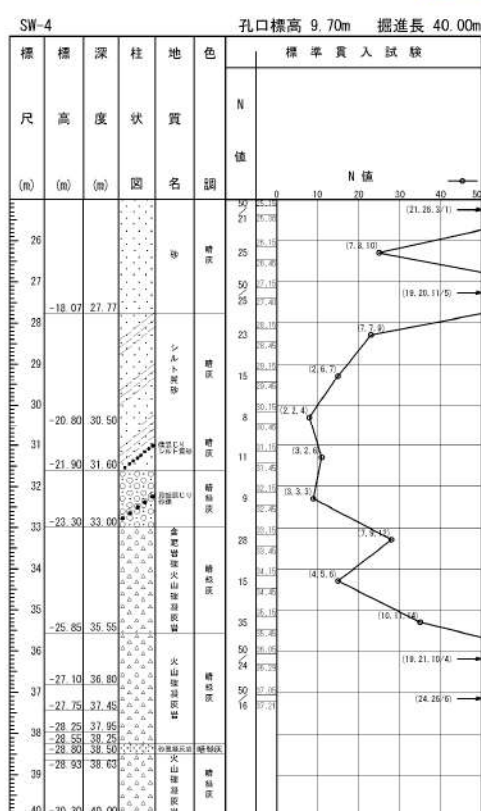
ボーリング平面位置図



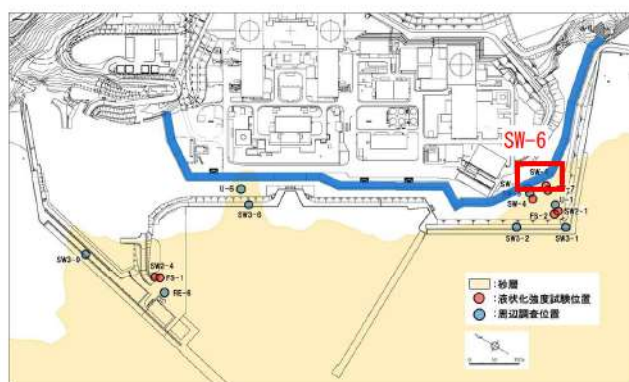
添付 1-35 図(1/2) ボーリング柱状図・コア写真 (SW-4)



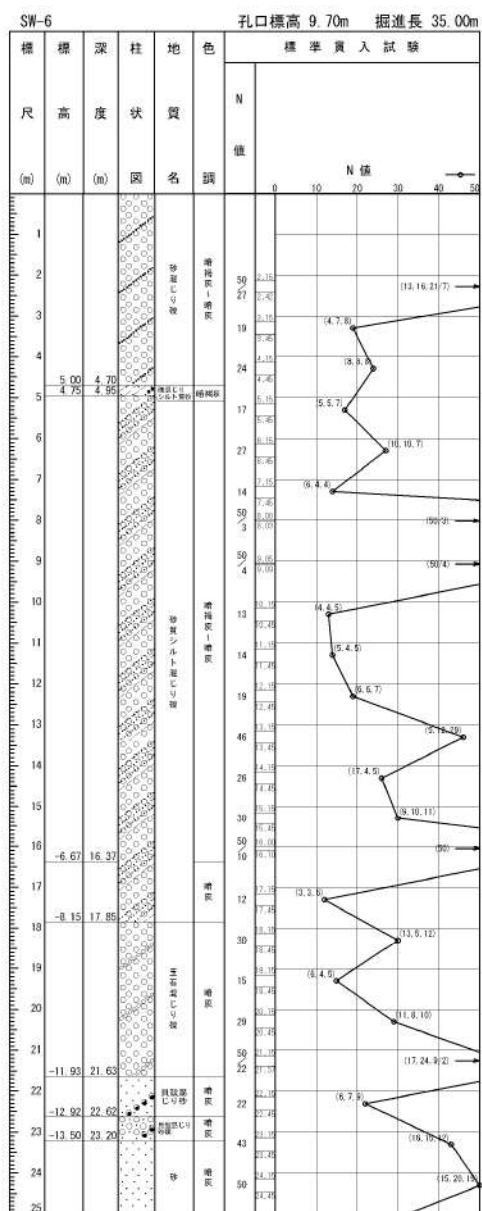
ボーリング平面位置図



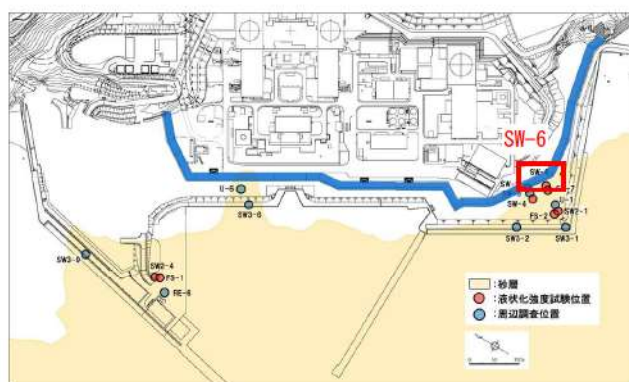
添付 1-35 図(2/2) ボーリング柱状図・コア写真 (SW-4)



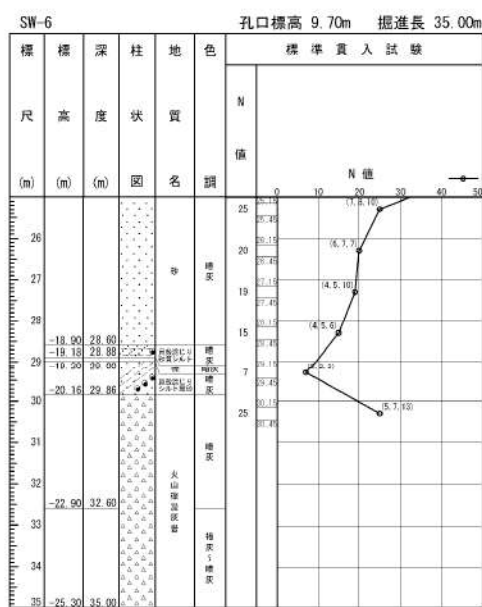
ボーリング平面位置図



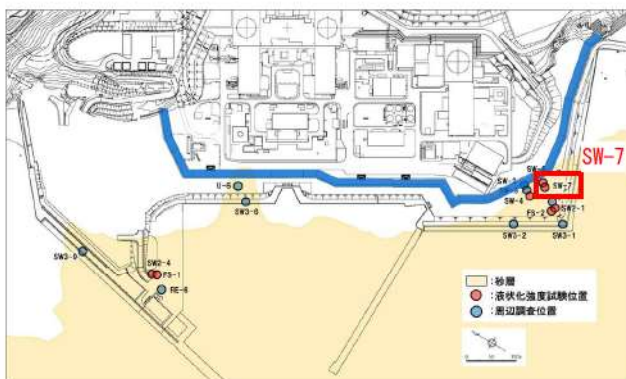
添付 1-36 図(1/2) ボーリング柱状図・コア写真 (SW-6)



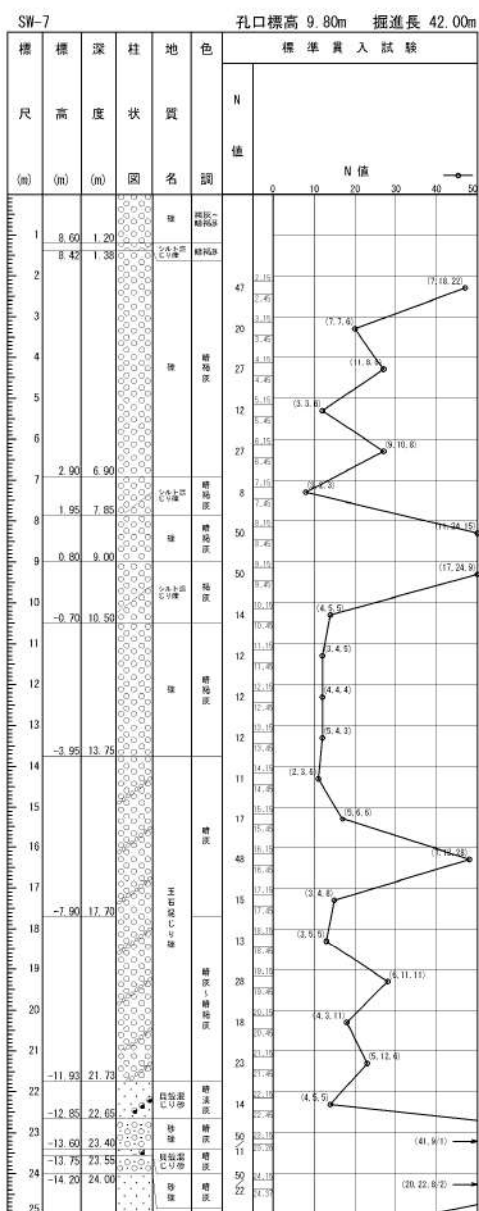
ボーリング平面位置図



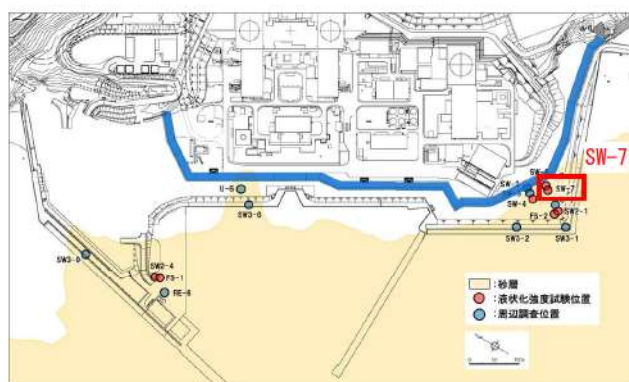
添付 1-36 図 (2/2) ボーリング柱状図・コア写真 (SW-6)



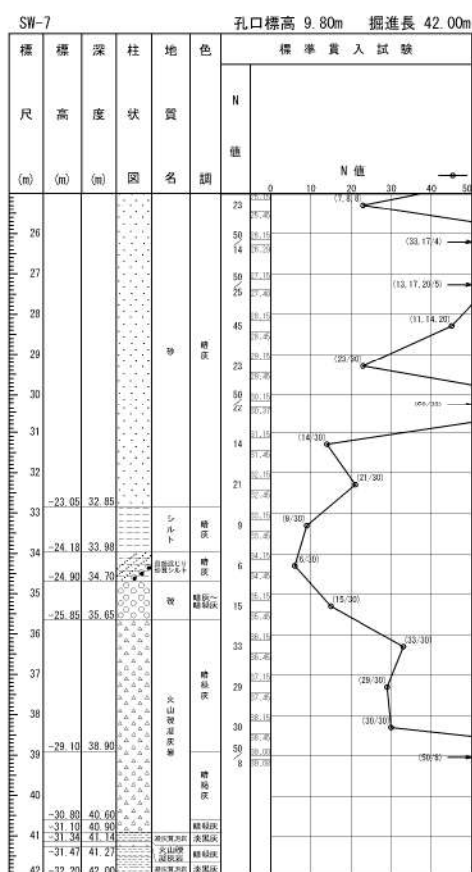
ボーリング平面位置図



添付 1-37 図(1/2) ボーリング柱状図・コア写真 (SW-7)



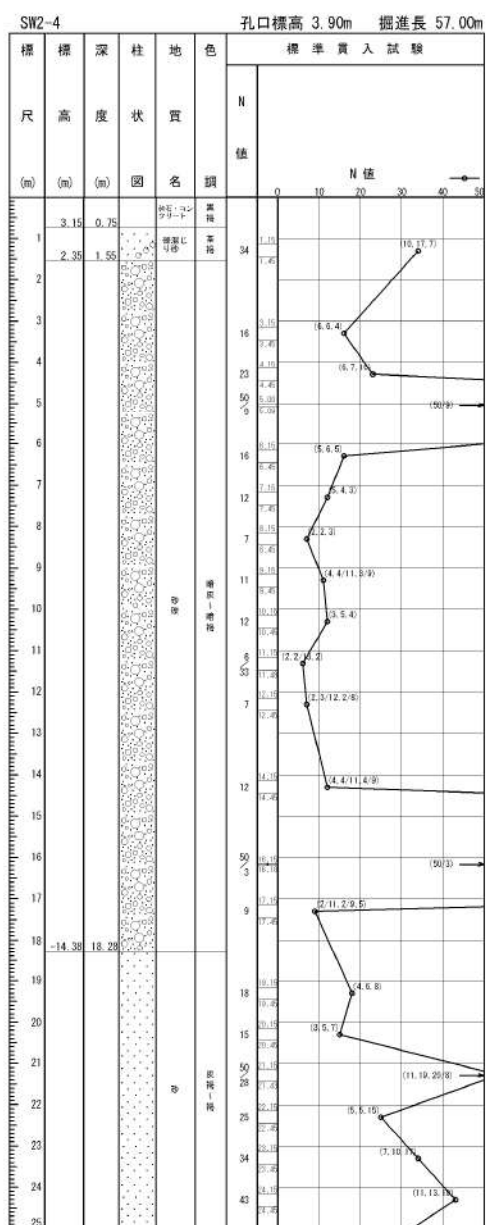
ボーリング平面位置図



添付 1-37 図(2/2) ボーリング柱状図・コア写真 (SW-7)



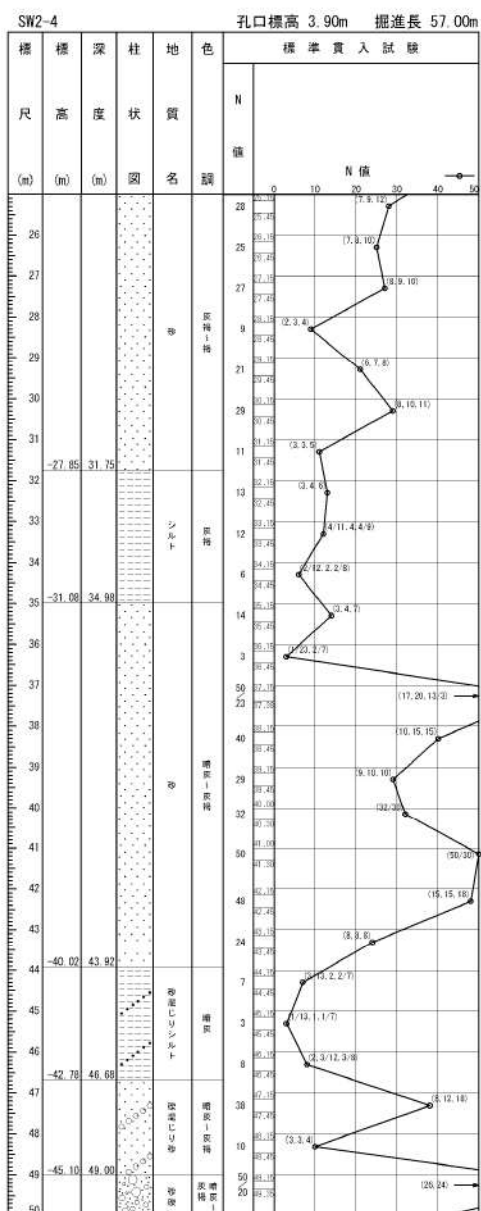
ボーリング平面位置図



添付 1-38 図(1/3) ボーリング柱状図・コア写真 (SW2-4)



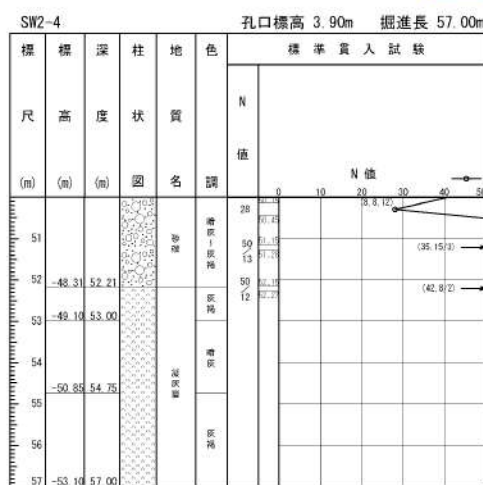
ボーリング平面位置図



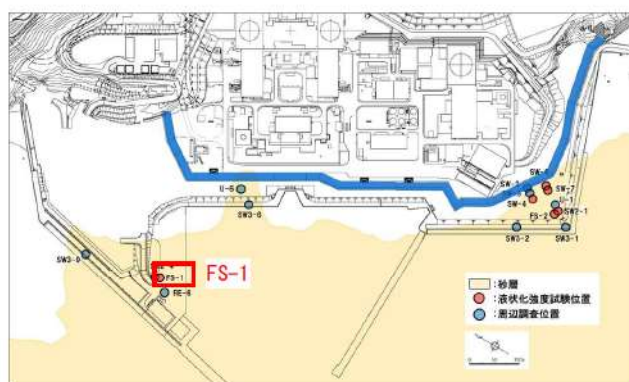
添付 1-38 図(2/3) ボーリング柱状図・コア写真 (SW2-4)



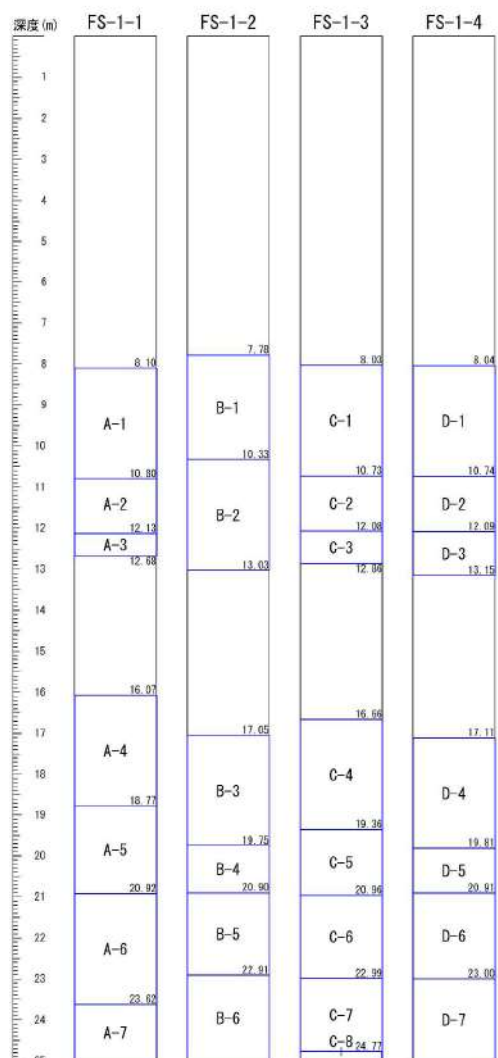
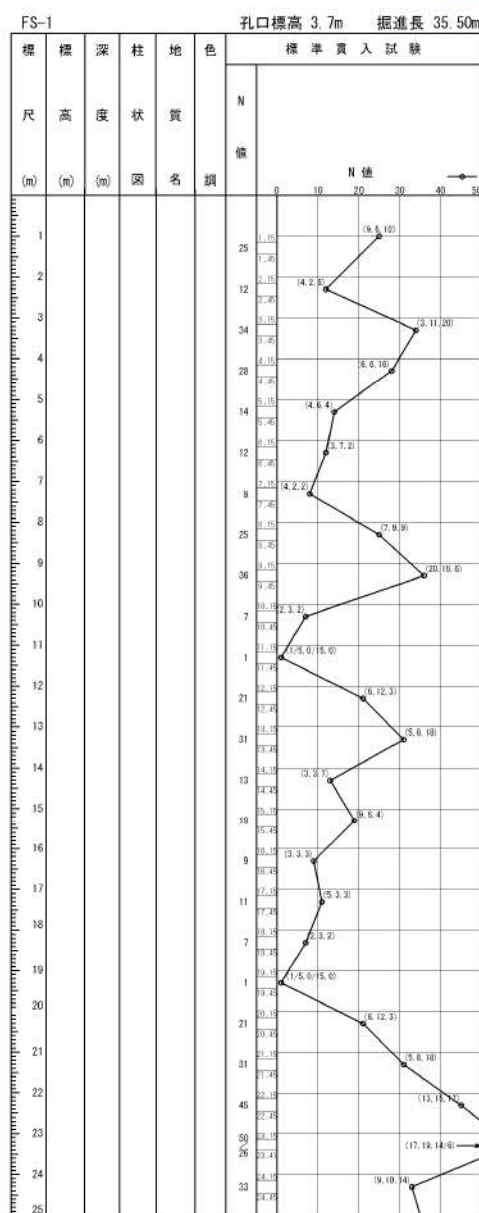
ボーリング平面位置図



添付 1-38 図(3/3) ボーリング柱状図・コア写真 (SW2-4)



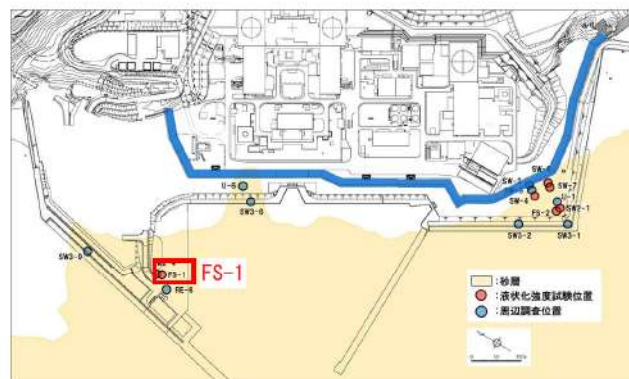
ボーリング平面位置図



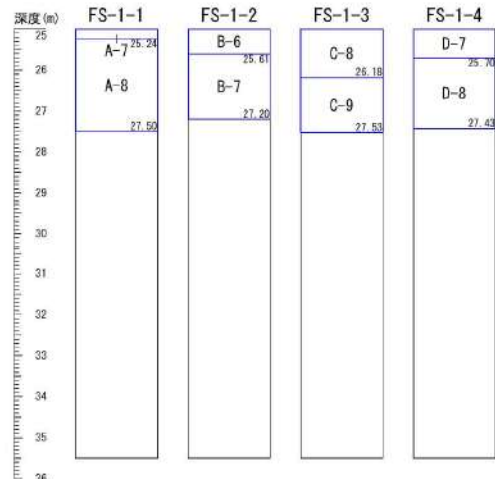
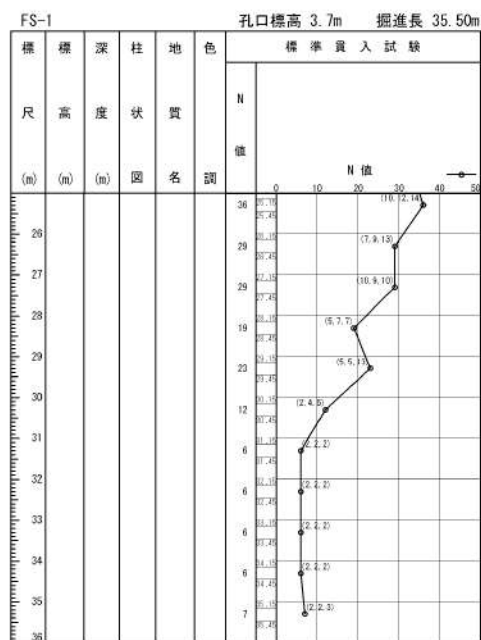
※FS-1 は標準貫入試験のみ実施

□ : サンプリング位置

添付 1-39 図(1/10) ボーリング柱状図・コア写真 (FS-1)



ボーリング平面位置図



※FS-1 は標準貫入試験のみ実施

□ : サンプリング位置

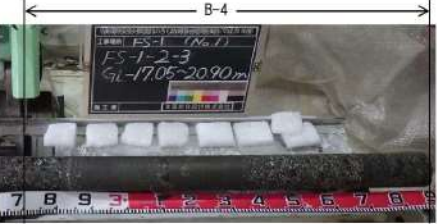
添付 1-39 図(2/10) ボーリング柱状図・コア写真 (FS-1)



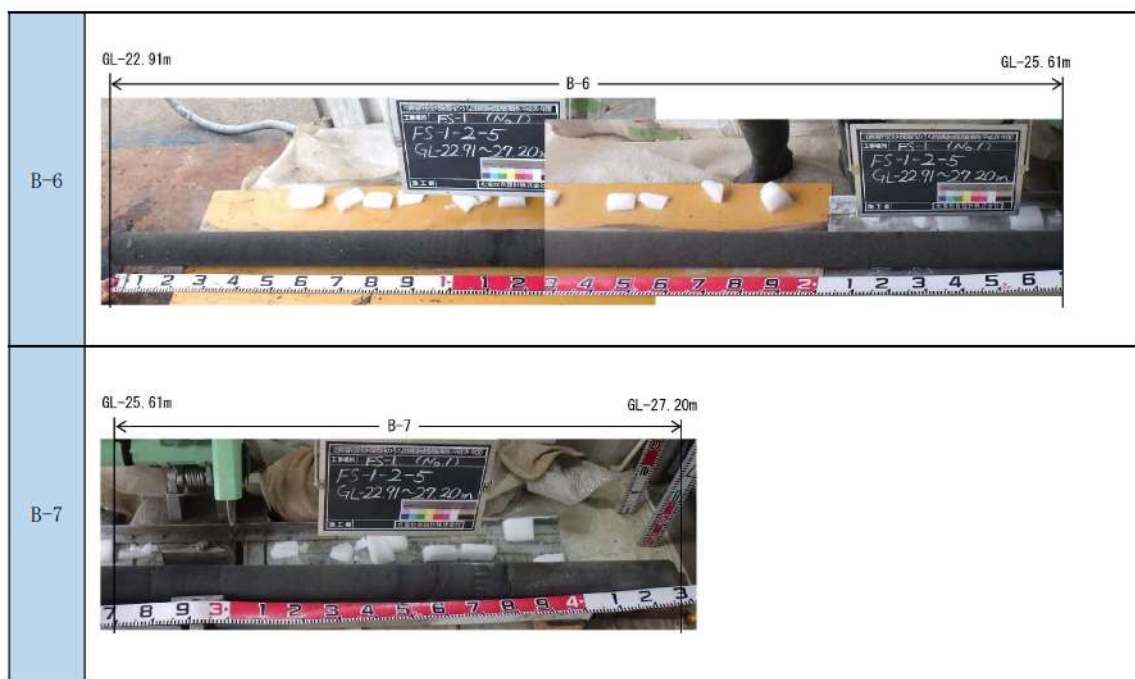
添付 1-39 図(3/10) ボーリング柱状図・コア写真 (FS-1)



添付 1-39 図(4/10) ポーリング柱状図・コア写真 (FS-1)

B-1	GL-7.78m  B-1	GL-10.33m
B-2	GL-10.33m  B-2	GL-13.03m
B-3	GL-17.05m  B-3	GL-19.75m
B-4	GL-19.75m  B-4	GL-20.90m
B-5	GL-20.90m  B-5	GL-22.91m

添付 1-39 図(5/10) ポーリング柱状図・コア写真 (FS-1)



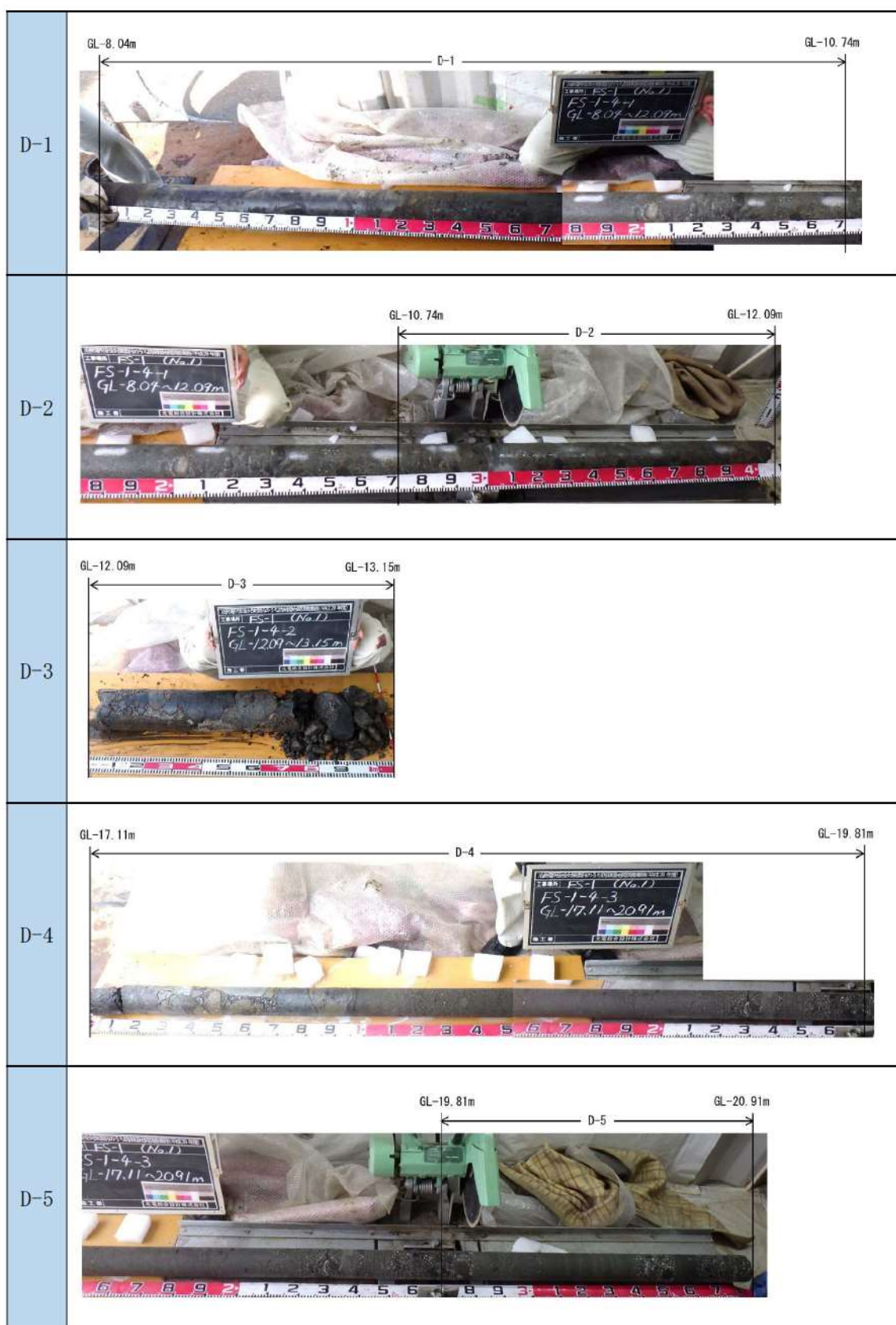
添付 1-39 図(6/10) ボーリング柱状図・コア写真 (FS-1)

C-1	<p>GL-8.03m GL-10.73m C-1</p>
C-2	<p>GL-10.73m GL-12.08m C-2</p>
C-3	<p>GL-12.08m GL-12.86m C-3</p>
C-4	<p>GL-16.66m GL-19.36m C-4</p>
C-5	<p>GL-19.36m GL-20.96m C-5</p>

添付 1-39 図(7/10) ボーリング柱状図・コア写真 (FS-1)

C-6	<p>GL-20.96m ← C-6 → GL-22.99m</p>
C-7	<p>GL-22.99m ← C-7 → GL-24.77m</p>
C-8	<p>GL-24.77m ← C-8 → GL-26.18m</p>
C-9	<p>GL-26.18m ← C-9 → GL-27.53m</p>

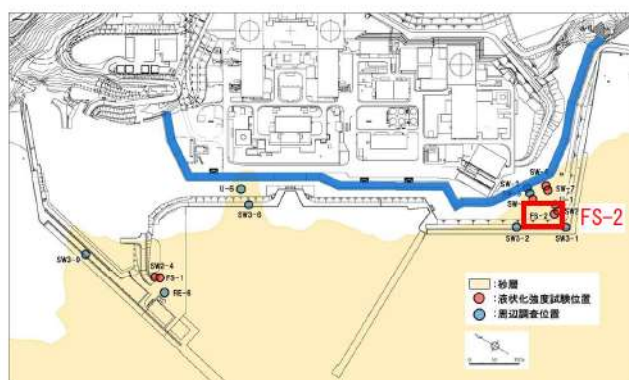
添付 1-39 図(8/10) ポーリング柱状図・コア写真 (FS-1)



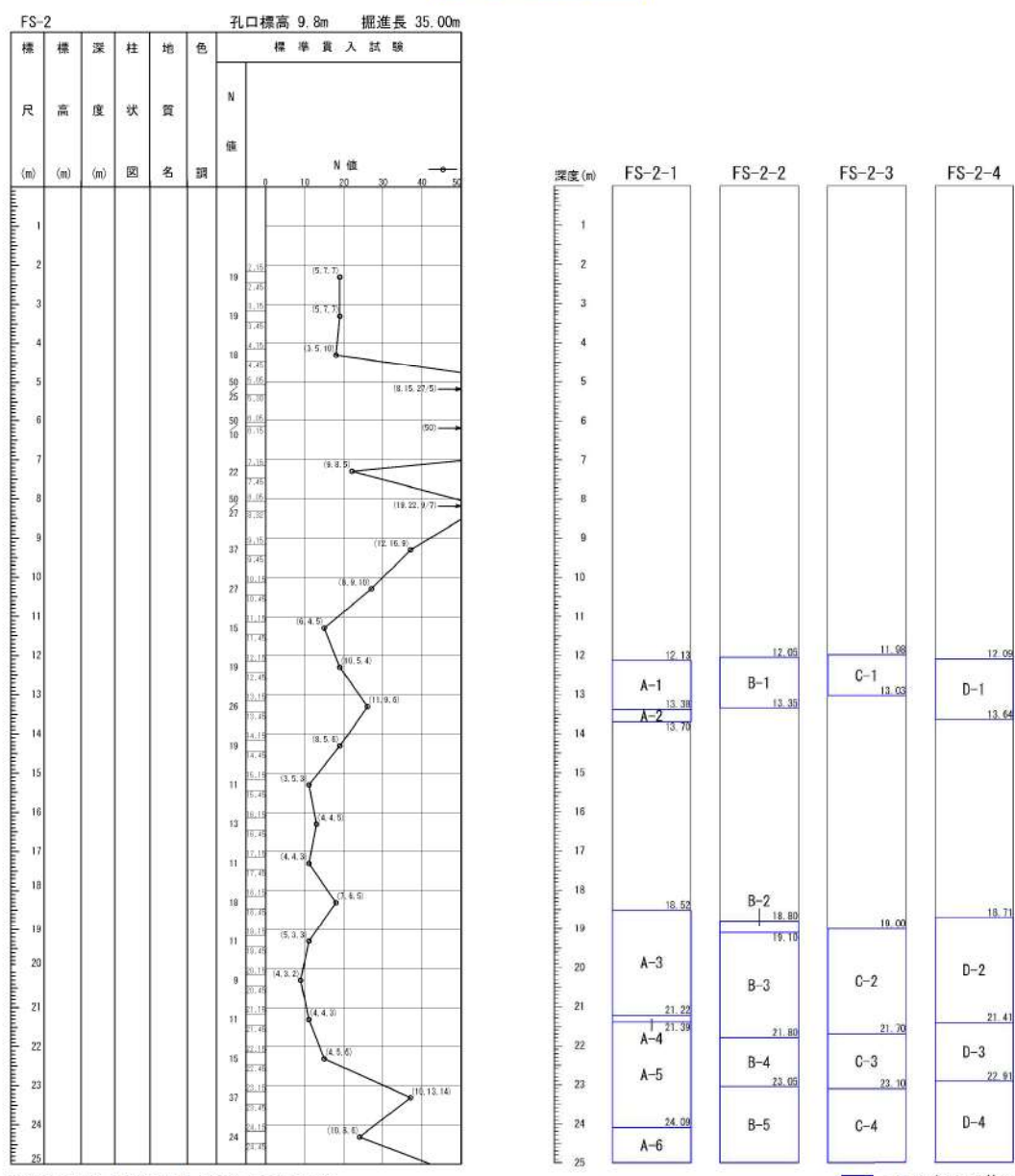
添付 1-39 図(9/10) ボーリング柱状図・コア写真 (FS-1)



添付 1-39 図(10/10) ポーリング柱状図・コア写真 (FS-1)

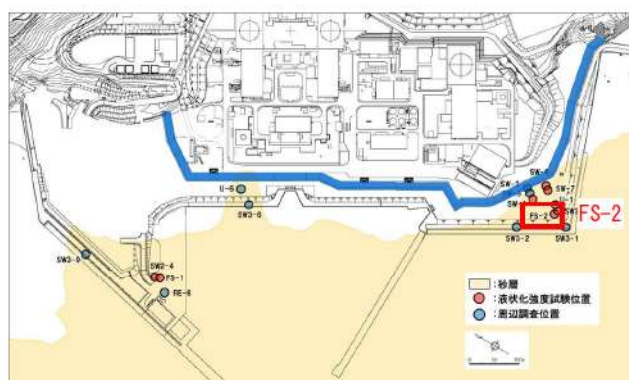


ボーリング平面位置図

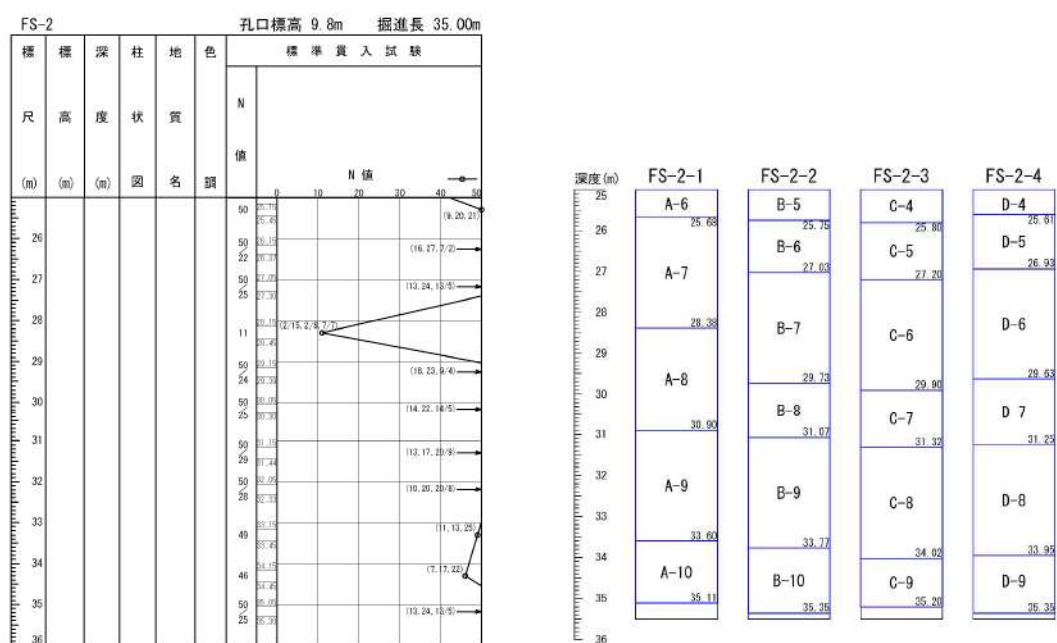


※FS-2 は標準貫入試験のみ実施

添付 1-40 図(1/10) ボーリング柱状図・コア写真 (FS-2)



ボーリング平面位置図



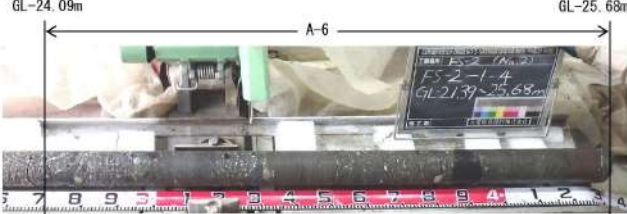
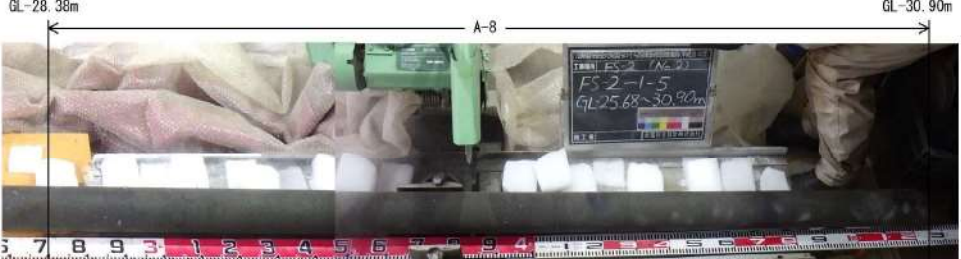
※FS-2 は標準貫入試験のみ実施

■ : サンプリング位置

添付 1-40 図(2/10) ボーリング柱状図・コア写真 (FS-2)

A-1	<p>GL-12.13m A-1 GL-13.38m</p>
A-2	<p>GL-13.38m A-2 GL-13.70m</p>
A-3	<p>GL-18.52m A-3 GL-21.22m</p>
A-4	<p>GL-21.22m A-4 GL-21.39m</p>
A-5	<p>GL-21.39m A-5 GL-24.09m</p>

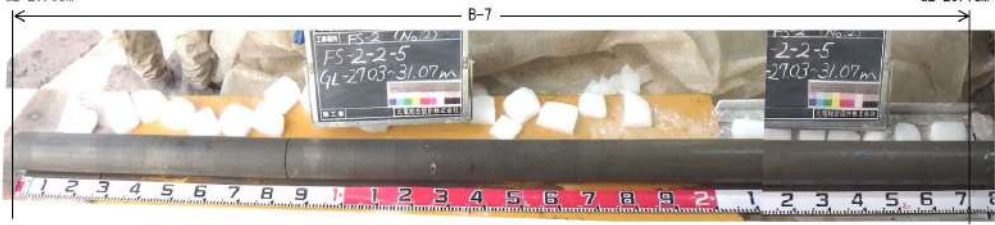
添付 1-40 図(3/10) ボーリング柱状図・コア写真 (FS-2)

A-6	 <p>GL-24.09m GL-25.68m A-6</p>
A-7	 <p>GL-25.68m GL-28.38m A-7</p>
A-8	 <p>GL-28.38m GL-30.90m A-8</p>
A-9	 <p>GL-30.90m GL-33.60m A-9</p>
A-10	 <p>GL-33.60m GL-35.11m A-10</p>

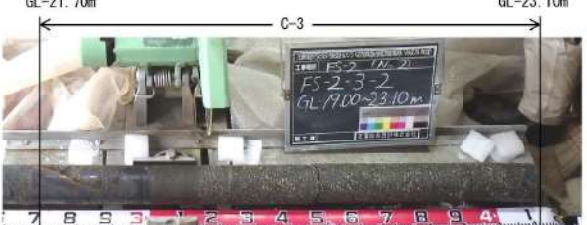
添付 1-40 図(4/10) ボーリング柱状図・コア写真 (FS-2)

B-1	<p>GL-12.05m GL-13.35m B-1</p> <p>FS 2-2-1 GL-12.05~13.35m</p>
B-2	<p>GL-18.80m GL-19.10m B-2</p> <p>FS 2-2 GL-18.80~19.10m</p>
B-3	<p>GL-19.10m GL-21.80m B-3</p> <p>FS 2-2-3 GL-19.10~21.80m</p>
B-4	<p>GL-21.80m GL-23.05m B-4</p> <p>FS 2-2-3 GL-21.80~23.05m</p>
B-5	<p>GL-23.05m GL-25.75m B-5</p> <p>FS 2-2-4 GL-23.05~25.75m</p>

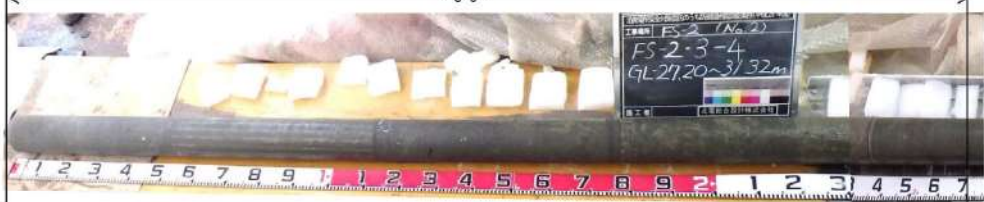
添付 1-40 図(5/10) ボーリング柱状図・コア写真 (FS-2)

B-6	GL-25.75m B-6 	GL-27.03m
B-7	GL-27.03m B-7 	GL-29.73m
B-8	GL-29.73m B-8 	GL-31.07m
B-9	GL-31.07m B-9 	GL-33.77m
B-10	GL-33.77m B-10 	GL-35.35m

添付 1-40 図(6/10) ポーリング柱状図・コア写真 (FS-2)

C-1	GL-11. 98m  C-1 GL-13. 03m
C-2	GL-19. 00m  C-2 GL-21. 70m
C-3	GL-21. 70m  C-3 GL-23. 10m
C-4	GL-23. 10m  C-4 GL-25. 80m
C-5	GL-25. 80m  C-5 GL-27. 20m

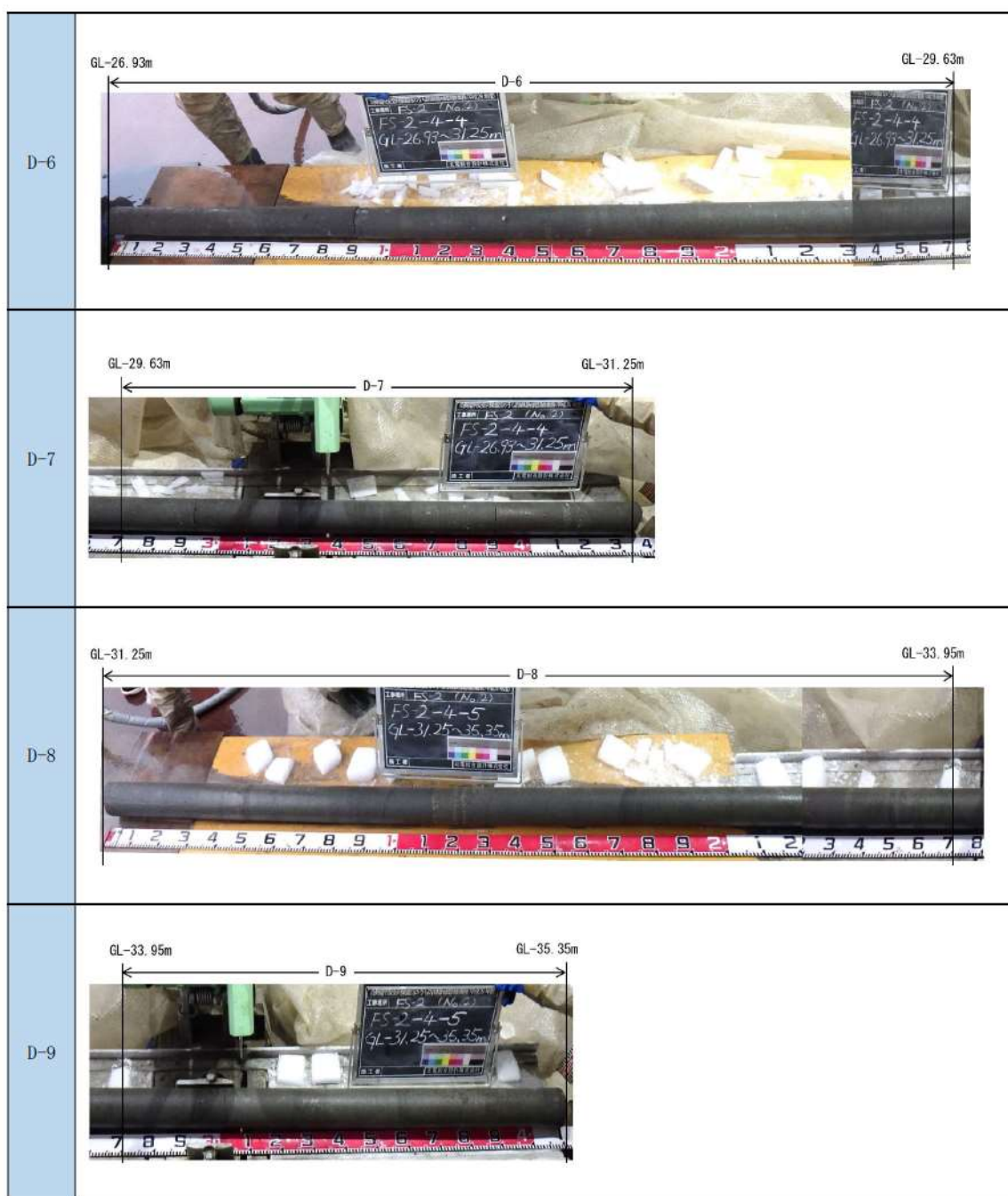
添付 1-40 図(7/10) ボーリング柱状図・コア写真 (FS-2)

C-6	GL-27.20m C-6  GL-29.90m
C-7	GL-29.90m C-7  GL-31.32m
C-8	GL-31.32m C-8  GL-34.02m
C-9	GL-34.02m C-9  GL-35.20m

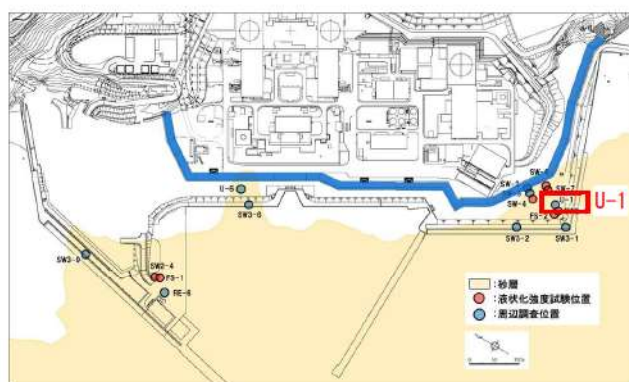
添付 1-40 図(8/10) ポーリング柱状図・コア写真 (FS-2)

D-1	<p>GL-12.09m D-1 GL-13.64m</p>
D-2	<p>GL-18.71m D-2 GL-21.41m</p>
D-3	<p>GL-21.41m D-3 GL-22.91m</p>
D-4	<p>GL-22.91m D-4 GL-25.61m</p>
D-5	<p>GL-25.61m D-5 GL-26.93m</p>

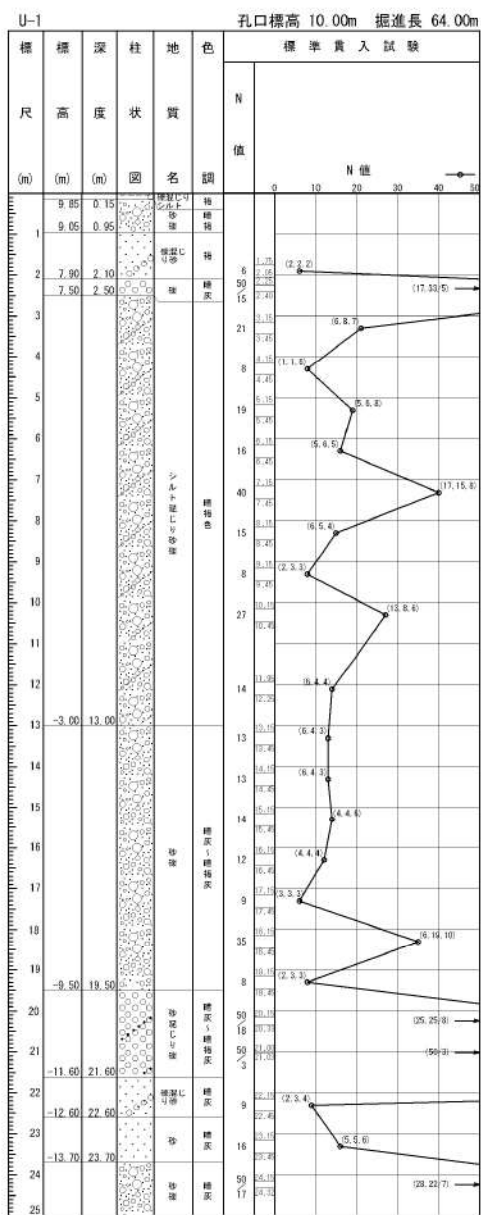
添付 1-40 図(9/10) ボーリング柱状図・コア写真 (FS-2)



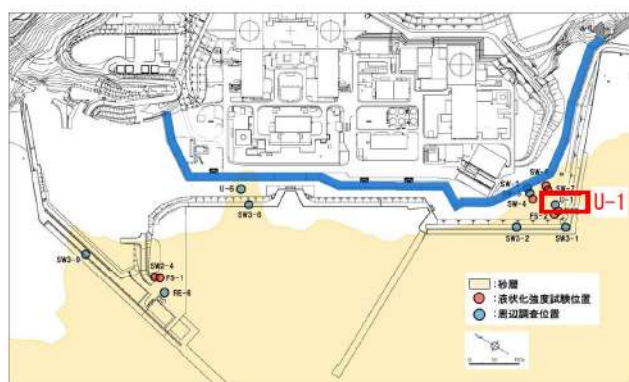
添付 1-40 図(10/10) ポーリング柱状図・コア写真 (FS-2)



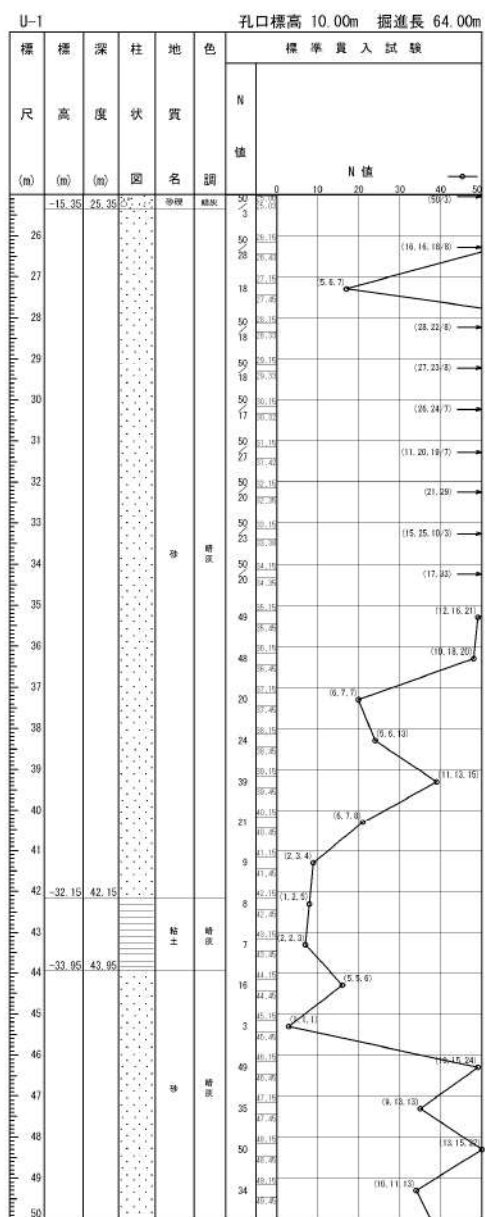
ボーリング平面位置図



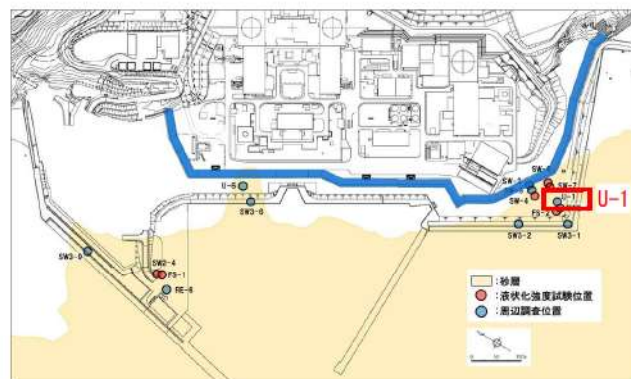
添付 1-41 図(1/3) ボーリング柱状図・コア写真 (U-1)



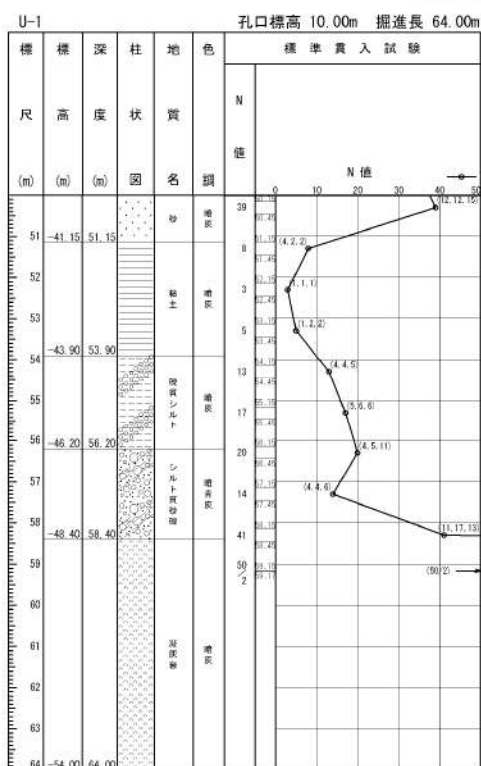
ボーリング平面位置図



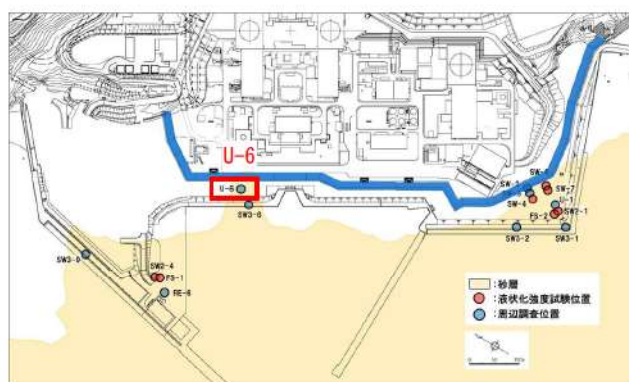
添付 1-41 図(2/3) ボーリング柱状図・コア写真 (U-1)



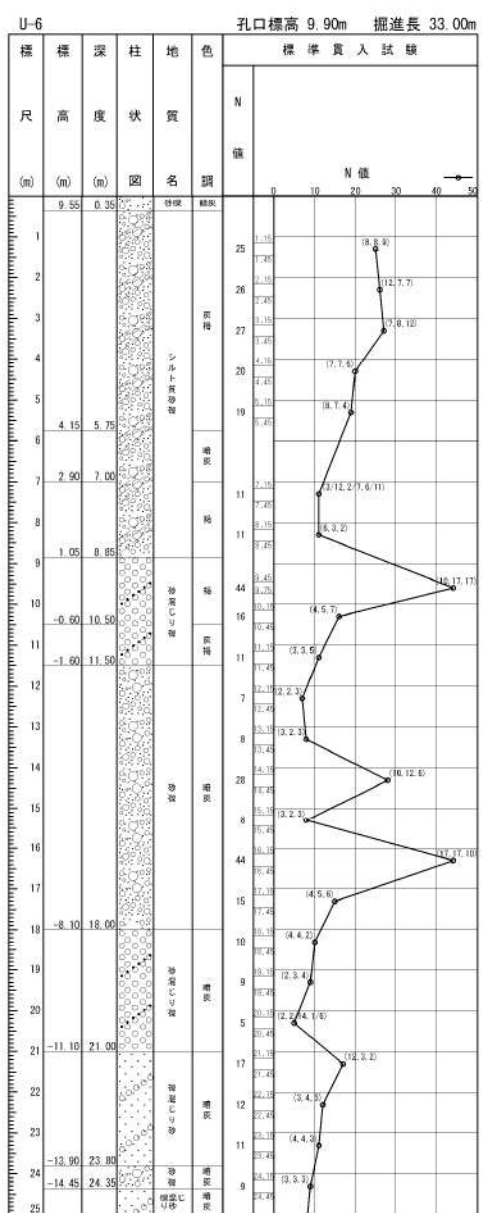
ボーリング平面位置図



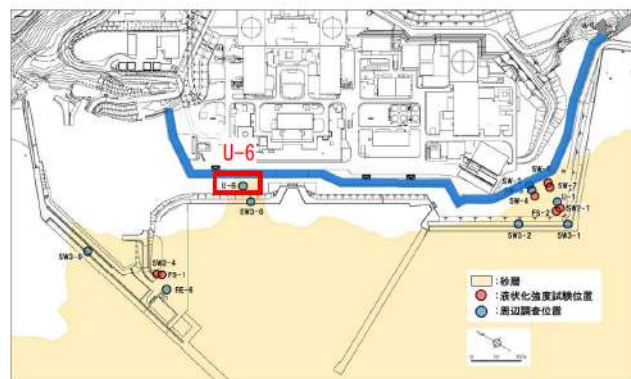
添付 1-41 図(3/3) ボーリング柱状図・コア写真 (U-1)



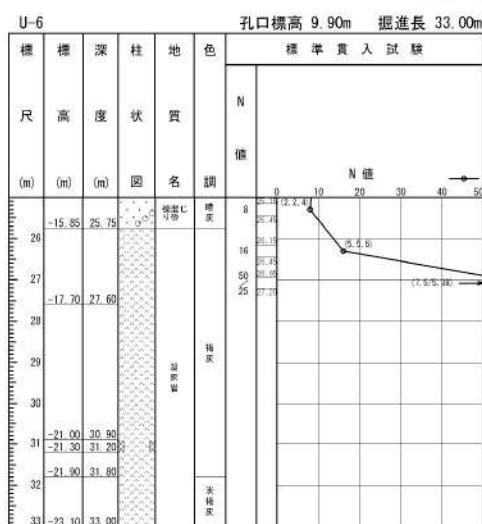
ボーリング平面位置図



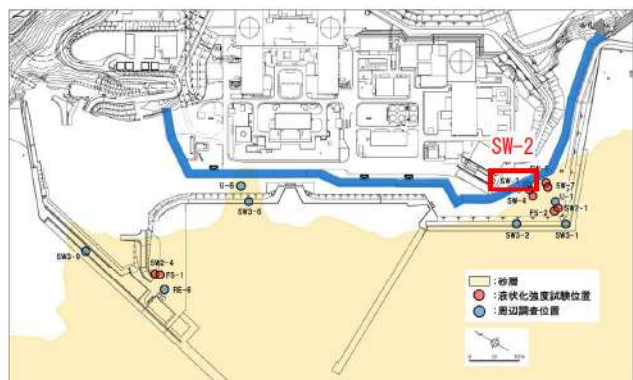
添付 1-42 図(1/2) ボーリング柱状図・コア写真 (U-6)



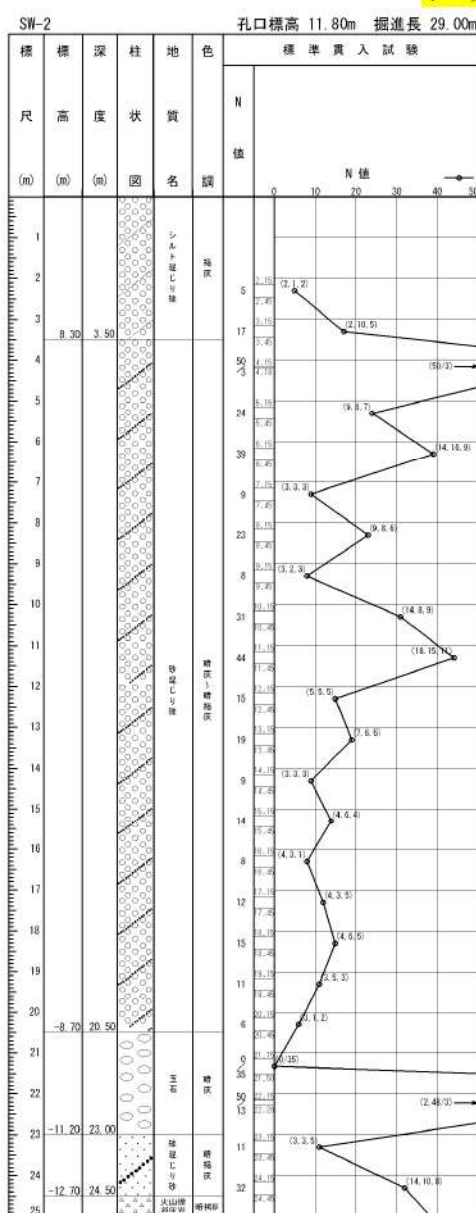
ボーリング平面位置図



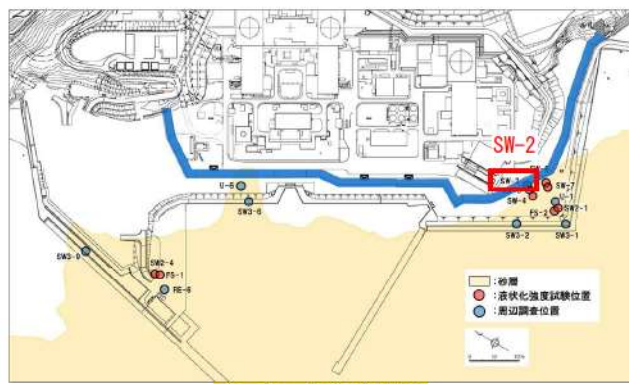
添付 1-42 図(2/2) ボーリング柱状図・コア写真 (U-6)



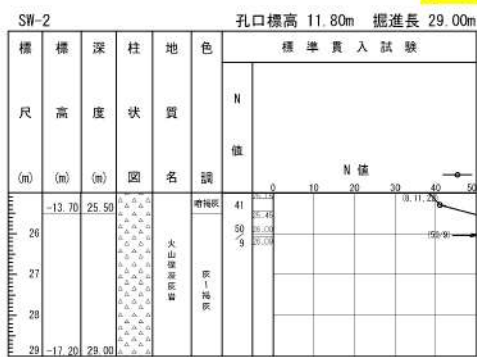
ボーリング平面位置図



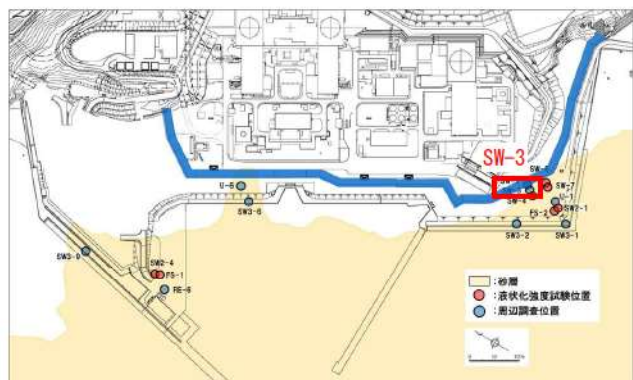
添付 1-43 図(1/2) ボーリング柱状図・コア写真 (SW-2)



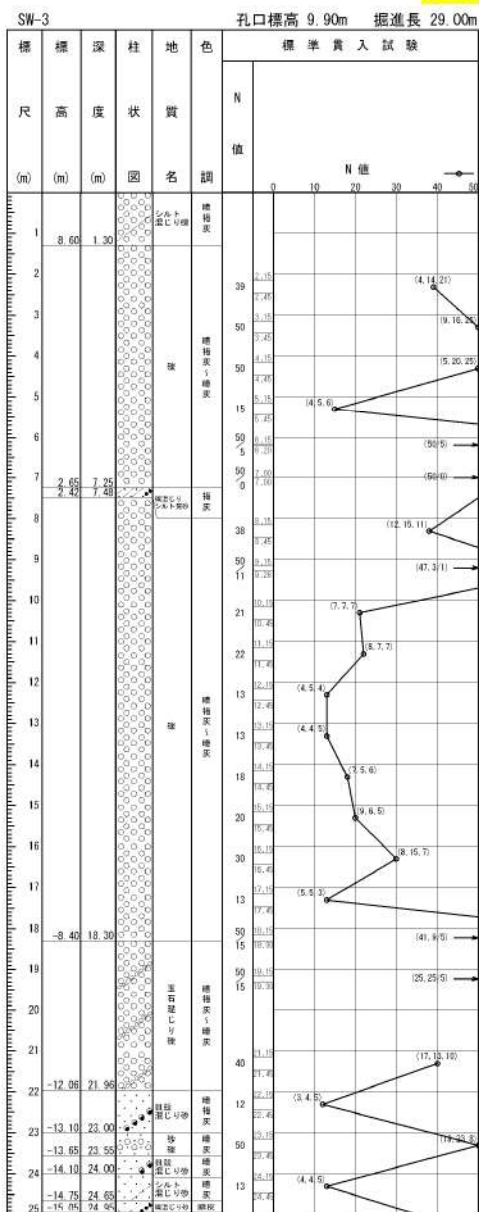
ボーリング平面位置図



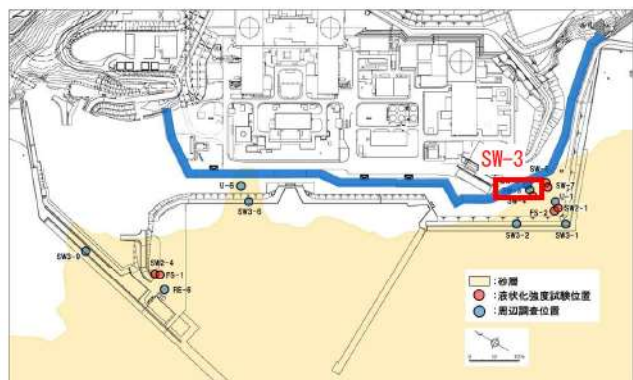
添付 1-43 図(2/2) ボーリング柱状図・コア写真 (SW-2)



ボーリング平面位置図



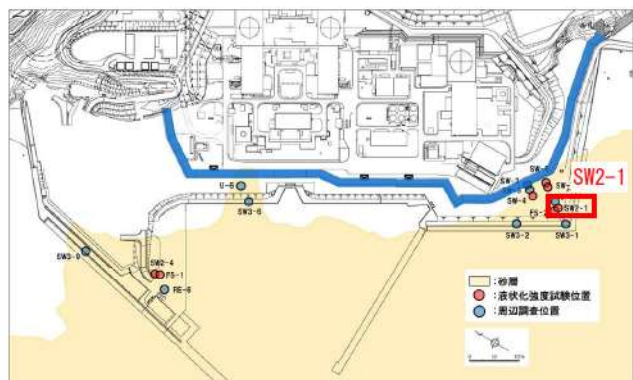
添付 1-44 図(1/2) ボーリング柱状図・コア写真 (SW-3)



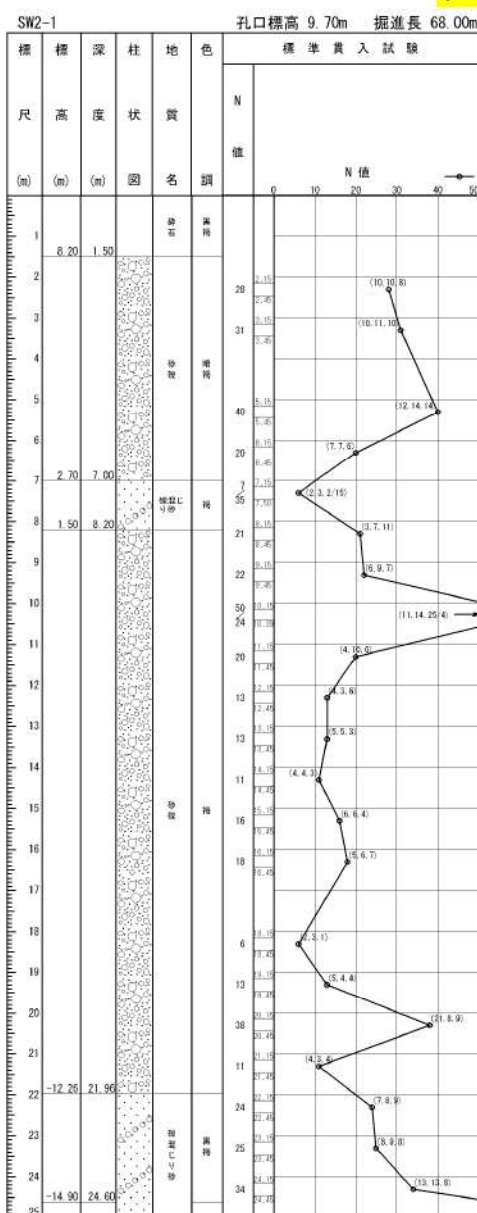
ボーリング平面位置図



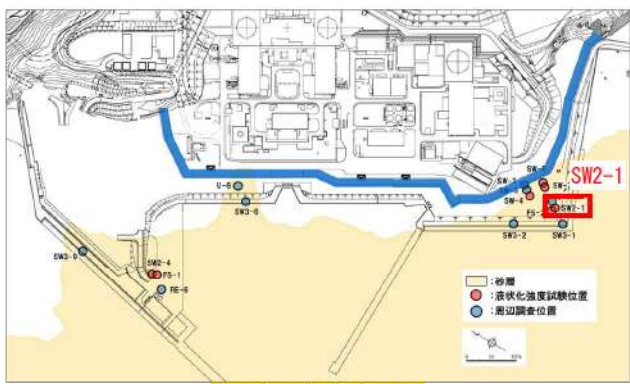
添付 1-44 図(2/2) ボーリング柱状図・コア写真 (SW-3)



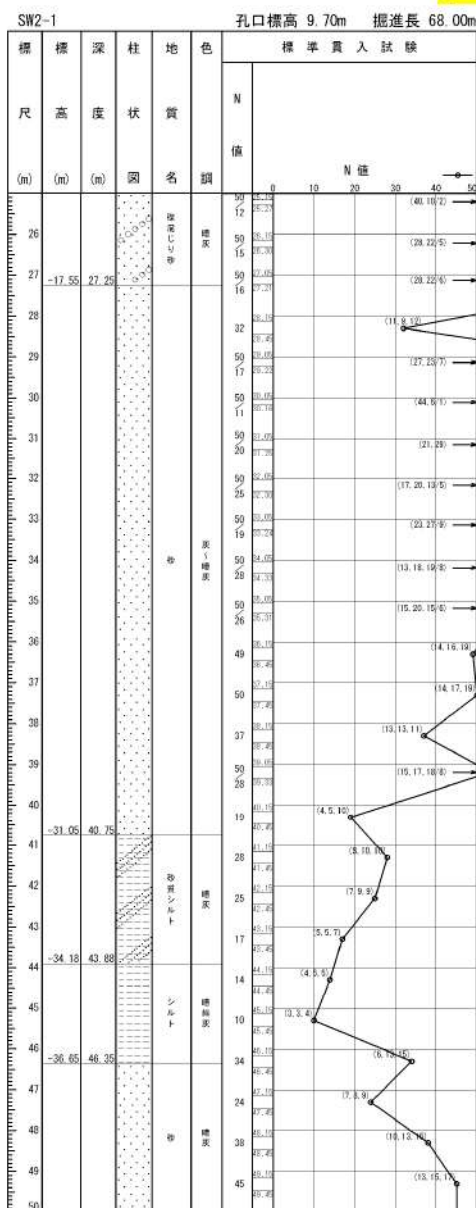
ボーリング平面位置図



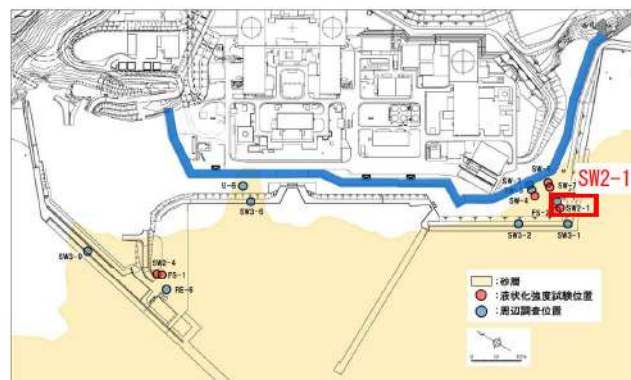
添付 1-45 図(1/3) ボーリング柱状図・コア写真 (SW2-1)



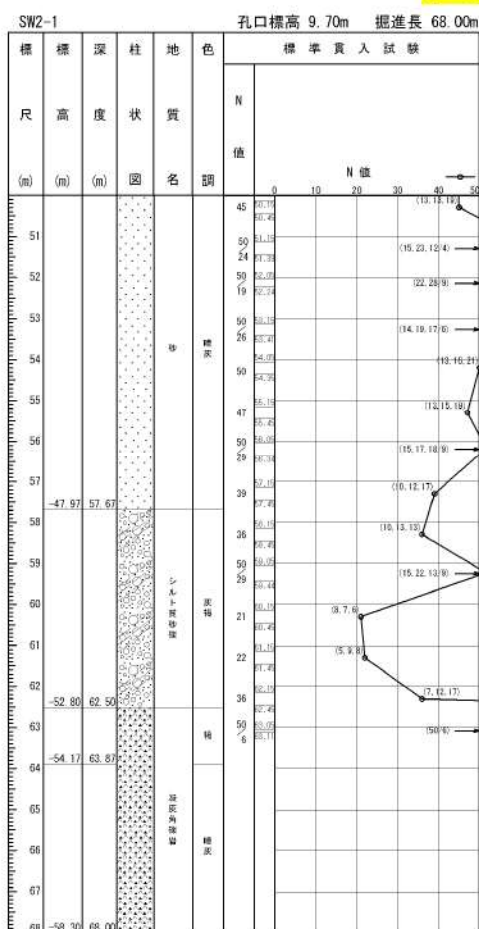
ボーリング平面位置図



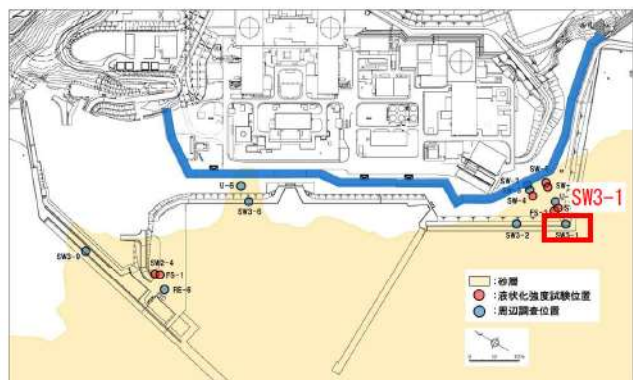
添付 1-45 図(2/3) ボーリング柱状図・コア写真 (SW2-1)



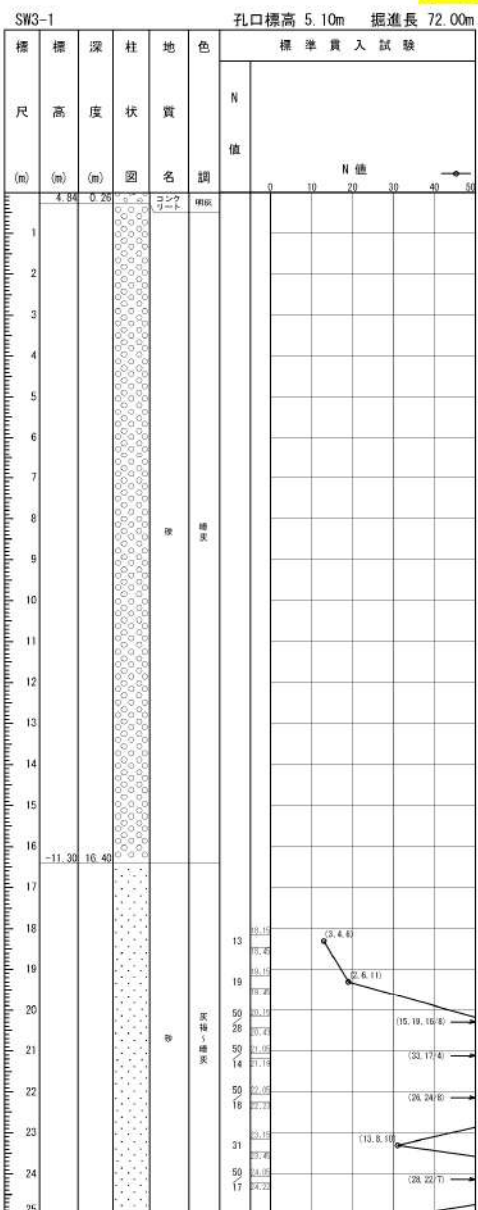
ボーリング平面位置図



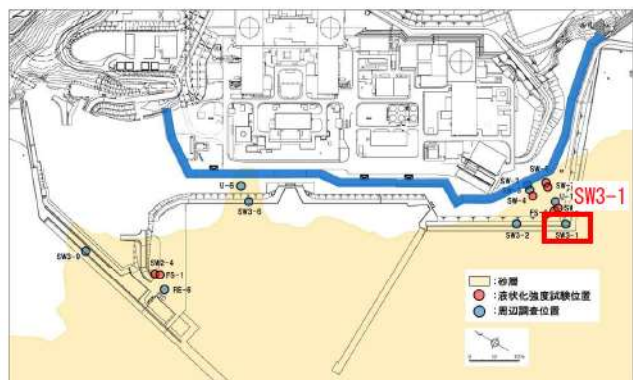
添付 1-45 図(3/3) ボーリング柱状図・コア写真 (SW2-1)



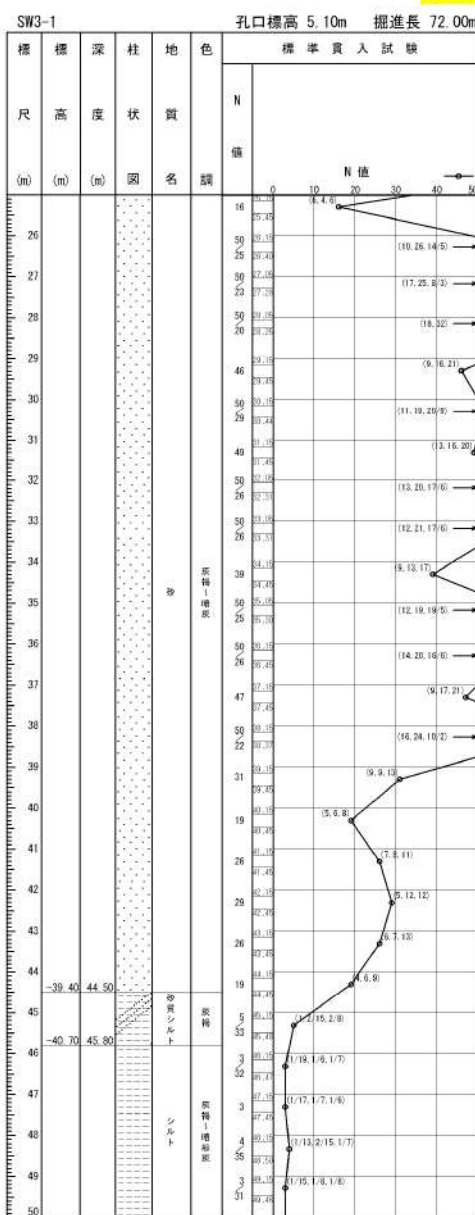
ボーリング平面位置図



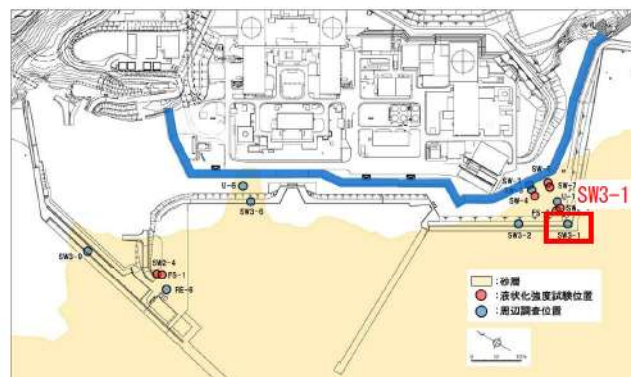
添付 1-46 図(1/3) ボーリング柱状図・コア写真 (SW3-1)



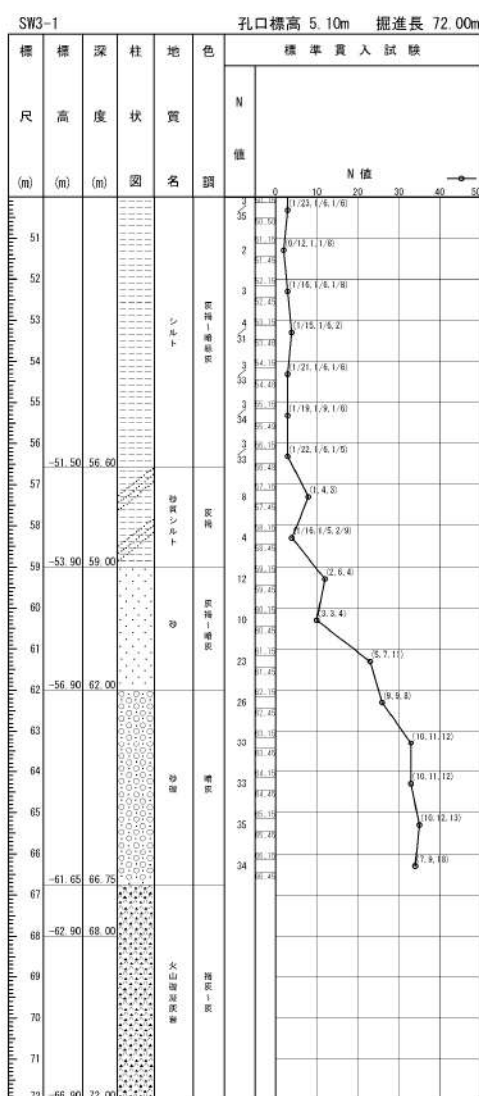
ボーリング平面位置図



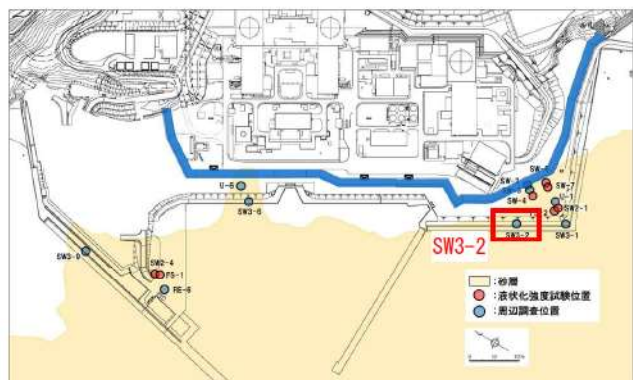
添付 1-46 図(2/3) ボーリング柱状図・コア写真 (SW3-1)



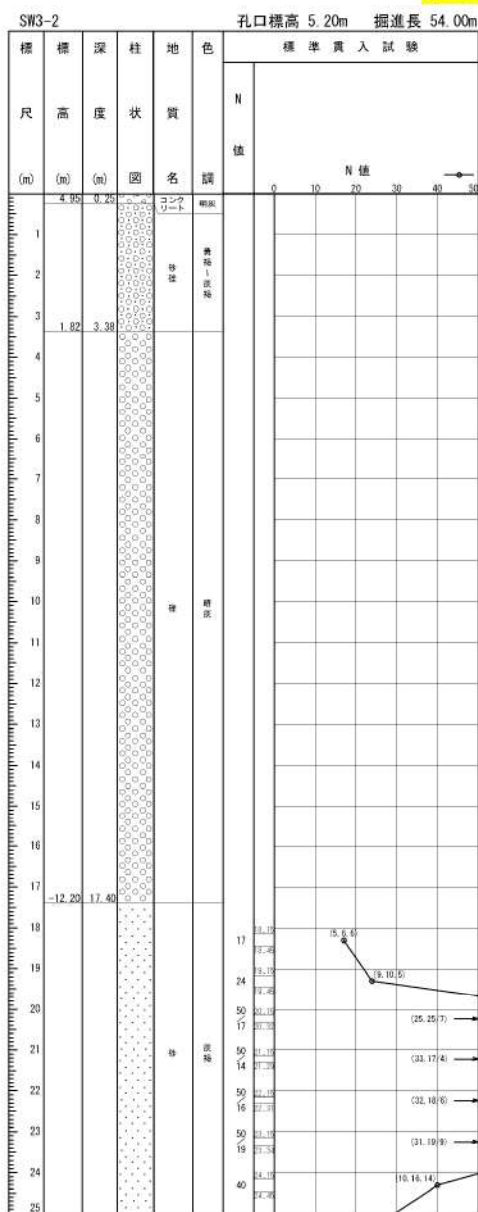
ボーリング平面位置図



添付 1-46 図(3/3) ボーリング柱状図・コア写真 (SW3-1)



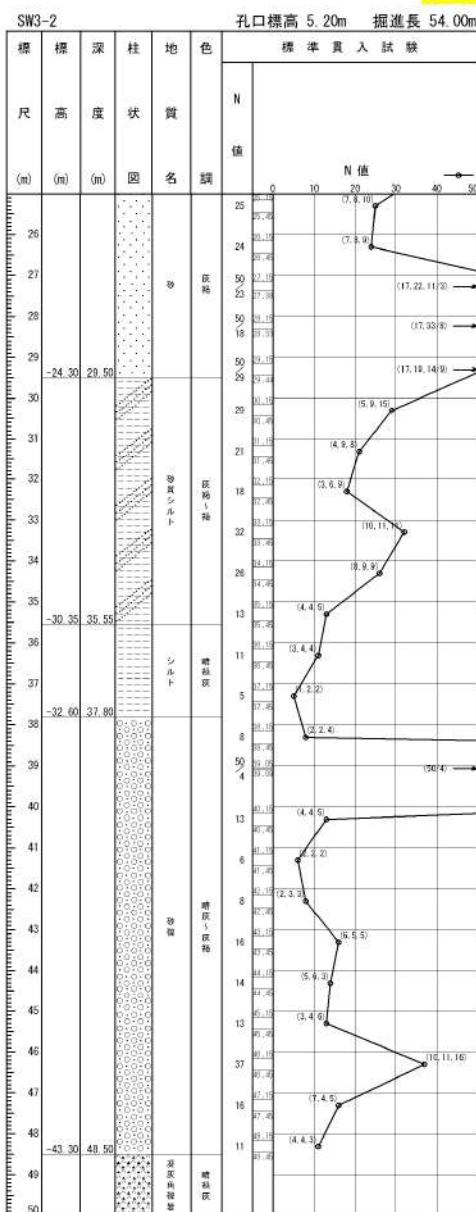
ボーリング平面位置図



添付 1-47 図(1/3) ボーリング柱状図・コア写真 (SW3-2)



ボーリング平面位置図



添付 1-47 図(2/3) ボーリング柱状図・コア写真 (SW3-2)

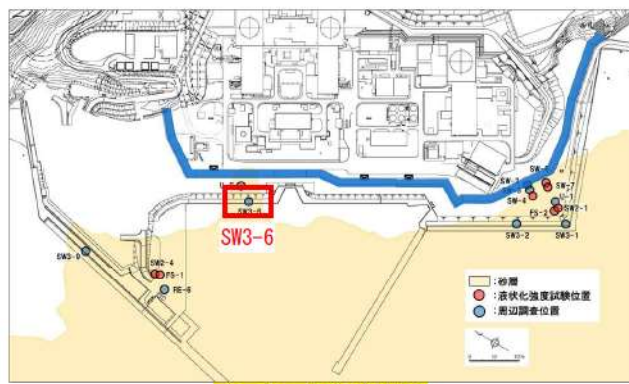


ボーリング平面位置図

SW3-2							孔口標高 5.20m 挖進長 54.00m			
標	標	深	柱	地	色	標準貫入試験				
尺	高	度	状	質	調	N	N 値			
(m)	(m)	(m)	図	名	調	値	0	10	20	30
51										40
52	-46.80	52.00			細粒砂岩 粘土質砂岩					50
53										
54	-48.80	54.00								



添付 1-47 図(3/3) ボーリング柱状図・コア写真 (SW3-2)

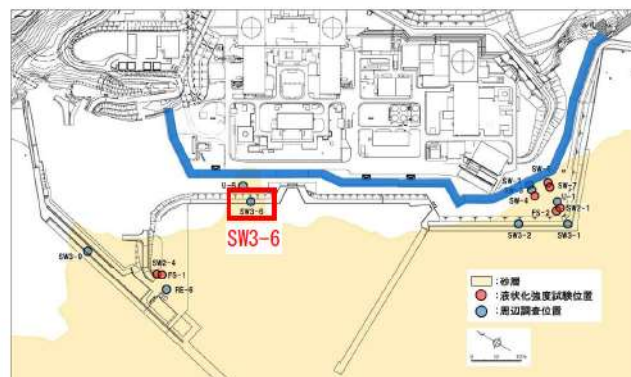


ボーリング平面位置図

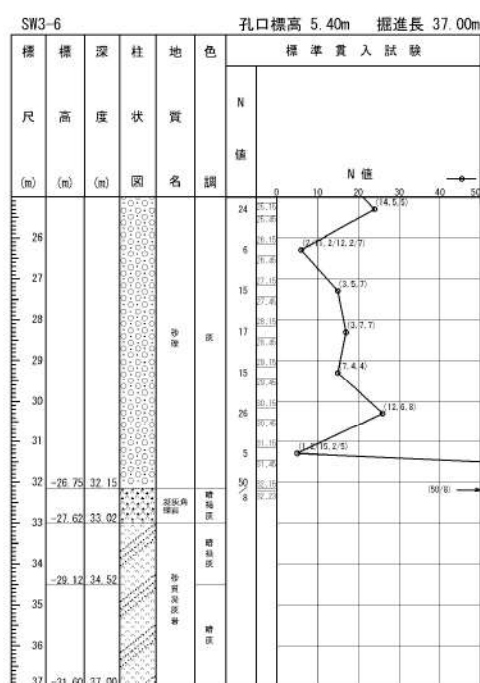
SW3-6						孔口標高 5.40m 堀進長 37.00m					
標 尺 (m)	標 高 (m)	度 状 (m)	柱 質 調 査 色	標準貫入試験							
				N 値	N 値						
1	4.90	0.50	コンクリート リート 砂 岩		0	10	20	30	40	50	
1	4.20	1.29									
2	2.88	2.57									
3			コンクリート リート 砂 岩								
4	1.05	4.34									
5											
6											
7											
8											
9											
10											
11											
12											
13											
14											
15											
16											
17	-12.14	17.54									
18	-13.15	18.55									
19	-13.56	18.96	砂 岩								
20											
21	-16.10	21.50	砂 岩								
22											
23											
24											
25											



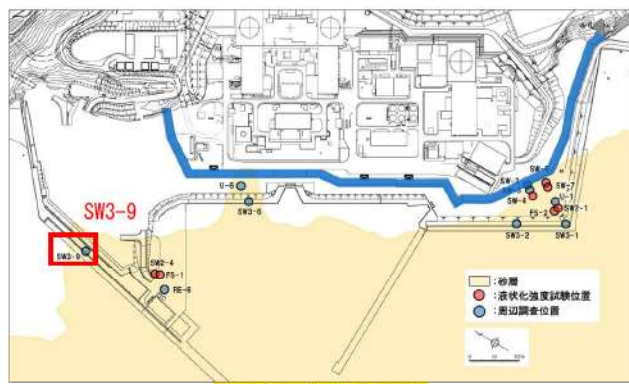
添付 1-48 図(1/2) ボーリング柱状図・コア写真 (SW3-6)



ボーリング平面位置図

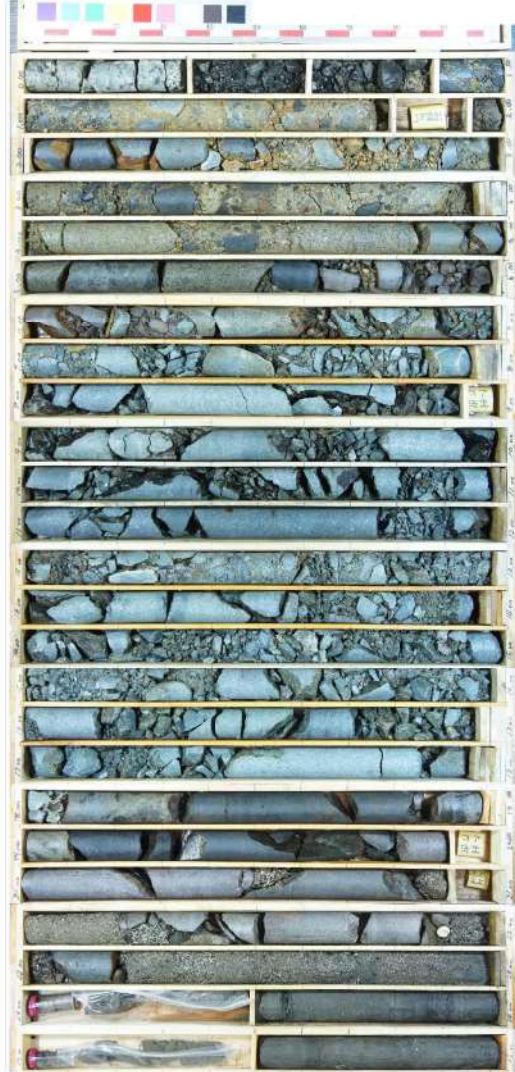


添付 1-48 図(2/2) ボーリング柱状図・コア写真 (SW3-6)

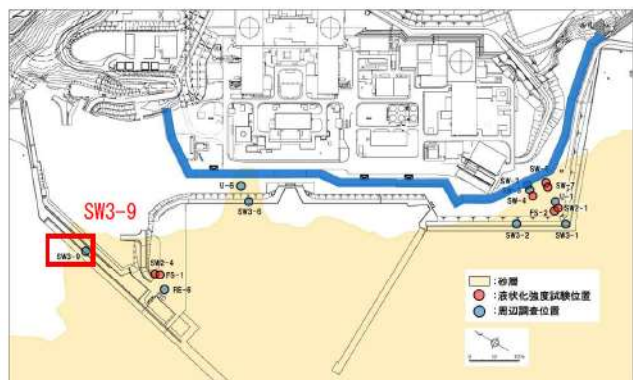


ボーリング平面位置図

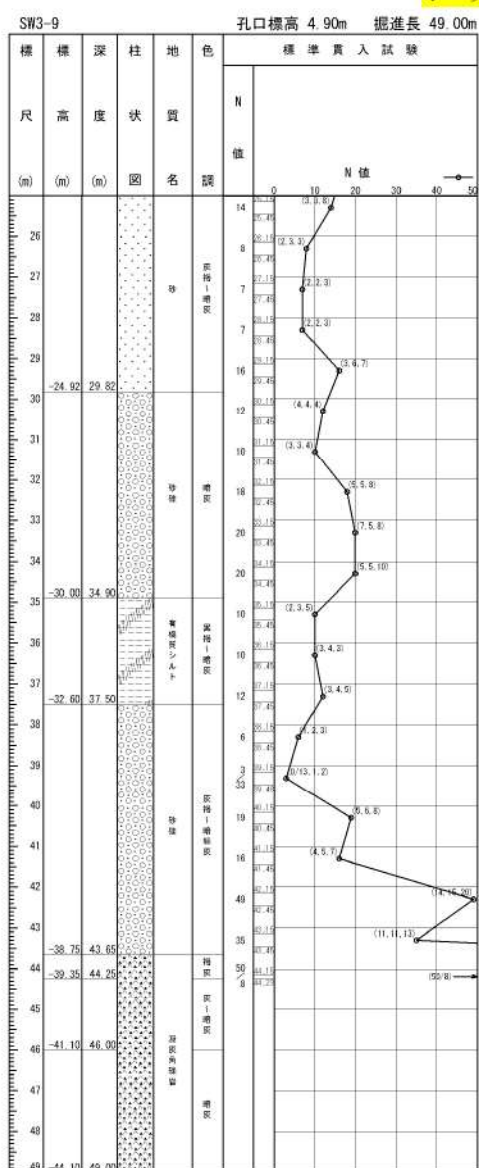
標 尺 (m)	標 高 (m)	深 度 (m)	柱 状 圖 名	地 質 調 査	色 調	孔口標高 4.90m 堀進長 49.00m	
						標準貫入試験	N 値
1	4.55	0.35	0~4m コンクリート 裏抜	無	無	0	0
	4.00	0.98	4~5m 砂質 層	無	無	0	0
2							
3							
4							
5	-0.20	5.10	5~15m 砂質 層	無	無	0	0
6							
7							
8							
9							
10							
11							
12							
13							
14							
15							
16							
17							
18							
19							
20							
21	-15.60	20.50	20~25m 砂質 層	無	無	0	0
22	-17.30	22.20	22~25m 砂質 層	無	無	29	29
23						17	17
24							
25							



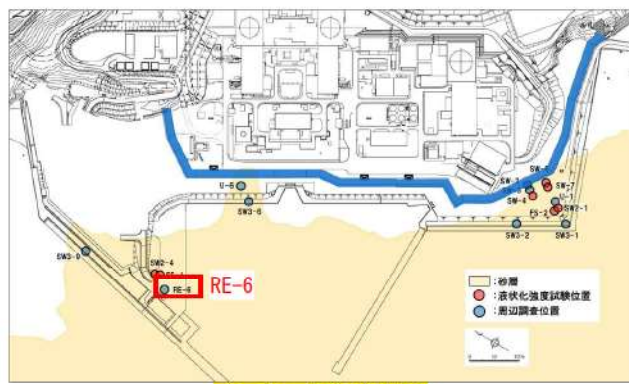
添付 1-49 図(1/2) ボーリング柱状図・コア写真 (SW3-9)



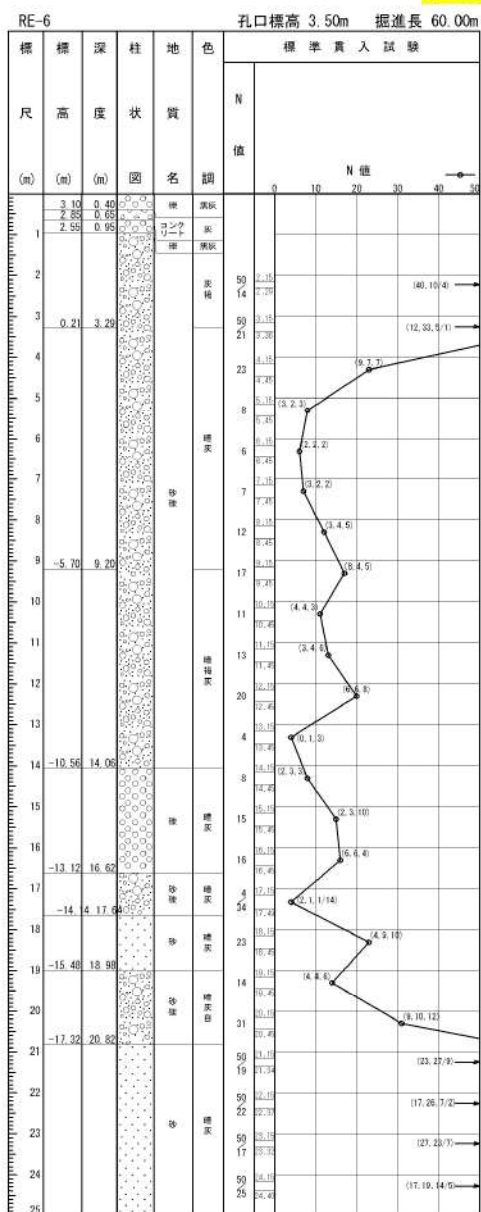
ボーリング平面位置図



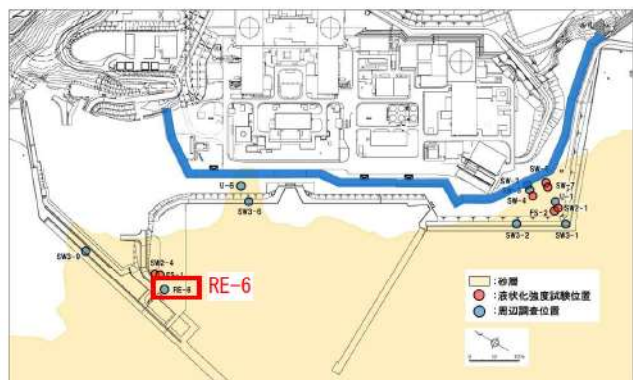
添付 1-49 図(2/2) ボーリング柱状図・コア写真 (SW3-9)



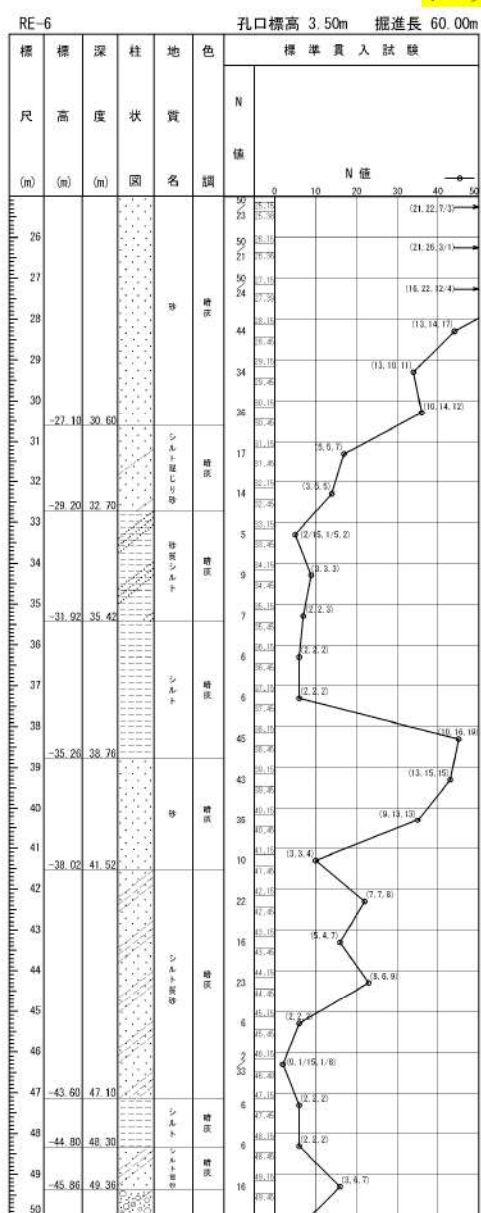
ボーリング平面位置図



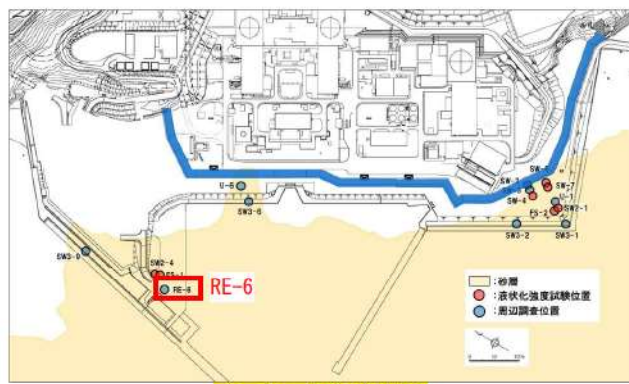
添付 1-50 図(1/3) ボーリング柱状図・コア写真 (RE-6)



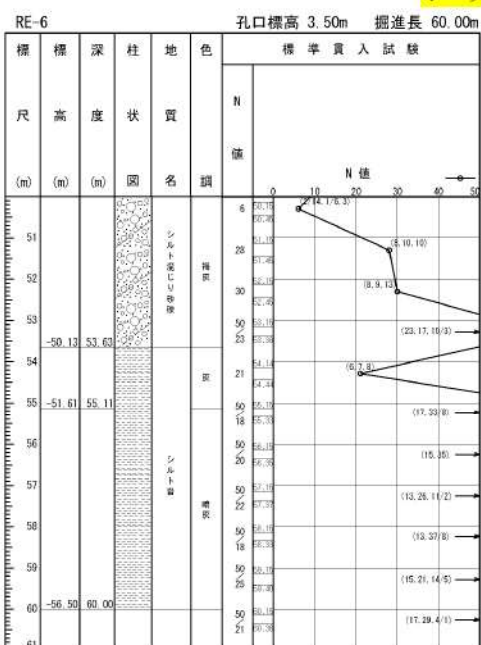
ボーリング平面位置図



添付 1-50 図(2/3) ボーリング柱状図・コア写真 (RE-6)

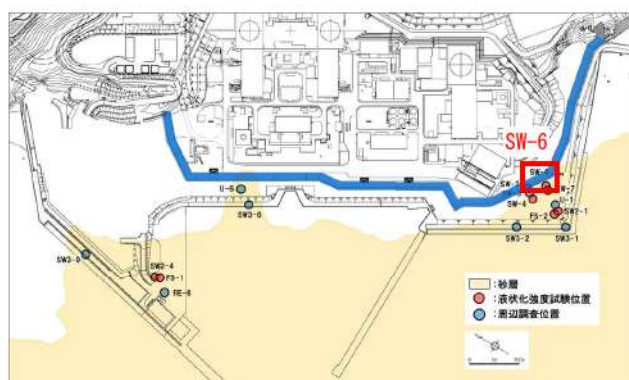


ボーリング平面位置図

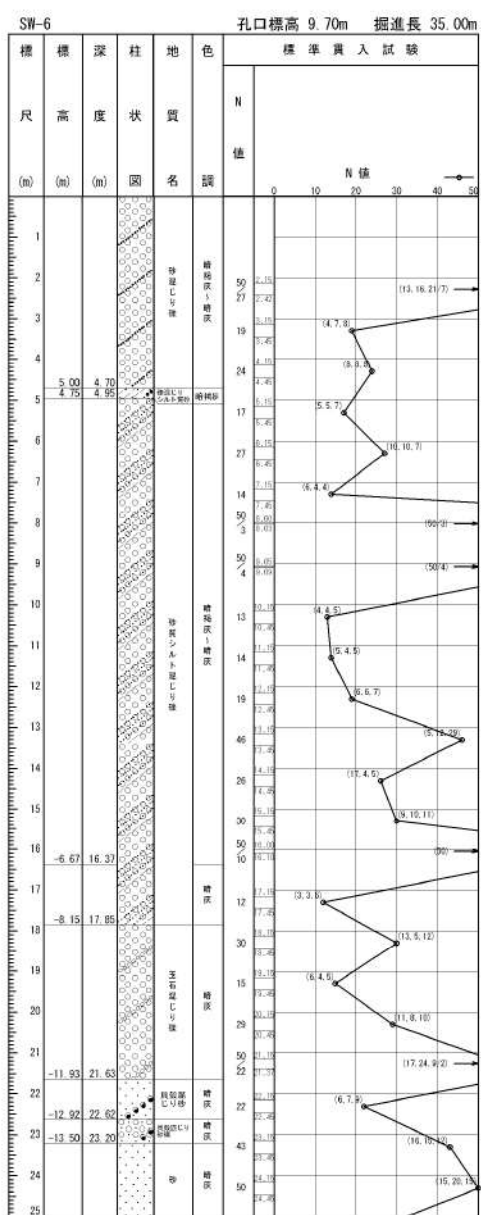


添付 1-50 図(3/3) ボーリング柱状図・コア写真 (RE-6)

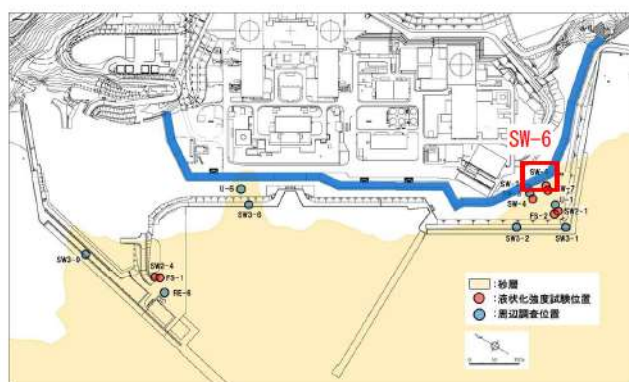
1. 埋戻土・砂層のボーリング柱状図・コア写真
(4) As2 層のボーリング柱状図・コア写真



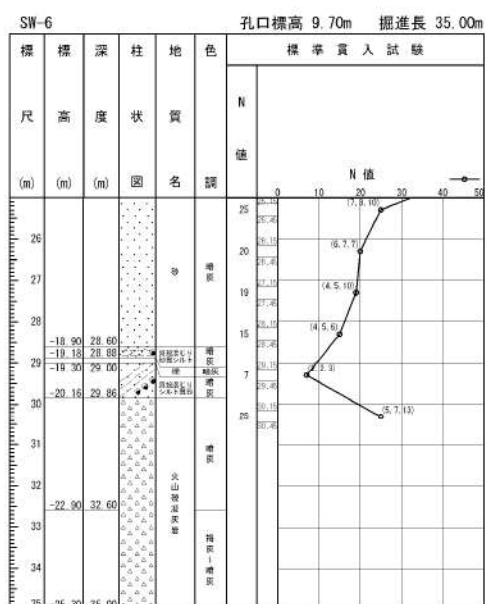
ボーリング平面位置図



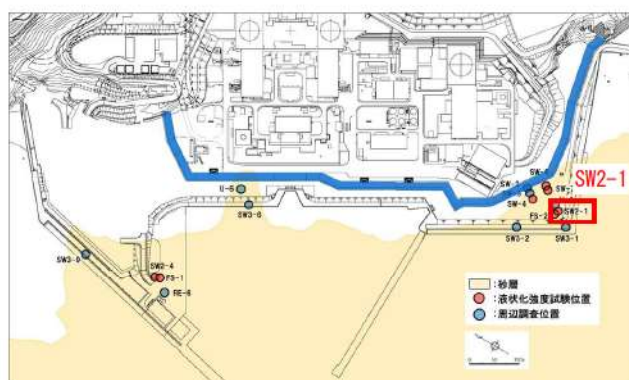
添付 1-51 図(1/2) ボーリング柱状図・コア写真 (SW-6)



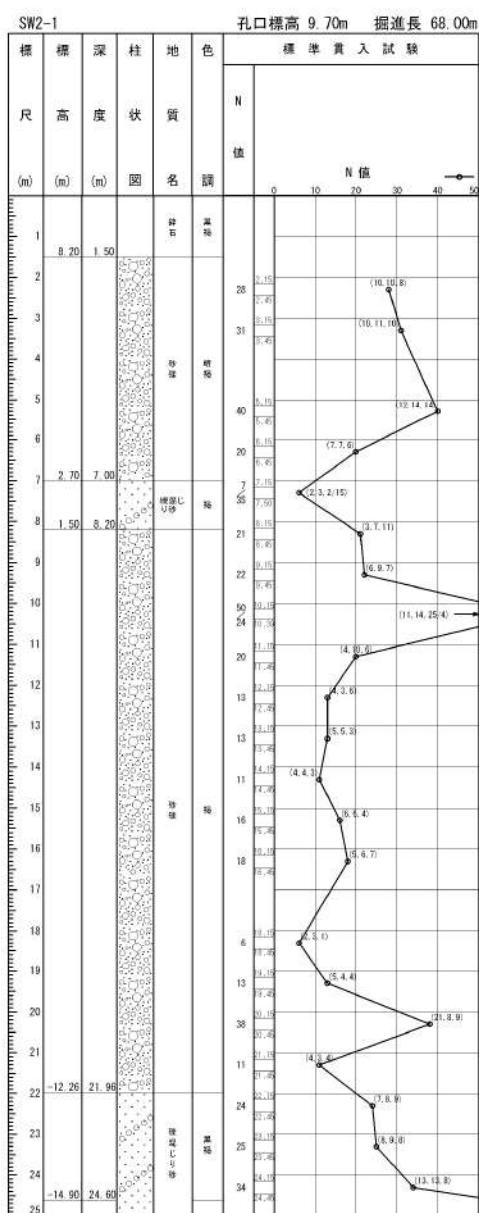
ボーリング平面位置図



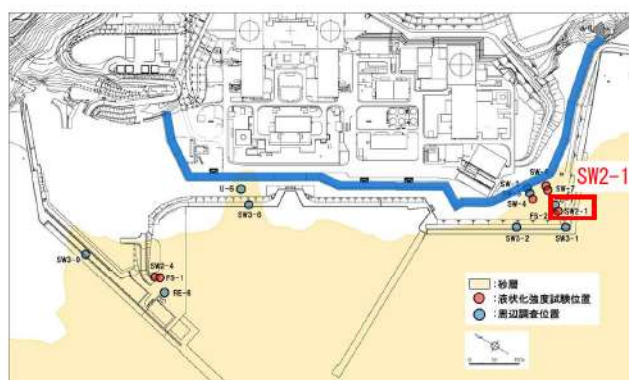
添付 1-51 図(2/2) ボーリング柱状図・コア写真 (SW-6)



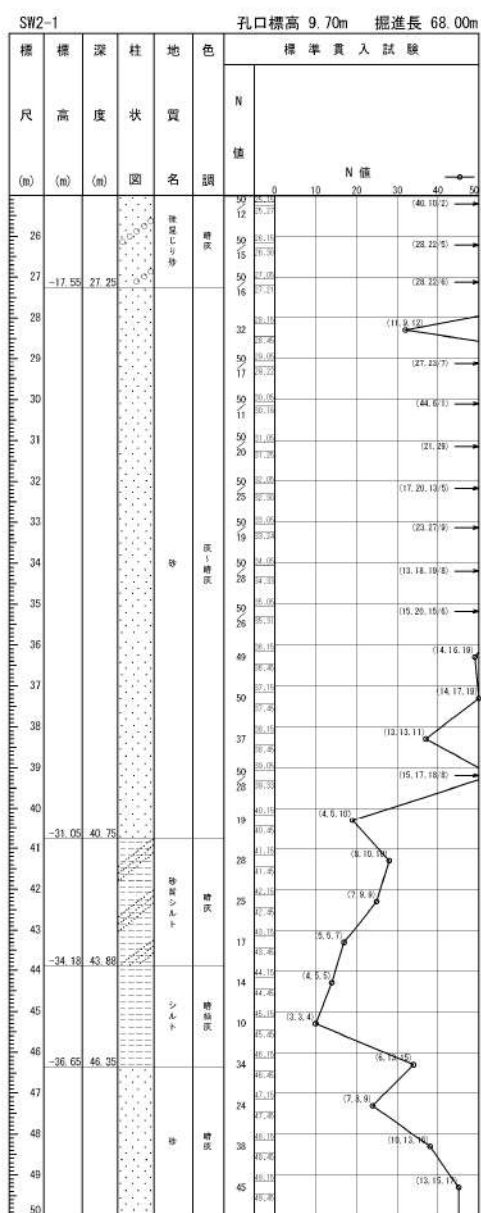
ボーリング平面位置図



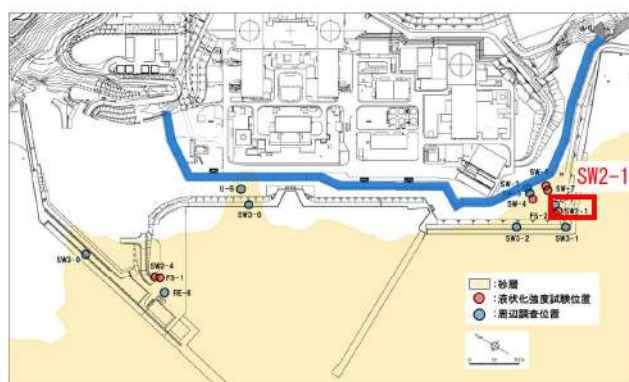
添付 1-52 図(1/3) ボーリング柱状図・コア写真 (SW2-1)



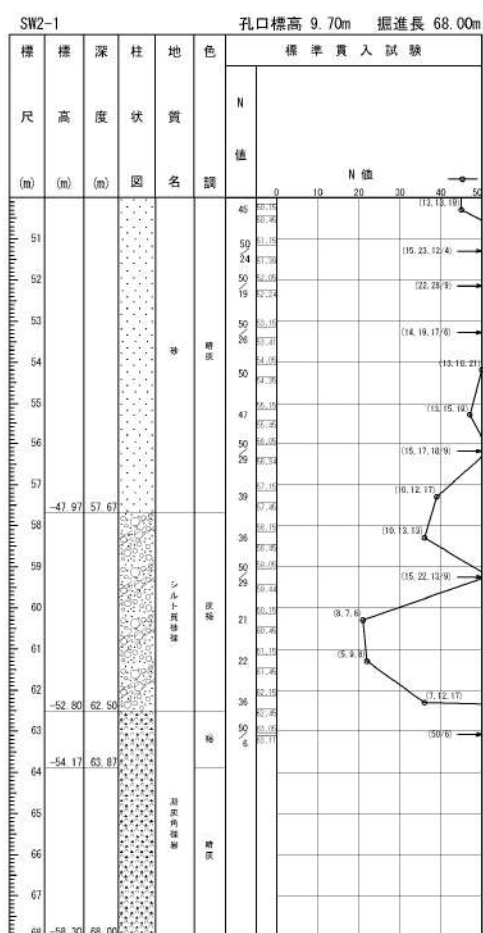
ボーリング平面位置図



添付 1-52 図(2/3) ボーリング柱状図・コア写真 (SW2-1)



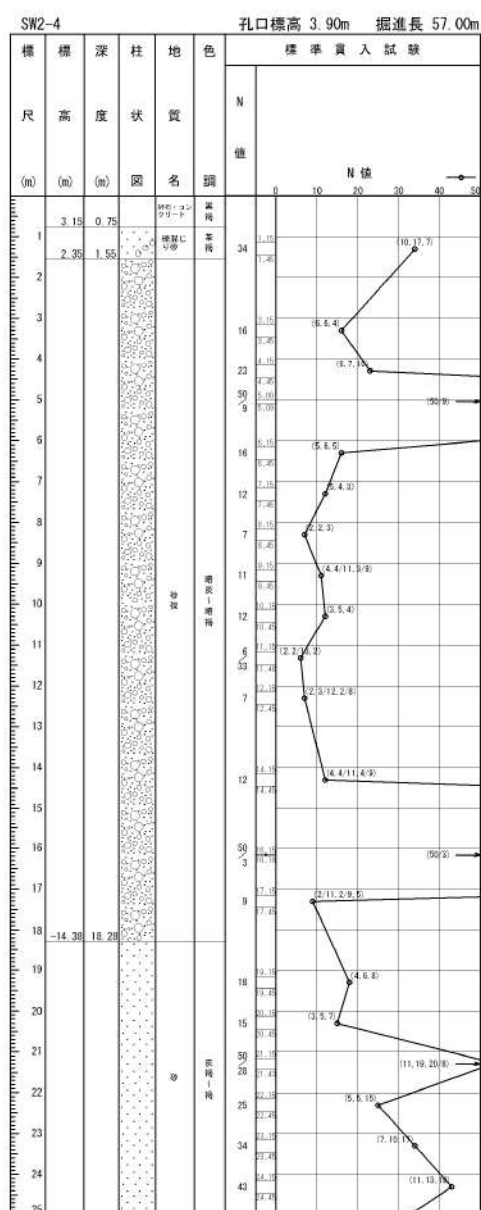
ボーリング平面位置図



添付 1-52 図(3/3) ボーリング柱状図・コア写真 (SW2-1)



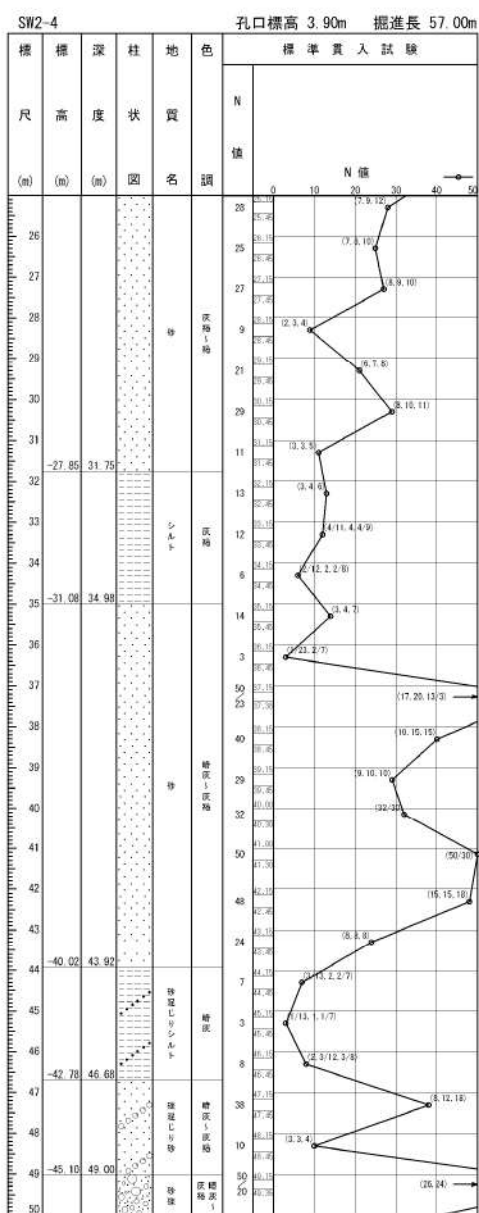
ボーリング平面位置図



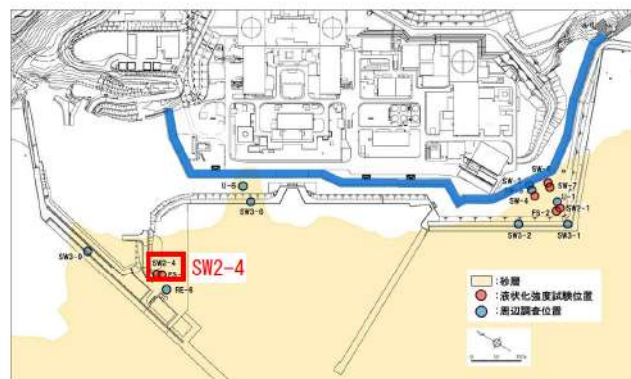
添付 1-53 図(1/3) ボーリング柱状図・コア写真 (SW2-4)



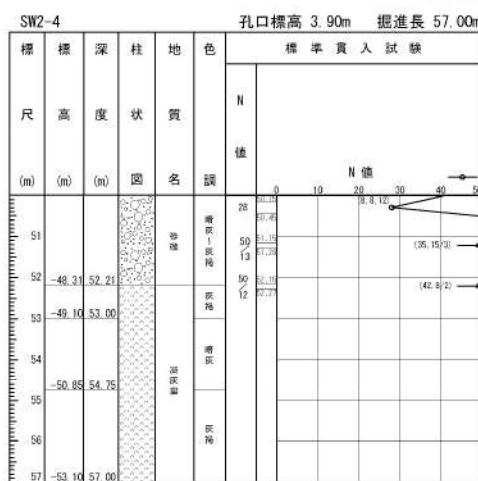
ボーリング平面位置図



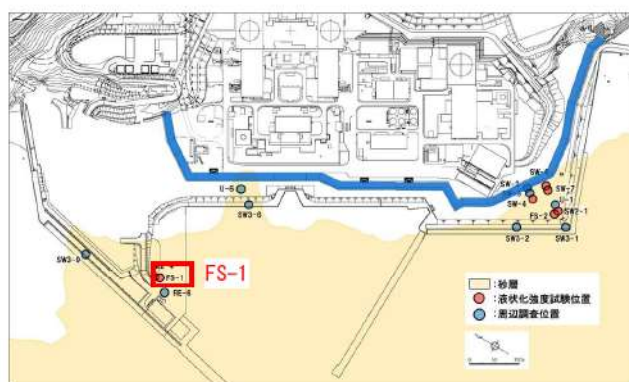
添付 1-53 図(2/3) ボーリング柱状図・コア写真 (SW2-4)



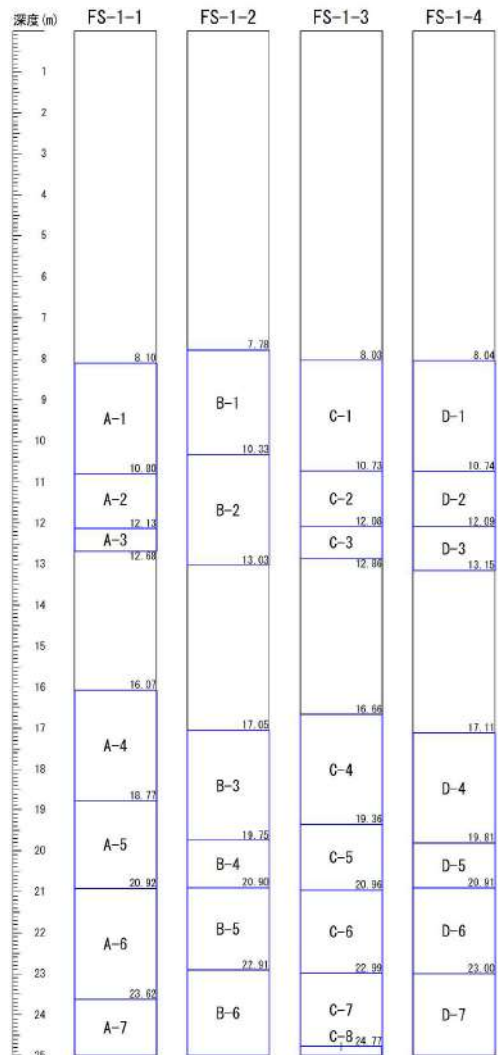
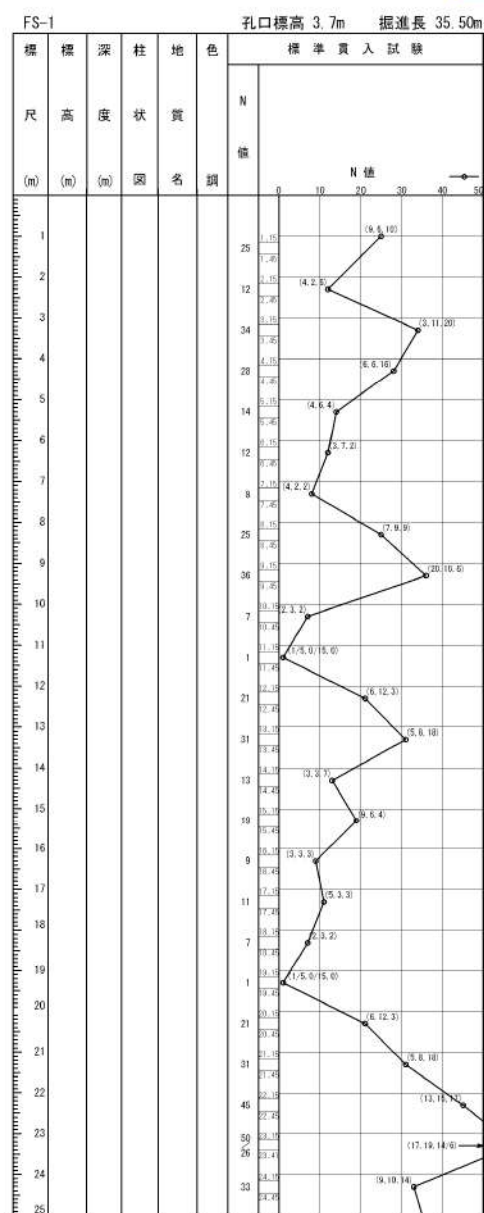
ボーリング平面位置図



添付 1-53 図(3/3) ボーリング柱状図・コア写真 (SW2-4)



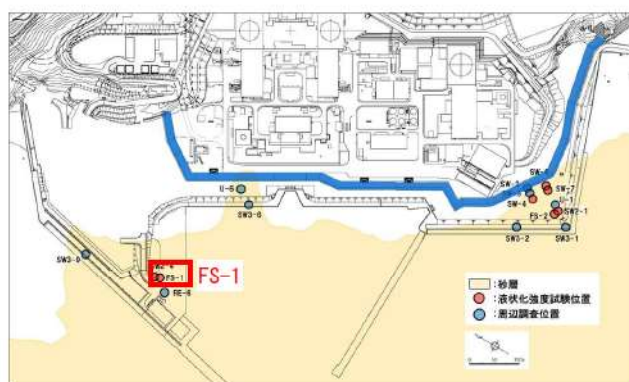
ボーリング平面位置図



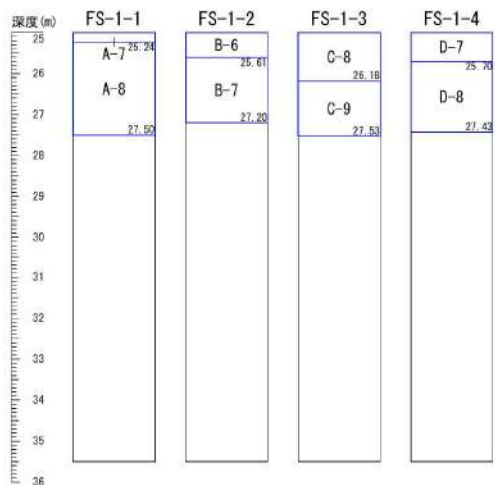
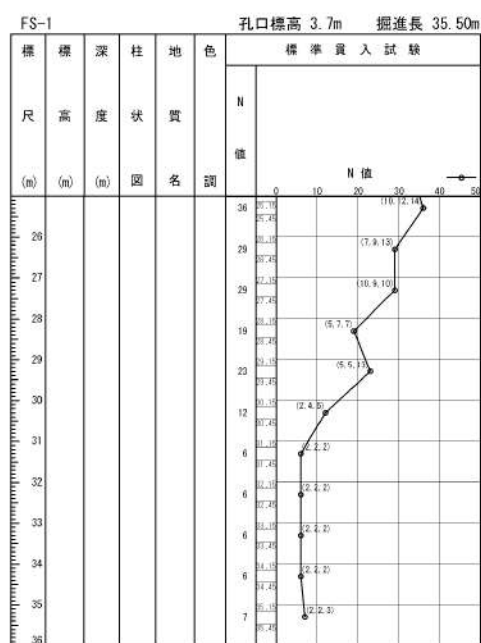
※FS-1 は標準貫入試験のみ実施

□ : サンプリング位置

添付 1-54 図(1/10) ボーリング柱状図・コア写真 (FS-1)



ボーリング平面位置図



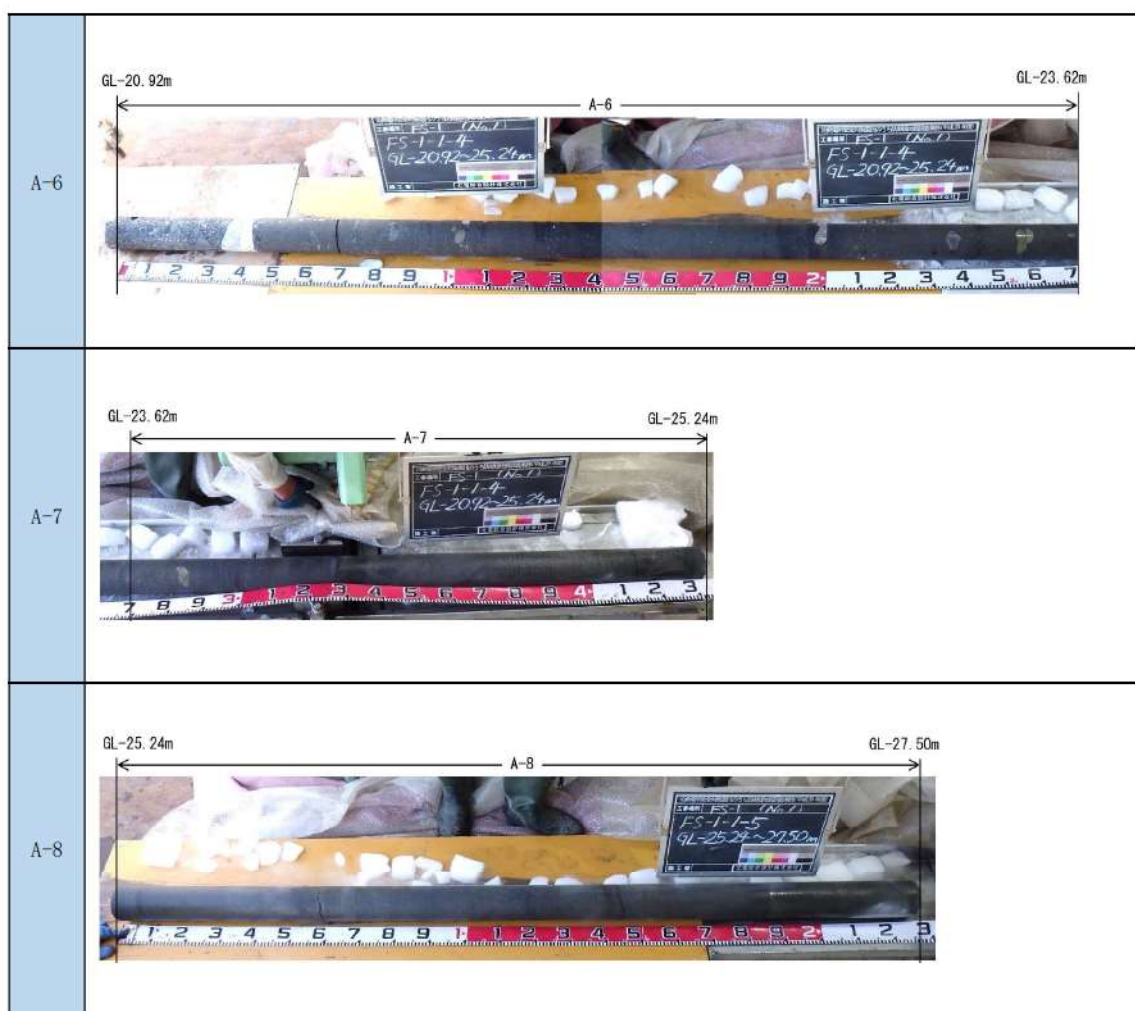
※FS-1 は標準貫入試験のみ実施

□ : サンプリング位置

添付 1-54 図(2/10) ボーリング柱状図・コア写真 (FS-1)



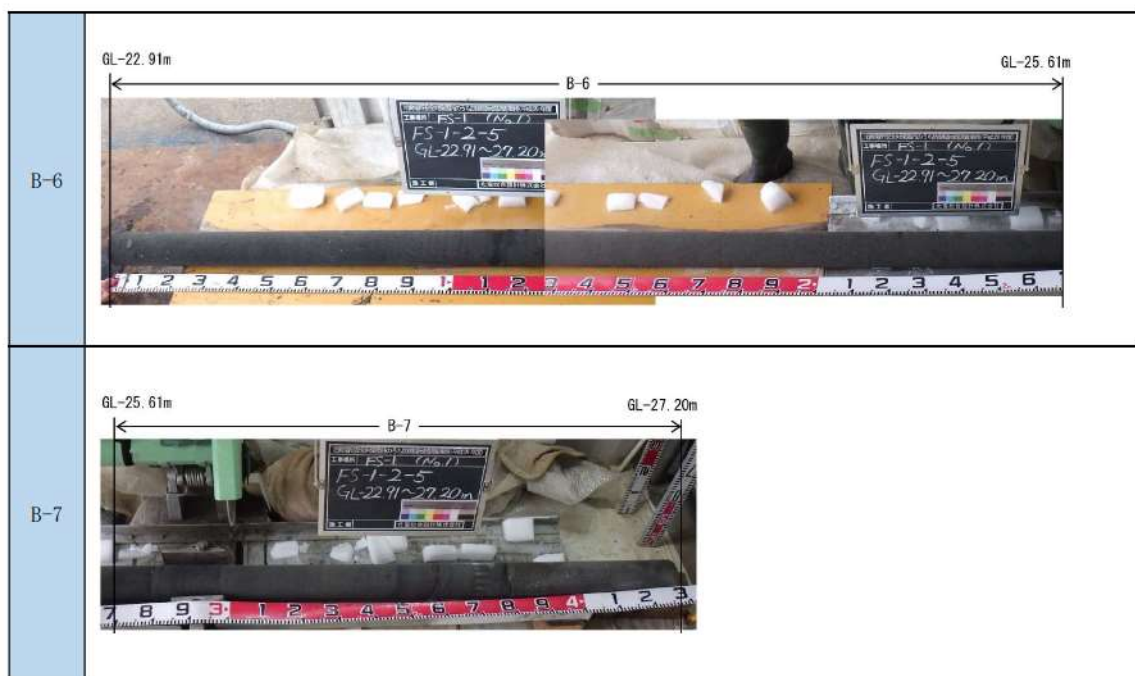
添付 1-54 図(3/10) ボーリング柱状図・コア写真 (FS-1)



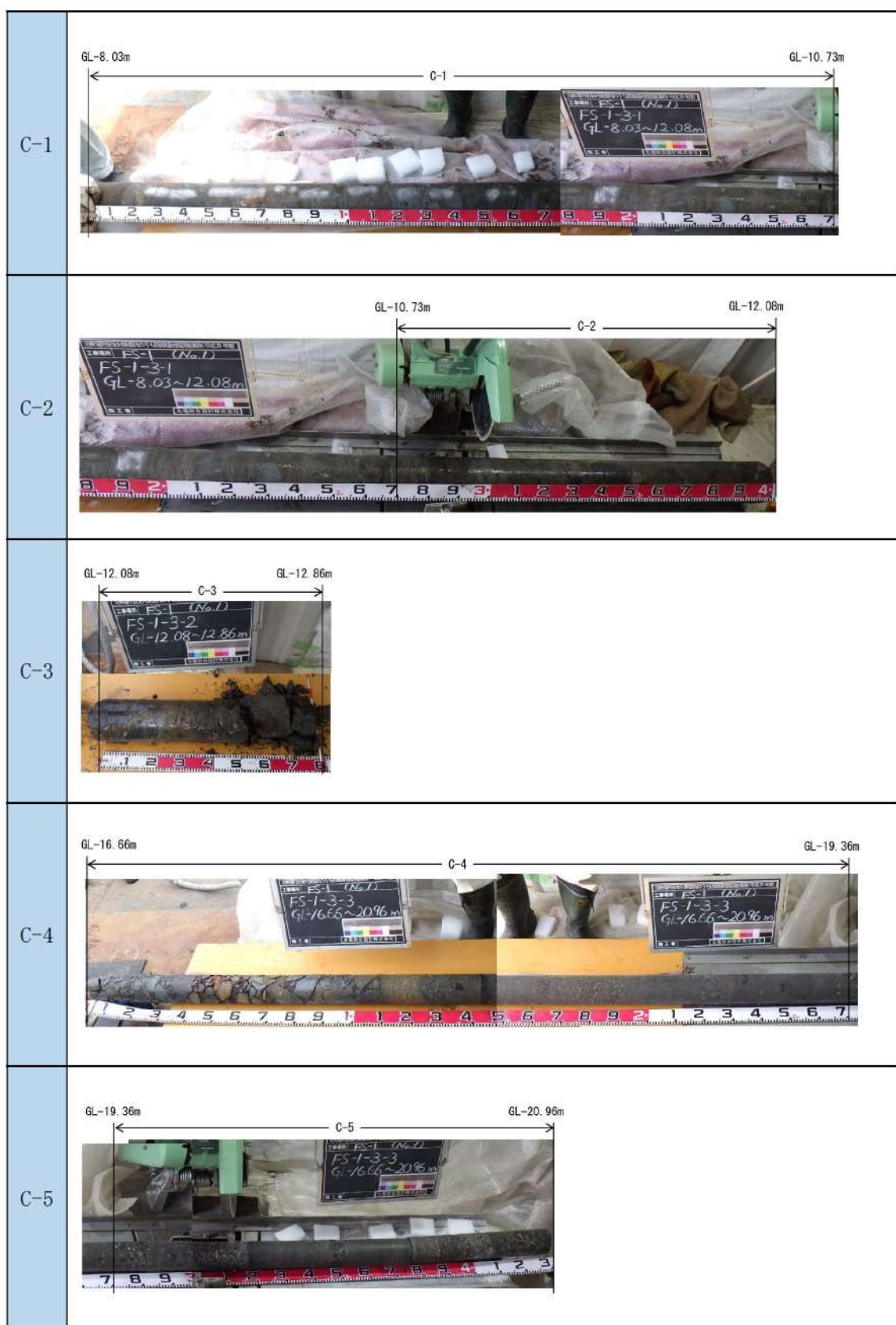
添付 1-54 図(4/10) ポーリング柱状図・コア写真 (FS-1)

B-1	GL-7.78m 	GL-10.33m
B-2	GL-10.33m 	GL-13.03m
B-3	GL-17.05m 	GL-19.75m
B-4	GL-19.75m 	GL-20.90m
B-5	GL-20.90m 	GL-22.91m

添付 1-54 図(5/10) ポーリング柱状図・コア写真 (FS-1)



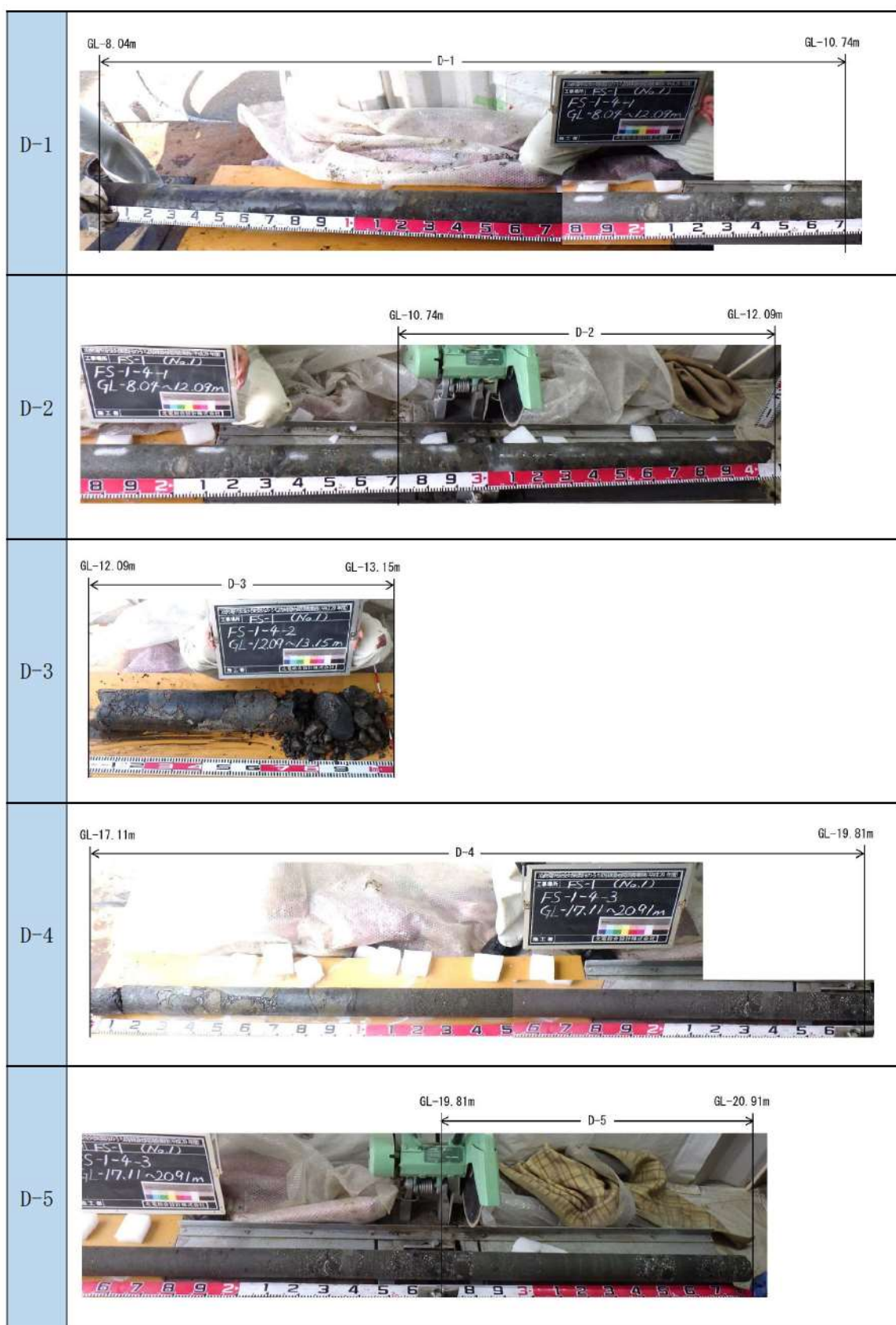
添付 1-54 図(6/10) ボーリング柱状図・コア写真 (FS-1)



添付 1-54 図(7/10) ポーリング柱状図・コア写真 (FS-1)

C-6	 <p>GL-20.96m C-6 GL-22.99m</p> <p>FS-1-3-4 GL-20.96~22.99m</p>
C-7	 <p>GL-22.99m C-7 GL-24.77m</p> <p>FS-1-3-5 GL-22.99~24.77m</p>
C-8	 <p>GL-24.77m C-8 GL-26.18m</p> <p>FS-1-3-6 GL-24.77~26.18m</p>
C-9	 <p>GL-26.18m C-9 GL-27.53m</p> <p>FS-1-3-7 GL-26.18~27.53m</p>

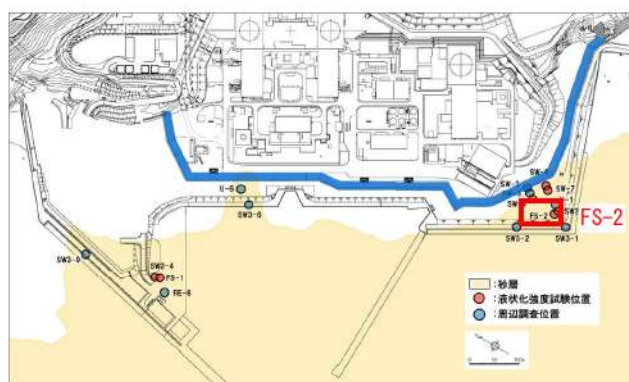
添付 1-54 図(8/10) ポーリング柱状図・コア写真 (FS-1)



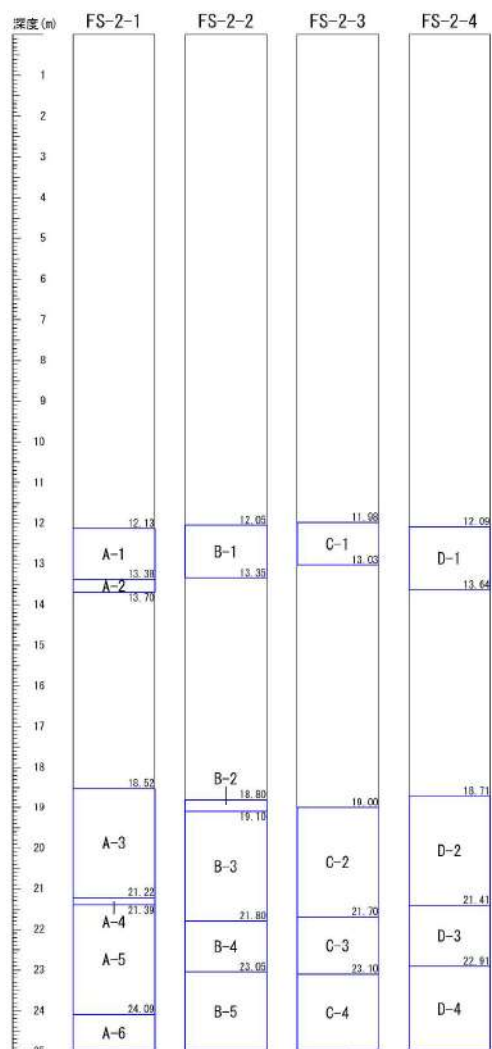
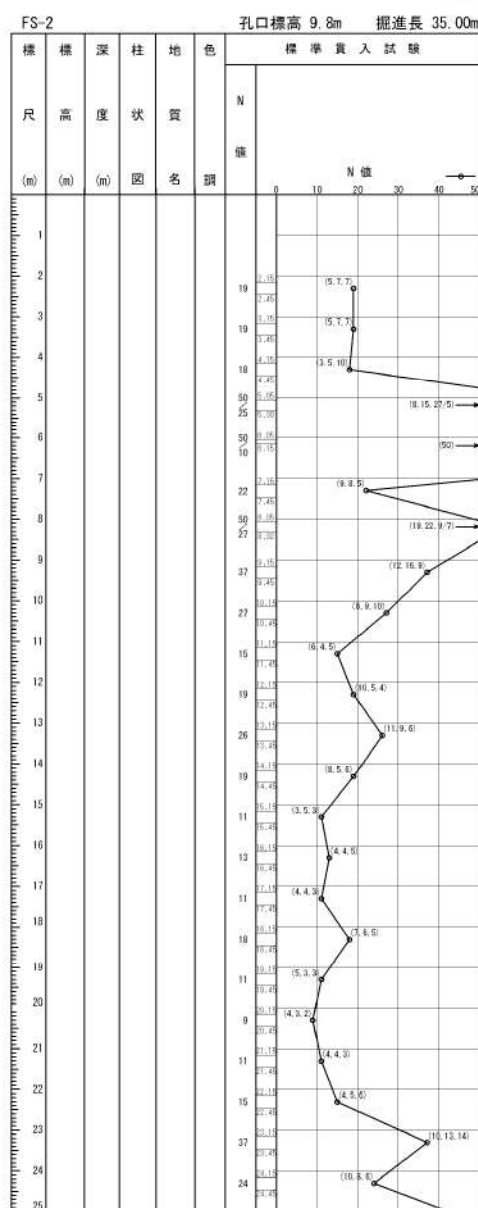
添付 1-54 図(9/10) ボーリング柱状図・コア写真 (FS-1)

D-6	<p>GL-20.91m ← D-6 → GL-23.00m</p> <p>FS-1-4-3 GL-20.91~23.00m</p>
D-7	<p>GL-23.00m ← D-7 → GL-25.70m</p> <p>FS-1-4-5 GL-23.00~27.93m</p> <p>FS-1-4-5 GL-23.00~27.93m</p>
D-8	<p>GL-25.70m ← D-8 → GL-27.43m</p> <p>FS-1-4-5 GL-23.00~27.93m</p>

添付 1-54 図(10/10) ポーリング柱状図・コア写真 (FS-1)



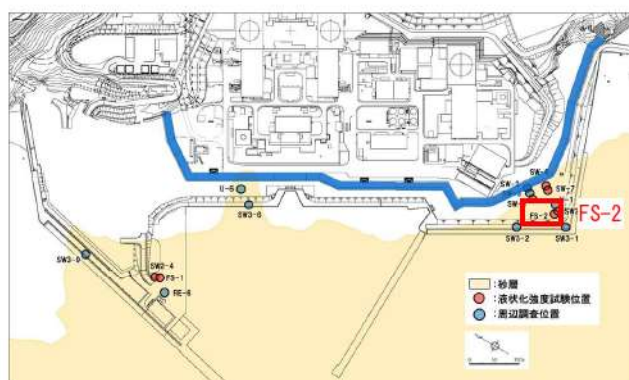
ボーリング平面位置図



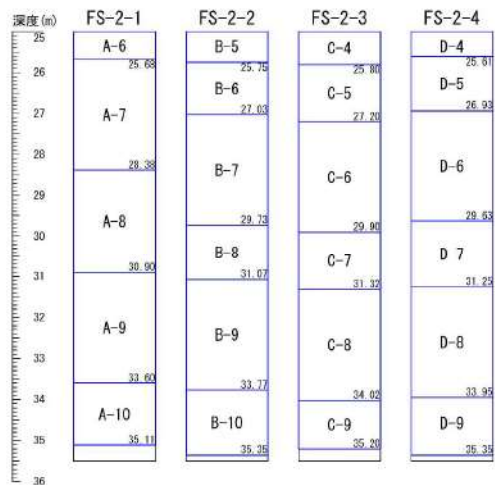
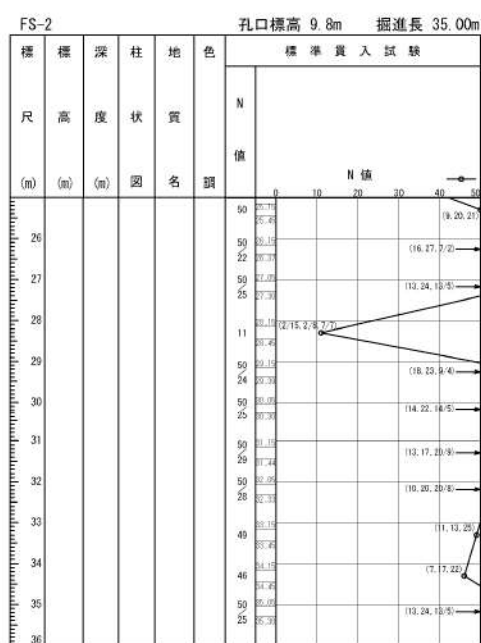
※FS-2 は標準貫入試験のみ実施

□ : サンプリング位置

添付 1-55 図(1/10) ボーリング柱状図・コア写真 (FS-2)



ボーリング平面位置図



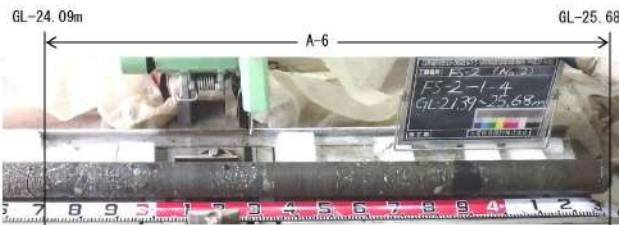
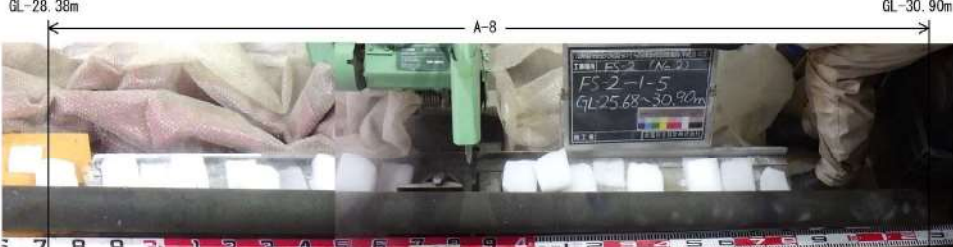
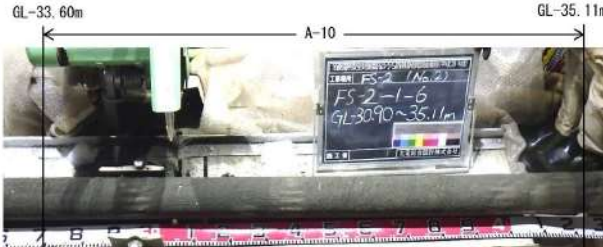
※FS-2 は標準貫入試験のみ実施

□ : サンプリング位置

添付 1-55 図(2/10) ボーリング柱状図・コア写真 (FS-2)

A-1	<p>GL-12. 13m GL-13. 38m A-1</p> <p>井名: FS-2 (No.2) 孔名: FS-2-1-1 GL-12.13~13.38m</p>
A-2	<p>GL-13. 38m GL-13. 70m A-2</p> <p>井名: FS-2 (No.2) 孔名: FS-2-1-2 GL-13.38~13.70m</p>
A-3	<p>GL-18. 52m GL-21. 22m A-3</p> <p>井名: FS-2 (No.2) 孔名: FS-2-1-3 GL-8.52~21.39m</p>
A-4	<p>GL-21. 22m GL-21. 39m A-4</p> <p>井名: FS-2 (No.2) 孔名: FS-2-1-3 GL-8.52~21.39m</p>
A-5	<p>GL-21. 39m GL-24. 09m A-5</p> <p>井名: FS-2 (No.2) 孔名: FS-2-1-4 GL-21.39~25.68m</p>

添付 1-55 図(3/10) ボーリング柱状図・コア写真 (FS-2)

A-6	GL-24.09m A-6  GL-25.68m
A-7	GL-25.68m A-7  GL-28.38m
A-8	GL-28.38m A-8  GL-30.90m
A-9	GL-30.90m A-9  GL-33.60m
A-10	GL-33.60m A-10  GL-35.11m

添付 1-55 図(4/10) ボーリング柱状図・コア写真 (FS-2)

B-1	<p>GL-12.05m GL-13.35m B-1</p> <p>FS 2-2-1 GL-12.05~13.35m</p>
B-2	<p>GL-18.80m GL-19.10m B-2</p> <p>FS 2-2 GL-18.80~19.10m</p>
B-3	<p>GL-19.10m GL-21.80m B-3</p> <p>FS 2-2-3 GL-19.10~21.80m</p>
B-4	<p>GL-21.80m GL-23.05m B-4</p> <p>FS 2-2-3 GL-21.80~23.05m</p>
B-5	<p>GL-23.05m GL-25.75m B-5</p> <p>FS 2-2-4 GL-23.05~25.75m</p>

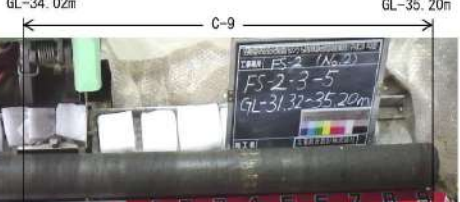
添付 1-55 図(5/10) ボーリング柱状図・コア写真 (FS-2)

B-6	<p>GL-25.75m GL-27.03m</p> <p>B-6</p>
B-7	<p>GL-27.03m GL-29.73m</p> <p>B-7</p>
B-8	<p>GL-29.73m GL-31.07m</p> <p>B-8</p>
B-9	<p>GL-31.07m GL-33.77m</p> <p>B-9</p>
B-10	<p>GL-33.77m GL-35.35m</p> <p>B-10</p>

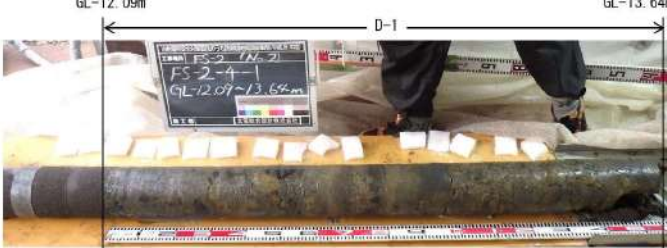
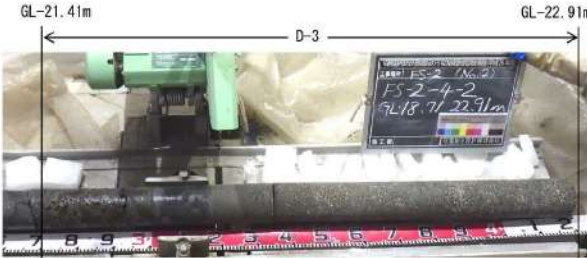
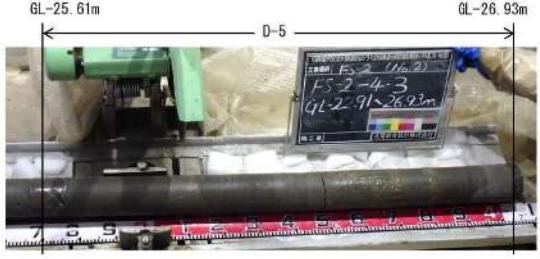
添付 1-55 図(6/10) ポーリング柱状図・コア写真 (FS-2)

C-1	GL-11. 98m C-1 GL-13. 03m	
C-2	GL-19. 00m C-2 GL-21. 70m	
C-3	GL-21. 70m C-3 GL-23. 10m	
C-4	GL-23. 10m C-4 GL-25. 80m	
C-5	GL-25. 80m C-5 GL-27. 20m	

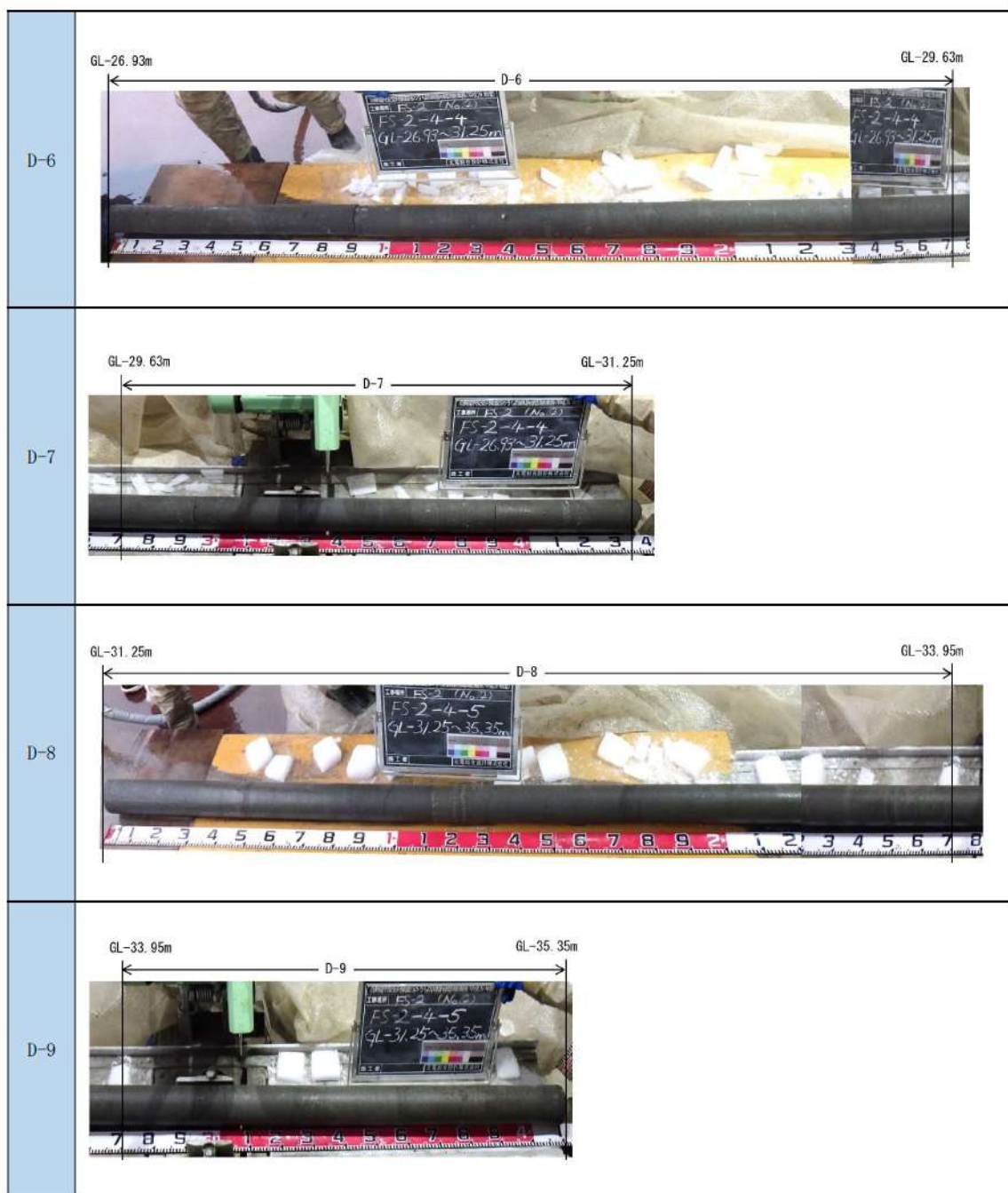
添付 1-55 図(7/10) ボーリング柱状図・コア写真 (FS-2)

C-6	GL-27.20m C-6 	GL-29.90m
C-7	GL-29.90m C-7 	GL-31.32m
C-8	GL-31.32m C-8 	GL-34.02m
C-9	GL-34.02m C-9 	GL-35.20m

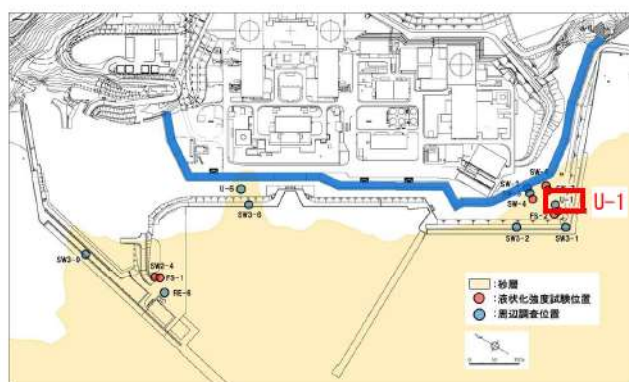
添付 1-55 図(8/10) ポーリング柱状図・コア写真 (FS-2)

D-1	 GL-12. 09m ← D-1 → GL-13. 64m A photograph of a core sample labeled D-1. The core is a long, dark cylindrical tube resting on a wooden board. A white ruler is placed horizontally below it. A black chalkboard sign in front of the core reads: FS 2-4-1, GL-12.09~13.64m. A color calibration card is also visible.
D-2	 GL-18. 71m ← D-2 → GL-21. 41m A photograph of a core sample labeled D-2. The core is a long, dark cylindrical tube resting on a wooden board. A white ruler is placed horizontally below it. A black chalkboard sign in front of the core reads: FS 2-4-2, GL-18.71~21.41m. A color calibration card is also visible.
D-3	 GL-21. 41m ← D-3 → GL-22. 91m A photograph of a core sample labeled D-3. The core is a long, dark cylindrical tube resting on a wooden board. A white ruler is placed horizontally below it. A black chalkboard sign in front of the core reads: FS 2-4-2, GL-18.71~22.91m. A color calibration card is also visible.
D-4	 GL-22. 91m ← D-4 → GL-25. 61m A photograph of a core sample labeled D-4. The core is a long, dark cylindrical tube resting on a wooden board. A white ruler is placed horizontally below it. A black chalkboard sign in front of the core reads: FS 2-4-3, GL-22.91~25.61m. A color calibration card is also visible.
D-5	 GL-25. 61m ← D-5 → GL-26. 93m A photograph of a core sample labeled D-5. The core is a long, dark cylindrical tube resting on a wooden board. A white ruler is placed horizontally below it. A black chalkboard sign in front of the core reads: FS 2-4-3, GL-22.91~26.93m. A color calibration card is also visible.

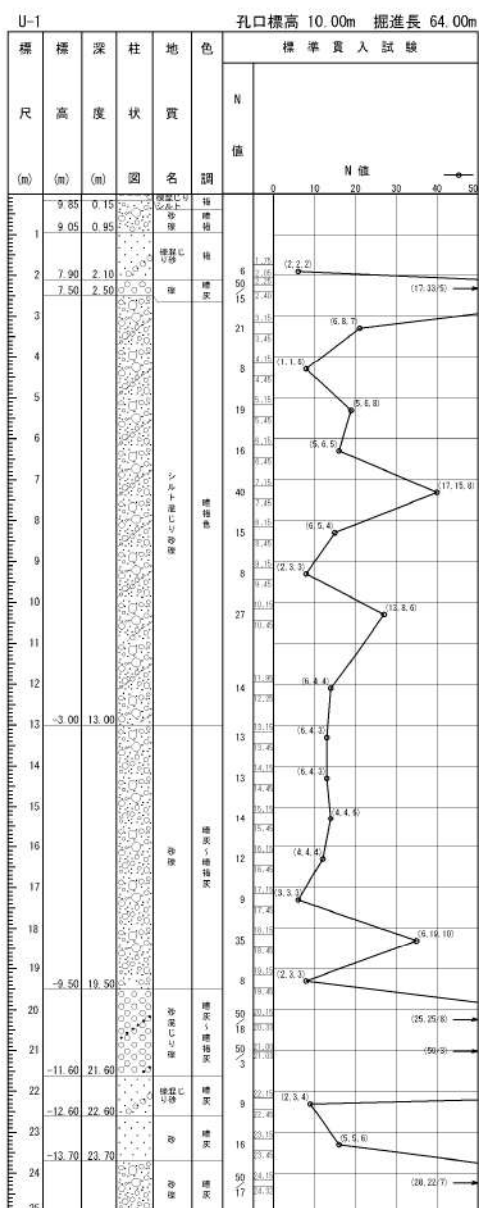
添付 1-55 図(9/10) ボーリング柱状図・コア写真 (FS-2)



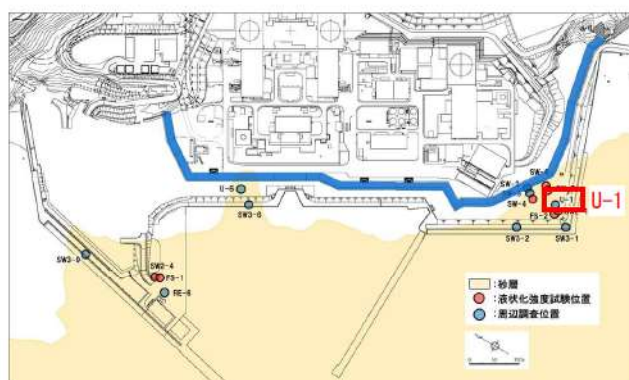
添付 1-55 図(10/10) ポーリング柱状図・コア写真 (FS-2)



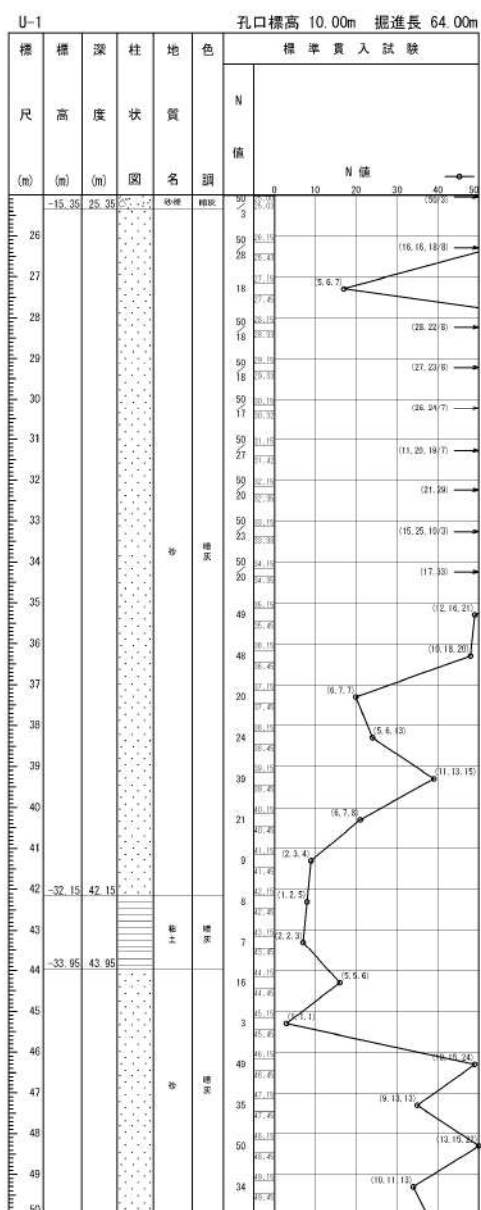
ボーリング平面位置図



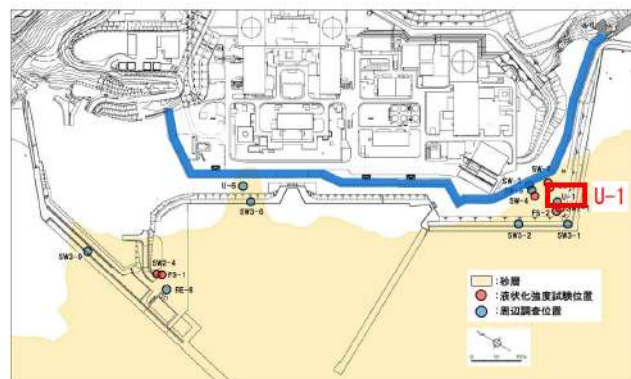
添付 1-56 図(1/3) ボーリング柱状図・コア写真 (U-1)



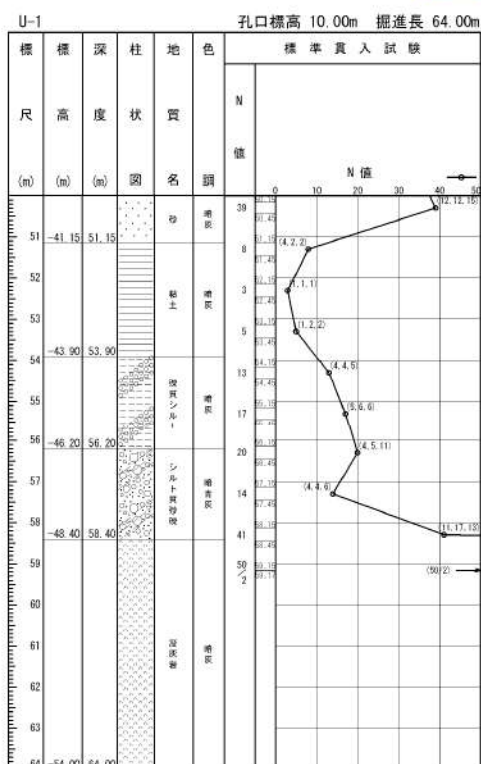
ボーリング平面位置図



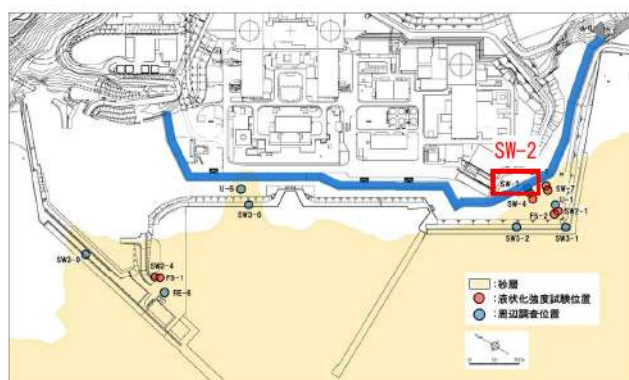
添付 1-56 図(2/3) ボーリング柱状図・コア写真 (U-1)



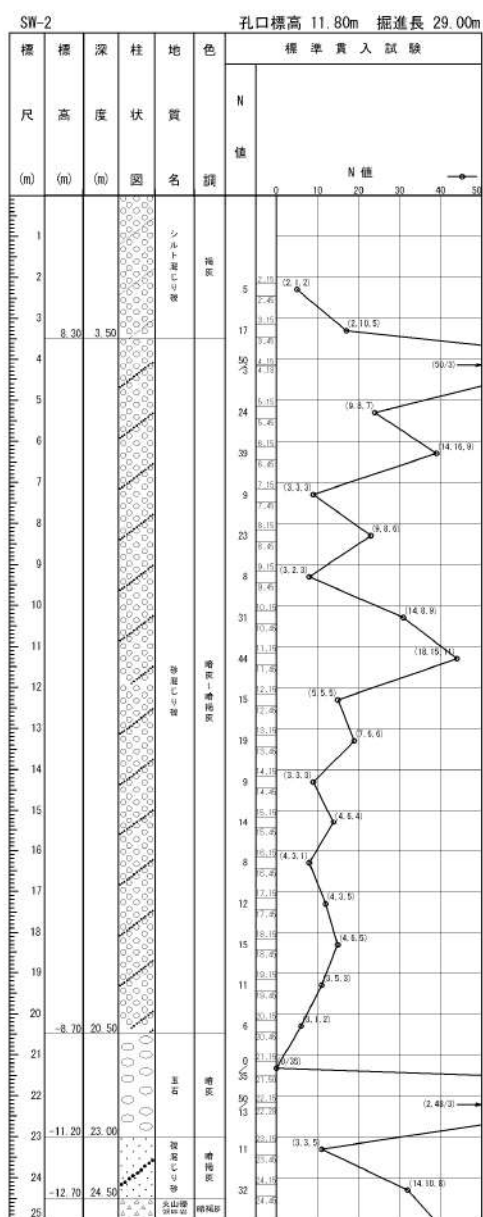
ボーリング平面位置図



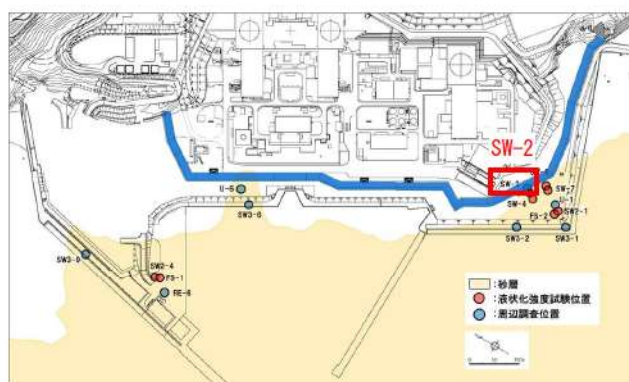
添付 1-56 図(3/3) ボーリング柱状図・コア写真 (U-1)



ボーリング平面位置図



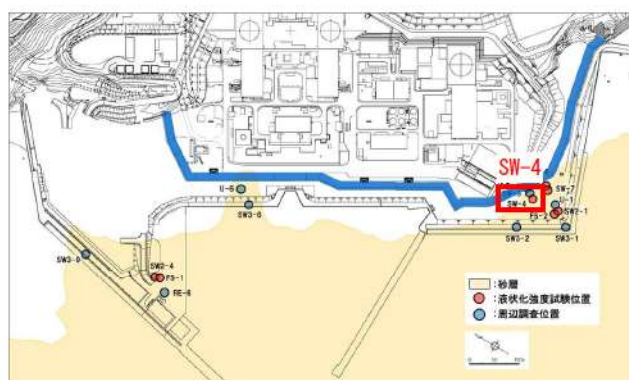
添付 1-57 図(1/2) ボーリング柱状図・コア写真 (SW-2)



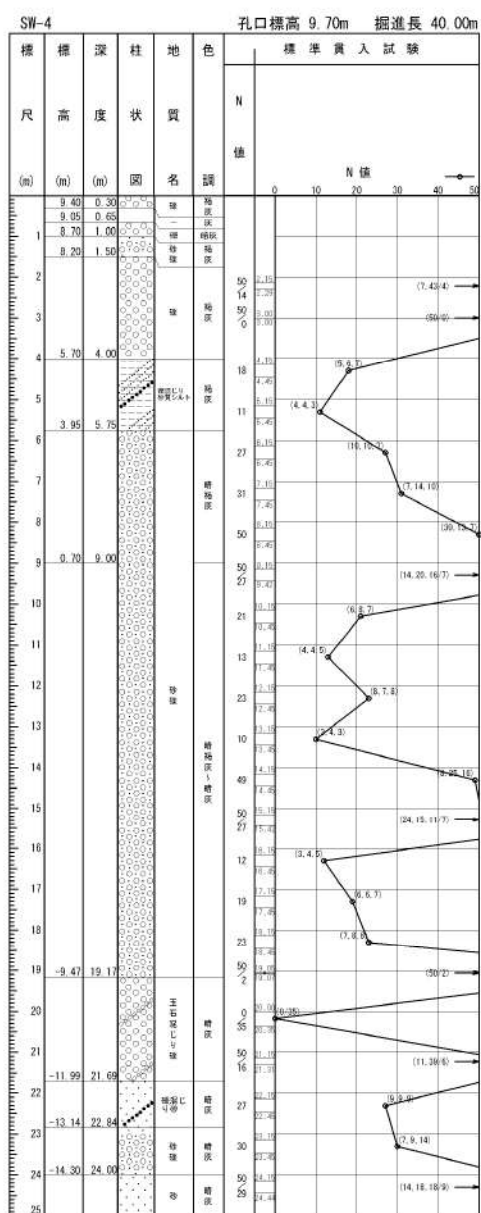
ボーリング平面位置図



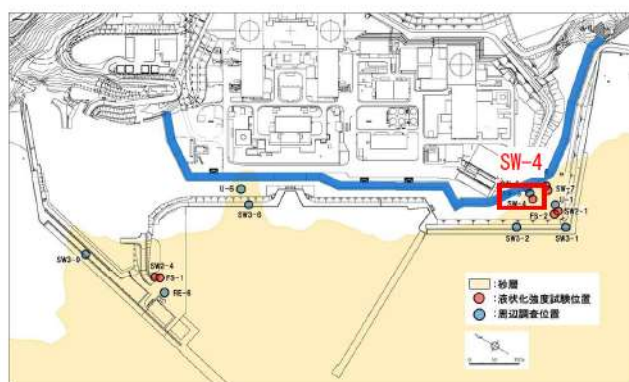
添付 1-57 図(2/2) ボーリング柱状図・コア写真 (SW-2)



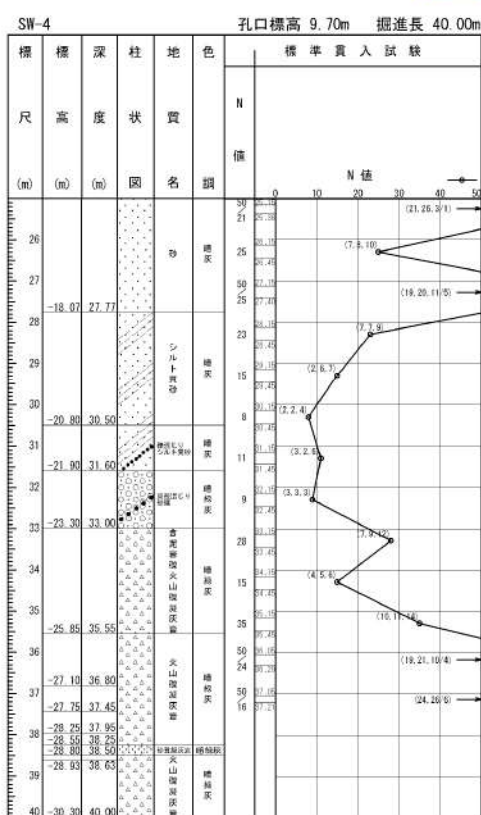
ボーリング平面位置図



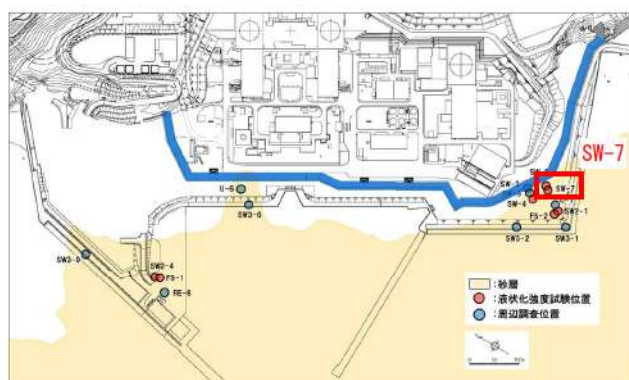
添付 1-58 図(1/2) ボーリング柱状図・コア写真 (SW-4)



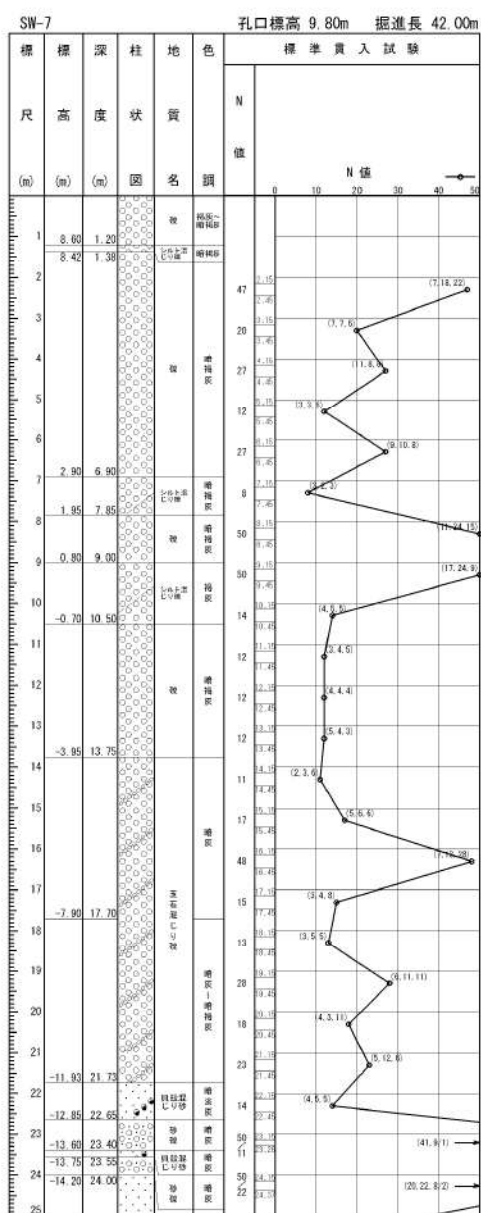
ボーリング平面位置図



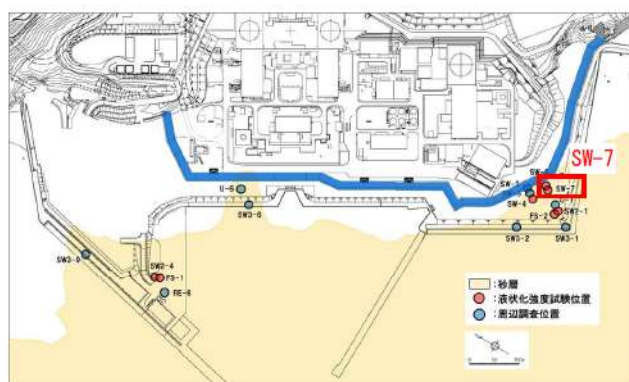
添付 1-58 図(2/2) ボーリング柱状図・コア写真 (SW-4)



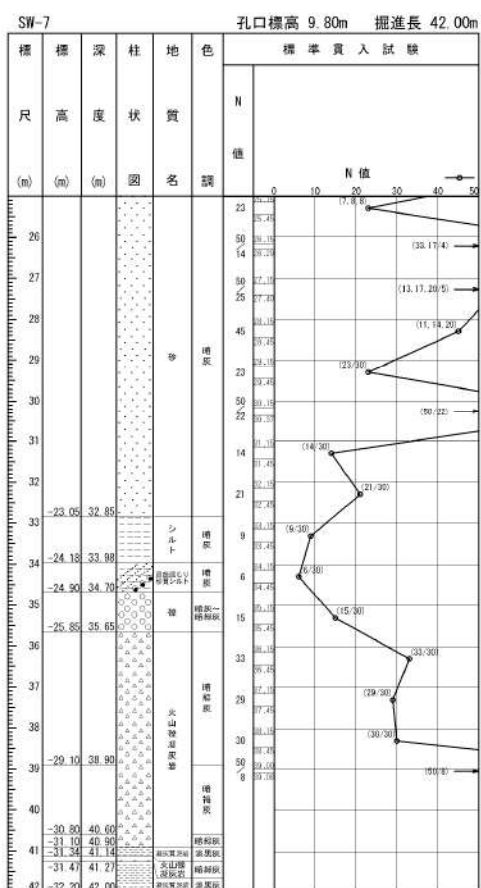
ボーリング平面位置図



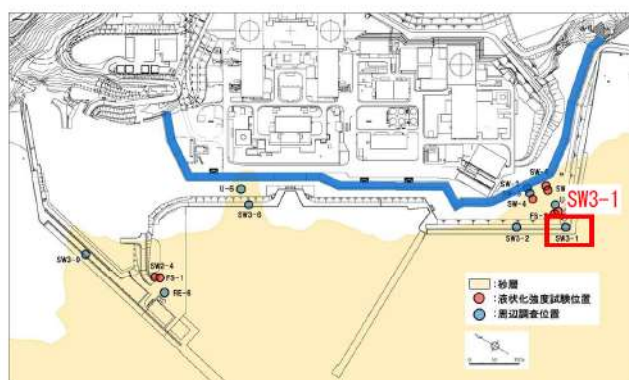
添付 1-59 図(1/2) ボーリング柱状図・コア写真 (SW-7)



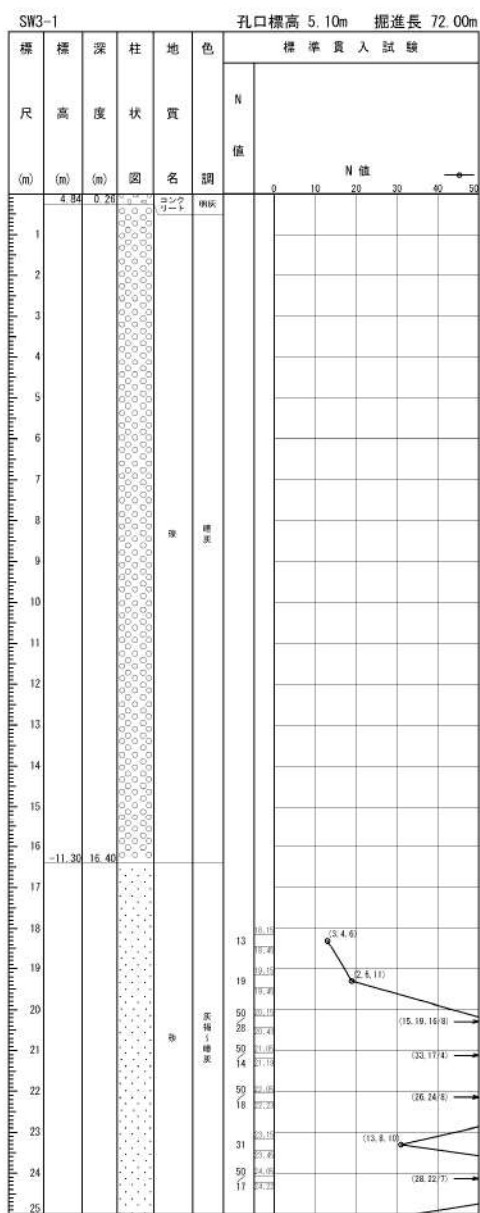
ボーリング平面位置図



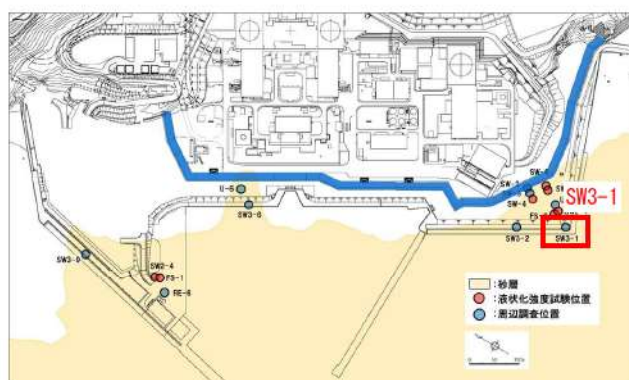
添付 1-59 図 (2/2) ボーリング柱状図・コア写真 (SW-7)



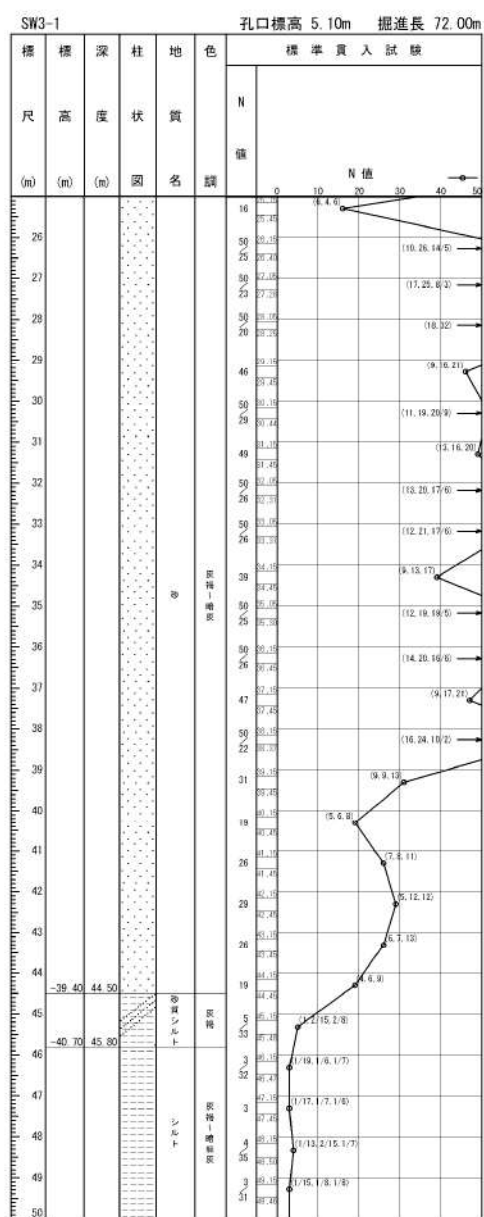
ボーリング平面位置図



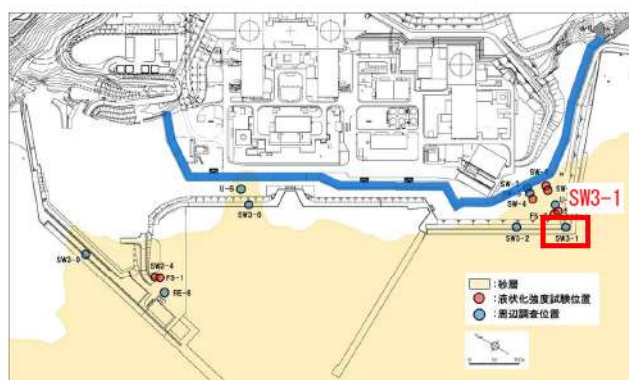
添付 1-60 図(1/3) ボーリング柱状図・コア写真 (SW3-1)



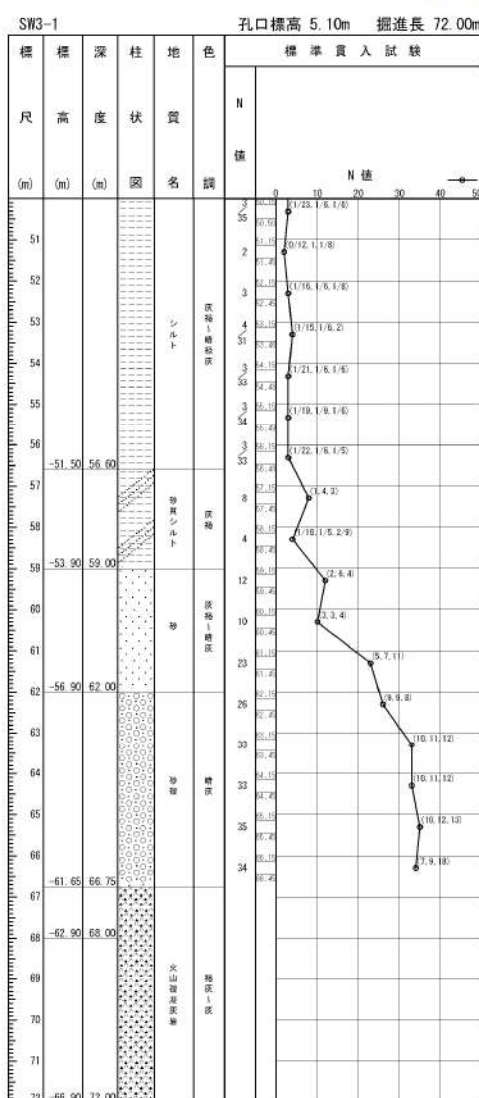
ボーリング平面位置図



添付 1-60 図(2/3) ボーリング柱状図・コア写真 (SW3-1)



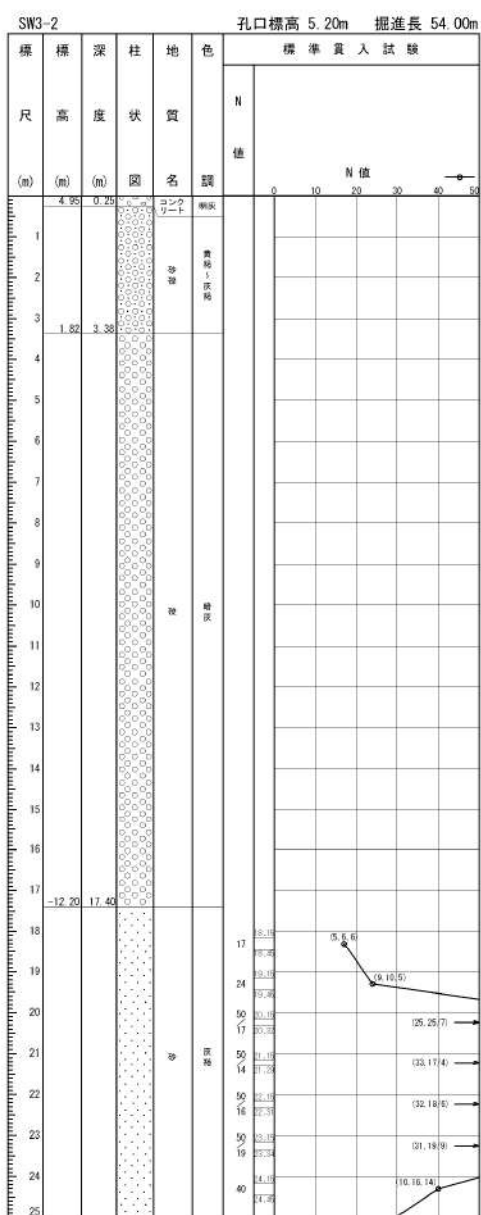
ボーリング平面位置図



添付 1-60 図(3/3) ボーリング柱状図・コア写真 (SW3-1)



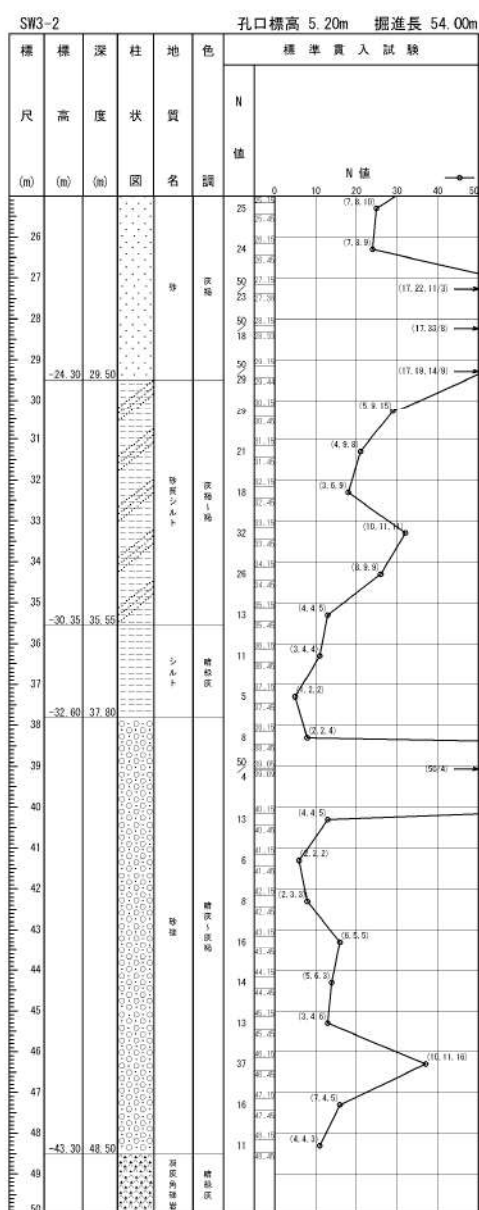
ボーリング平面位置図



添付 1-61 図(1/3) ボーリング柱状図・コア写真 (SW3-2)



ボーリング平面位置図

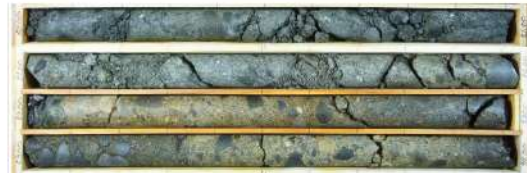


添付 1-61 図(2/3) ボーリング柱状図・コア写真 (SW3-2)

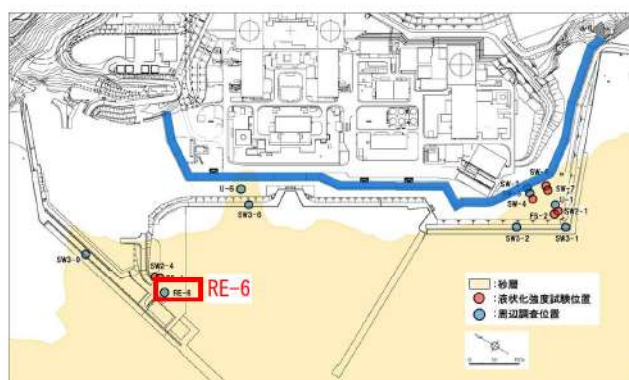


ボーリング平面位置図

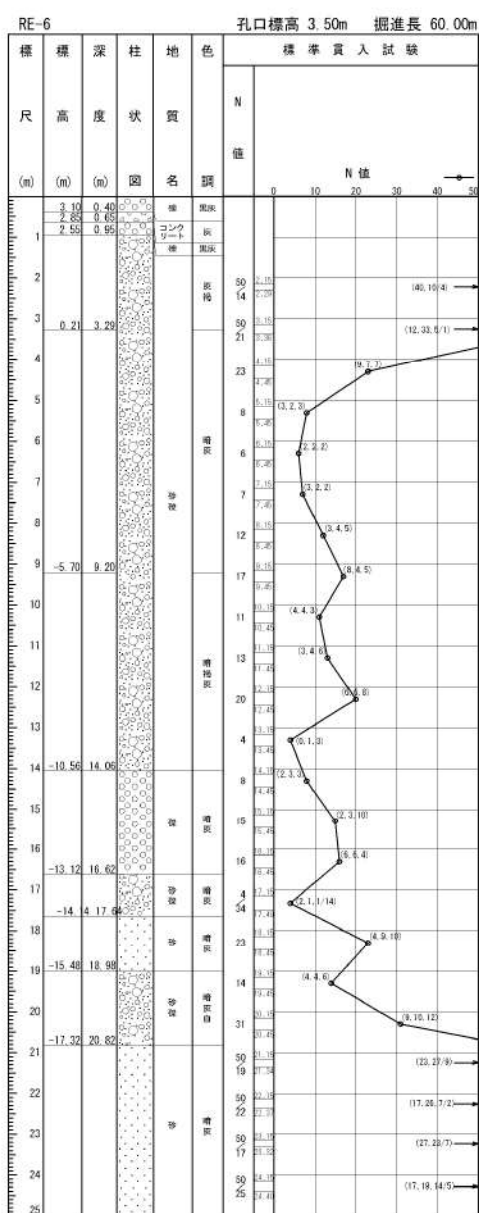
SW3-2						
尺 (m)	標高 (m)	深度 (m)	柱状圖 名	地質 調査	標準貫入試験	
					N 値	N 値
51				透水性 試験		
52	-46.80	52.00	花崗岩 風化裂隙水	透水性 試験		
53						
54	-48.80	54.00				



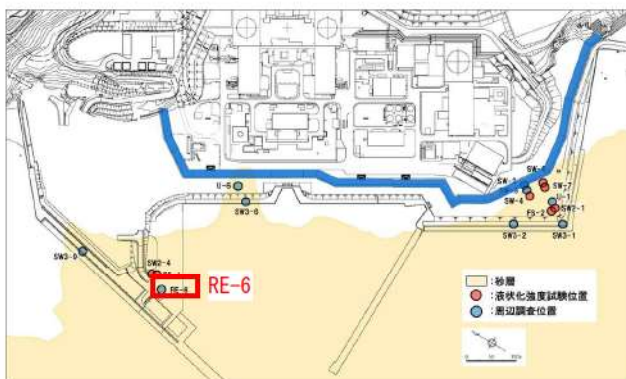
添付 1-61 図(3/3) ボーリング柱状図・コア写真 (SW3-2)



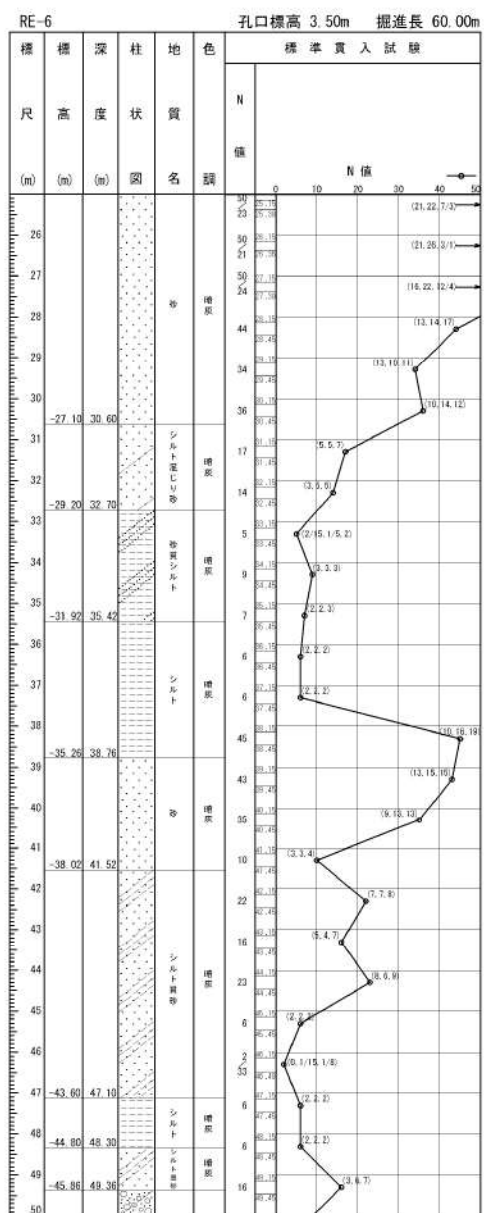
ボーリング平面位置図



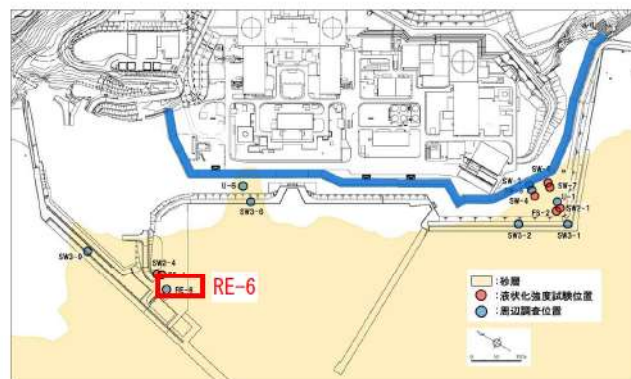
添付 1-62 図(1/3) ボーリング柱状図・コア写真 (RE-6)



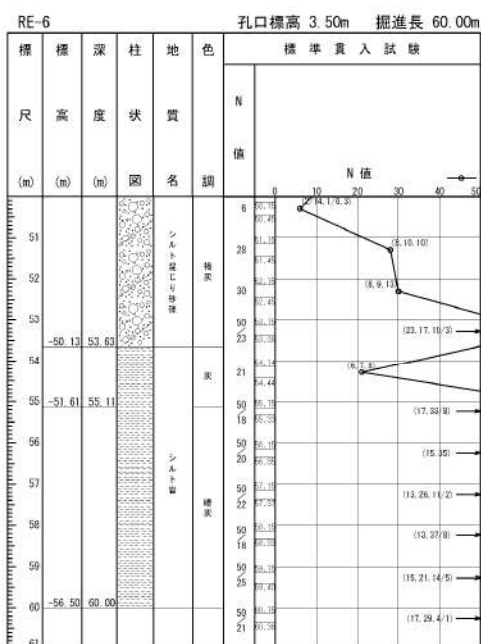
ボーリング平面位置図



添付 1-62 図(2/3) ボーリング柱状図・コア写真 (RE-6)



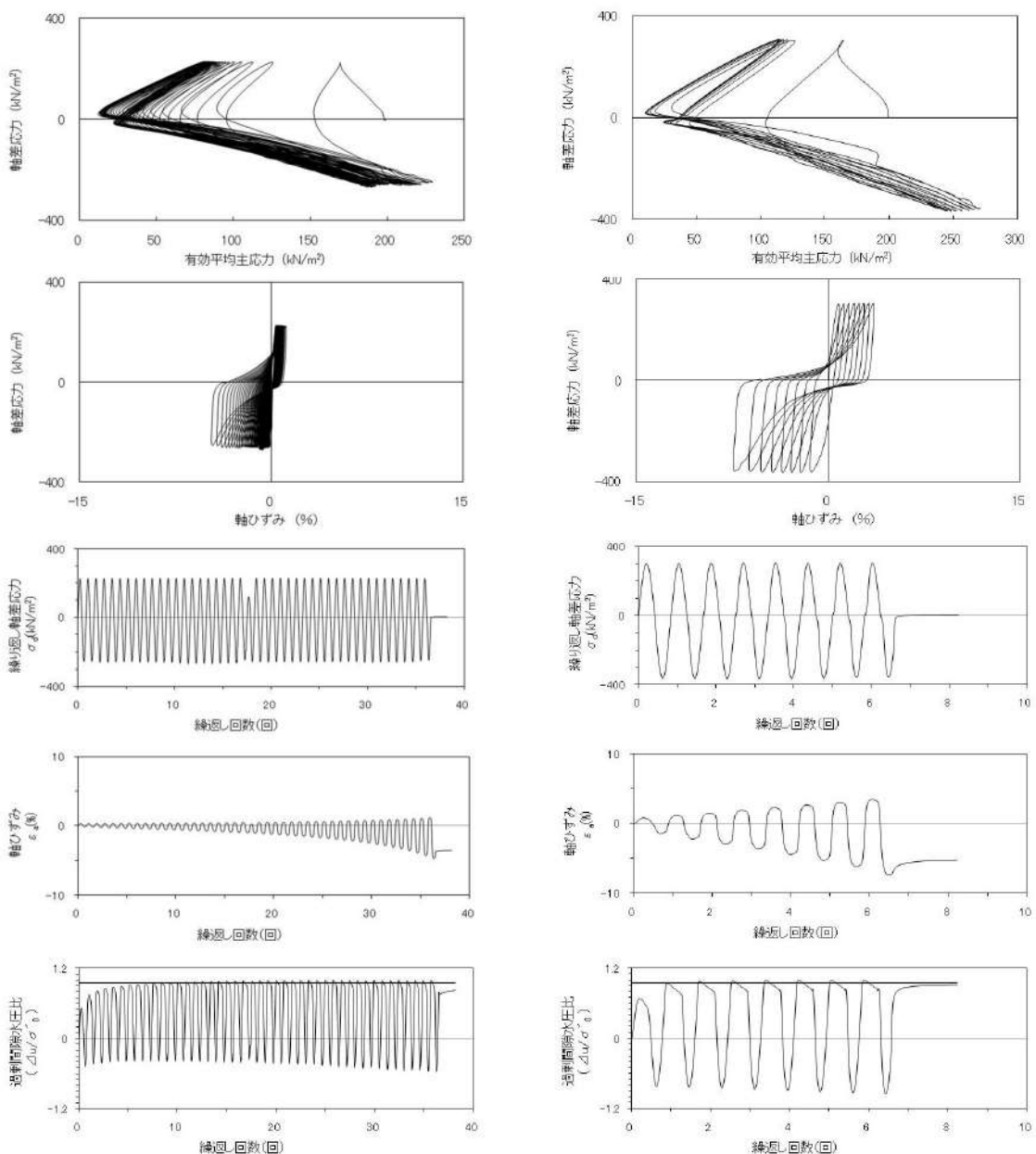
ボーリング平面位置図



添付 1-62 図(3/3) ボーリング柱状図・コア写真 (RE-6)

2. 液状化強度試験結果

(1) 1, 2 号埋戻土の試験データ



試験条件	
供試体	No.16
地表からの深度 (m)	9.90~11.15
有効上載圧 (kN/m ²)	207
圧密応力 σ'_c (kN/m ²)	200
繰返し応力振幅比 $\sigma_d/2\sigma'_0$	0.608
試験結果	液状化の判断
間隙水圧が上昇・蓄積する。 (過剰間隙水圧比95%を超える。)	○
有効応力がゼロまで低下する。	×
液体状となり流動する。 (ひずみが急増する。)	×
正のダイレイタンシー特性により せん断抵抗が作用する。 (有効応力が回復する。)	○

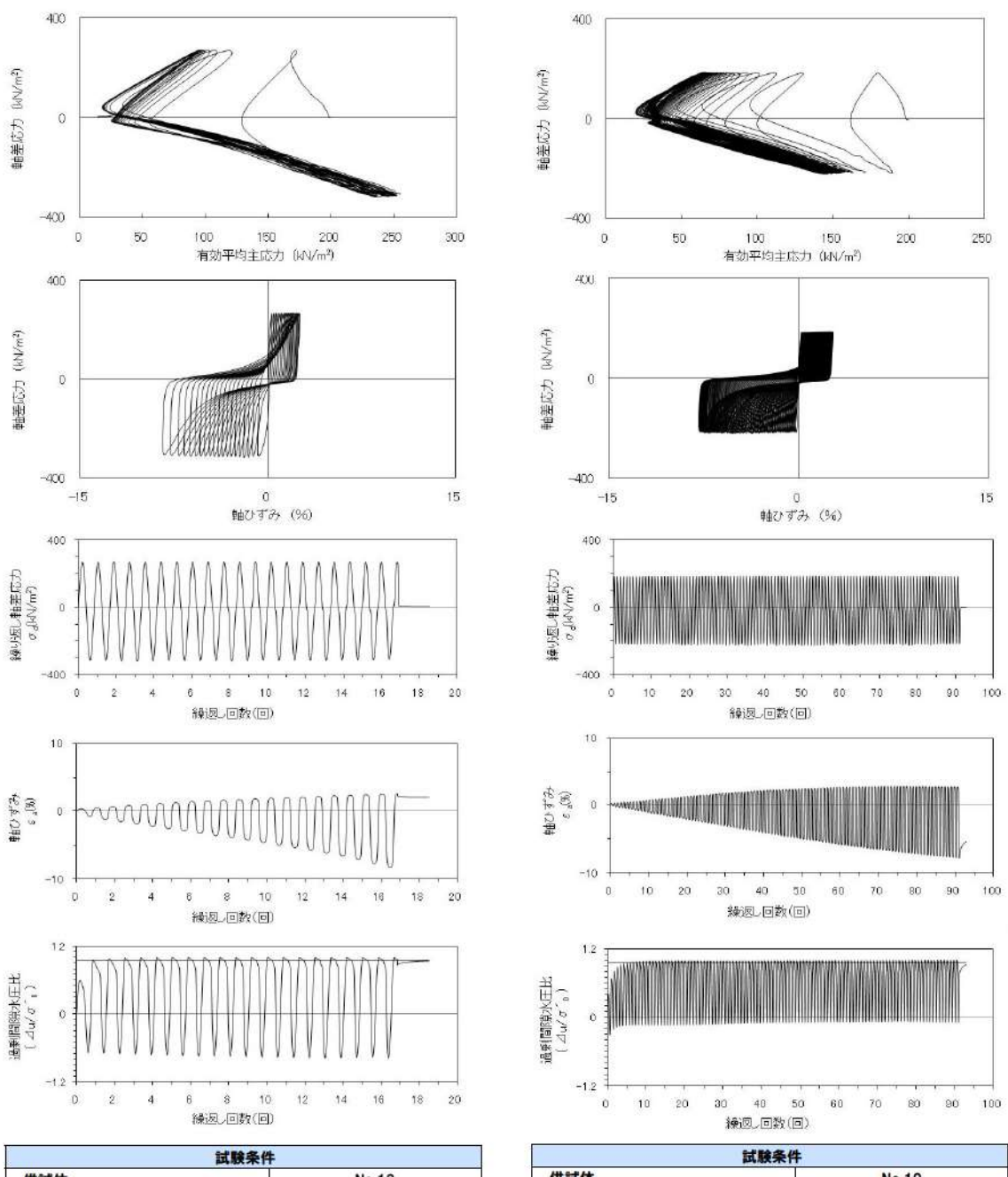
添付 1-63 図 液状化強度試験結果

(SW2-3 試料(供試体 No. 16))

試験条件	
供試体	No.17
地表からの深度 (m)	9.90~11.15
有効上載圧 (kN/m ²)	207
圧密応力 σ'_c (kN/m ²)	200
繰返し応力振幅比 $\sigma_d/2\sigma'_0$	0.836
試験結果	液状化の判断
間隙水圧が上昇・蓄積する。 (過剰間隙水圧比95%を超える。)	○
有効応力がゼロまで低下する。	×
液体状となり流動する。 (ひずみが急増する。)	×
正のダイレイタンシー特性により せん断抵抗が作用する。 (有効応力が回復する。)	○

添付 1-64 図 液状化強度試験結果

(SW2-3 試料(供試体 No. 17))



試験条件	
供試体	No.18
地表からの深度 (m)	9.90~11.15
有効上載圧 (kN/m ²)	207
圧密応力 σ'_c (kN/m ²)	200
繰返し応力振幅比 $\sigma_d/2\sigma'_c$	0.727
試験結果	
間隙水圧が上昇・蓄積する。 (過剰間隙水圧比95%を超える。)	○
有効応力がゼロまで低下する。	×
液体状となり流動する。 (ひすみが急増する。)	×
正のダイレイタンシー特性により せん断抵抗が作用する。 (有効応力が回復する。)	○

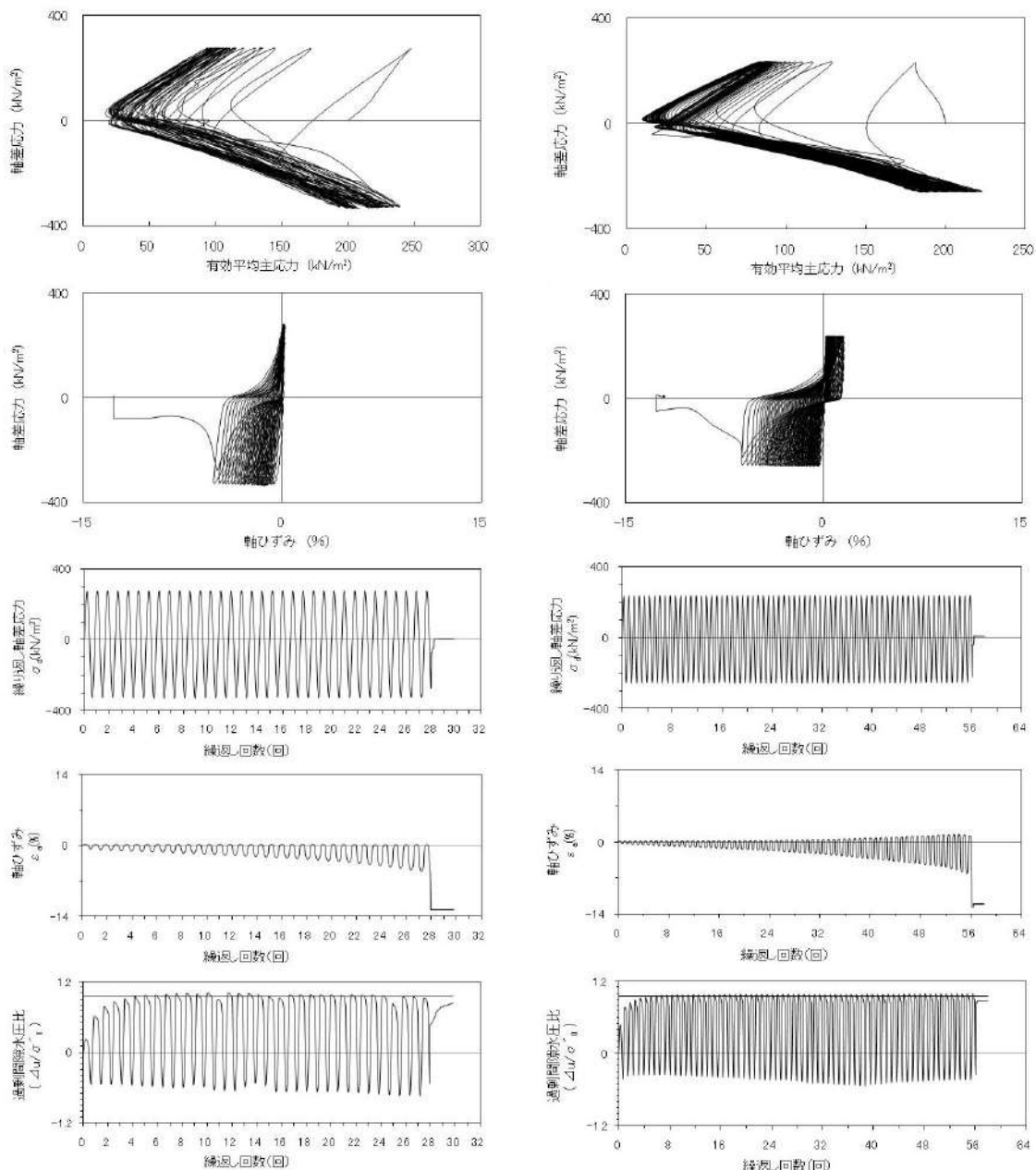
添付 1-65 図 液状化強度試験結果

(SW2-3 試料(供試体 No. 18))

試験条件	
供試体	No.19
地表からの深度 (m)	9.90~11.15
有効上載圧 (kN/m ²)	207
圧密応力 σ'_c (kN/m ²)	200
繰返し応力振幅比 $\sigma_d/2\sigma'_c$	0.501
試験結果	
間隙水圧が上昇・蓄積する。 (過剰間隙水圧比95%を超える。)	○
有効応力がゼロまで低下する。	×
液体状となり流動する。 (ひすみが急増する。)	×
正のダイレイタンシー特性により せん断抵抗が作用する。 (有効応力が回復する。)	○

添付 1-66 図 液状化強度試験結果

(SW2-3 試料(供試体 No. 19))



試験条件	
供試体	No.5
地表からの深度 (m)	3.03~4.45
有効上載圧 (kN/m ²)	74
圧密応力 σ_c^* (kN/m ²)	200
繰返し応力振幅比 $\sigma_d / 2\sigma_{av}^*$	0.759
試験結果	
間隙水圧が上昇・蓄積する。 (過剰間隙水圧比95%を超える。)	○
有効応力がゼロまで低下する。	×
液体状となり流動する。 (ひずみが急増する。)	×
正のダイレイタンシー特性により せん断抵抗が作用する。 (有効応力が回復する。)	○

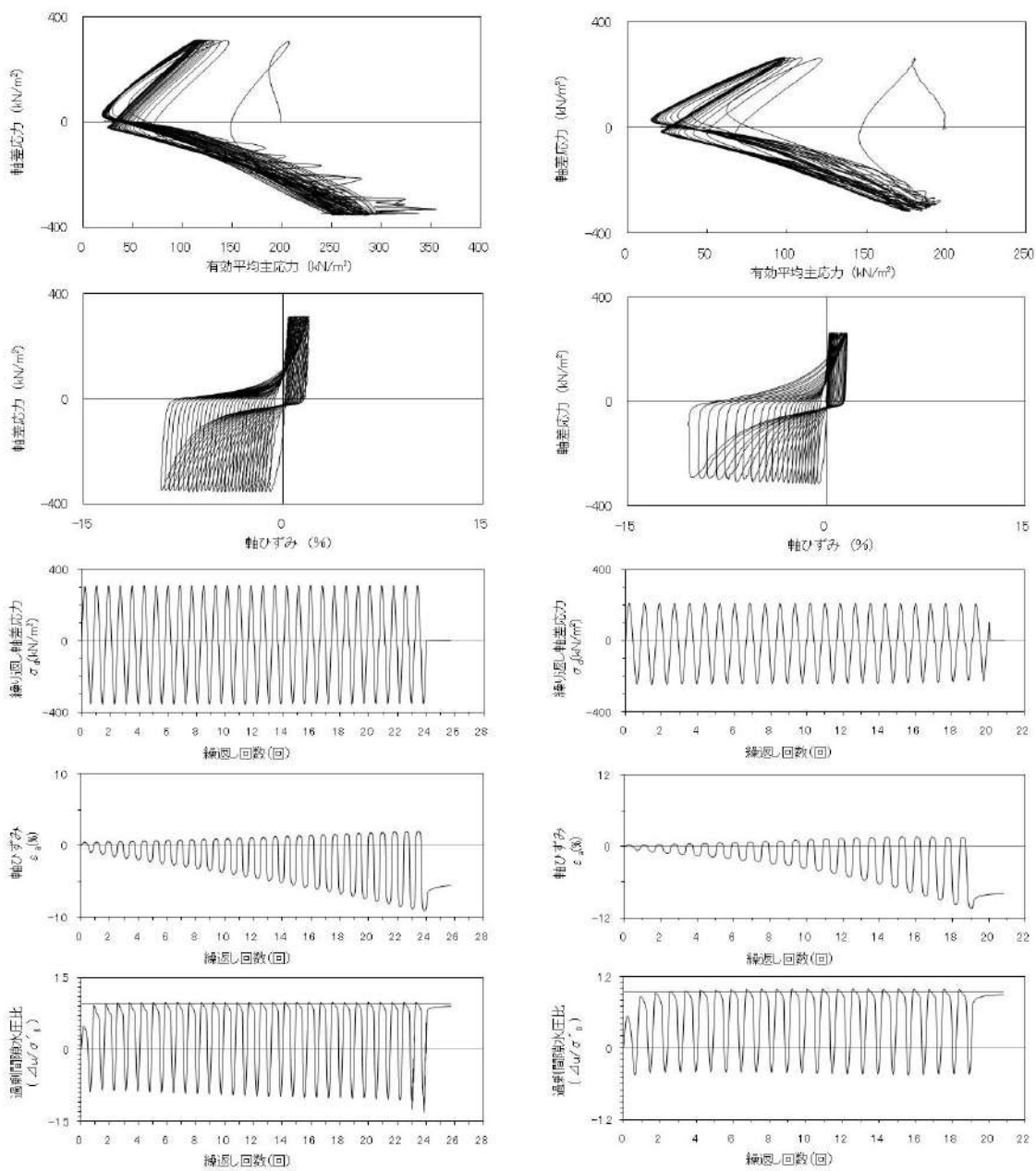
添付 1-67 図 液状化強度試験結果

(SW2-4 試料(供試体 No. 5))

試験条件	
供試体	No.7
地表からの深度 (m)	3.03~4.45
有効上載圧 (kN/m ²)	74
圧密応力 σ_c^* (kN/m ²)	200
繰返し応力振幅比 $\sigma_d / 2\sigma_{av}^*$	0.615
試験結果	
間隙水圧が上昇・蓄積する。 (過剰間隙水圧比95%を超える。)	○
有効応力がゼロまで低下する。	×
液体状となり流動する。 (ひずみが急増する。)	×
正のダイレイタンシー特性により せん断抵抗が作用する。 (有効応力が回復する。)	○

添付 1-68 図 液状化強度試験結果

(SW2-4 試料(供試体 No. 7))



試験条件	
供試体	No.8
地表からの深度 (m)	3.03~4.45
有効上載圧 (kN/m²)	74
圧密応力 σ'_c (kN/m²)	200
繰返し応力振幅比 $\sigma_d/2\sigma'_o$	0.823
試験結果	
間隙水圧が上昇・蓄積する。 (過剰間隙水圧比95%を超える。)	○
有効応力がゼロまで低下する。	×
液体状となり流動する。 (ひずみが急増する。)	×
正のダイレイタンシー特性により せん断抵抗が作用する。 (有効応力が回復する。)	○

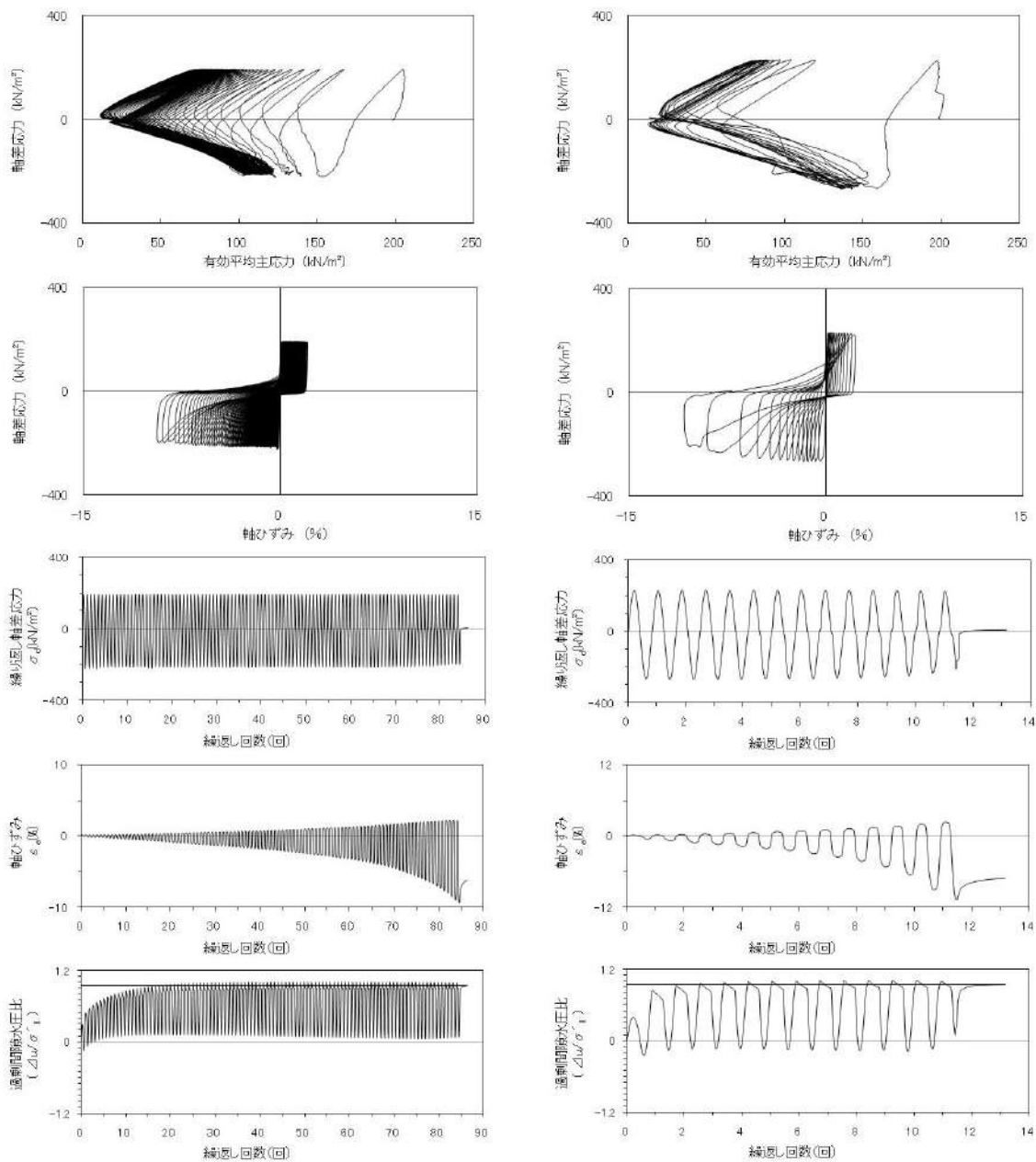
添付 1-69 図 液状化強度試験結果

(SW2-4 試料(供試体 No. 8))

試験条件	
供試体	No.25
地表からの深度 (m)	10.45~11.25
有効上載圧 (kN/m²)	210
圧密応力 σ'_c (kN/m²)	200
繰返し応力振幅比 $\sigma_d/2\sigma'_o$	0.726
試験結果	
間隙水圧が上昇・蓄積する。 (過剰間隙水圧比95%を超える。)	○
有効応力がゼロまで低下する。	×
液体状となり流動する。 (ひずみが急増する。)	×
正のダイレイタンシー特性により せん断抵抗が作用する。 (有効応力が回復する。)	○

添付 1-70 図 液状化強度試験結果

(BF1-2 試料(供試体 No. 25))

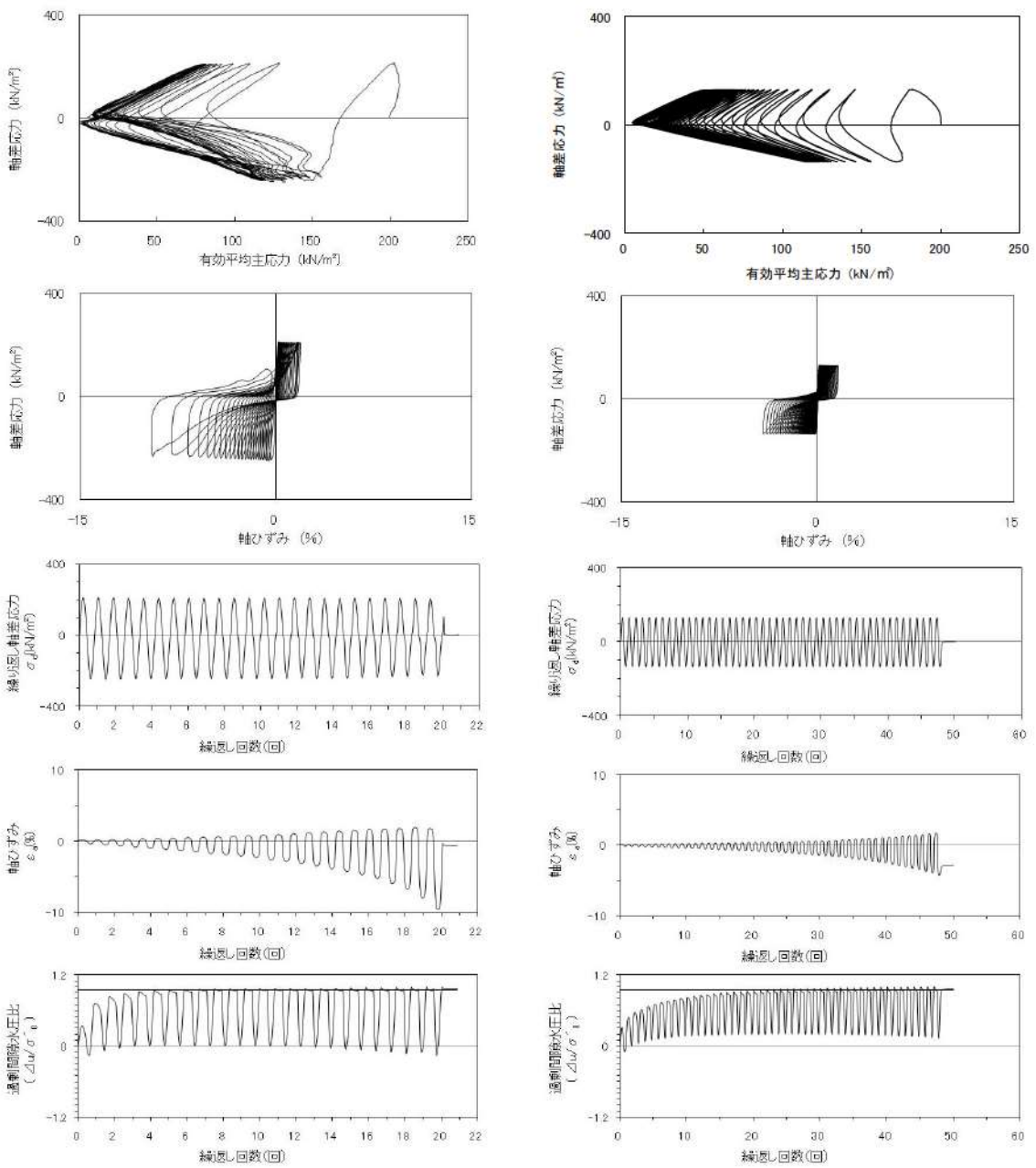


試験条件	
供試体	No.26
地表からの深度 (m)	10.45~11.25
有効上載圧 (kN/m ²)	210
圧密応力 σ'_c (kN/m ²)	200
繰返し応力振幅比 $\sigma_d/2\sigma'_0$	0.508
試験結果	液状化の判断
間隙水圧が上昇・蓄積する。 (過剰間隙水圧比95%を超える。)	○
有効応力がゼロまで低下する。	×
液体状となり流動する。 (ひずみが急増する。)	×
正のダイレイタンシー特性により せん断抵抗が作用する。 (有効応力が回復する。)	○

添付 1-71 図 液状化強度試験結果
(BF1-2 試料(供試体 No. 26))

試験条件	
供試体	No.27
地表からの深度 (m)	10.45~11.25
有効上載圧 (kN/m ²)	210
圧密応力 σ'_c (kN/m ²)	200
繰返し応力振幅比 $\sigma_d/2\sigma'_0$	0.618
試験結果	液状化の判断
間隙水圧が上昇・蓄積する。 (過剰間隙水圧比95%を超える。)	○
有効応力がゼロまで低下する。	×
液体状となり流動する。 (ひずみが急増する。)	×
正のダイレイタンシー特性により せん断抵抗が作用する。 (有効応力が回復する。)	○

添付 1-72 図 液状化強度試験結果
(BF1-2 試料(供試体 No. 27))



試験条件	
供試体	No.28
地表からの深度 (m)	10.45~11.25
有効上載圧 (kN/m²)	210
圧密応力 σ'_c (kN/m²)	200
繰返し応力振幅比 $\sigma_d/2\sigma'_0$	0.574
試験結果	
間隙水圧が上昇・蓄積する。 (過剰間隙水圧比95%を超える。)	○
有効応力がゼロまで低下する。	○
液体状となり流動する。 (ひずみが急増する。)	×
正のダイレイターンシー特性により せん断抵抗が作用する。 (有効応力が回復する。)	○
液状化の判断	
繰返し軟化 (サイクリック モビリティ)	

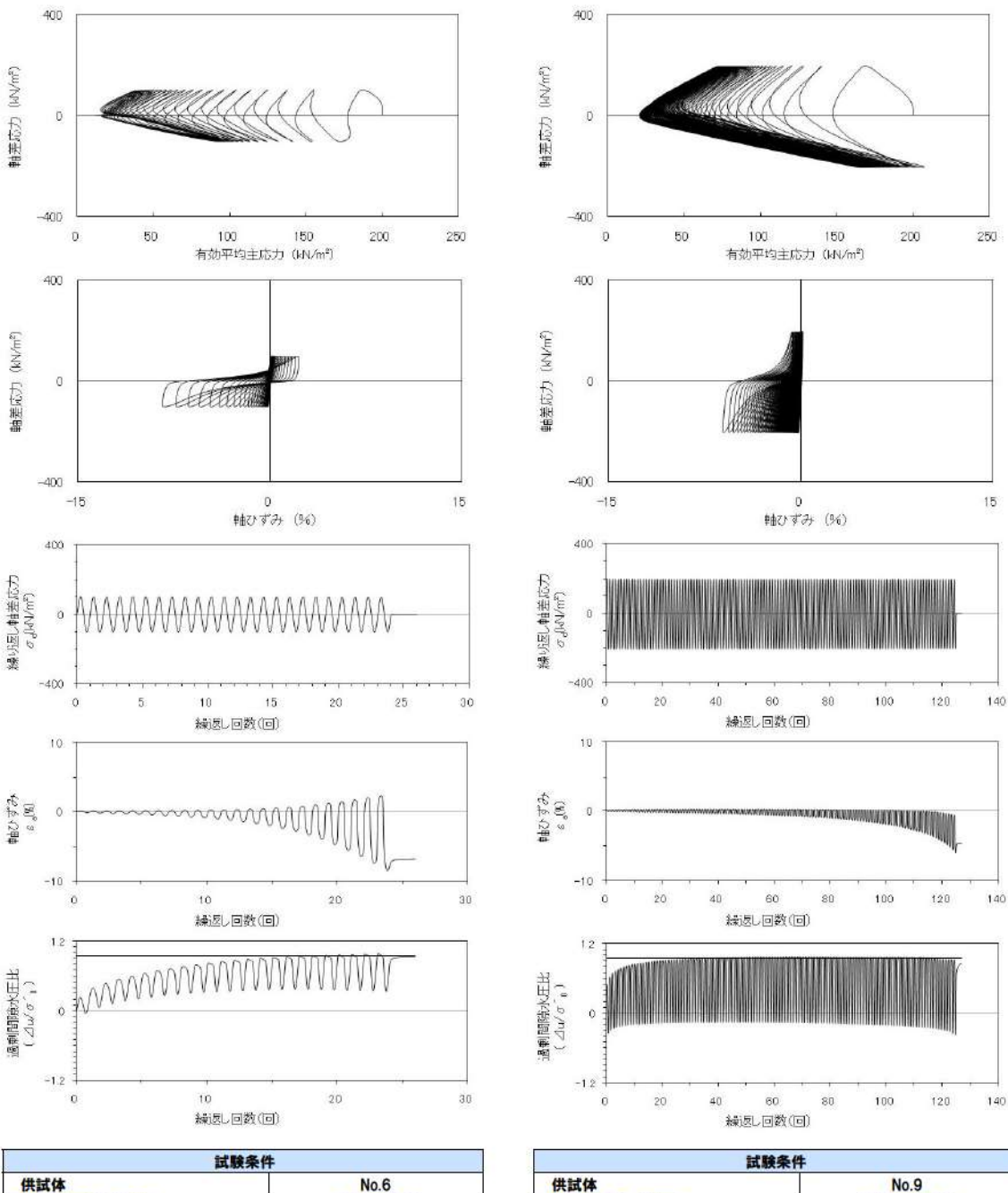
添付 1-73 図 液状化強度試験結果

(BF1-2 試料(供試体 No. 28))

試験条件	
供試体	No.25
地表からの深度 (m)	17.35~17.55
有効上載圧 (kN/m²)	353
圧密応力 σ'_c (kN/m²)	200
繰返し応力振幅比 $\sigma_d/2\sigma'_0$	0.333
試験結果	
間隙水圧が上昇・蓄積する。 (過剰間隙水圧比95%を超える。)	○
有効応力がゼロまで低下する。	×
液体状となり流動する。 (ひずみが急増する。)	×
正のダイレイターンシー特性により せん断抵抗が作用する。 (有効応力が回復する。)	○
液状化の判断	
繰返し軟化	

添付 1-74 図 液状化強度試験結果

(RE-1 試料(供試体 No. 25))



試験条件	
供試体	No.6
地表からの深度 (m)	4.80~5.00
有効上載圧 (kN/m ²)	98
圧密応力 σ'_c (kN/m ²)	200
繰返し応力振幅比 $\sigma_d/2\sigma'_c$	0.252
試験結果	
間隙水圧が上昇・蓄積する。 (過剰間隙水圧比95%を超える。)	○
有効応力がゼロまで低下する。	×
液体状となり流動する。 (ひずみが急増する。)	×
正のダイレイタンシー特性により せん断抵抗が作用する。 (有効応力が回復する。)	○

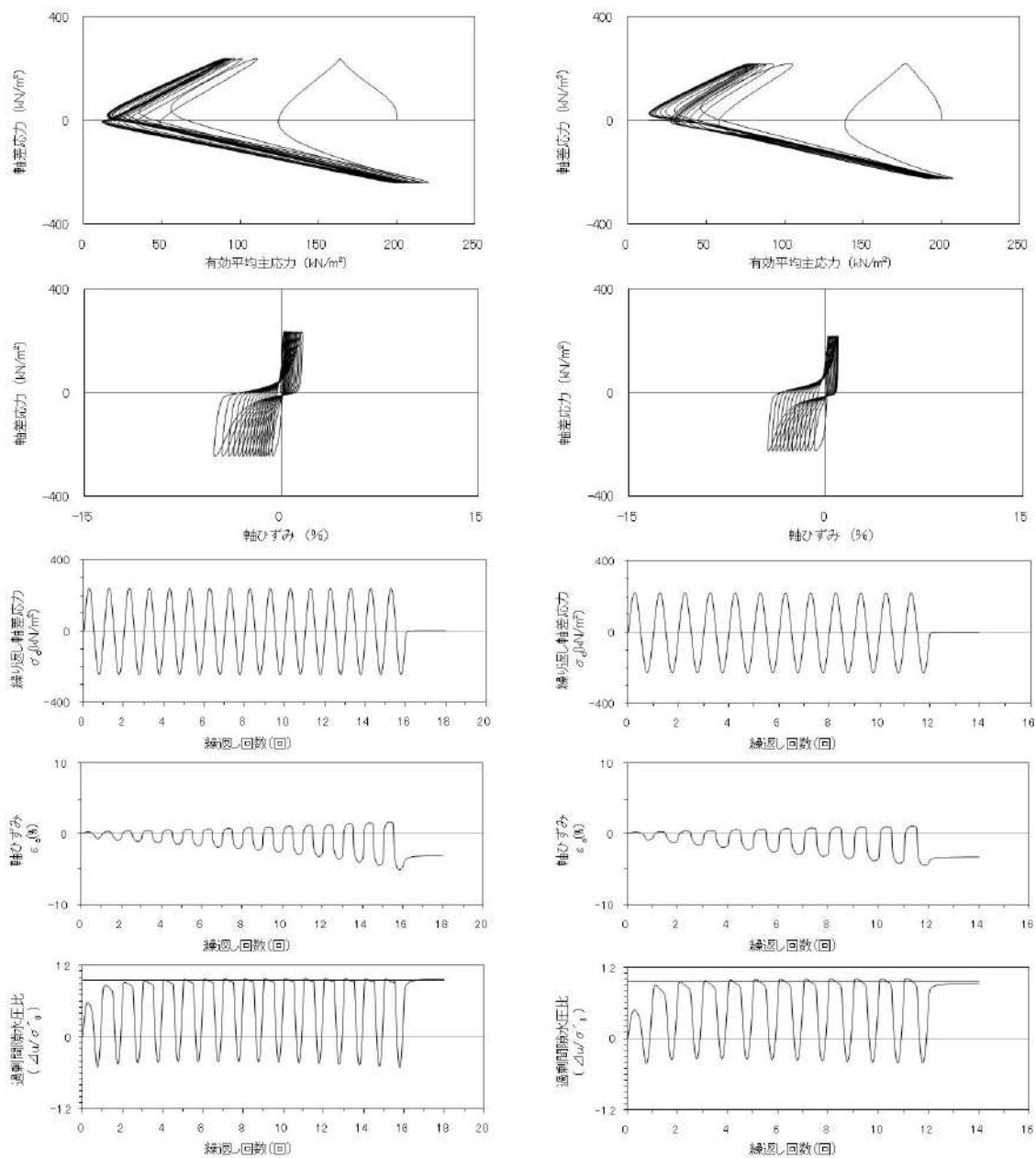
添付 1-75 図 液状化強度試験結果

(RE-2(1) 試料(供試体 No. 6))

試験条件	
供試体	No.9
地表からの深度 (m)	8.73~10.73
有効上載圧 (kN/m ²)	195
圧密応力 σ'_c (kN/m ²)	200
繰返し応力振幅比 $\sigma_d/2\sigma'_c$	0.501
試験結果	
間隙水圧が上昇・蓄積する。 (過剰間隙水圧比95%を超える。)	○
有効応力がゼロまで低下する。	×
液体状となり流動する。 (ひずみが急増する。)	×
正のダイレイタンシー特性により せん断抵抗が作用する。 (有効応力が回復する。)	○

添付 1-76 図 液状化強度試験結果

(RE-2(2) 試料(供試体 No. 9))



試験条件	
供試体	No.13
地表からの深度 (m)	8.73~10.73
有効上載圧 (kN/m²)	195
圧密応力 σ'_c (kN/m²)	200
繰返し応力振幅比 $\sigma_d/2\sigma'_0$	0.602
試験結果	
間隙水圧が上昇・蓄積する。 (過剰間隙水圧比95%を超える。)	○
有効応力がゼロまで低下する。	×
液体状となり流動する。 (ひずみが急増する。)	×
正のダイレイタンシー特性により せん断抵抗が作用する。 (有効応力が回復する。)	○

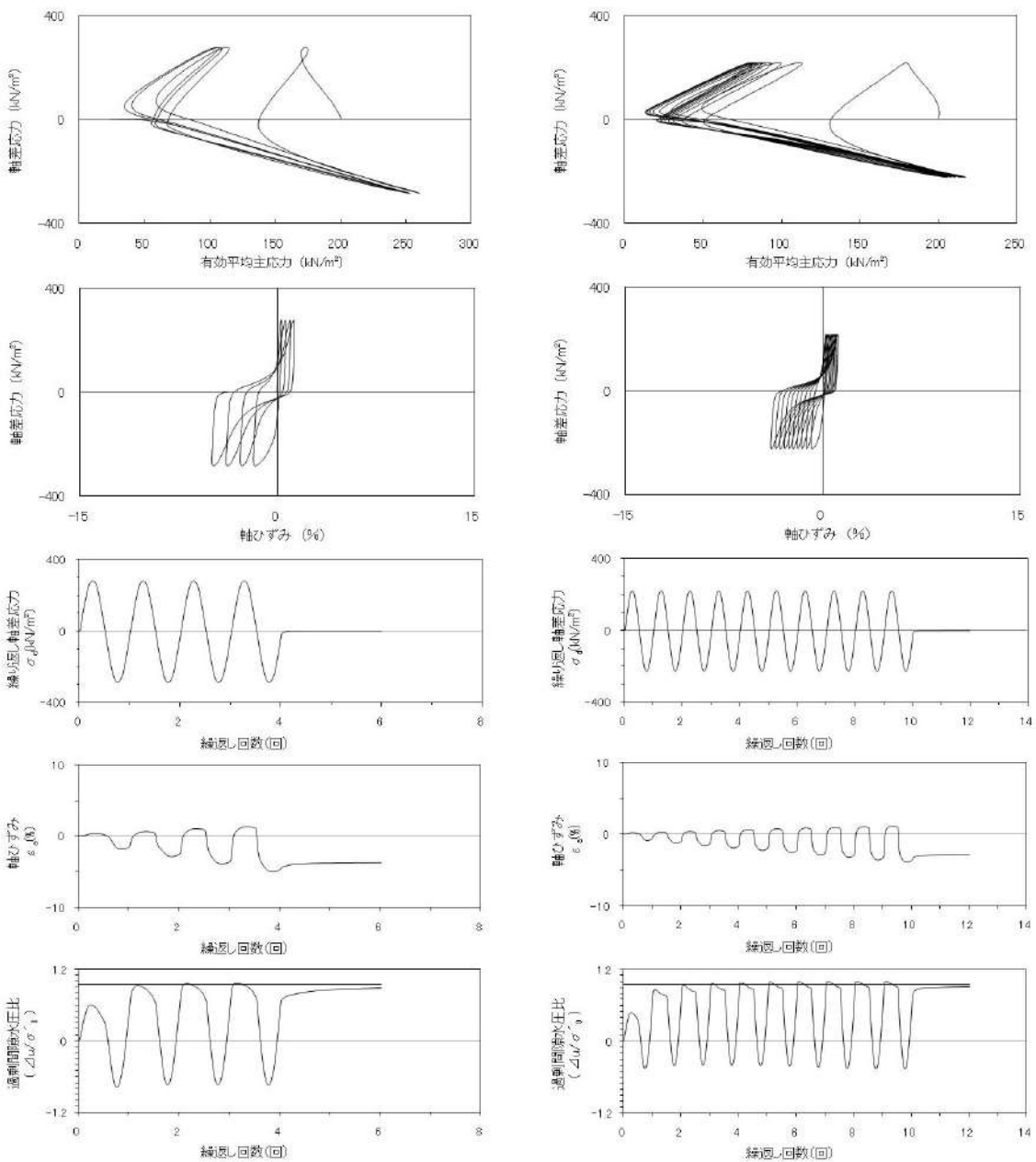
添付 1-77 図 液状化強度試験結果

(RE-2(2) 試料(供試体 No. 13))

試験条件	
供試体	No.14
地表からの深度 (m)	8.73~10.73
有効上載圧 (kN/m²)	195
圧密応力 σ'_c (kN/m²)	200
繰返し応力振幅比 $\sigma_d/2\sigma'_0$	0.554
試験結果	
間隙水圧が上昇・蓄積する。 (過剰間隙水圧比95%を超える。)	○
有効応力がゼロまで低下する。	×
液体状となり流動する。 (ひずみが急増する。)	×
正のダイレイタンシー特性により せん断抵抗が作用する。 (有効応力が回復する。)	○

添付 1-78 図 液状化強度試験結果

(RE-2(2) 試料(供試体 No. 14))



試験条件	
供試体	No.15
地表からの深度 (m)	10.73~11.73
有効上載圧 (kN/m²)	211
圧密応力 σ'_c (kN/m²)	200
繰返し応力振幅比 $\sigma_d/2\sigma'_c$	0.704
試験結果	
間隙水圧が上昇・蓄積する。 (過剰間隙水圧比95%を超える。)	○
有効応力がゼロまで低下する。	×
液体状となり流動する。 (ひずみが急増する。)	×
正のダイレイタンシー特性により せん断抵抗が作用する。 (有効応力が回復する。)	○

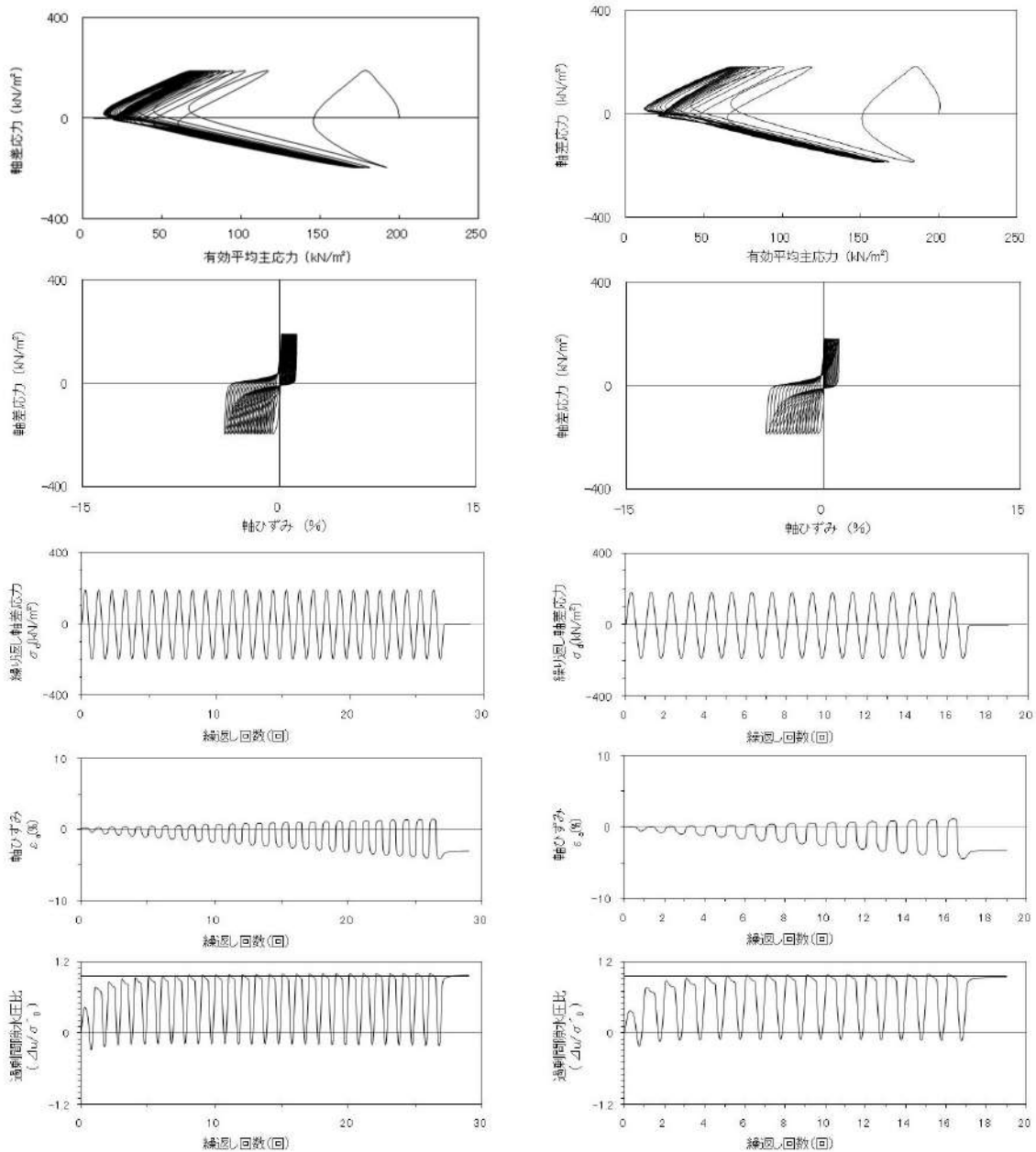
添付 1-79 図 液状化強度試験結果

(RE-2(3) 試料(供試体 No. 15))

試験条件	
供試体	No.16
地表からの深度 (m)	10.73~11.73
有効上載圧 (kN/m²)	211
圧密応力 σ'_c (kN/m²)	200
繰返し応力振幅比 $\sigma_d/2\sigma'_c$	0.555
試験結果	
間隙水圧が上昇・蓄積する。 (過剰間隙水圧比95%を超える。)	○
有効応力がゼロまで低下する。	×
液体状となり流動する。 (ひずみが急増する。)	×
正のダイレイタンシー特性により せん断抵抗が作用する。 (有効応力が回復する。)	○

添付 1-80 図 液状化強度試験結果

(RE-2(3) 試料(供試体 No. 16))



試験条件	
供試体	No.17
地表からの深度 (m)	10.73~11.73
有効上載圧 (kN/m ²)	211
圧密応力 σ'_c (kN/m ²)	200
繰返し応力振幅比 $\sigma_d/2\sigma'_c$	0.481
試験結果	
間隙水圧が上昇・蓄積する。 (過剰間隙水圧比95%を超える。)	○
有効応力がゼロまで低下する。	×
液体状となり流動する。 (ひずみが急増する。)	×
正のダイレイタンシー特性により せん断抵抗が作用する。 (有効応力が回復する。)	○
液状化の判断	
繰返し軟化	

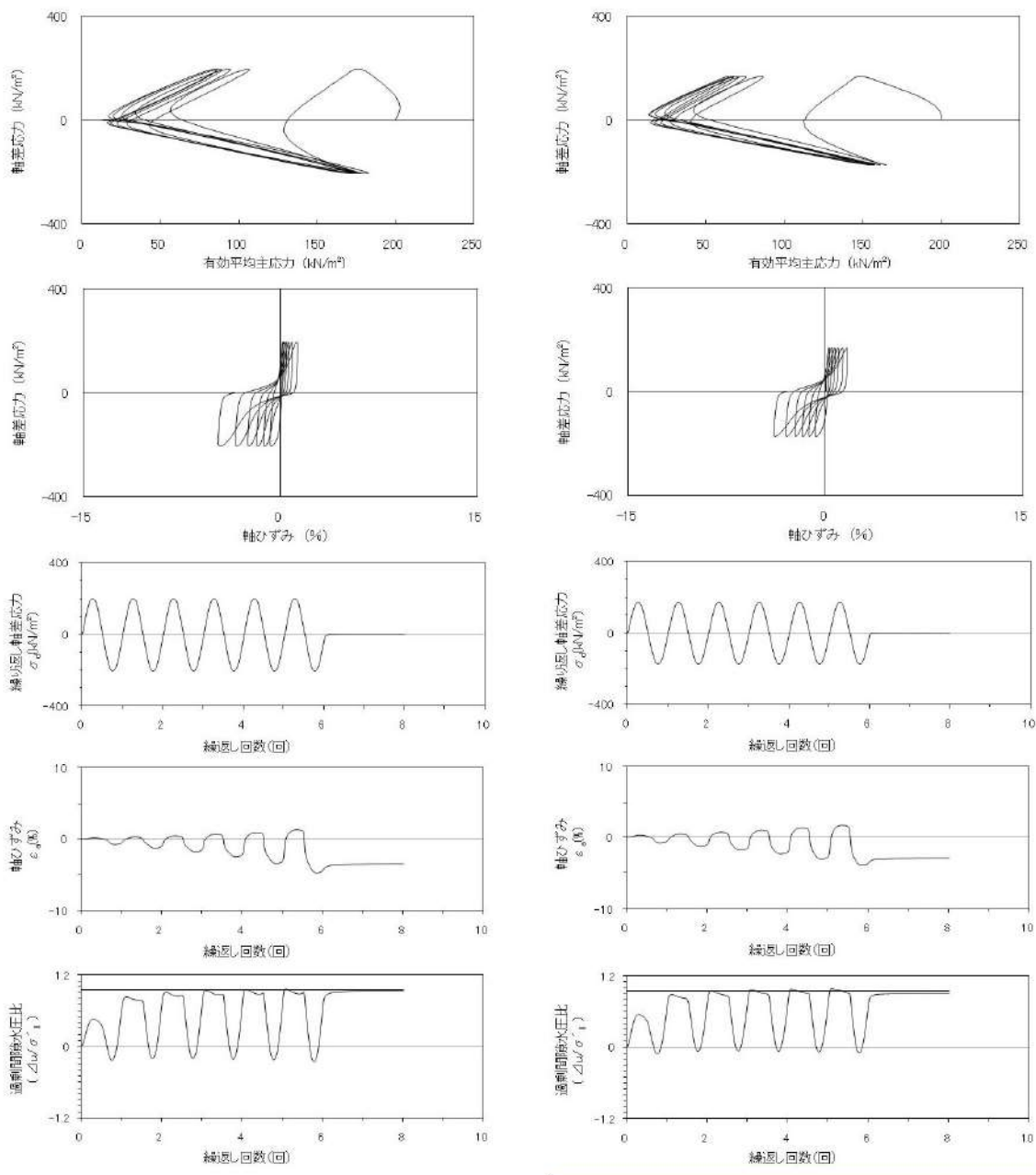
添付 1-81 図 液状化強度試験結果

(RE-2(3) 試料(供試体 No. 17))

試験条件	
供試体	No.18
地表からの深度 (m)	10.73~11.73
有効上載圧 (kN/m ²)	211
圧密応力 σ'_c (kN/m ²)	200
繰返し応力振幅比 $\sigma_d/2\sigma'_c$	0.459
試験結果	
間隙水圧が上昇・蓄積する。 (過剰間隙水圧比95%を超える。)	○
有効応力がゼロまで低下する。	×
液体状となり流動する。 (ひずみが急増する。)	×
正のダイレイタンシー特性により せん断抵抗が作用する。 (有効応力が回復する。)	○
液状化の判断	
繰返し軟化	

添付 1-82 図 液状化強度試験結果

(RE-2(3) 試料(供試体 No. 18))



試験条件	
供試体	No.3
地表からの深度 (m)	2.80~4.23
有効上載圧 (kN/m ²)	71
圧密応力 σ_c (kN/m ²)	200
繰返し応力振幅比 $\sigma_d / 2\sigma'_0$	0.503
試験結果	
間隙水圧が上昇・蓄積する。 (過剰間隙水圧比95%を超える。)	○
有効応力がゼロまで低下する。	×
液体状となり流動する。 (ひずみが急増する。)	×
正のダイレイタンシー特性により せん断抵抗が作用する。 (有効応力が回復する。)	○

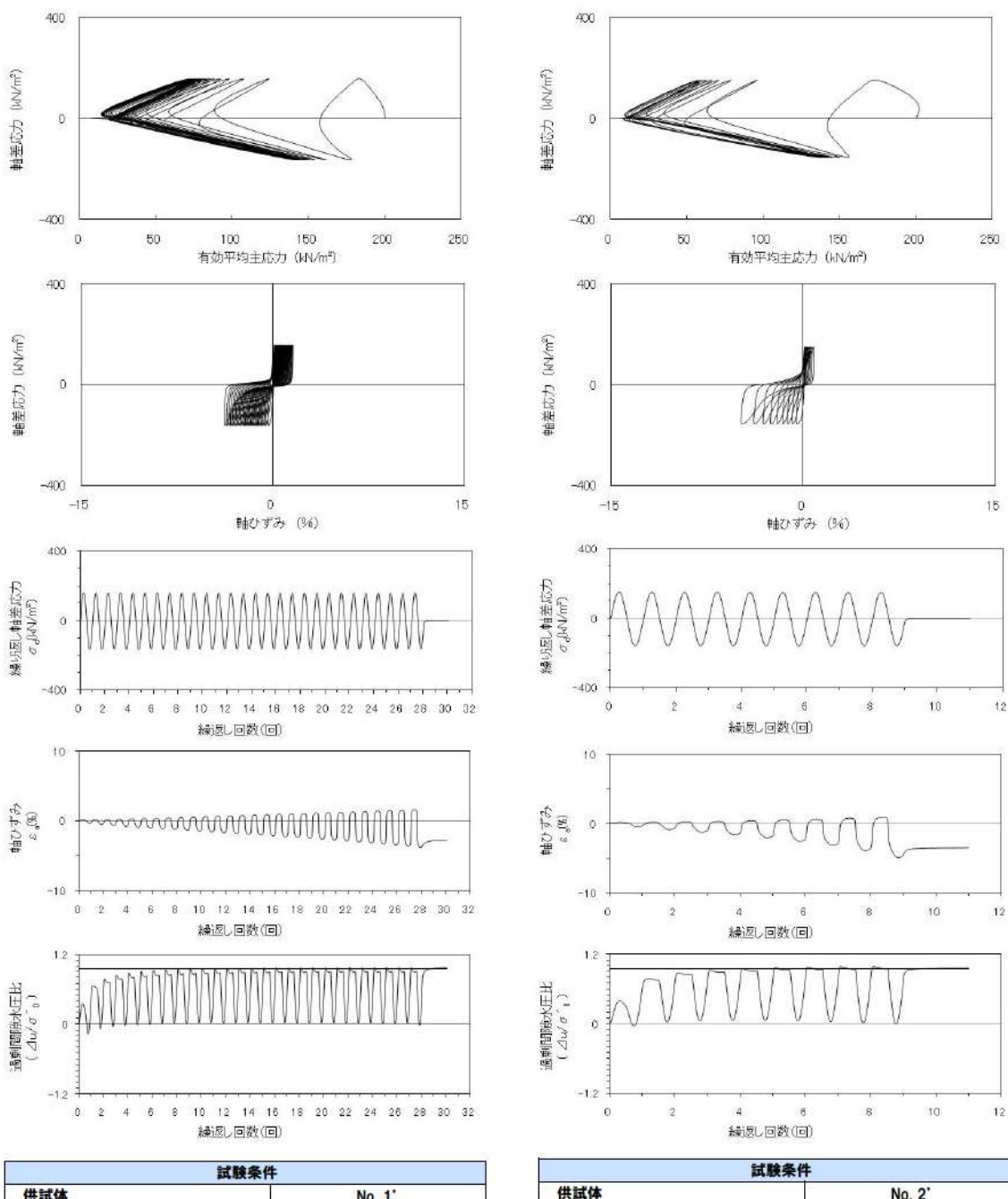
試験条件	
供試体	No.5
地表からの深度 (m)	2.80~4.23
有効上載圧 (kN/m ²)	71
圧密応力 σ'_c (kN/m ²)	200
繰返し応力振幅比 $\sigma_d / 2\sigma'_0$	0.428
試験結果	
間隙水圧が上昇・蓄積する。 (過剰間隙水圧比95%を超える。)	○
有効応力がゼロまで低下する。	×
液体状となり流動する。 (ひずみが急増する。)	×
正のダイレイタンシー特性により せん断抵抗が作用する。 (有効応力が回復する。)	○

添付 1-83 図 液状化強度試験結果

(RE-3(1) 試料(供試体 No. 3))

添付 1-84 図 液状化強度試験結果

(RE-3(1) 試料(供試体 No. 5))



試験条件	
供試体	No. 1'
地表からの深度 (m)	2.80~4.23
有効上載圧 (kN/m ²)	71
圧密応力 σ'_c (kN/m ²)	200
繰返し応力振幅比 $\sigma_a/2\sigma'_0$	0.401
試験結果	
間隙水圧が上昇・蓄積する。 (過剰間隙水圧比95%を超える。)	○
有効応力がゼロまで低下する。	×
液体状となり流動する。 (ひずみが急増する。)	×
正のダイレイタンシー特性により せん断抵抗が作用する。 (有効応力が回復する。)	○
液状化の判断	
繰返し軟化	

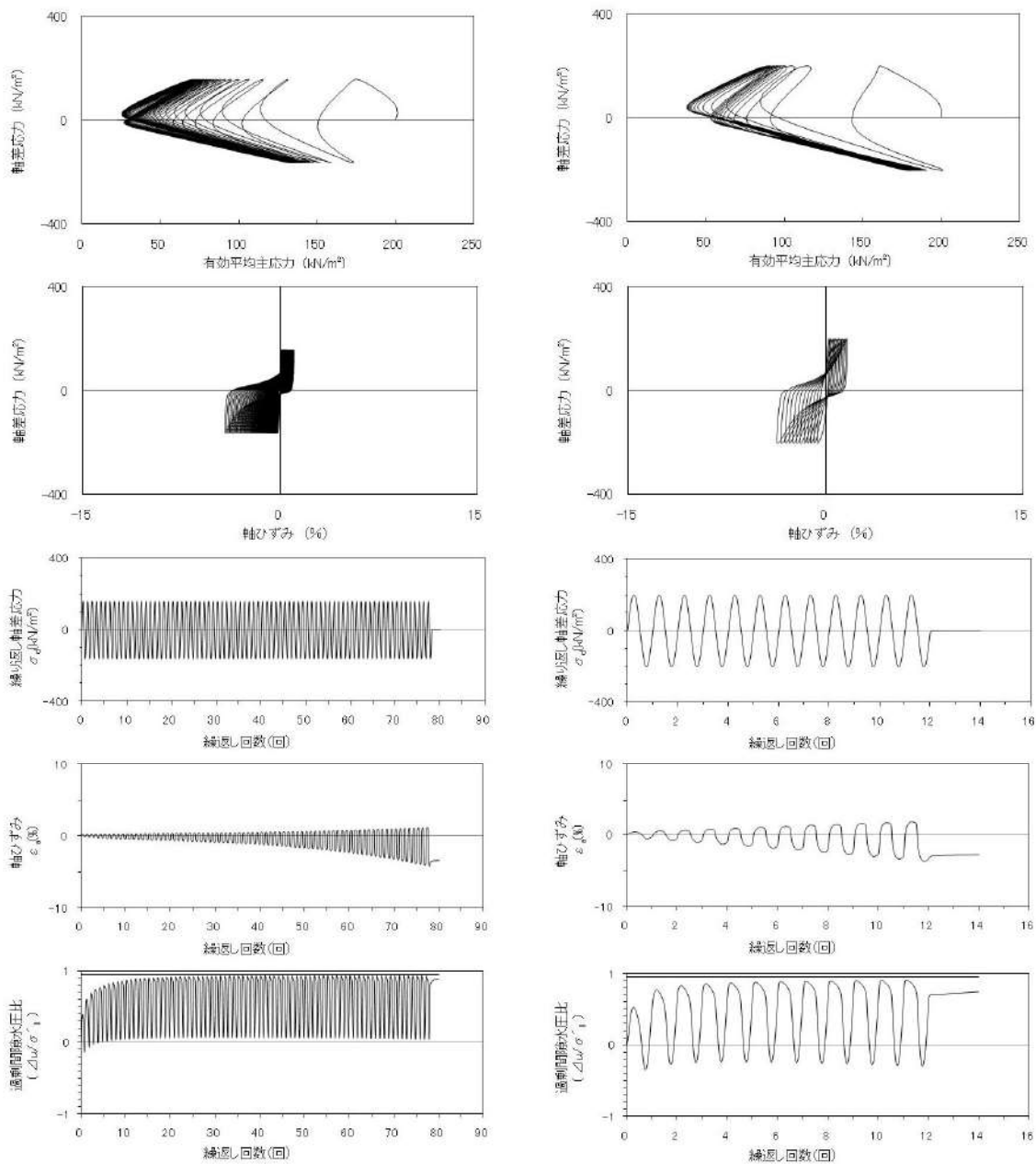
添付 1-85 図 液状化強度試験結果

(RE-3(1) 試料(供試体 No. 1'))

試験条件	
供試体	No. 2'
地表からの深度 (m)	2.80~4.23
有効上載圧 (kN/m ²)	71
圧密応力 σ'_c (kN/m ²)	200
繰返し応力振幅比 $\sigma_a/2\sigma'_0$	0.383
試験結果	
間隙水圧が上昇・蓄積する。 (過剰間隙水圧比95%を超える。)	○
有効応力がゼロまで低下する。	×
液体状となり流動する。 (ひずみが急増する。)	×
正のダイレイタンシー特性により せん断抵抗が作用する。 (有効応力が回復する。)	○
液状化の判断	
繰返し軟化	

添付 1-86 図 液状化強度試験結果

(RE-3(1) 試料(供試体 No. 2'))

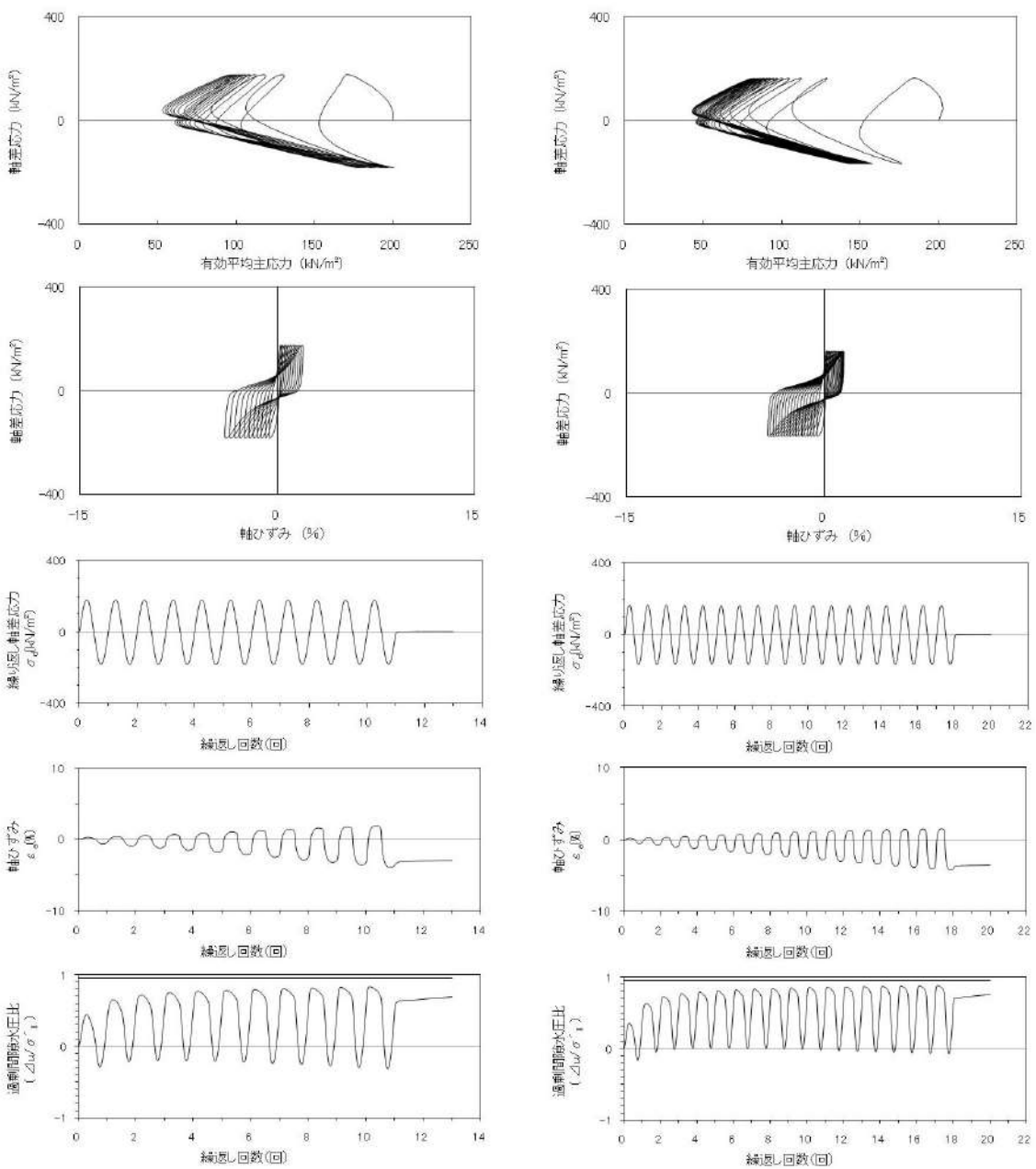


試験条件	
供試体	No.6
地表からの深度 (m)	4.40~5.70
有効上載圧 (kN/m ²)	101
圧密応力 σ'_c (kN/m ²)	200
繰返し応力振幅比 $\sigma_d / 2\sigma'_c$	0.401
試験結果	液状化の判断
間隙水圧が上昇・蓄積する。 (過剰間隙水圧比95%を超える。)	×
有効応力がゼロまで低下する。	×
液体状となり流動する。 (ひずみが急増する。)	×
正のダイレイタンシー特性により せん断抵抗が作用する。 (有効応力が回復する。)	○

添付 1-87 図 液状化強度試験結果
(RE-3(2) 試料(供試体 No. 6))

試験条件	
供試体	No.7
地表からの深度 (m)	4.40~5.70
有効上載圧 (kN/m ²)	101
圧密応力 σ'_c (kN/m ²)	200
繰返し応力振幅比 $\sigma_d / 2\sigma'_c$	0.502
試験結果	液状化の判断
間隙水圧が上昇・蓄積する。 (過剰間隙水圧比95%を超える。)	×
有効応力がゼロまで低下する。	×
液体状となり流動する。 (ひずみが急増する。)	×
正のダイレイタンシー特性により せん断抵抗が作用する。 (有効応力が回復する。)	○

添付 1-88 図 液状化強度試験結果
(RE-3(2) 試料(供試体 No. 7))



試験条件	
供試体	No.8
地表からの深度 (m)	4.40~5.70
有効上載圧 (kN/m²)	101
圧密応力 σ'_c (kN/m²)	200
繰返し応力振幅比 $\sigma_d/2\sigma'_0$	0.451
試験結果	
間隙水圧が上昇・蓄積する。 (過剰間隙水圧比95%を超える。)	×
有効応力がゼロまで低下する。	×
液体状となり流動する。 (ひずみが急増する。)	×
正のダイレイタンシー特性により せん断抵抗が作用する。 (有効応力が回復する。)	○

添付 1-89 図 液状化強度試験結果
(RE-3(2) 試料(供試体 No. 8))

試験条件	
供試体	No.9
地表からの深度 (m)	4.40~5.70
有効上載圧 (kN/m²)	101
圧密応力 σ'_c (kN/m²)	200
繰返し応力振幅比 $\sigma_d/2\sigma'_0$	0.413
試験結果	
間隙水圧が上昇・蓄積する。 (過剰間隙水圧比95%を超える。)	×
有効応力がゼロまで低下する。	×
液体状となり流動する。 (ひずみが急増する。)	×
正のダイレイタンシー特性により せん断抵抗が作用する。 (有効応力が回復する。)	○

添付 1-90 図 液状化強度試験結果
(RE-3(2) 試料(供試体 No. 9))